



(19) 대한민국특허청(KR)  
(12) 공개특허공보(A)

(11) 공개번호 10-2019-0020838  
(43) 공개일자 2019년03월04일

- (51) 국제특허분류(Int. Cl.)  
*C07K 16/28* (2006.01) *C07K 16/30* (2006.01)
- (52) CPC특허분류  
*C07K 16/28* (2013.01)  
*A61K 39/3955* (2013.01)
- (21) 출원번호 10-2019-7004552(분할)
- (22) 출원일자(국제) 2013년04월26일  
심사청구일자 2019년02월18일
- (62) 원출원 특허 10-2014-7029492  
원출원일자(국제) 2013년04월26일  
심사청구일자 2018년04월20일
- (85) 번역문제출일자 2019년02월15일
- (86) 국제출원번호 PCT/IB2013/053312
- (87) 국제공개번호 WO 2013/160879  
국제공개일자 2013년10월31일
- (30) 우선권주장  
JP-P-2012-103929 2012년04월27일 일본(JP)  
JP-P-2013-011042 2013년01월24일 일본(JP)
- (71) 출원인  
다이이찌 산쿄 가부시키가이샤  
일본 도쿄도 츄오쿠 니혼바시 혼쵸 3-5-1
- (72) 발명자  
이스미 요시타카  
일본 140-8710 도쿄도 시나가와쿠 히로마치  
1-2-58 다이이찌 산쿄 가부시키가이샤 내  
사토 도시유키  
일본 140-8710 도쿄도 시나가와쿠 히로마치  
1-2-58 다이이찌 산쿄 가부시키가이샤 내  
(뒷면에 계속)
- (74) 대리인  
김진희, 김태홍

전체 청구항 수 : 총 22 항

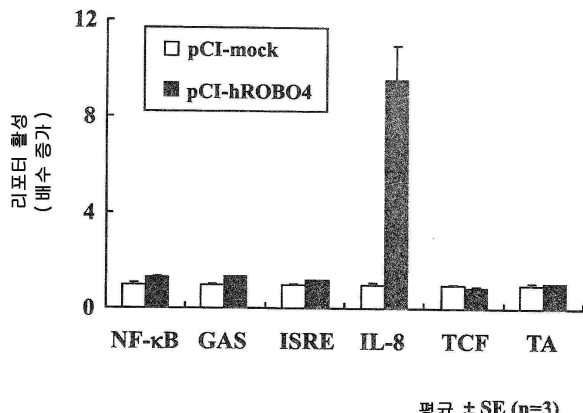
(54) 발명의 명칭 항-ROBO4 항체

### (57) 요 약

본 개시내용은 항-혈관신생 활성을 갖는 항체에 관한 것이다. 보다 구체적으로, 본 개시내용은 ROBO4에 대한 항체 및 이 항체를 함유하는 약학 조성물에 관한 것이다. 본 개시내용의 목적은 항-혈관신생 효과를 갖는 항-ROBO4 항체, 이 항체를 포함하는 약학 조성물 등, 이 항체를 사용하여 혈관신생을 억제하는 방법 등을 제공하는 것이다. 본 개시내용의 또 다른 목적은 상기 항체를 제조하는 방법을 제공하는 것이다. 본 개시내용의 항체는 ROBO4의 다운스트림 신호를 활성화시키고 VEGF 또는 bFGF에 의해 유도된 세포 이동에 대한 억제 활성을 갖는다. 본 개시내용의 항체는 생체내 모델에서도 항-혈관신생 효과를 나타낸다. 따라서, 종래기술의 문제점이 해결되었다.

**대 표 도** - 도1

리포터 활성



(52) CPC특허분류

*A61K 45/06* (2013.01)

*A61P 27/02* (2018.01)

*C07K 16/30* (2013.01)

*A61K 2039/505* (2013.01)

*C07K 2317/24* (2013.01)

*C07K 2317/565* (2013.01)

*C07K 2317/76* (2013.01)

*C07K 2317/92* (2013.01)

(72) 발명자

**하세가와 준**

일본 140-8710 도쿄도 시나가와쿠 히로마치 1-2-58

다이이찌 산쿄 가부시키가이샤 내

---

**이노우에 다츠야**

일본 140-8710 도쿄도 시나가와쿠 히로마치 1-2-58

다이이찌 산쿄 가부시키가이샤 내

## 명세서

### 청구범위

#### 청구항 1

하기 (i) 내지 (iv)에 따른 항체가 인식하는 항원 상의 부위에 결합하는 항체 또는 그의 항원 결합 단편으로서,

(I)  $1 \times 10^{-8}$  M 이하의  $K_D$  값으로 인간 ROBO4 단백질에 결합하고;

(II) 시험관 내에서 교차-연결(cross-linking) 항체의 부재 하에서 혈관 내피 세포 이동을 억제하거나 저해하고;

(III) 생체 내에서 혈관신생을 억제 또는 저해하는 항체 또는 그의 항원 결합 단편:

(i) 서열번호 44(도 25)로 표시된 아미노산 서열로 구성된 CDRH1, 서열번호 46(도 26)으로 표시된 아미노산 서열 또는 서열번호 68(도 44)로 표시된 아미노산 서열로 구성된 CDRH2, 및 서열번호 48(도 27)로 표시된 아미노산 서열로 구성된 CDRH3을 포함하는 중쇄 및, 서열번호 50(도 28)으로 표시된 아미노산 서열 또는 서열번호 70(도 46)으로 표시된 아미노산 서열로 구성된 CDRL1, 서열번호 52(도 29)로 표시된 아미노산 서열로 구성된 CDRL2, 및 서열번호 54(도 30)로 표시된 아미노산 서열로 구성된 CDRL3을 포함하는 경쇄로 구성된 항체,

(ii) 서열번호 31(도 16)로 표시된 아미노산 서열로 구성된 중쇄 가변 영역 및 서열번호 33(도 18)으로 표시된 아미노산 서열로 구성된 경쇄 가변 영역을 포함하는 항체,

(iii) 하기 a) 내지 d)로부터 선택된 어느 한 중쇄 가변 영역 및 하기 e) 및 f)로부터 선택된 어느 한 경쇄 가변 영역을 포함하는 항체:

a) 서열번호 56(도 32)의 아미노산 번호 20 내지 137로 표시된 아미노산 서열로 구성된 중쇄(hMAb1-H1형) 가변 영역,

b) 서열번호 58(도 34)의 아미노산 번호 20 내지 137로 표시된 아미노산 서열로 구성된 중쇄(hMAb1-H2형) 가변 영역,

c) 서열번호 60(도 36)의 아미노산 번호 20 내지 137로 표시된 아미노산 서열로 구성된 중쇄(hMAb1-H3형) 가변 영역, 및

d) 서열번호 62(도 38)의 아미노산 번호 20 내지 137로 표시된 아미노산 서열로 구성된 중쇄(hMAb1-H4형) 가변 영역; 및

e) 서열번호 64(도 40)의 아미노산 번호 21 내지 134로 표시된 아미노산 서열로 구성된 경쇄(hMAb1-L1형) 가변 영역, 및

f) 서열번호 66(도 42)의 아미노산 번호 21 내지 134로 표시된 아미노산 서열로 구성된 경쇄(hMAb1-L2형) 가변 영역,

(iv) 중쇄 가변 영역 및 경쇄 가변 영역의 하기 조합 1) 내지 6) 중 어느 한 조합을 포함하는 항체:

1) 서열번호 58(도 34)의 아미노산 번호 20 내지 137로 표시된 아미노산 서열로 구성된 중쇄 가변 영역 및 서열 번호 64(도 40)의 아미노산 번호 21 내지 134로 표시된 아미노산 서열로 구성된 경쇄 가변 영역,

2) 서열번호 58(도 34)의 아미노산 번호 20 내지 137로 표시된 아미노산 서열로 구성된 중쇄 가변 영역 및 서열 번호 66(도 42)의 아미노산 번호 21 내지 134로 표시된 아미노산 서열로 구성된 경쇄 가변 영역,

3) 서열번호 62(도 38)의 아미노산 번호 20 내지 137로 표시된 아미노산 서열로 구성된 중쇄 가변 영역 및 서열 번호 66(도 42)의 아미노산 번호 21 내지 134로 표시된 아미노산 서열로 구성된 경쇄 가변 영역,

4) 서열번호 62(도 38)의 아미노산 번호 20 내지 137로 표시된 아미노산 서열로 구성된 중쇄 가변 영역 및 서열 번호 64(도 40)의 아미노산 번호 21 내지 134로 표시된 아미노산 서열로 구성된 경쇄 가변 영역,

5) 서열번호 56(도 32)의 아미노산 번호 20 내지 137로 표시된 아미노산 서열로 구성된 중쇄 가변 영역 및 서열

번호 64(도 40)의 아미노산 번호 21 내지 134로 표시된 아미노산 서열로 구성된 경쇄 가변 영역 및

6) 서열번호 60(도 36)의 아미노산 번호 20 내지 137로 표시된 아미노산 서열로 구성된 중쇄 가변 영역 및 서열 번호 64(도 40)의 아미노산 번호 21 내지 134로 표시된 아미노산 서열로 구성된 경쇄 가변 영역.

## 청구항 2

인간 ROBO4 단백질과의 결합에 대해서 하기 (i) 내지 (iv)에 따른 어느 하나의 항체와 경쟁하는 항체 또는 그의 항원 결합 단편으로서,

(I)  $1 \times 10^{-8}$  M 이하의  $K_D$  값으로 인간 ROBO4 단백질에 결합하고;

(II) 시험관 내에서 교차-연결(cross-linking) 항체의 부재 하에서 혈관 내피 세포 이동을 억제하거나 저해하고;

(III) 생체 내에서 혈관신생을 억제 또는 저해하는 항체 또는 그의 항원 결합 단편:

(i) 서열번호 44(도 25)로 표시된 아미노산 서열로 구성된 CDRH1, 서열번호 46(도 26)으로 표시된 아미노산 서열 또는 서열번호 68(도 44)로 표시된 아미노산 서열로 구성된 CDRH2, 및 서열번호 48(도 27)로 표시된 아미노산 서열로 구성된 CDRH3을 포함하는 중쇄 및, 서열번호 50(도 28)으로 표시된 아미노산 서열 또는 서열번호 70 (도 46)으로 표시된 아미노산 서열로 구성된 CDRL1, 서열번호 52(도 29)로 표시된 아미노산 서열로 구성된 CDRL2, 및 서열번호 54(도 30)로 표시된 아미노산 서열로 구성된 CDRL3을 포함하는 경쇄로 구성된 항체,

(ii) 서열번호 31(도 16)로 표시된 아미노산 서열로 구성된 중쇄 가변 영역 및 서열번호 33(도 18)으로 표시된 아미노산 서열로 구성된 경쇄 가변 영역을 포함하는 항체,

(iii) 하기 a) 내지 d)로부터 선택된 어느 한 중쇄 가변 영역 및 하기 e) 및 f)로부터 선택된 어느 한 경쇄 가변 영역을 포함하는 항체:

a) 서열번호 56(도 32)의 아미노산 번호 20 내지 137로 표시된 아미노산 서열로 구성된 중쇄(hMAb1-H1형) 가변 영역,

b) 서열번호 58(도 34)의 아미노산 번호 20 내지 137로 표시된 아미노산 서열로 구성된 중쇄(hMAb1-H2형) 가변 영역,

c) 서열번호 60(도 36)의 아미노산 번호 20 내지 137로 표시된 아미노산 서열로 구성된 중쇄(hMAb1-H3형) 가변 영역, 및

d) 서열번호 62(도 38)의 아미노산 번호 20 내지 137로 표시된 아미노산 서열로 구성된 중쇄(hMAb1-H4형) 가변 영역; 및

e) 서열번호 64(도 40)의 아미노산 번호 21 내지 134로 표시된 아미노산 서열로 구성된 경쇄(hMAb1-L1형) 가변 영역, 및

f) 서열번호 66(도 42)의 아미노산 번호 21 내지 134로 표시된 아미노산 서열로 구성된 경쇄(hMAb1-L2형) 가변 영역,

(iv) 중쇄 가변 영역 및 경쇄 가변 영역의 하기 조합 1) 내지 6) 중 어느 한 조합을 포함하는 항체:

1) 서열번호 58(도 34)의 아미노산 번호 20 내지 137로 표시된 아미노산 서열로 구성된 중쇄 가변 영역 및 서열 번호 64(도 40)의 아미노산 번호 21 내지 134로 표시된 아미노산 서열로 구성된 경쇄 가변 영역,

2) 서열번호 58(도 34)의 아미노산 번호 20 내지 137로 표시된 아미노산 서열로 구성된 중쇄 가변 영역 및 서열 번호 66(도 42)의 아미노산 번호 21 내지 134로 표시된 아미노산 서열로 구성된 경쇄 가변 영역,

3) 서열번호 62(도 38)의 아미노산 번호 20 내지 137로 표시된 아미노산 서열로 구성된 중쇄 가변 영역 및 서열 번호 66(도 42)의 아미노산 번호 21 내지 134로 표시된 아미노산 서열로 구성된 경쇄 가변 영역,

4) 서열번호 62(도 38)의 아미노산 번호 20 내지 137로 표시된 아미노산 서열로 구성된 중쇄 가변 영역 및 서열 번호 64(도 40)의 아미노산 번호 21 내지 134로 표시된 아미노산 서열로 구성된 경쇄 가변 영역,

5) 서열번호 56(도 32)의 아미노산 번호 20 내지 137로 표시된 아미노산 서열로 구성된 중쇄 가변 영역 및 서열

번호 64(도 40)의 아미노산 번호 21 내지 134로 표시된 아미노산 서열로 구성된 경쇄 가변 영역 및

6) 서열번호 60(도 36)의 아미노산 번호 20 내지 137로 표시된 아미노산 서열로 구성된 중쇄 가변 영역 및 서열 번호 64(도 40)의 아미노산 번호 21 내지 134로 표시된 아미노산 서열로 구성된 경쇄 가변 영역.

### 청구항 3

제1항 또는 제2항에 있어서, 인간 ROBO4 단백질은 서열번호 2의 아미노산 번호 1 내지 1007의 아미노산 서열로 구성된 단백질인, 항체 또는 그의 항원 결합 단편.

### 청구항 4

제1항 또는 제2항에 있어서, 인간 ROBO4 단백질은 서열번호 2의 아미노산 번호 46 내지 1007의 아미노산 서열로 구성된 단백질인, 항체 또는 그의 항원 결합 단편.

### 청구항 5

제3항 또는 제4항에 있어서, 서열번호 2의 아미노산 번호 132 내지 209의 아미노산 서열로 구성된 부위에 결합하는, 항체 또는 그의 항원 결합 단편.

### 청구항 6

제1항 또는 제2항에 있어서, 단일 클론 항체 또는 그의 항원 결합 단편인, 항체 또는 그의 항원 결합 단편.

### 청구항 7

제1항 내지 제6항 중 어느 한 항에 있어서, 키메라 항체 또는 그의 항원 결합 단편인, 항체 또는 그의 항원 결합 단편.

### 청구항 8

제1항 내지 제6항 중 어느 한 항에 있어서, 인간화 항체 또는 그의 항원 결합 단편인, 항체 또는 그의 항원 결합 단편.

### 청구항 9

제1항 내지 제8항 중 어느 한 항에 있어서, 항체가 인간 IgG1 또는 인간 IgG2 중쇄 불변 영역을 포함하는, 항체 또는 그의 항원 결합 단편.

### 청구항 10

제1항 내지 제6항 중 어느 한 항에 있어서, 인간 ROBO4에 대해서  $1 \times 10^{-8}$  이하의  $K_D$  값을 갖고, 시험관내에서 교차-연결 항체의 부재 하에서 혈관 내피 세포 이동을 억제하거나 저해하고, 생체내에서 혈관신생을 억제하거나 저해하고, 중쇄 및 경쇄의 하기 조합 1) 내지 6) 중 어느 한 조합을 포함하는 하기 항체 중 어느 한 항체와 아미노산 서열에서 95% 이상 동일한, 항체:

1) 서열번호 58(도 34)의 아미노산 번호 20 내지 463으로 표시된 아미노산 서열로 구성된 중쇄 및 서열번호 64 (도 40)의 아미노산 번호 21 내지 239로 표시된 아미노산 서열로 구성된 경쇄(H-1140),

2) 서열번호 58(도 34)의 아미노산 번호 20 내지 463으로 표시된 아미노산 서열로 구성된 중쇄 및 서열번호 66 (도 42)의 아미노산 번호 21 내지 239로 표시된 아미노산 서열로 구성된 경쇄(H-1143),

3) 서열번호 62(도 38)의 아미노산 번호 20 내지 463으로 표시된 아미노산 서열로 구성된 중쇄 및 서열번호 66 (도 42)의 아미노산 번호 21 내지 239로 표시된 아미노산 서열로 구성된 경쇄(H-2143),

4) 서열번호 62(도 38)의 아미노산 번호 20 내지 463으로 표시된 아미노산 서열로 구성된 중쇄 및 서열번호 64 (도 40)의 아미노산 번호 21 내지 239로 표시된 아미노산 서열로 구성된 경쇄(H-2140),

5) 서열번호 56(도 32)의 아미노산 번호 20 내지 463으로 표시된 아미노산 서열로 구성된 중쇄 및 서열번호 64 (도 40)의 아미노산 번호 21 내지 239로 표시된 아미노산 서열로 구성된 경쇄(H-1040), 및

6) 서열번호 60(도 36)의 아미노산 번호 20 내지 463으로 표시된 아미노산 서열로 구성된 중쇄 및 서열번호 64(도 40)의 아미노산 번호 21 내지 239로 표시된 아미노산 서열로 구성된 경쇄(H-2040).

### 청구항 11

제1항에 있어서, 인간 항체 또는 그의 항원 결합 단편인, 항체 또는 그의 항원 결합 단편.

### 청구항 12

하기 (I) 내지 (III)으로 구성된 군으로부터 선택되는 핵산:

(I) 제1항 내지 제11항 중 어느 한 항의 항체의 중쇄 및 경쇄의 아미노산 서열을 코딩하는 뉴클레오티드 서열을 포함하는 핵산,

(II) 제1항 내지 제11항 중 어느 한 항의 항체의 중쇄 및 경쇄의 아미노산 서열을 코딩하는 뉴클레오티드 서열을 포함하는 뉴클레오티드 서열로 구성된 핵산, 및

(III) 제1항 내지 제11항 중 어느 한 항의 항체의 중쇄 및 경쇄의 아미노산 서열을 코딩하는 뉴클레오티드 서열로 구성된 핵산.

### 청구항 13

제12항의 핵산의 삽입체를 함유하는 재조합 벡터.

### 청구항 14

제12항의 핵산 또는 그의 내부에 도입된 제13항의 재조합 벡터를 함유하는 재조합 세포.

### 청구항 15

제1항 내지 제11항 중 어느 한 항의 항체를 생산하는 세포.

### 청구항 16

하기 공정(I) 및 (II)을 포함하는, 제1항 내지 제11항 중 어느 한 항의 항체 또는 그의 항원 결합 단편의 제조 방법:

(I) 제14항 또는 제15항의 세포를 배양하는 단계; 및

(II) 상기 공정(I)에서 얻은 배양물로부터 제1항 내지 제11항 중 어느 한 항의 항체 또는 그의 항원 결합 단편을 수집하는 단계.

### 청구항 17

제16항의 제조 방법에 의해 제조된 항체 또는 그의 항원 결합 단편.

### 청구항 18

제1항 내지 제11항 및 제17항 중 어느 한 항에 있어서, N-연결된 글리코실화, O-연결된 글리코실화, N-말단 프로세싱, C-말단 프로세싱, 탈아미드화, 아스파르트산의 이성질체화, 메티오닌의 산화, 프롤린 잔기의 아미드화, 및 중쇄의 1개 또는 2개의 카복실-말단 아미노산의 결여로 구성된 군으로부터 선택되는 하나 이상의 변경을 포함하는, 항체 또는 그의 항원 결합 단편.

### 청구항 19

제1항 내지 제11항, 제17항 및 제18항 중 어느 한 항의 항체 또는 그의 항원 결합 단편을 활성 성분으로서 포함하는 약학 조성물.

### 청구항 20

제19항에 있어서, 혈관신생 질환을 치료하거나 예방하는 데에 사용되기 위한 약학 조성물.

## 청구항 21

제1항 내지 제11항, 제17항 및 제18항의 항체 또는 그의 항원 결합 단편을 활성 성분으로서 포함하는 혈관신생 억제제.

## 청구항 22

제19항 또는 제20항에 있어서, 추가 치료제 또는 예방제와 병용되는 약학 조성물.

### 발명의 설명

#### 기술 분야

[0001]

본 발명은 항-혈관신생 활성을 갖는 항체에 관한 것이다. 보다 구체적으로, 본 발명은 ROBO4에 대한 항체, 및 이 항체를 함유하는 약학 조성물에 관한 것이다.

#### 배경 기술

[0002]

분자량이 110 kDa인 단백질인 라운드어바웃 상동체(Roundabout homolog) 4(ROBO4)는 단회-통과 경막 구조를 갖고(비특허문헌 1), 공지된 혈관신생 억제제 슬릿(Slit) 상동체 2(Slit2)와의 결합을 통해 혈관신생을 억제하는 것으로 공지되어 있다(특허문헌 1 및 비특허문헌 2). Slit2는 혈관 내피 성장인자(VEGF)에 의해 촉진된 HUVEC의 이동을 억제한다고 보고되어 있고, 또한 ROBO4 유전자로 형질감염된 혈관 내피 세포(이하, 혈관 내피 세포는 "EC"로서도 지칭됨)의 경우 빈 벡터로 형질감염된 EC에 비해 VEGF 또는 bFGF에 의한 세포 이동의 촉진을 억제한다고 보고되어 있다(특허문헌 1 및 비특허문헌 2 내지 4).

[0003]

뿐만 아니라, 세포 이동의 촉진, 내강(lumen) 형성의 촉진 또는 VEGF에 의한 투과성의 증가에 대한 Slit2의 억제 효과는 야생형 마우스로부터 유래된 EC 또는 조절 siRNA로 형질감염된 EC에서 관찰되지만, ROBO4 유전자-넉아웃 마우스로부터 유래된 EC 또는 ROBO4 유전자를 넉다운시키는 siRNA로 형질감염된 EC에서는 관찰되지 않는다고 보고되어 있다(특허문헌 2 및 비특허문헌 4 내지 6). 나아가, Slit2는 삼출성 연령 관련 황반 변성 또는 당뇨망막병증을 갖는 동물 질환 모델인, 레이저-유도된 맥락막 혈관신생 또는 산소-유도된 망막병증을 갖는 마우스 모델에서 ROBO4를 통해 혈관신생 또는 혈관 투과성의 증가를 억제한다고 보고되어 있다(특허문헌 2 및 비특허문헌 4).

[0004]

이들 발견들에도 불구하고, ROBO4가 Slit2에 결합하지 않는다는 것을 보이는 보고도 있다(비특허문헌 9 및 특허문헌 5). ROBO4 유전자-넉아웃 EC의 이동 또는 내강 형성이 억제되기 때문에 ROBO4가 혈관신생의 억제보다는 오히려 혈관신생의 촉진에 참여한다는 그의 기능에 대한 보고도 있다(비특허문헌 10 및 11).

[0005]

임상 실시에서, ROBO4는 결장암, 신경절신경아교종, 방광암, 유방암, 전이성 흑색종, 신장암, 폐암, 간암 또는 결장암으로부터의 간 전이에서 종양내 혈관에서 고도로 발현된다고 보고되어 있다(특허문헌 3 및 비특허문헌 1, 3 및 7). 더욱이, ROBO4는 증식성 당뇨망막병증 환자의 섬유혈관 막 내의 혈관에서도 발현된다고 보고되어 있다(비특허문헌 8). 따라서, ROBO4는 혈관 내피 세포, 특히 병리학적 상태에서 새로 형성된 혈관 내의 내피 세포에서 발현된다. 이것은 ROBO4의 고도 발현으로부터 비롯된 병리학적 혈관신생을 암시할 수 있지만, 병리학적 혈관신생을 억제하기 위한 ROBO4의 보충 발현도 암시할 수 있다.

[0006]

전술된 바와 같이, ROBO4는 항-혈관신생 효과에 관여한다. 따라서, ROBO4에 대한 항체 및 그의 기능성 단편은 혈관신생을 수반하는 질환의 치료에 유용할 것이다. 그러나, ROBO4에 대한 작용제 또는 길항체 항체가 혈관신생을 억제하는지 아니면 촉진하는지는 불확실하다.

[0007]

유럽 특허 제1,565,491호(특허문헌 4) 및 국제 특허출원 공보 제W02008/100805호(특허문헌 5)에 기재된 항체들도 ROBO4에 대한 항체로서 공지되어 있다(이하, "항-ROBO4 항체"로서 지칭됨). 이들 항체들 중 어느 것도 생체 내에서 혈관신생에 대한 억제 또는 저해 효과를 보이지 않는다.

### 선행기술문헌

#### 특허문헌

[0008]

(특허문헌 0001) [특허문헌 1] 국제 특허출원 공보 제W02004/003163호

(특허문현 0002) [특허문현 2] 국제 특허출원 공보 제WO2008/073441호

(특허문현 0003) [특허문현 3] 국제 특허출원 공보 제WO2002/036771호

(특허문현 0004) [특허문현 4] 유럽 특허 제1,565,491호

(특허문현 0005) [특허문현 5] 국제 특허출원 공보 제WO2008/100805호

### 비특허문현

[0009]

(비)특허문현 0001) [비특허문현 1] Genomics, 2002, vol. 79, p. 547-552

(비)특허문현 0002) [비특허문현 2] Developmental Biology, 2003, vol. 261, p. 251-267

(비)특허문현 0003) [비특허문현 3] Biochemical and Biophysical Research Communications, 2005, vol. 332, p. 533-541

(비)특허문현 0004) [비특허문현 4] Nature Medicine, 2008, No. 14, p. 448-453

(비)특허문현 0005) [비특허문현 5] Science Translational Medicine, 2010, vol. 2, p. 23ra19

(비)특허문현 0006) [비특허문현 6] Proceedings of the National Academy of Sciences, 2010, vol. 107, p. 10520-10525

(비)특허문현 0007) [비특허문현 7] Oncology Reports, 2006, vol. 15, p.1437-1443

(비)특허문현 0008) [비특허문현 8] Molecular Vision, 2009, vol. 15, p. 1057-1069

(비)특허문현 0009) [비특허문현 9] The FASEB Journal, 2005, vol. 19, p. 121-123

(비)특허문현 0010) [비특허문현 10] BMC Cell Biology, 2008, vol. 9, p. 61-72

(비)특허문현 0011) [비특허문현 11] The FASEB Journal, 2009, vol. 23, p. 513-522

### 발명의 내용

#### 해결하려는 과제

[0010]

본 발명의 목적은 ROBO4에 대한 항체를 제공하는 것이다.

[0011]

본 발명의 추가 목적은 항-혈관신생 효과 등을 갖는 항-ROBO4 항체를 함유하는 약학 조성물을 제공하는 것이다.

[0012]

본 발명의 추가 목적은 상기 항체를 제조하는 방법을 제공하는 것이다.

[0013]

본 발명의 추가 목적은 상기 항체 등을 사용하여 혈관신생을 억제하는 방법을 제공하는 것이다.

#### 과제의 해결 수단

[0014]

본 발명자들은 상기 목적들을 달성하기 위해 꾸준한 연구를 수행하였고 결과적으로 ROBO4의 다운스트림 신호의 활성화를 검출하는 스크리닝 시스템을 성공적으로 구축하였다. 더욱이, 본 발명자들은 상기 스크리닝 시스템을 이용하여 ROBO4의 다운스트림 신호를 활성화시키고 ROBO4 발현 EC에서 다양한 혈관신생 인자들, 예컨대, VEGF, bFGF, HGF, PDGF-BB 및 SDF-1에 의해 유도된 세포 이동에 대한 억제 활성을 갖고 심지어 생체내 모델에서도 항-혈관신생 효과를 나타내는 신규 항-ROBO4 단일클론 항체를 성공적으로 수득하였다. 이 방식으로, 본 발명이 완성되었다.

[0015]

구체적으로, 본 발명은 하기 (1) 내지 (34)에 관한 것이다:

[0016]

(1) 하기 (I) 내지 (III)에 기재된 성질을 갖는 항체 또는 그의 기능성 단편:

[0017]

(I) 바람직하게는  $1 \times 10^{-8}$  이하, 특히 바람직하게는  $5 \times 10^{-9}$  이하의  $K_D$  값으로 ROBO4 단백질에 결합하는 성질,

- [0018] (II) 시험관내에서 교차-연결(cross-linking) 황체의 부재 하에서 혈관 내피 세포 이동을 억제하거나 저해하는 성질, 및
- [0019] (III) 생체내에서 혈관신생을 억제하거나 저해하는 성질;
- [0020] (2) (1)에 있어서, ROBO4 단백질이 인간 ROBO4 단백질인 황체 또는 그의 기능성 단편;
- [0021] (3) (1)에 있어서, ROBO4 단백질이 서열번호 2의 아미노산 번호 1 내지 1007의 아미노산 서열로 구성된 단백질인 황체 또는 그의 기능성 단편;
- [0022] (4) (1)에 있어서, ROBO4 단백질이 서열번호 2의 아미노산 번호 46 내지 1007의 아미노산 서열로 구성된 단백질인 황체 또는 그의 기능성 단편;
- [0023] (5) (3) 또는 (4)에 있어서, 서열번호 2의 아미노산 번호 132 내지 209의 아미노산 서열로 구성된 부위에 결합하는 황체 또는 그의 기능성 단편;
- [0024] (6) (1)에 있어서, 단일클론 황체 또는 그의 기능성 단편인 황체 또는 그의 기능성 단편;
- [0025] (7) (1) 내지 (6) 중 어느 하나에 있어서, 서열번호 44(도 25)로 표시된 아미노산 서열로 구성된 CDRH1, 서열번호 46(도 26)으로 표시된 아미노산 서열 또는 1개의 아미노산의 치환에 의해 서열번호 46의 아미노산 서열로부터 유도된 아미노산 서열로 구성된 CDRH2 및 서열번호 48(도 27)로 표시된 아미노산 서열로 구성된 CDRH3을 포함하는 중쇄, 및 서열번호 50(도 28)으로 표시된 아미노산 서열 또는 1개 내지 3개의 아미노산(들)의 치환에 의해 서열번호 50의 아미노산 서열로부터 유도된 아미노산 서열로 구성된 CDRL1, 서열번호 52(도 29)로 표시된 아미노산 서열로 구성된 CDRL2 및 서열번호 54(도 30)로 표시된 아미노산 서열로 구성된 CDRL3을 포함하는 경쇄로 구성된 황체 또는 그의 기능성 단편;
- [0026] (8) (1) 내지 (7) 중 어느 하나에 있어서, 서열번호 44(도 25)로 표시된 아미노산 서열로 구성된 CDRH1, 서열번호 46(도 26)으로 표시된 아미노산 서열 또는 서열번호 68(도 44)로 표시된 아미노산 서열로 구성된 CDRH2 및 서열번호 48(도 27)로 표시된 아미노산 서열로 구성된 CDRH3을 포함하는 중쇄, 및 서열번호 50(도 28)으로 표시된 아미노산 서열 또는 서열번호 70(도 46)으로 표시된 아미노산 서열로 구성된 CDRL1, 서열번호 52(도 29)로 표시된 아미노산 서열로 구성된 CDRL2 및 서열번호 54(도 30)로 표시된 아미노산 서열로 구성된 CDRL3을 포함하는 경쇄로 구성된 황체 또는 그의 기능성 단편;
- [0027] (9) (1) 내지 (7) 중 어느 하나에 있어서, 서열번호 31(도 16)로 표시된 아미노산 서열로 구성된 중쇄 가변 영역, 및 서열번호 33(도 18)으로 표시된 아미노산 서열로 구성된 경쇄 가변 영역을 포함하는 황체 또는 그의 기능성 단편;
- [0028] (10) (1) 내지 (8) 중 어느 하나에 있어서, 하기 a) 내지 d)로부터 선택된 어느 한 중쇄 가변 영역 및 하기 e) 및 f)로부터 선택된 경쇄 가변 영역을 포함하는 황체 또는 그의 기능성 단편:
- [0029] a) 서열번호 56(도 32)의 아미노산 번호 20 내지 137로 표시된 아미노산 서열로 구성된 중쇄(hMAb1-H1형) 가변 영역,
- [0030] b) 서열번호 58(도 34)의 아미노산 번호 20 내지 137로 표시된 아미노산 서열로 구성된 중쇄(hMAb1-H2형) 가변 영역,
- [0031] c) 서열번호 60(도 36)의 아미노산 번호 20 내지 137로 표시된 아미노산 서열로 구성된 중쇄(hMAb1-H3형) 가변 영역, 및
- [0032] d) 서열번호 62(도 38)의 아미노산 번호 20 내지 137로 표시된 아미노산 서열로 구성된 중쇄(hMAb1-H4형) 가변 영역; 및
- [0033] e) 서열번호 64(도 40)의 아미노산 번호 21 내지 134로 표시된 아미노산 서열로 구성된 경쇄(hMAb1-L1형) 가변 영역, 및
- [0034] f) 서열번호 66(도 42)의 아미노산 번호 21 내지 134로 표시된 아미노산 서열로 구성된 경쇄(hMAb1-L2형) 가변 영역;
- [0035] (11) (1) 내지 (8) 중 어느 하나에 있어서, 중쇄 가변 영역과 경쇄 가변 영역의 하기 조합 1) 내지 6) 중 어느 한 조합을 포함하는 황체 또는 그의 기능성 단편:

- [0036] 1) 서열번호 58(도 34)의 아미노산 번호 20 내지 137로 표시된 아미노산 서열로 구성된 중쇄 가변 영역 및 서열 번호 64(도 40)의 아미노산 번호 21 내지 134로 표시된 아미노산 서열로 구성된 경쇄 가변 영역,
- [0037] 2) 서열번호 58(도 34)의 아미노산 번호 20 내지 137로 표시된 아미노산 서열로 구성된 중쇄 가변 영역 및 서열 번호 66(도 42)의 아미노산 번호 21 내지 134로 표시된 아미노산 서열로 구성된 경쇄 가변 영역,
- [0038] 3) 서열번호 62(도 38)의 아미노산 번호 20 내지 137로 표시된 아미노산 서열로 구성된 중쇄 가변 영역 및 서열 번호 66(도 42)의 아미노산 번호 21 내지 134로 표시된 아미노산 서열로 구성된 경쇄 가변 영역,
- [0039] 4) 서열번호 62(도 38)의 아미노산 번호 20 내지 137로 표시된 아미노산 서열로 구성된 중쇄 가변 영역 및 서열 번호 64(도 40)의 아미노산 번호 21 내지 134로 표시된 아미노산 서열로 구성된 경쇄 가변 영역,
- [0040] 5) 서열번호 56(도 32)의 아미노산 번호 20 내지 137로 표시된 아미노산 서열로 구성된 중쇄 가변 영역 및 서열 번호 64(도 40)의 아미노산 번호 21 내지 134로 표시된 아미노산 서열로 구성된 경쇄 가변 영역, 및
- [0041] 6) 서열번호 60(도 36)의 아미노산 번호 20 내지 137로 표시된 아미노산 서열로 구성된 중쇄 가변 영역 및 서열 번호 64(도 40)의 아미노산 번호 21 내지 134로 표시된 아미노산 서열로 구성된 경쇄 가변 영역;
- [0042] (12) (1) 내지 (11) 중 어느 하나에 있어서, 키메라 항체 또는 그의 기능성 단편인 항체 또는 그의 기능성 단편;
- [0043] (13) (1) 내지 (11) 중 어느 하나에 있어서, 인간화된 항체 또는 그의 기능성 단편인 항체 또는 그의 기능성 단편;
- [0044] (14) (1) 내지 (13) 중 어느 하나에 있어서, 인간 IgG1 또는 인간 IgG2 중쇄 불변 영역을 포함하는 항체 또는 그의 기능성 단편;
- [0045] (15) (1) 내지 (6) 중 어느 하나에 있어서, (7) 내지 (14) 중 어느 하나에 따른 항체에 의해 인식되는 항원 상의 부위에 결합하는 항체 또는 그의 기능성 단편;
- [0046] (16) (1) 내지 (6) 중 어느 하나에 있어서, ROBO4 단백질과의 결합에 대해 (7) 내지 (14) 중 어느 하나에 따른 항체와 경쟁하는 항체 또는 그의 기능성 단편;
- [0047] (17) (1) 내지 (8) 중 어느 하나에 있어서, 중쇄와 경쇄의 하기 조합 1) 내지 6) 중 어느 한 조합을 포함하는 항체 또는 그의 기능성 단편:
- [0048] 1) 서열번호 58(도 34)의 아미노산 번호 20 내지 463으로 표시된 아미노산 서열로 구성된 중쇄 및 서열번호 64 (도 40)의 아미노산 번호 21 내지 239로 표시된 아미노산 서열로 구성된 경쇄(H-1140),
- [0049] 2) 서열번호 58(도 34)의 아미노산 번호 20 내지 463으로 표시된 아미노산 서열로 구성된 중쇄 및 서열번호 66 (도 42)의 아미노산 번호 21 내지 239로 표시된 아미노산 서열로 구성된 경쇄(H-1143),
- [0050] 3) 서열번호 62(도 38)의 아미노산 번호 20 내지 463으로 표시된 아미노산 서열로 구성된 중쇄 및 서열번호 66 (도 42)의 아미노산 번호 21 내지 239로 표시된 아미노산 서열로 구성된 경쇄(H-2143),
- [0051] 4) 서열번호 62(도 38)의 아미노산 번호 20 내지 463으로 표시된 아미노산 서열로 구성된 중쇄 및 서열번호 64 (도 40)의 아미노산 번호 21 내지 239로 표시된 아미노산 서열로 구성된 경쇄(H-2140),
- [0052] 5) 서열번호 56(도 32)의 아미노산 번호 20 내지 463으로 표시된 아미노산 서열로 구성된 중쇄 및 서열번호 64 (도 40)의 아미노산 번호 21 내지 239로 표시된 아미노산 서열로 구성된 경쇄(H-1040), 및
- [0053] 6) 서열번호 60(도 36)의 아미노산 번호 20 내지 463으로 표시된 아미노산 서열로 구성된 중쇄 및 서열번호 64 (도 40)의 아미노산 번호 21 내지 239로 표시된 아미노산 서열로 구성된 경쇄(H-2040);
- [0054] (18) (17)에 따른 항체의 중쇄의 변경된 형태를 포함하는 항체로서, 이때 상기 변경된 형태가 상기 중쇄의 1개 내지 수개의 카복실-말단 아미노산(들), 바람직하게는 상기 중쇄의 1개 내지 8개의 카복실-말단 아미노산(들), 보다 바람직하게는 상기 중쇄의 1개 또는 2개의 카복실-말단 아미노산(들)을 결여하는 것인 항체;
- [0055] (19) (1) 내지 (6) 중 어느 하나에 있어서, 아미노산 서열 면에서 (17)에 따른 항체와 95% 이상 동일하고, 인간 ROBO4에 대한  $1 \times 10^{-8}$  이하의  $K_D$  값을 갖고, 시험관내에서 교차-연결 항체의 부재 하에서 혈관 내피 세포 이동 을 억제하거나 저해하고, 생체내에서 혈관신생을 억제하거나 저해하는 항체;

- [0056] (20) (15)에 있어서, 인간 항체 또는 그의 기능성 단편인 항체 또는 그의 기능성 단편;
- [0057] (21) 하기 (I) 내지 (III)으로 구성된 군으로부터 선택된 뉴클레오티드 서열:
- [0058] (I) (1) 내지 (20) 중 어느 하나에 따른 항체의 중쇄 또는 경쇄의 부분 또는 전체 아미노산 서열을 코딩하는 뉴클레오티드 서열을 포함하는 뉴클레오티드 서열,
- [0059] (II) (1) 내지 (20) 중 어느 하나에 따른 항체의 중쇄 또는 경쇄의 부분 또는 전체 아미노산 서열을 코딩하는 뉴클레오티드 서열을 포함하는 뉴클레오티드 서열로 구성된 뉴클레오티드 서열, 및
- [0060] (III) (1) 내지 (20) 중 어느 하나에 따른 항체의 중쇄 또는 경쇄의 부분 또는 전체 아미노산 서열을 코딩하는 뉴클레오티드 서열로 구성된 뉴클레오티드 서열;
- [0061] (22) (21)에 따른 뉴클레오티드 서열의 삽입체(insert)를 함유하는 재조합 벡터;
- [0062] (23) 그의 내부에 도입된 (21)에 따른 뉴클레오티드 서열 또는 (22)에 따른 재조합 벡터를 함유하는 재조합 세포;
- [0063] (24) (1) 내지 (20) 중 어느 하나에 따른 항체를 생성하는 세포로서, 바람직하게는 포유동물 세포, 보다 바람직하게는 CHO 세포, 휠씬 더 바람직하게는 CHOK1SV인 세포;
- [0064] (25) (1) 내지 (20) 중 어느 하나에 따른 항체 또는 그의 기능성 단편의 제조 방법으로서, 하기 단계 (I) 및 (II)를 포함하는 제조 방법:
- [0065] (I) (23) 또는 (24)에 따른 세포를 배양하는 단계, 및
- [0066] (II) 단계 (I)에서 수득된 배양물로부터 (1) 내지 (20) 중 어느 하나에 따른 항체 또는 그의 기능성 단편을 수집하는 단계;
- [0067] (26) (25)에 따른 제조 방법에 의해 제조된 항체 또는 그의 기능성 단편;
- [0068] (27) (1) 내지 (20) 및 (26) 중 어느 하나에 따른 항체 또는 그의 기능성 단편의 변경된 형태;
- [0069] (28) (1) 내지 (20) 및 (26) 중 어느 하나에 따른 항체 또는 그의 기능성 단편, 또는 (27)에 따른 변경된 형태를 활성 성분으로서 포함하는 약학 조성물;
- [0070] (29) (28)에 있어서, 혈관신생 질환의 치료 또는 예방을 위한 물질인 약학 조성물;
- [0071] (30) (28)에 있어서, 혈관신생 질환이 삼출성 연령 관련 황반 변성, 당뇨망막병증, 황반 부종, 양성 또는 악성 종양, 아테롬성동맥경화증, 수정체뒤섬유증식, 혈관종, 만성 염증, 안구 혈관신생 질환, 증식성 망막병증, 혈관신생 녹내장, 각막 조직 이식 또는 다른 조직 이식의 면역 거부, 류마티스 관절염, 건선, 급성 염증, 패혈증 또는 비만인 약학 조성물;
- [0072] (31) (28)에 있어서, 혈관신생 질환이 삼출성 연령 관련 황반 변성, 당뇨망막병증, 황반 부종, 수정체뒤섬유증식, 안구 혈관신생 질환, 증식성 망막병증, 혈관신생 녹내장 또는 각막 조직 이식의 면역 거부인 약학 조성물;
- [0073] (32) (1) 내지 (20) 및 (26) 중 어느 하나에 따른 항체 또는 그의 기능성 단편 또는 (27)에 따른 변경된 형태를 활성 성분으로서 포함하는 혈관신생 억제제;
- [0074] (33) (1) 내지 (20) 및 (26) 중 어느 하나에 따른 항체 또는 그의 기능성 단편 또는 (27)에 따른 변경된 형태, 또는 (28) 내지 (31) 중 어느 하나에 따른 조성물을 혈관신생 질환의 치료 또는 예방이 필요한 대상체에게 유효량으로 투여하는 단계를 포함하는, 혈관신생 질환을 치료하거나 예방하는 방법으로서, 이때 상기 혈관신생 질환이 바람직하게는 발현된 ROBO4 단백질을 갖는 개체의 혈관신생 질환인 방법; 및
- [0075] (34) (28) 내지 (31) 중 어느 하나에 있어서, 추가 치료제 또는 예방제와 병용되는 약학 조성물로서, 이때 상기 치료제 또는 예방제가 바람직하게는 항-혈관신생 약물, 소염 약물 및/또는 항암 약물인 약학 조성물.

### 발명의 효과

- [0076] 본 발명에 따라, ROBO4에 결합하고 항-혈관신생 효과를 갖는 항체를 함유하는, 혈관신생 질환용 치료제 등이 수득될 수 있다.

## 도면의 간단한 설명

[0077]

도 1은 HEK293 세포에서 인간 ROBO4의 일시적인 발현에 있어서 반응 요소로서 NF- $\kappa$ B, GAS, ISRE, IL-8 프로모터 또는 TCF에 대한 리포터 활성의 변화의 존재 또는 부재를 보여주는 도면이다. 이 도면에서 오차 막대는 표준 편차를 표시한다( $n = 3$ ).

도 2는 HEK293 세포에서 전장 인간 ROBO4 또는 인간 ROBO4의 세포내 영역 결실 변이체의 일시적인 발현에 있어서 IL-8 프로모터 활성의 변화의 존재 또는 부재를 보여주는 도면이다. 이 도면에서 오차 막대는 표준 편차를 표시한다( $n = 5$  또는 10).

도 3은 항-ROBO4 항체 MAb1에 의해 야기된, 인간 ROBO4-형질감염된 HEK293 세포에서의 IL-8 프로모터 활성의 변화를 보여주는 도면이다. 이 도면에서 오차 막대는 표준 편차를 표시한다( $n = 3$ ).

도 4는 항-ROBO4 항체 MAb2, MAb3 또는 MAb4에 의해 야기된, 인간 ROBO4-형질감염된 HEK293 세포에서의 IL-8 프로모터 활성의 변화를 보여주는 도면이다. 이 도면에서 오차 막대는 표준 편차를 표시한다( $n = 3$ ).

도 5는 항-ROBO4 항체 MAb1에 의해 야기된, VEGF 또는 bFGF의 존재 하에서 HUVEC의 이동 성능의 변화를 보여주는 도면이다. 이 도면에서 오차 막대는 표준 편차를 표시한다( $n = 3$  또는 4).

도 6은 항-ROBO4 항체 MAb2, MAb3 또는 MAb4에 의해 야기된, bFGF의 존재 하에서 HUVEC의 이동 성능의 변화를 보여주는 도면이다. 이 도면에서 오차 막대는 표준 편차를 표시한다( $n = 4$ ).

도 7은 인간 ROBO4, 마우스 ROBO4, 래트 ROBO4 또는 사이노몰구스 원숭이 ROBO4에 대한 항-ROBO4 항체 MAb1의 결합 활성의 존재 또는 부재를 보여주는 도면이다.

도 8은 인간 ROBO1, 인간 ROBO2 또는 인간 ROBO3에 대한 항-ROBO4 항체 MAb1의 결합 활성의 존재 또는 부재를 보여주는 도면이다. 상부 상자는 MAb1에 대한 결과를 보여주고, 하부 상자는 세포 표면 상에서의 이를 단백질들의 발현을 확인시켜준 양성 대조군 항체에 대한 결과를 보여준다.

도 9는 인간 ROBO4의 세포외 영역/도메인 결실 변이체에 대한 항-ROBO4 항체 MAb1의 결합 활성의 존재 또는 부재를 보여주는 도면이다. 상부 상자는 MAb1에 대한 결과를 보여주고, 하부 상자는 세포 표면 상에서의 이를 단백질들의 발현을 확인시켜준 항-FLAG 항체에 대한 결과를 보여준다.

도 10은 항-ROBO4 항체 MAb1에 의해 야기된, 레이저-유도된 맥락막 혈관신생 모델에서의 혈관신생의 변화를 보여주는 도면이다. 이 도면에서 오차 막대는 표준 편차를 표시하고( $n = 4$ 개의 눈), ■ 또는 □는 각각의 눈의 결과를 보여준다.

도 11은 항-ROBO4 카메라 항체 cMAb1-1 또는 cMAb1-2에 의해 야기된, 인간 ROBO4-형질감염된 HEK293 세포에서의 IL-8 프로모터 활성의 변화를 보여주는 도면이다. 이 도면에서 오차 막대는 표준 편차를 표시한다( $n = 3$ ).

도 12는 항-ROBO4 카메라 항체 cMAb1-1 또는 cMAb1-2에 의해 야기된, bFGF의 존재 하에서 HUVEC의 이동 성능의 변화를 보여주는 도면이다. 이 도면에서 오차 막대는 표준 편차를 표시한다( $n = 4$ ).

도 13은 전장 인간 ROBO4를 코딩하는 cDNA(서열번호 1)를 보여준다.

도 14는 인간 ROBO4의 전장 아미노산 서열(서열번호 2)을 보여준다.

도 15는 MAb1의 중쇄 가변 영역을 코딩하는 cDNA의 뉴클레오티드 서열(서열번호 30)을 보여준다.

도 16은 MAb1 중쇄 가변 영역의 아미노산 서열(서열번호 31)을 보여준다.

도 17은 MAb1의 경쇄 가변 영역을 코딩하는 cDNA의 뉴클레오티드 서열(서열번호 32)을 보여준다.

도 18은 MAb1 경쇄 가변 영역의 아미노산 서열(서열번호 33)을 보여준다.

도 19는 cMAb1의 경쇄를 코딩하는 cDNA의 뉴클레오티드 서열(서열번호 37)을 보여준다.

도 20은 cMAb1 경쇄의 아미노산 서열(서열번호 38)을 보여준다.

도 21은 cMAb1-1의 중쇄를 코딩하는 cDNA의 뉴클레오티드 서열(서열번호 39)을 보여준다.

도 22는 cMAb1-1 중쇄의 아미노산 서열(서열번호 40)을 보여준다.

도 23은 cMab1-2의 중쇄를 코딩하는 cDNA의 뉴클레오티드 서열(서열번호 41)을 보여준다.

도 24는 cMab1-2 중쇄의 아미노산 서열(서열번호 42)을 보여준다.

도 25는 MAb1의 중쇄 CDRH1의 아미노산 서열(서열번호 44)을 보여준다.

도 26은 MAb1의 중쇄 CDRH2의 아미노산 서열(서열번호 46)을 보여준다.

도 27은 MAb1의 중쇄 CDRH3의 아미노산 서열(서열번호 48)을 보여준다.

도 28은 MAb1의 경쇄 CDRL1의 아미노산 서열(서열번호 50)을 보여준다.

도 29는 MAb1의 경쇄 CDRL2의 아미노산 서열(서열번호 52)을 보여준다.

도 30은 MAb1의 경쇄 CDRL3의 아미노산 서열(서열번호 54)을 보여준다.

도 31은 hMab1-H1형 중쇄를 코딩하는 cDNA의 뉴클레오티드 서열(서열번호 55)을 보여준다.

도 32는 hMab1-H1형 중쇄의 아미노산 서열(서열번호 56)을 보여준다.

도 33은 hMab1-H2형 중쇄를 코딩하는 cDNA의 뉴클레오티드 서열(서열번호 57)을 보여준다.

도 34는 hMab1-H2형 중쇄의 아미노산 서열(서열번호 58)을 보여준다.

도 35는 hMab1-H3형 중쇄를 코딩하는 cDNA의 뉴클레오티드 서열(서열번호 59)을 보여준다.

도 36은 hMab1-H3형 중쇄의 아미노산 서열(서열번호 60)을 보여준다.

도 37은 hMab1-H4형 중쇄를 코딩하는 cDNA의 뉴클레오티드 서열(서열번호 61)을 보여준다.

도 38은 hMab1-H4형 중쇄의 아미노산 서열(서열번호 62)을 보여준다.

도 39는 hMab1-L1형 경쇄를 코딩하는 cDNA의 뉴클레오티드 서열(서열번호 63)을 보여준다.

도 40은 hMab1-L1형 경쇄의 아미노산 서열(서열번호 64)을 보여준다.

도 41은 hMab1-L2형 경쇄를 코딩하는 cDNA의 뉴클레오티드 서열(서열번호 65)을 보여준다.

도 42는 hMab1-L2형 경쇄의 아미노산 서열(서열번호 66)을 보여준다.

도 43은 hMab1-H2형 또는 hMab1-H4형 중쇄의 CDRH1의 아미노산 서열(서열번호 67)을 보여준다.

도 44는 hMab1-H2형 또는 hMab1-H4형 중쇄의 CDRH2의 아미노산 서열(서열번호 68)을 보여준다.

도 45는 hMab1-H2형 또는 hMab1-H4형 중쇄의 CDRH3의 아미노산 서열(서열번호 69)을 보여준다.

도 46은 hMab1-L2형 경쇄의 CDRL1의 아미노산 서열(서열번호 70)을 보여준다.

도 47은 hMab1-L2형 경쇄의 CDRL2의 아미노산 서열(서열번호 71)을 보여준다.

도 48은 hMab1-L2형 경쇄의 CDRL3의 아미노산 서열(서열번호 72)을 보여준다.

도 49는 H-1040, H-1143, H-1140, H-2040, H-2143 또는 H-2140에 의해 야기된, 인간 ROBO4-형질감염된 HEK293 세포에서의 IL-8 프로모터 활성의 변화를 보여주는 도면이다.

도 50은 H-1143, H-2140 또는 H-2143에 의해 야기된, bFGF의 존재 하에서 HUVEC의 이동 성능의 변화를 보여주는 도면이다. 이 도면에서 오차 막대는 표준 편차를 표시한다( $n = 4$ ).

도 51은 H-1143의 교차-종 반응성을 보여주는 도면이다.

도 52는 H-2140의 교차-종 반응성을 보여주는 도면이다.

도 53은 H-2143의 교차-종 반응성을 보여주는 도면이다.

도 54는 H-1143, H-2140 또는 H-2143의 결합 특이성을 보여주는 도면이다.

도 55는 H-2143에 의해 야기된, 레이저-유도된 맥락막 혈관신생 모델에서의 혈관신생의 변화를 보여주는 도면이다. 이 도면에서 오차 막대는 표준 편차를 표시한다( $n = 3$ 개 또는 4개의 눈).

## 발명을 실시하기 위한 구체적인 내용

### [0078] 1. 정의

본 발명에서, "유전자"는 단백질의 아미노산을 코딩하는 뉴클레오티드 서열을 포함하는 뉴클레오티드(들) 또는 뉴클레오티드 서열, 또는 그의 상보적인 가닥을 의미한다. "유전자"는 예를 들면, 단백질의 아미노산을 코딩하는 뉴클레오티드 서열을 포함하는 뉴클레오티드 서열 또는 그의 상보적인 가닥으로서 폴리뉴클레오티드, 올리고뉴클레오티드, DNA, mRNA, cDNA 및 cRNA를 포함하기 위한 것이다. 이러한 유전자는 단일 가닥, 이중 가닥 또는 삼중 이상의 가닥을 갖는 뉴클레오티드 서열이고, "유전자"는 DNA 가닥과 RNA 가닥의 회합체, 1개 뉴클레오티드 가닥 상의 리보뉴클레오티드들(RNA들)과 데옥시리보뉴클레오티드들(DNA들)의 혼합물, 및 이러한 뉴클레오티드 가닥을 포함하는 이중 가닥 또는 삼중 이상의 가닥을 갖는 뉴클레오티드 서열도 포함하기 위한 것이다. 본 발명의 "ROBO4 유전자"의 예로는 ROBO4 단백질의 아미노산 서열을 코딩하는 뉴클레오티드 서열을 포함하는 DNA, mRNA, cDNA 및 cRNA를 들 수 있다.

본 발명에서, 용어 "뉴클레오티드(들)" 또는 "뉴클레오티드 서열"은 "핵산"과 동일한 의미를 갖고, 예를 들면, DNA, RNA, 프로브, 올리고뉴클레오티드, 폴리뉴클레오티드 및 프라이머도 포함하기 위한 것이다. 이러한 뉴클레오티드 서열은 단일 가닥, 이중 가닥 또는 삼중 이상의 가닥을 갖는 뉴클레오티드이고, "뉴클레오티드" 서열은 DNA 가닥과 RNA 가닥의 회합체, 1개 뉴클레오티드 가닥 상의 리보뉴클레오티드들(RNA들)과 데옥시리보뉴클레오티드들(DNA들)의 혼합물, 및 이러한 뉴클레오티드 가닥을 포함하는 2개의 가닥 또는 3개 이상의 가닥의 회합체도 포함하기 위한 것이다.

본 발명에서, 용어 "폴리펩티드", "펩티드" 및 "단백질"은 동일한 의미를 갖는다.

본 발명에서, "항원"은 "면역원"의 의미로서도 사용된다.

본 발명에서, "세포"는 동물 개체, 하위배양된 세포, 1차 배양된 세포, 세포주, 재조합 세포 등으로부터 유래된 다양한 세포도 포함한다.

본 발명에서, ROBO4 단백질을 인식하는 항체는 "항-ROBO4 항체"로서도 지칭된다. "항-ROBO4 항체"는 항-ROBO4 키메라 항체, 항-ROBO4 인간화된 항체, 항-ROBO4 인간 항체 등을 포함한다.

본 발명에서, "항체의 기능성 단편"은 원래의 항체의 기능들 중 하나 이상의 기능, 예를 들면, 결합 친화성( $K_D$  값)을 발휘하는 항체 단편을 의미한다. "항체의 기능성 단편"의 예로는 Fab, F(ab')<sub>2</sub>, scFv, Fab', 단일 쇄 면역글로불린 등을 들 수 있으나 이들로 한정되지 않는다. 이러한 항체의 기능성 단편은 항체 단백질의 전장 분자를 효소, 예컨대, 파파인 또는 펩신으로 처리함으로써 수득될 수 있거나, 재조합 유전자를 사용하여 적절한 숙주 세포에서 생성한 재조합 단백질일 수 있다. 바람직한 "기능성 단편"은 원래의 항체의 생물학적 활성을 중 하나 이상의 생물학적 활성을 갖는다.

추가로, 본 발명과 관련하여 중쇄 또는 경쇄의 "부분 아미노산 서열"을 코딩하는 뉴클레오티드 서열은 본원에서 상기 정의된 "항체의 기능성 단편"을 코딩하는 뉴클레오티드 서열이거나 이러한 뉴클레오티드 서열을 포함한다.

본 발명에서, 항체가 결합하는 "부위", 즉 항체에 의해 인식되는 "부위"는 항체에 의해 결합되거나 인식되는 항원 상의 부분 웨პ티드 또는 부분 입체구조를 의미한다. 본 발명에서, 이러한 부위는 애피토프 또는 항체 결합 부위로서도 지칭된다. 본 발명의 항-ROBO4 항체에 의해 결합되거나 인식되는 ROBO4 단백질 상의 부위의 예로는 ROBO4 단백질 상의 부분 웨პ티드 또는 부분 입체구조를 들 수 있다.

항체 분자의 중쇄 및 경쇄는 3개의 상보성 결정 영역들(CDR들)을 각각 갖는 것으로 공지되어 있다. 상보성 결정 영역은 초가변 도메인으로서도 지칭된다. 이들은 항체 중쇄 및 경쇄의 가변 영역에 위치한다. 이들 부위들은 특히 고도 가변성 1차 구조를 갖고 통상적으로 중쇄 및 경쇄 폴리펩티드 가닥의 각각의 1차 구조 상의 3개 위치에서 분리되어 있다. 본 발명에서, 항체의 상보성 결정 영역은 중쇄의 상보성 결정 영역의 경우 중쇄 아미노산 서열의 아미노 말단부터 CDRH1, CDRH2 및 CDRH3으로서 지칭되고 경쇄의 상보성 결정 영역의 경우 경쇄 아미노산 서열의 아미노 말단부터 CDRL1, CDRL2 및 CDRL3으로서 지칭된다. 이들 부위들은 3차원 구조 상에서 서로 인접하고 결합될 항원에 대한 특이성을 결정한다.

본 발명에서, "항체 돌연변이체"는 아미노산(들)의 치환, 결실, 추가 및/또는 삽입(이하, "돌연변이"로서 총칭됨)에 의해 원래의 항체의 아미노산 서열로부터 유도된 아미노산 서열을 갖고 본 발명의 ROBO4 단백질에 결합하는 폴리펩티드를 의미한다. 이러한 항체 돌연변이체에서 돌연변이된 아미노산의 수는 1개 또는 2개, 1개 내지 3

개, 1개 내지 4개, 1개 내지 5개, 1개 내지 6개, 1개 내지 7개, 1개 내지 8개, 1개 내지 9개, 1개 내지 10개, 1개 내지 12개, 1개 내지 15개, 1개 내지 20개, 1개 내지 25개, 1개 내지 30개, 1개 내지 40개 또는 1개 내지 50개이다. 이러한 항체 돌연변이체도 본 발명의 "항체"에 의해 포함된다.

[0090] 본 발명에서, "1개 내지 수개"에서 용어 "수개"는 2개 내지 10개, 바람직하게는 2개 내지 8개, 보다 바람직하게는 2개를 지칭한다.

[0091] 본 발명의 항체에 의해 발휘되는 활성 또는 성질의 예로는 생물학적 활성 또는 물리화학적 성질을 들 수 있고, 구체적으로 다양한 생물학적 활성, 항원 또는 에피토프에 대한 결합 활성, 제조 또는 저장 동안의 안정성, 및 열안정성을 들 수 있다.

[0092] 본 발명에서, 어구 "엄격한 조건 하에서 혼성화하는"은 5 x SSC를 함유하는 65°C 용액에서의 혼성화에 이어서, 2 x SSC-0.1% SDS를 함유하는 65°C 수용액에서의 20분 동안의 세척, 0.5 x SSC-0.1% SDS를 함유하는 65°C 수용액에서의 20분 동안의 세척 및 0.2 x SSC-0.1% SDS를 함유하는 65°C 수용액에서의 20분 동안의 세척을 포함하는 조건 하에서의 혼성화, 또는 이와 동등한 조건 하에서의 혼성화를 의미한다. SSC는 150 mM NaCl-15 mM 구연산나트륨의 수용액을 의미하고, n x SSC는 n배 농도를 갖는 SSC를 의미한다.

## [0093] 2. ROBO4 단백질

[0094] 본 명세서에서, 용어 "ROBO4" 및 "ROBO4 단백질"은 동일한 의미로서 사용된다.

### [0095] (2-1) 성질

[0096] 본 발명의 ROBO4 단백질은 하기 성질을 갖는다:

[0097] (i) ROBO4는 대략 110 kDa의 분자량 및 단회-통과 경막 구조를 갖고, 혈관신생에 관여하는 SLIT2 단백질의 수용체 단백질이다. 본 발명의 임의의 ROBO4 단백질은 막, 예컨대, 세포막으로부터 유리된 형태로 발견될 수 있고, 막, 예컨대, 세포막에 결합된 형태로 존재할 수도 있다. 이와 관련하여, 분자량은 SDS-PAGE의 비활원 조건 하에서의 겉보기 분자량을 의미한다. ROBO4의 N-말단 세포외 영역은 2개의 면역글로불린 유사 도메인들(이하, "Ig 유사 도메인들"로서 지칭됨) 및 2개의 피브로넥틴 III형 도메인을 함유하는 반면, 그의 C-말단 세포내 영역은 단백질 풍부 영역을 함유한다. 본 명세서에서, 이를 2개의 면역글로불린 유사 도메인들은 아미노 말단부터 각각 Ig 유사 도메인 1 및 Ig 유사 도메인 2로서 지칭된다. 인간 ROBO4 단백질은 서열번호 2의 아미노산 번호 28 내지 1007의 아미노산 서열로 구성된다. 서열번호 2의 아미노산 번호 1 내지 27은 분비 신호를 나타내고; 그의 아미노산 번호 28 내지 467은 세포외 영역을 나타내고; 그의 아미노산 번호 46 내지 131은 Ig 유사 도메인 1을 나타내고; 그의 아미노산 번호 137 내지 224는 Ig 유사 도메인 2를 나타내고; 그의 아미노산 번호 252 내지 340은 피브로넥틴 III형 도메인 1을 나타내고; 그의 아미노산 번호 347 내지 438은 피브로넥틴 III형 도메인 2를 나타내고; 그의 아미노산 번호 468 내지 490은 세포막 내의 영역을 나타내고; 그의 아미노산 번호 491 내지 1007은 세포내 영역을 나타낸다.

[0098] (ii) ROBO4는 항-혈관신생 효과를 갖는다. 본 발명에서, 용어 "항-혈관신생"은 분자가 혼자서, 또 다른 인자와 협력하여, 또는 또 다른 인자와의 회합체로서 혈관신생을 직접적으로 또는 간접적으로 억제하고/하거나 저해한다는 것을 의미한다. 항-혈관신생 효과는 예를 들면, VEGF에 의한 혈관 투과성, 세포 이동 촉진 활성 또는 내강 형성 활성의 증가에 대한 억제 효과를 지표로서 사용함으로써 평가될 수 있다.

[0099] (iii) ROBO4는 하기 (a) 내지 (e) 중 어느 하나에 기재된 아미노산 서열(이하, "ROBO4 아미노산 서열"로서 지칭됨)을 포함하거나, ROBO4 아미노산 서열을 포함하는 아미노산 서열로 구성되거나, ROBO4 아미노산 서열로 구성된다:

[0100] (a) 서열번호 2(도 14)로 표시된 아미노산 서열;

[0101] (b) 서열번호 2(도 14)로 표시된 아미노산 서열에 대한 80% 이상, 82% 이상, 84% 이상, 86% 이상, 88% 이상, 90% 이상, 92% 이상, 94% 이상, 96% 이상, 98% 이상 또는 99% 이상의 서열 동일성을 나타내고 항-혈관신생 효과를 나타내는 폴리펩티드의 아미노산 서열;

[0102] (c) 1개 내지 50개, 1개 내지 45개, 1개 내지 40개, 1개 내지 35개, 1개 내지 30개, 1개 내지 25개, 1개 내지 20개, 1개 내지 15개, 1개 내지 10개, 1개 내지 8개, 1개 내지 6개, 1개 내지 5개, 1개 내지 4개, 1개 내지 3개, 1개 또는 2개, 또는 1개의 아미노산(들)의 치환, 결실, 추가 또는 삽입을 갖는 서열번호 2(도 14)로 표시된 아미노산 서열을 포함하고 혈관신생을 억제하는 폴리펩티드의 아미노산 서열;

- [0103] (d) 아미노산 1 내지 45 또는 1 내지 131의 결실을 갖는 서열번호 2의 아미노산 서열을 포함하고 혈관신생을 억제하는 폴리펩티드의 아미노산 서열; 및
- [0104] (e) 서열번호 2(도 14)로 표시된 아미노산 서열을 코딩하는 뉴클레오티드 서열에 상보적인 뉴클레오티드 서열을 갖는 뉴클레오티드와 엄격한 조건 하에서 혼성화하는 뉴클레오티드의 뉴클레오티드 서열에 의해 코딩되고 혈관신생을 억제하는 폴리펩티드의 아미노산 서열.
- [0105] ROBO4 단백질은 2개 이상의 서브유닛으로 구성된 동종 또는 이종 올리고 회합체의 전체 또는 부분으로서 존재할 수 있다.
- [0106] ROBO4 단백질의 아미노산 서열 및/또는 다른 성질은 개체, 조직, 체액, 세포, ROBO4 단백질 함유 분획, 정제된 또는 부분적으로 정제된 ROBO4 단백질 제제 등에서, 또는 복수의 개체, 조직, 세포, ROBO4 단백질 함유 분획 또는 ROBO4 단백질 제제들 사이에 동일하지 않을 수 있고 균질하지도 않을 수 있다. 한 개체, 조직, 체액, 세포, ROBO4 단백질 함유 분획, 정제된 또는 부분적으로 정제된 ROBO4 단백질 제제 등은 아미노산 서열 및/또는 성질 면에서 상이한 복수의 종류의 ROBO4 단백질들을 함유할 수 있다. 대안적으로, 복수의 개체, 조직, 세포, ROBO4 단백질 함유 제제 또는 ROBO4 단백질 제제는 ROBO4 단백질의 아미노산 서열 및/또는 다른 성질 면에서 상이할 수 있다. 아미노산 서열 및/또는 성질 면에서 서로 상이한 이러한 단백질들조차도, 이들이 상기 (i) 내지 (ii i)에 기재된 성질을 보유하는 한, 본 발명의 "ROBO4 단백질"에 의해 모두 포함된다.
- [0107] (iv) 본 발명의 ROBO4 단백질은 척추동물, 바람직하게는 포유동물, 보다 바람직하게는 설치류, 예컨대, 마우스 또는 래트, 또는 인간의 조직, 훨씬 더 바람직하게는 인간 또는 마우스의 조직, 이러한 조직으로부터 유래된 세포, 이러한 세포의 배양물 등으로부터 수득될 수 있다. 이러한 조직 및 세포는, 이들이 ROBO4 단백질을 함유하는 한, 특별히 한정되지 않는다. 그의 예로는 관절 조직, 혈액, 럼프, 흉선, 비장, 및 이들 중 어느 하나로부터 유래된 세포를 들 수 있다. 바람직한 조직 및 세포는 혈관신생을 갖는 동물 또는 환자로부터 유래된 조직 및 세포이다. 그러나, 본 발명의 ROBO4 단백질의 기원은 전술된 기원들로 한정되지 않고, 본 발명의 ROBO4 단백질은 다른 동물 종, 다른 조직, 다른 세포 등으로부터 유래된 ROBO4 단백질들이 상기 (i) 내지 (iii)에 기재된 성질을 보유하는 한, 이들 단백질들 조차도 포함하기 위한 것이다.
- [0108] 본 발명의 ROBO4 단백질은 천연 단백질 및 재조합 단백질 중 임의의 단백질일 수 있다. ROBO4 단백질은 또 다른 웹티드 또는 단백질, 예컨대, 담체 또는 태그를 갖는 융합 생물체도 포함하기 위한 것이다. ROBO4 단백질은 중합체, 예컨대, PEG의 추가를 포함하는 화학적 변경, 및/또는 당쇄 변경을 포함하는 생물학적 변경을 구비한 형태도 포함하기 위한 것이다. 나아가, 본 발명의 ROBO4 단백질은 ROBO4 단백질 단편을 포함하기 위한 것이다. 상기 (ii)에 기재된 성질을 보유하는 ROBO4 단백질 단편은 ROBO4 단백질의 기능성 단편으로서 지칭된다.
- [0109] (2-2) ROBO4 유전자
- [0110] 본 발명의 ROBO4 유전자는 하기 (a) 내지 (c) 중 어느 하나에 기재된 뉴클레오티드 서열(이하, "ROBO4 유전자 서열"로서 지칭됨)을 포함하거나, ROBO4 유전자 서열을 포함하는 뉴클레오티드 서열로 구성되거나, ROBO4 유전자 서열로 구성된다:
- [0111] (a) 서열번호 1(도 13)로 표시된 뉴클레오티드 서열;
- [0112] (b) 서열번호 1로 표시된 뉴클레오티드 서열에 상보적인 뉴클레오티드 서열로 구성된 뉴클레오티드와 엄격한 조건 하에서 혼성화하고 혈관신생을 억제하는 폴리펩티드의 아미노산 서열을 코딩하는 뉴클레오티드 서열; 및
- [0113] (c) 1개 내지 150개, 1개 내지 140개, 1개 내지 130개, 1개 내지 120개, 1개 내지 110개, 1개 내지 100개, 1개 내지 90개, 1개 내지 80개, 1개 내지 70개, 1개 내지 60개, 1개 내지 50개, 1개 내지 45개, 1개 내지 40개, 1개 내지 30개, 1개 내지 25개, 1개 내지 20개, 1개 내지 15개, 1개 내지 10개, 1개 내지 8개, 1개 내지 6개, 1개 내지 5개, 1개 내지 4개, 1개 내지 3개, 1개 또는 2개, 또는 1개의 염기(들)의 치환, 결실, 추가 또는 삽입을 갖는 서열번호 1(도 13)로 표시된 뉴클레오티드 서열을 포함하고 혈관신생을 억제하는 폴리펩티드의 아미노산 서열을 코딩하는 뉴클레오티드 서열.
- [0114] ROBO4 유전자는 혈관신생을 동반하는 질환, 예를 들면, 증식성 당뇨망막병증을 갖는 환자의 섬유혈관마 내의 혈관 또는 종양내 혈관에서 과다발현된다. 추가로, ROBO4 유전자는 혈관신생을 수반하는 것으로 간주되는 질환, 예컨대, 삼출성 연령 황반 변성, 황반 부종, 아테롬성동맥경화증, 수정체뒤섬유증식, 혈관종, 만성 염증, 암구 혈관신생 질환, 증식성 망막병증, 혈관신생 녹내장, 각막 조직 이식 또는 다른 조직 이식의 면역 거부, 류마티스 관절염, 건선, 급성 염증, 패혈증 또는 비만으로 고통받는 환자, 또는 이들 질환들의 모델 동물로부터

유래된 조직 또는 혈액 분획에서 과다발현되어 있는 것으로 보인다.

[0115] ROBO4 유전자의 발현 및 발현 수준은 ROBO4 유전자 전사 생성물 및 ROBO4 단백질 중 임의의 물질을 지표로서 사용함으로써 분석될 수 있고, 전자 지표의 경우 RT-PCR, 노던 블롯 혼성화 등에 의해 측정될 수 있고 후자 지표의 경우 면역분석(예를 들면, 효소-연결된 면역흡착 분석; 이하, "ELISA"로서 지칭됨) 등에 의해 측정될 수 있다.

[0116] (2-3) 단백질의 제조

[0117] 본 발명의 ROBO4 단백질은 동물 조직(체액을 포함함), 상기 조직으로부터 유래된 세포, 또는 상기 세포의 배양물로부터 정제될 수 있거나 단리될 수 있고, 유전자 재조합, 시험관내 번역, 화학 합성 등에 의해 제조될 수 있다.

[0118] (2-3-1) 천연 ROBO4의 정제 또는 단리

[0119] 천연 ROBO4 단백질은 예를 들면, 혈관신생 질환, 예컨대, 삼출성 연령 관련 황반 변성, 당뇨망막병증, 황반 부종, 양성 또는 악성 종양, 아테롬성동맥경화증, 수정체뒤섬유증식, 혈관종, 만성 염증, 안구 혈관신생 질환, 증식성 망막병증, 혈관신생 녹내장, 각막 조직 이식 또는 다른 조직 이식의 면역 거부, 류마티스 관절염, 건선, 급성 염증, 패혈증 또는 비만으로 고통받는 환자 또는 비인간 동물로부터 유래된 조직(체액, 세포 등을 포함함), 상기 조직으로부터 유래된 세포, 또는 상기 세포의 배양물로부터 정제될 수 있거나 단리될 수 있다. 이러한 비인간 동물은 이들 질환들의 모델 동물도 포함한다. 모델 제조에 사용되는 동물들은, 이들이 척추동물인 한, 특별히 한정되지 않는다. 상기 동물들은 바람직하게는 포유동물, 보다 바람직하게는 설치류, 예컨대, 마우스 또는 래트, 훨씬 더 바람직하게는 마우스 또는 래트이다. 이러한 환자 또는 모델 동물의 조직 및 세포는, 이들이 ROBO4 단백질을 함유하는 한, 특별히 한정되지 않는다. 그의 예로는 관절 조직, 혈액, 림프, 흉선, 비장, 및 이들 중 임의의 조직으로부터 유래된 세포를 들 수 있다. 바람직한 조직 및 세포는 혈관신생을 갖거나 유사한 증상을 나타내는 환자 또는 모델 동물로부터 유래된다. 그러나, 본 발명의 ROBO4 단백질의 기원은 전술된 기원들로 한정되지 않고, 본 발명의 ROBO4 단백질은 다른 동물 종, 다른 조직, 다른 세포 등으로부터 유래될 수 있다.

[0120] 이러한 조직, 세포, 세포 배양물 등으로부터의 정제 또는 단리는 당업자에게 잘 공지된 방법들, 예컨대, 분별과 크로마토그래피의 병용에 의해 수행될 수 있다. 이러한 방법들은 염색, 겔 여과, 이온 교환 크로마토그래피, 친화성 크로마토그래피, 소수성 크로마토그래피, 순상 또는 역상 크로마토그래피 등을 포함하나 이들로 한정되지 않는다. 항-ROBO4 단일클론 항체와 교차-연결된 친화성 젤을 제조하여 컬럼에 적재함으로써 친화성 크로마토그래피용 컬럼을 제조할 수 있다. ROBO4 단백질을 함유하는 미정제 또는 부분적으로 정제된 분획을 이러한 컬럼에 첨가한다. 그 후, 멸균된 인산염 완충 식염수(PBS)를 사용하여 비특이적으로 흡착된 물질을 제거한 후, 용출용 완충제 용액을 첨가하여 ROBO4 단백질을 선택적으로 수집한다. ROBO4 단백질을 함유하는 용액을 젤 여과하거나, 또는 완충제를 교체하고/하거나 농축기, 예컨대, 센트리프렙(Centrifprep)을 이용하여 농축할 수 있다.

[0121] (2-3-2) 재조합 ROBO4 단백질의 제조

[0122] 본 발명의 ROBO4 단백질은 재조합체 형태로 제조될 수도 있다. 구체적으로, ROBO4 단백질 또는 ROBO4 단백질 단편의 아미노산 서열을 코딩하는 유전자를 사용하여 숙주 세포를 형질감염시키고 ROBO4 단백질을 세포 배양물로부터 수집할 수 있다. 예를 들면, ROBO4 유전자 또는 그의 단편을 발현 벡터 내로 삽입한다. 그 후, 발생된 재조합 벡터를 사용하여 원핵 또는 진핵 숙주 세포를 형질감염시키고, 수득된 재조합 세포를 항온처리하여 ROBO4 단백질을 발현시킬 수 있다. 당분야에서 공지된 발현 패턴, 예컨대, 분비 발현, 가용성 형태의 세포내 발현 또는 봉입체(inclusion body) 방법이 이용될 수 있다. 또한, ROBO4 단백질은 천연 ROBO4 단백질과 동일한 아미노 말단(N-말단) 및/또는 카복시 말단(C-말단)을 갖는 분자로서 발현될 수 있을 뿐만 아니라, 분비 신호, 세포내 국소화 신호, 친화성 정제용 태그 또는 파트너 웨티드를 갖는 융합 단백질로서도 발현될 수 있다. 방법들, 예컨대, 상기 (2-3-1)의 천연 ROBO4 단백질의 정제 또는 단리에 기재된 분별과 크로마토그래피의 적절한 병용으로 이러한 재조합 세포 배양물로부터 ROBO4 단백질을 정제할 수 있거나 단리할 수 있다.

[0123] ROBO4 유전자 또는 그의 단편을 당업자에게 잘 공지된 방법으로 제조할 수 있다.

[0124] 그의 예로는 ROBO4 cDNA 발현 라이브러리를 주형으로서 사용하고 서열을 특이적으로 증폭할 수 있는 한 세트의 프라이머를 사용하는 중합효소 연쇄 반응(이하, "PCR"로서 지칭됨; Saiki, R.K., et al., Science (1988) 239, p. 487-489); ROBO4 발현용 mRNA 분획을 주형으로서 사용하고 서열을 역전사할 수 있는 프라이머 및 서열을 특이적으로 증폭할 수 있는 한 세트의 프라이머를 사용하는 역전사 PCR(이하, "RT-PCR"로서 지칭됨); 면역분석을

이용한 발현 클로닝; 및 정제된 ROBO4 단백질의 부분 아미노산 서열을 사용한 cDNA 클로닝을 들 수 있다.

[0125] (2-3-3) 시험관내 변역

본 발명의 ROBO4 단백질은 시험관내 변역에 의해 제조될 수도 있다. 이러한 변역 방법은, 이 방법이 전사 및 번역에 필요한 효소, 기질 및 에너지 물질을 포함하는 세포 무함유 변역 시스템을 사용하는 방법인 한, 특별히 한정되지 않는다. 그의 예로는 로슈 디아그노스틱스(Roche Diagnostics)에 의해 제조된 신속 변역 시스템(rts)을 이용하는 방법을 들 수 있다.

[0127] (2-3-4) 화학적 합성

본 발명의 ROBO4 단백질은 화학적 합성에 의해 제조될 수도 있다. 화학적 합성 방법의 예로는 고체상 웹티드 합성 방법, 예컨대, Fmoc 합성 및 Boc 합성 방법을 들 수 있다.

[0129] 3. 항-ROBO4 항체

[0130] (3-1) 항-ROBO4 항체의 종류

본 발명의 항체는 단일클론 항체 및 다중클론 항체 중 임의의 항체일 수 있다. 본 발명의 단일클론 항체의 예로는 비인간 동물 유래의 항체(비인간 동물 항체), 인간 유래의 항체(인간 항체), 키메라 항체 및 인간화된 항체, 바람직하게는 키메라 항체, 인간화된 항체 및 인간 유래의 항체(인간 항체), 보다 바람직하게는 인간화된 항체 및 인간 유래의 항체(인간 항체)를 들 수 있다.

[0132] 비인간 동물 항체의 예로는 척추동물, 예컨대, 포유동물 및 조류로부터 유래된 항체를 들 수 있다. 포유동물 유래의 항체의 예로는 설치류 유래의 항체, 예컨대, 마우스 항체 및 래트 항체를 들 수 있다. 조류 유래의 항체의 예로는 닭 항체를 들 수 있다.

[0133] 키메라 항체의 예로는 인간 항체(인간 면역글로불린) 불변 영역과 결합된 비인간 동물 항체 유래의 가변 영역을 포함하는 항체를 들 수 있으나 이것으로 한정되지 않는다. 비인간 동물 항체 유래의 가변 영역의 예로는 후술된 Mab1로부터 유래된 중쇄 가변 영역 및 경쇄 가변 영역을 들 수 있다.

[0134] 인간화된 항체의 예로는 비인간 동물 항체의 가변 영역 내의 CDR들을 이식받은 인간 항체(인간 면역글로불린 가변 영역), 상기 CDR들뿐만 아니라 비인간 동물 항체의 골격 영역의 부분 서열도 이식받은 인간 항체, 및 이들 인간화된 항체들 중 임의의 인간화된 항체에서 1개 또는 2개 이상의 비인간 동물 항체 유래의 아미노산(들)을 치환시킨 인간 항체 아미노산(들)을 갖는 항체를 들 수 있다. 비인간 동물 항체의 가변 영역 내의 CDR들의 예로는 후술된 Mab1로부터 유래된 중쇄 가변 영역 내의 CDRH1 내지 CDRH3, 및 후술된 Mab1로부터 유래된 경쇄 가변 영역 내의 CDRL1 내지 CDRL3을 들 수 있다.

[0135] 인간 항체는, 이것이 본 발명의 항원을 인식하는 항체인 한, 특별히 한정되지 않는다. 그의 예로는 본 발명의 항체 CDR들을 갖는 항체에 의해 결합된 부위와 동일한 부위에 결합하는 인간 항체, 및 전술된 Mab1에 의해 결합된 부위와 동일한 ROBO4 상의 부위에 결합하는 인간 항체를 들 수 있다.

[0136] 본 발명에 따른 항체는 복수의 상이한 항체들로부터 유래된 부위들로 구성된 항체일 수 있다. 그의 예로는 복수의 상이한 항체들 사이에서 교환된 중쇄 및/또는 경쇄를 포함하는 항체, 그들 사이에서 교환된 전장 중쇄 및/또는 경쇄를 포함하는 항체, 그들 사이에서 교환된 가변 또는 불변 영역을 포함하는 항체, 및 그들 사이에서 교환된 모든 또는 일부 CDR들을 포함하는 항체를 들 수 있다. 키메라 항체의 중쇄 가변 영역 및 경쇄 가변 영역은 본 발명의 상이한 항체들로부터 유래될 수 있다. 인간화된 항체의 중쇄 가변 영역 및 경쇄 가변 영역 내의 CDRH1 내지 CDRH3 및 CDRL1 내지 CDRL3은 본 발명의 2개 이상의 상이한 항체들로부터 유래될 수 있다. 인간 항체의 중쇄 가변 영역 및 경쇄 가변 영역 내의 CDRH1 내지 CDRH3 및 CDRL1 내지 CDRL3은 본 발명의 2개 이상의 상이한 항체들에 의해 보유된 CDR들의 조합일 수 있다.

[0137] 본 발명의 단일클론 항체의 동종형(isotype)은 특별히 한정되지 않고, 그의 예로는 IgG, 예컨대, IgG1, IgG2, IgG3 및 IgG4, IgM, IgA, 예컨대, IgA1 및 IgA2, IgD 및 IgE를 들 수 있고, 바람직하게는 IgG 및 IgM, 보다 바람직하게는 IgG2를 들 수 있다. 단일클론 항체의 동종형 및 서브클래스는 예를 들면, 오우크털로니(Ouchterlony) 시험, ELISA 또는 방사면역분석(이하, "RIA"로서 지칭됨)에 의해 결정될 수 있다. 확인을 위한 상업적으로 입수가능한 키트(바이오-라드 라보라토리스 인코포레이티드(Bio-Rad Laboratories, Inc.)에 의해 제조된 마우스 타이퍼(Typer) 키트, 에이비디 세로텍(AbD Serotec)에 의해 제조된 래트 단일클론 항체 동종형분류 시험 키트(RAT MONOCLONAL ANTIBODY ISOTYPING TEST KIT) 등)가 사용될 수 있다.

[0138] (3-2) 항-ROBO4 항체의 결합 특이성

[0139] 본 발명의 항체는 ROBO4 단백질을 인식한다. 다시 말해, 본 발명의 항체는 ROBO4 단백질에 결합한다. 이러한 항체는 "항-ROBO4 항체"로서 지칭된다. 나아가, 본 발명의 바람직한 항체는 ROBO4 단백질을 특이적으로 인식한다. 다시 말해, 본 발명의 바람직한 항체는 ROBO4 단백질에 특이적으로 결합한다. 나아가, 본 발명의 보다 바람직한 항체는 ROBO4 단백질에 의해 보유된 Ig 유사 도메인에 특이적으로 결합한다. 이러한 Ig 유사 도메인의 예로는 Ig 유사 도메인 1 및 Ig 유사 도메인 2를 들 수 있다. 본 발명의 보다 바람직한 항체는 서열번호 2의 아미노산 번호 132 내지 209의 아미노산 서열로 구성된 영역을 인식한다. 본 발명의 항체는 인간 ROBO4 단백질, 원숭이, 바람직하게는 사이노몰구스 원숭이 ROBO4 단백질 및 토끼 ROBO4 단백질에 결합하지만, 마우스 ROBO4 단백질 및 래트 ROBO4 단백질에는 결합하지 않는다(실시예 4)-3 및 실시예 11)-4에서의 교차-종 반응성).

[0140] 본 발명에서, "특이적 인식", 즉 "특이적 결합"은 비특이적 흡착이 아닌 결합을 의미한다. 결합이 특이적인지 아닌지를 결정하기 위한 기준의 예로는 해리 상수(이하, " $K_D$ "로서 지칭됨)를 들 수 있다. 본 발명의 바람직한 항체는 ROBO4 단백질에 대한  $1 \times 10^{-5}$  이하,  $5 \times 10^{-6}$  이하,  $2 \times 10^{-6}$  이하 또는  $1 \times 10^{-6}$  이하, 보다 바람직하게는  $5 \times 10^{-7}$  이하,  $2 \times 10^{-7}$  이하 또는  $1 \times 10^{-7}$  이하, 훨씬 더 바람직하게는  $5 \times 10^{-8}$  이하,  $2 \times 10^{-8}$  이하 또는  $1 \times 10^{-8}$  이하, 더욱 더 바람직하게는  $5 \times 10^{-9}$  이하,  $2 \times 10^{-9}$  이하 또는  $1 \times 10^{-9}$  이하, 가장 바람직하게는  $5 \times 10^{-10}$  이하,  $2 \times 10^{-10}$  이하 또는  $1 \times 10^{-10}$  이하의  $K_D$  값을 갖는다. 보다 구체적으로, 본 발명의 바람직한 항체는 ROBO4 단백질에 대한  $2 \times 10^{-8}$  이하, 보다 바람직하게는  $1 \times 10^{-8}$  이하, 훨씬 더 바람직하게는  $5 \times 10^{-9}$  이하의  $K_D$  값을 갖는다.

[0141] 본 발명에서, 항체와 항원의 결합은 ELISA, RIA, 표면 플라스몬 공명(이하, "SPR"로서 지칭됨) 분석 등에 의해 분석될 수 있거나 측정될 수 있다. SPR 분석에서 이용된 장치의 예로는 (지이 헬쓰케어 바이오-사이언시스 코포레이션(GE Healthcare Bio-Sciences Corp.)에 의해 제조된) 비아코어(BIAcore)(TM), (바이오-라드 라보라토리스 인코포레이티드(Bio-Rad Laboratories, Inc.)에 의해 제조된) 프로테온(ProteOn)(TM), (바이오나비스 오이리미티드(BioNavis Oy Ltd.)에 의해 제조된) SPR-나비(SPR-Nav)(TM), (텍사스 인스트루먼츠 인코포레이티드(Texas Instruments Inc.)에 의해 제조된) 스프레에타(Spreeta)(TM), (호리바 리미티드(Horiba, Ltd.)에 의해 제조된) SPRi-플렉스(Plex)II(TM) 및 (메트롬(Metrohm)에 의해 제조된) 오토랩(Autolab) SPR(TM)을 들 수 있다. 항체와 세포 표면 상에서 발현된 항원의 결합은 유동 세포측정(flow cytometry) 등에 의해 분석될 수 있다.

[0142] (3-3) 항-ROBO4 항체의 시험관내 항-혈관신생 활성

[0143] 본 발명의 항체는 시험관내에서 교차-연결 항체의 부재 하에서 항-혈관신생 활성을 갖는다. 일부 항체들이 시험관내에서 교차-연결 항체의 부재 하에서 약리학적 활성을 나타내지 않지만 생체내에서는 교차-연결 항체의 부재 하에서 약리학적 활성을 나타낸다는 것이 공지되어 있다(Cancer Cell (2011), 19, p. 101-113). 이것은 아마도 백혈구가 생체내에서 교차-연결 항체의 기능과 동일한 기능을 갖는 Fc γ 수용체를 발현한다는 것이 발견되었기 때문일 것이므로(Nature (2008), 48, p. 34-47), 상기 항체들은 교차-연결 항체 없이도 백혈구의 존재 하에서 교차-연결을 통해 약리학적 활성을 나타낸다. 그러나, 실제 유기체에서 병변 내의 백혈구의 수는 개체들 사이에 상이하고(Cancer Res (2011), 71, 5670-5677), 아마도 이로 인해 백혈구에 의해 유도된 교차-연결에 의존하는 약리학적 활성을 나타내는 항체들의 효과가 개체들 사이에 상이하다. 본 발명의 항체는 시험관내에서 교차-연결 항체의 부재 하에서 조차도 뛰어난 항-혈관신생 활성을 나타낸다. 따라서, 본 발명의 항체는 생체내에서 백혈구의 수와 무관한 항-혈관신생 효과도 가질 수 있으므로 약학적으로 적합하다.

[0144] 항-혈관신생 활성은 혈관 내피 세포 성장, 이동, 내강 형성 등을 억제하는 활성을 의미한다. 시험관내 항-혈관신생 활성은 혈관 투과성, 혈관 내피 세포 이동 또는 내강 형성 시험에 의해 평가될 수 있다.

[0145] 예를 들면, 이러한 평가를 위한 혈관 투과성 시험은 1  $\mu\text{m}$ 의 공극 크기를 갖는 보이덴(Boyden) 챔버의 상층에 정상 인간 제대 정맥 내피 세포(HUVEC)를 접종하여 단일 층을 형성한 후, 상기 세포 층을 투과하는 FITC-표지부착된 덱스트란 등의 양을 측정하는 단계를 포함할 수 있다. 상기 세포 층을 투과하는 FITC-표지부착된 덱스트란의 양은 예를 들면, 시험관내 혈관 투과성 분석(카탈로그 번호 ECM640, 밀리포어 코포레이션(Millipore Corp.)에 의해 제조됨)을 이용함으로써 측정될 수 있다. 5  $\mu\text{g}/\text{ml}$  이하의 농도로 첨가된 항체가 세포 층을 투과하는 FITC-표지부착된 덱스트란의 양을 억제하는 효과를 나타내는 경우, 이 항체는 혈관 투과성에 대한 억제 효과를 갖고

항-혈관신생 활성을 갖는 항체로서 평가될 수 있다. 본 발명의 항체는 전술된 측정 조건 하에서 바람직하게는 5  $\mu\text{g}/\text{mL}$  이하, 보다 바람직하게는 1  $\mu\text{g}/\text{mL}$  이하, 특히 바람직하게는 0.5  $\mu\text{g}/\text{mL}$  이하의 농도에서 혈관 투과성에 대한 억제 활성을 나타낸다.

[0146] 이러한 평가를 위한 세포 이동 시험은 3 내지 8  $\mu\text{m}$ 의 공극 크기를 갖는 보이텐 챔버의 상층에 HUVEC를 접종하는 단계, 내피 세포 이동 향상제, 예컨대, VEGF를 함유하는 배지를 하층에 첨가하는 단계, 및 하층으로 이동하는 세포의 수를 측정하는 단계를 포함할 수 있다. 항체가 이동하는 HUVEC 세포의 수를 감소시키는 효과를 나타내는 경우, 이 항체는 혈관 내피 세포 이동에 대한 억제 효과를 갖고 항-혈관신생 활성을 갖는 항체로서 평가될 수 있다. 이동하는 세포의 수는 예를 들면, 혈관 내피 세포 이동 분석 시스템(카탈로그 번호 354143, 비디 바이오사이언시스(BD Biosciences)에 의해 제조됨)을 이용함으로써 측정될 수 있다. 본 발명의 항체는 바람직하게는 전술된 측정 조건 하에서 바람직하게는 5  $\mu\text{g}/\text{mL}$  이하, 보다 바람직하게는 1  $\mu\text{g}/\text{mL}$  이하, 특히 바람직하게는 0.5  $\mu\text{g}/\text{mL}$  이하의 농도에서 세포 이동에 대한 억제 활성을 나타낸다.

[0147] 이러한 평가를 위한 내강 형성 시험은 매트리겔(Matrigel)로 코팅된 세포 배양 용기에 HUVEC를 접종하는 단계 및 매트리겔 상에서 HUVEC에 의해 형성된 내강 구조의 분지점 수, 관 길이 등을 측정하는 단계를 포함할 수 있다. 항체가 내강 구조의 분지점 수 또는 관 길이를 감소시키는 효과를 나타내는 경우, 이 항체는 내강 형성에 대한 억제 효과를 갖고 항-혈관신생 활성을 갖는 항체로서 평가될 수 있다. 내강 구조의 분지점 수 또는 관 길이는 예를 들면, 혈관 내피 세포 관 형성 분석 시스템(카탈로그 번호 354149, 비디 바이오사이언시스에 의해 제조됨)을 이용함으로써 측정될 수 있다. 본 발명의 항체는 전술된 측정 조건 하에서 바람직하게는 5  $\mu\text{g}/\text{mL}$  이하, 보다 바람직하게는 1  $\mu\text{g}/\text{mL}$  이하, 특히 바람직하게는 0.5  $\mu\text{g}/\text{mL}$  이하의 농도에서 내강 형성에 대한 억제 활성을 나타낸다.

[0148] 그러나, 이러한 분석 시스템은, 이것이 ROBO4 단백질에 의해 유도된 혈관신생 및 그의 억제를 분석할 수 있는 한, 이를 시험들로 한정되지 않는다.

[0149] 교차-연결 항체는 본 발명의 항체의 Fc 영역에 결합하고 2개 이상의 본 발명의 항체 분자들을 교차-연결하는 작용을 하는 항체를 의미한다. 예를 들면, 본 발명의 항체의 Fc 영역이 마우스로부터 유래된 경우, 교차-연결 항체는 마우스 Fc 영역에 결합하고 교차-연결 항체의 2개의 결합 부위들에서 이들 2개의 본 발명의 항체 분자들에 각각 결합함으로써 2개 이상의 본 발명의 항체 분자들을 회합시키는 항체를 지칭한다.

[0150] 어구 "교차-연결 항체의 부재 하에서 항-혈관신생 활성을 갖는"은 항체가 심지어 교차-연결 항체와 공존하지 않는 상태에서도 혈관신생 억제에 대한 평가 시스템, 예를 들면, 전술된 평가 시스템에서 항-혈관신생 효과를 나타낸다는 것을 의미한다.

[0151] 어구 "교차-연결 항체의 존재 하에서 항-혈관신생 활성을 갖는"은 항체가 혈관신생에 대한 평가 시스템, 예를 들면, 전술된 항-혈관신생 활성 평가 시스템에서 교차-연결 항체의 부재 하에서 항-혈관신생 활성을 나타내지 않지만, 1개의 본 발명의 항체 분자 당 하나 이상의 교차-연결 항체 분자(들), 바람직하게는 2개 이상의 교차-연결 항체 분자들과 공존할 때 항-혈관신생 활성을 나타낸다는 것을 의미한다.

[0152] (3-4) 혈관신생에 대한 항-ROBO4 항체의 생체내 억제 또는 저해 활성

[0153] 본 발명의 항체는 생체내에서 혈관신생을 억제하거나 저해한다. 혈관신생에 대한 생체내 억제 또는 저해 활성은 표준 방법에 따라 동물 질환 모델을 사용함으로써 평가될 수 있다. 예를 들면, 하기 실시예 4)-6에 기재된 레이저-유도된 맥락막 혈관신생 모델이 혈관신생의 질환 모델로서 널리 사용되고, 새로 형성된 혈관의 양을 점수로서 평가하는 데에 사용될 수 있다. 또한, 환자의 경우, 예를 들면, 본 발명의 항체의 투여 전 및 후에 생검으로 종양 환자로부터 종양 샘플을 채취하고, 그의 종양내 혈관의 혈관 밀도를 면역조직화학적 분석(IHC)으로 측정하여 새로 형성된 혈관의 양을 점수화할 수 있다.

[0154] (3-5) 항-ROBO4 항체에 의한 다운스트림 신호의 활성화

[0155] ROBO4 단백질에 대한 일부 유도된 반응을 나타내는 세포주 또는 1차 배양된 세포를 사용하는 평가 시스템으로 본 발명의 항-ROBO4 항체를 평가할 수 있다. 이러한 세포주의 예로는 마우스 혈관 내피 세포주(ATCC 번호 CRL-2779)를 들 수 있다. 이러한 1차 배양된 세포의 예로는 마우스 혈관 내피 세포 및 인간 혈관 내피 세포를 들 수 있다.

[0156] 본 발명의 항체는 ROBO4에 대한 작용제 항체이다. 구체적으로, 본 발명의 항체는 ROBO4에 결합하고 ROBO4의 다운스트림 신호를 활성화시킨다. 따라서, 본 발명의 항체의 항-혈관신생 효과는 ROBO4 다운스트림 신호의 활성화

를 지표로서 사용함으로써 평가될 수 있다. ROBO4 다운스트림 신호의 예로는 IL-8 프로모터 활성을 들 수 있다. IL-8 프로모터 활성은 인간 ROBO4를 발현하지 않는 세포에 비해 전장 인간 ROBO4를 발현하는 세포에서 급격히 증가되었고, 세포내 도메인-결실된 인간 ROBO4를 발현하는 세포에서는 거의 관찰되지 않았다. 따라서, IL-8 프로모터 활성의 증가는 ROBO4 신호의 활성화가 검출되었다는 것을 입증하였다(실시예 3). IL-8 프로모터 활성은 예를 들면, IL-8 프로모터 서열 삽입체를 갖는 리포터 벡터 및 인간 ROBO4 발현 플라스미드로 형질감염된 세포에 항-ROBO4 항체를 첨가하거나 항-ROBO4 항체 및 교차-연결 항체를 함께 첨가한 후 리포터 활성을 측정함으로써 평가될 수 있다.

[0157] (3-6) 항-ROBO4 마우스 단일클론 항체 및 키메라 항체

[0158] MAb1은 실시예 2에 기재된 방법에 의해 수득된 항-ROBO4 마우스 단일클론 항체이다.

[0159] MAb1의 중쇄 가변 영역을 코딩하는 cDNA의 뉴클레오티드 서열은 서열번호 30(도 15)에 제시되어 있고, 그의 아미노산 서열은 서열번호 31(도 16)에 제시되어 있다. CDRH1의 아미노산 서열은 서열번호 44(도 25)에 제시되어 있고, CDRH2의 아미노산 서열은 서열번호 46(도 26)에 제시되어 있고, CDRH3의 아미노산 서열은 서열번호 48(도 27)에 제시되어 있다. MAb1의 경쇄 가변 영역을 코딩하는 cDNA의 뉴클레오티드 서열은 서열번호 32(도 17)에 제시되어 있고, 그의 아미노산 서열은 서열번호 33(도 18)에 제시되어 있다. CDRL1의 아미노산 서열은 서열번호 50(도 28)에 제시되어 있고, CDRL2의 아미노산 서열은 서열번호 52(도 29)에 제시되어 있고, CDRL3의 아미노산 서열은 서열번호 54(도 30)에 제시되어 있다.

[0160] 본 발명의 항체 돌연변이체는 바람직하게는 단백질 분해 또는 산화에 대한 감소된 민감성, 개선된 생물학적 활성, 항원에 결합하는 개선된 능력, 또는 그에 부여된 물리화학적 또는 기능적 성질 등을 나타낸다. 이러한 항체 돌연변이체의 예로는 보존적 아미노산 치환에 의해 원래의 항체의 아미노산 서열로부터 유도된 아미노산 서열을 갖는 항체를 들 수 있다. 보존적 아미노산 치환은 아미노산 측쇄와 관련된 아미노산 기에서 일어나는 치환이다.

[0161] 바람직한 아미노산 기는 다음과 같다: 아스파르트산 및 글루탐산을 포함하는 산성 기; 라이신, 아르기닌 및 히스티딘을 포함하는 염기성 기; 알라닌, 발린, 류신, 이소류신, 프롤린, 페닐알라닌, 메티오닌 및 트립토판을 포함하는 비극성 기; 및 글리신, 아스파라긴, 글루타민, 시스테인, 세린, 쓰레오닌 및 티로신을 포함하는 비하전된 극성 페밀리. 다른 바람직한 아미노산 기는 다음과 같다: 세린 및 쓰레오닌을 포함하는 지방족 하이드록시기; 아스파라긴 및 글루타민을 포함하는 아미드 함유 기; 알라닌, 발린, 류신 및 이소류신을 포함하는 지방족 기; 및 페닐알라닌, 트립토판 및 티로신을 포함하는 방향족 기. 항체 돌연변이체에서 이러한 아미노산 치환은 바람직하게는 원래의 항체의 항원 결합 활성을 감소시키지 않으면서 수행된다.

[0162] 보존적 아미노산 치환에 의해 본 발명의 MAb1의 아미노산 서열로부터 유도된 아미노산 서열을 갖는 항체 돌연변이체뿐만 아니라, 보존적 아미노산 돌연변이에 의해 MAb1 유래의 CDRH1 내지 CDRH3 및 CDRL1 내지 CDRL3 중 임의의 CDR의 아미노산 서열로부터 유도된 CDR 아미노산 서열을 포함하는 마우스 항체, 래트 항체, 키메라 항체, 인간화된 항체, 인간 항체 등도 본 발명에 의해 포함된다.

[0163] 본 발명의 항체의 불변 영역은 특별히 한정되지 않는다. 바람직하게는, 인간 항체로부터 유래된 불변 영역은 인간에서 질환을 치료하거나 예방하기 위한 본 발명의 항체에서 사용된다. 인간 항체의 중쇄 불변 영역의 예로는 C $\gamma$ 1, C $\gamma$ 2, C $\gamma$ 3, C $\gamma$ 4, C $\mu$ , C $\delta$ , C $\alpha$ 1, C $\alpha$ 2 및 C $\epsilon$ 을 들 수 있다. 인간 항체의 경쇄 불변 영역의 예로는 C $\kappa$  및 C $\lambda$ 를 들 수 있다.

[0164] 본 발명의 마우스-인간 IgG1형 키메라 항체로서 예시된 cMAb1-1의 분비 신호 함유 경쇄를 코딩하는 뉴클레오티드 서열 및 그의 아미노산 서열뿐만 아니라, 그의 중쇄를 코딩하는 뉴클레오티드 서열 및 그의 아미노산 서열도 각각 서열번호 37, 38, 39 및 40(도 19, 20, 21 및 22)에 제시되어 있다. 마찬가지로, 본 발명의 마우스-인간 IgG2형 키메라 항체로서 예시된 cMAb1-2의 분비 신호 함유 경쇄를 코딩하는 뉴클레오티드 서열 및 그의 아미노산 서열뿐만 아니라, 그의 중쇄를 코딩하는 뉴클레오티드 서열 및 그의 아미노산 서열도 각각 서열번호 37, 38, 41 및 42(도 19, 20, 23 및 24)에 제시되어 있다.

[0165] (3-7) 항-ROBO4 항체의 기능성 단편

[0166] 한 양태에 따라, 본 발명은 본 발명의 항-ROBO4 항체의 기능성 단편을 제공한다. 상기 항체의 기능성 단편은 상기 항체의 기능의 적어도 일부를 유지하는 단편, 또는 하기 (3-10)에 기재된 그의 변경된 형태를 의미한다. 항체의 이러한 기능의 예로는 일반적으로 항원 결합 활성, 항원 활성 조절 활성, 항체 의존적 세포독성 활성 및 보체 의존적 세포독성 활성을 들 수 있다. 본 발명의 항-ROBO4 항체의 기능의 예로는 ROBO4 단백질 결합 활성, 항-헬관신생 활성 및 ROBO4 다운스트림 신호 활성화 효과를 들 수 있다. 보다 구체적으로, 본 발명의 ROBO4에

대한 항체에 의해 나타나는 전술된 활성 (3-3) 내지 (3-5)의 전부 또는 일부를 갖는 임의의 기능성 단편이 본 발명의 항체의 기능성 단편에 포함된다.

[0167] 항체의 기능성 단편은, 이것이 항체의 활성의 적어도 일부를 유지하는 항체의 단편 또는 그의 변경된 형태인 한, 특별히 한정되지 않는다. 그의 예로는 Fab, F(ab')2, Fv, 적절한 연결체를 통해 연결된 중쇄 및 경쇄 Fv들을 포함하는 단일 쇄 Fv(scFv), 디아바디(diabodies), 선형 항체, 항체 단편들로부터 형성된 다중특이적 항체, 및 환원 조건 하에서 F(ab')2의 처리에 의해 수득된 항체 가변 영역의 1가 단편인 Fab'를 들 수 있으나 이들로 한정되지 않는다. 연결체 모이어티(moiety)를 보유하는 scFv와 같이 본 발명의 항체의 단편 이외의 모이어티를 함유하는 분자도 본 발명의 항체의 기능성 단편의 의미에 포함된다.

[0168] 그의 아미노 말단 및/또는 카복시 말단에서 1개 내지 수개 이상의 아미노산(들)의 결실에 의해 항체 단백질로부터 유도되고 항체의 기능의 적어도 일부를 유지하는 분자도 본 발명의 항체의 기능성 단편의 의미에 포함된다.

[0169] 본 발명의 항체 또는 그의 기능성 단편은 2종 이상의 상이한 항원들에 대한 특이성을 갖는 다중특이적 항체일 수 있다. 다중특이적 항체는 2종의 상이한 항원들에 결합하는 이중특이적 항체로 한정되지 않고, 3종 이상의 상이한 항원들에 대한 특이성을 갖는 항체도 본 발명의 "다중특이적 항체"의 의미에 포함된다.

[0170] 본 발명의 다중특이적 항체는 전장 항체 또는 그의 기능성 단편(예를 들면, 이중특이적 F(ab')2 항체)일 수 있다. 이중특이적 항체는 2종의 항체들의 중쇄와 경쇄(HL 쌍)를 결합시킴으로써 제조될 수도 있다. 이중특이적 항체는 2종 이상의 단일클론 항체 생성 하이브리도마들을 융합시켜 이중특이적 항체 생성 융합 세포를 제조함으로써 수득될 수도 있다(Millstein et al., Nature (1983) 305, p. 537-539). 다중특이적 항체도 전술된 방식과 동일한 방식으로 제조될 수 있다.

[0171] 한 양태에 따라, 본 발명의 항체는 단일 쇄 항체(단일 쇄 Fv; 이하, "scFv"로서 지칭됨)이다. scFv는 폴리펩티드 연결체를 통해 항체의 중쇄 가변 영역과 경쇄 가변 영역을 연결함으로써 수득된다(Pluckthun, The Pharmacology of Monoclonal Antibodies, 113, ed Rosenburg and Moore, Springer Verlag, New York, p.269-315 (1994), Nature Biotechnology (2005), 23, p.1126-1136). 나아가, 폴리펩티드 연결체를 통해 연결된 2개의 scFv들을 포함하는 2가 scFv가 이중특이적 항체로서 사용될 수 있다. 더욱이, 3개 이상의 scFv들을 포함하는 다가 scFv도 다중특이적 항체로서 사용될 수 있다.

[0172] 본 발명은 적절한 연결체를 통해 연결된 항체의 전장 중쇄 서열 및 경쇄 서열을 포함하는 단일 쇄 면역글로불린을 포함한다(Lee, H-S, et. al., Molecular Immunology (1999) 36, p.61-71; Shirrmann, T. et. al., mAbs (2010), 2, (1) p.1-4). 이러한 단일 쇄 면역글로불린은 이량체화됨으로써, 원래 사량체인 항체의 구조 및 활성과 유사한 구조 및 활성을 유지할 수 있다. 또한, 본 발명의 항체는 단일 중쇄 가변 영역을 갖고 경쇄 서열을 갖지 않는 항체일 수 있다. 이러한 항체는 단일 도메인 항체(sdAb) 또는 나노바디(nanobody)로서 지칭되고 항원에 결합하는 능력을 유지한다고 보고되어 있다(Muyldemans S. et. al., Protein Eng. (1994) 7 (9), 1129-35, Hamers-Casterman C. et. al., Nature (1993) 363 (6428) 446-8). 이를 항체들도 본 발명에 따른 항체의 기능성 단편의 의미에 포함된다.

[0173] (3-8) 항-인간 ROBO4 인간화된 항체(이하, "항-ROBO4 인간화된 항체")

[0174] 한 양태에 따라, 본 발명은 인간화된 항체 또는 그의 기능성 단편을 제공한다. 본 발명의 항-ROBO4 인간화된 항체 또는 그의 기능성 단편은 항-혈관신생 활성을 갖고 바람직하게는 생체내에서 항-혈관신생 활성을 갖는다. 바람직하게는, 상기 인간화된 항체 또는 그의 기능성 단편은 ROBO4 단백질에 특이적으로 결합한다. 나아가, 상기 인간화된 항체 또는 그의 기능성 단편은 ROBO4에 대한 작용제 항체이고 그의 다운스트림 신호를 활성화시킨다. 나아가, 상기 인간화된 항체 또는 그의 기능성 단편은 시험관내에서 교차-연결 항체의 부재 하에서 혈관 내피 세포 이동을 억제하거나 저해한다.

[0175] 본 발명의 인간화된 항체의 예로는 비인간 동물 항체의 상보성 결정 영역들(CDR들)로 치환된 MAbs CDR들을 갖는 인간 유래의 항체(문헌(Nature (1986) 321, p. 522-525) 참조), 및 CDR 이식 방법(국제 특허출원 공보 제 WO90/07861호)에 의해 CDR 서열 및 골격 영역의 일부 아미노산 잔기들을 이식받은 인간 항체를 들 수 있다. 나아가, 각각의 CDR 내의 1개 내지 3개 아미노산 잔기가 다른 아미노산 잔기로 치환됨으로써 인간화된 항체로부터 유도된 변이체도, 이 변이체가 활성 (3-3) 내지 (3-5)의 전부 또는 일부를 갖는 한, 본 발명의 항체에 포함된다.

[0176] 본 발명의 항-ROBO4 인간화된 항체 또는 그의 기능성 단편의 바람직한 예로는 서열번호 44(도 25)로 표시된 아미노산 서열로 구성된 CDRH1, 서열번호 46(도 26)으로 표시된 아미노산 서열 또는 1개의 아미노산의 치환에 의

해 서열번호 46의 아미노산 서열로부터 유도된 아미노산 서열로 구성된 CDRH2 및 서열번호 48(도 27)로 표시된 아미노산 서열로 구성된 CDRH3을 포함하는 가변 영역을 갖는 중쇄, 및 서열번호 50(도 28)으로 표시된 아미노산 서열 또는 1개 내지 3개의 아미노산(들)의 치환에 의해 서열번호 50의 아미노산 서열로부터 유도된 아미노산 서열로 구성된 CDRL1, 서열번호 52(도 29)로 표시된 아미노산 서열로 구성된 CDRL2 및 서열번호 54(도 30)로 표시된 아미노산 서열로 구성된 CDRL3을 포함하는 가변 영역을 갖는 경쇄로 구성되고 본 발명의 ROBO4 단백질을 인식하는 항체; 및 이 항체의 ROBO4 단백질 결합 활성을 유지하는 항체의 분획을 들 수 있다.

[0177] CDRH2에서의 아미노산 치환의 예로는 CDRH2에서 서열번호 46의 아미노산 4로 표시된 아미노산의 치환을 들 수 있다. 구체적으로, 서열번호 46의 아미노산 4인 아스파라гин은 글루타민으로 치환될 수 있다. 발생된 항체가 본 발명의 ROBO4에 대한 항체에 의해 나타나는 활성 (3-3) 내지 (3-5)의 전부 또는 일부를 갖는 한, 치환될 아미노산은 한정되지 않는다.

[0178] CDRL1에서의 아미노산 치환의 예로는 CDRL1에서 서열번호 50의 아미노산 9, 11 및 13으로 표시된 아미노산들 중 임의의 1개 내지 3개, 바람직하게는 3개 아미노산의 치환을 들 수 있다. 구체적으로, 서열번호 50의 세린(아미노산 9), 글리신(아미노산 11) 및 쓰레오닌(아미노산 13)은 글루탐산, 라이신 및 류신으로부터 선택된 아미노산, 바람직하게는 각각 글루탐산, 라이신 및 류신으로 치환될 수 있다. 발생된 항체가 본 발명의 ROBO4에 대한 항체에 의해 나타나는 활성 (3-3) 내지 (3-5)의 전부 또는 일부를 갖는 한, 치환될 아미노산(들)은 한정되지 않는다.

[0179] 펩티드 또는 단백질 내의 아스파라긴 잔기는 일부 조건에서 탈아미드화를 용이하게 겪는다고 보고되어 있으므로 (Gerger et al: The Journal of Biological Chemistry Vol.262 No.2, 785-794, 1987), 전술된 CDR들에서의 아미노산 치환은 본 발명의 인간화된 항체의 안정성을 증가시킬 수 있다.

[0180] 이들 CDRH들을 갖는 보다 바람직한 인간화된 항체의 중쇄 가변 영역의 예로는 서열번호 56(도 32)의 아미노산 번호 20 내지 137로 표시된 아미노산 서열(이때, CDRH1, CDRH2 및 CDRH3은 각각 서열번호 56(도 32)의 아미노산 번호 50 내지 54, 69 내지 85 및 118 내지 126으로 표시됨), 서열번호 58(도 34)의 아미노산 번호 20 내지 137로 표시된 아미노산 서열(이때, CDRH1, CDRH2 및 CDRH3은 각각 서열번호 58(도 34)의 아미노산 번호 50 내지 54, 69 내지 85 및 118 내지 126으로 표시됨), 서열번호 60(도 36)의 아미노산 번호 20 내지 137로 표시된 아미노산 서열(이때, CDRH1, CDRH2 및 CDRH3은 각각 서열번호 60(도 36)의 아미노산 번호 50 내지 54, 69 내지 85 및 118 내지 126으로 표시됨), 및 서열번호 62(도 38)의 아미노산 번호 20 내지 137로 표시된 아미노산 서열(이때, CDRH1, CDRH2 및 CDRH3은 각각 서열번호 62(도 38)의 아미노산 번호 50 내지 54, 69 내지 85 및 118 내지 126으로 표시됨)을 들 수 있다. 이들 CDRL들을 갖는 보다 바람직한 인간화된 항체의 경쇄 가변 영역의 예로는 서열번호 64(도 40)의 아미노산 번호 21 내지 134로 표시된 아미노산 서열(이때, CDRL1, CDRL2 및 CDRL3은 각각 서열번호 64(도 40)의 아미노산 번호 44 내지 59, 75 내지 81 및 114 내지 122로 표시됨), 및 서열번호 66(도 42)의 아미노산 번호 21 내지 134로 표시된 아미노산 서열(이때, CDRL1, CDRL2 및 CDRL3은 각각 서열번호 66(도 42)의 아미노산 번호 44 내지 59, 75 내지 81 및 114 내지 122로 표시됨)을 들 수 있다.

[0181] 보다 바람직한 인간화된 항체의 중쇄 가변 영역과 경쇄 가변 영역의 보다 바람직한 조합의 예로는 하기 조합들을 들 수 있다: 서열번호 58(도 34)의 아미노산 번호 20 내지 137로 표시된 아미노산 서열로 구성된 중쇄 가변 영역, 및 서열번호 64(도 40)의 아미노산 번호 21 내지 134로 표시된 아미노산 서열로 구성된 경쇄 가변 영역을 포함하는 인간화된 항체; 서열번호 58(도 34)의 아미노산 번호 20 내지 137로 표시된 아미노산 서열로 구성된 중쇄 가변 영역 및 서열번호 66(도 42)의 아미노산 번호 21 내지 134로 표시된 아미노산 서열로 구성된 경쇄 가변 영역을 포함하는 인간화된 항체; 서열번호 62(도 38)의 아미노산 번호 20 내지 137로 표시된 아미노산 서열로 구성된 중쇄 가변 영역 및 서열번호 64(도 40)의 아미노산 번호 21 내지 134로 표시된 아미노산 서열로 구성된 경쇄 가변 영역을 포함하는 인간화된 항체; 서열번호 56(도 32)의 아미노산 번호 20 내지 137로 표시된 아미노산 서열로 구성된 중쇄 가변 영역 및 서열번호 64(도 40)의 아미노산 번호 21 내지 134로 표시된 아미노산 서열로 구성된 경쇄 가변 영역을 포함하는 인간화된 항체; 및 서열번호 60(도 36)의 아미노산 번호 20 내지 137로 표시된 아미노산 서열로 구성된 중쇄 가변 영역 및 서열번호 64(도 40)의 아미노산 번호 21 내지 134로 표시된 아미노산 서열로 구성된 경쇄 가변 영역을 포함하는 인간화된 항체.

[0182] 중쇄 가변 영역과 경쇄 가변 영역의 보다 바람직한 조합을 포함하는 전장 인간화된 항체의 훨씬 더 바람직한 예로는 하기 인간화된 항체들을 들 수 있다: 서열번호 58(도 34)의 아미노산 번호 20 내지 463으로 표시된 아미노

산 서열로 구성된 중쇄 및 서열번호 64(도 40)의 아미노산 번호 21 내지 239로 표시된 아미노산 서열로 구성된 경쇄를 포함하는 인간화된 항체(H-1140); 서열번호 58(도 34)의 아미노산 번호 20 내지 463으로 표시된 아미노산 서열로 구성된 중쇄 및 서열번호 66(도 42)의 아미노산 번호 21 내지 239로 표시된 아미노산 서열로 구성된 경쇄를 포함하는 인간화된 항체(H-1143); 서열번호 62(도 38)의 아미노산 번호 20 내지 463으로 표시된 아미노산 서열로 구성된 중쇄 및 서열번호 66(도 42)의 아미노산 번호 21 내지 239로 표시된 아미노산 서열로 구성된 경쇄를 포함하는 인간화된 항체(H-2143); 서열번호 62(도 38)의 아미노산 번호 20 내지 463으로 표시된 아미노산 서열로 구성된 중쇄 및 서열번호 64(도 40)의 아미노산 번호 21 내지 239로 표시된 아미노산 서열로 구성된 경쇄를 포함하는 인간화된 항체(H-2140); 서열번호 56(도 32)의 아미노산 번호 20 내지 463으로 표시된 아미노산 서열로 구성된 중쇄 및 서열번호 64(도 40)의 아미노산 번호 21 내지 239로 표시된 아미노산 서열로 구성된 경쇄를 포함하는 인간화된 항체(H-1040); 및 서열번호 60(도 36)의 아미노산 번호 20 내지 463으로 표시된 아미노산 서열로 구성된 중쇄 및 서열번호 64(도 40)의 아미노산 번호 21 내지 239로 표시된 아미노산 서열로 구성된 경쇄를 포함하는 인간화된 항체(H-2040).

[0183] 본 발명의 가장 바람직한 항체는 H-1140, H-1143, H-2140 및 H-2143이다.

[0184] H-1140은 1) 인간 ROBO4에 특이적으로 결합하고 ROBO1, ROBO2 및 ROBO3에는 결합하지 않는 성질, 2) 인간 ROBO4에 대한 3.9 nM의  $K_D$  값을 갖는 성질, 3) 4주 동안 40°C 하에서 인간 ROBO4에 대한 친화성을 유지하는 성질, 4) VEGF, bFGF, HGF, PDGF-BB 및 SDF-1로부터 선택된 하나 이상의 혈관신생 인자, 특히 VEGF 또는 bFGF에 의해 유도된 HUVEC 이동을 억제하는 성질, 5) 생체내에서 혈관신생을 억제하는 성질, 및 6) ISPRI 웹에 기초한 면역원성 스크리닝(에피백스 인코포레이티드(EpiVax, Inc.))에서 낮은 면역원성을 나타내는 성질을 갖는다.

[0185] H-1143은 1) 인간 ROBO4에 특이적으로 결합하고 ROBO1, ROBO2 및 ROBO3에는 결합하지 않는 성질, 2) 인간 ROBO4에 대한 3.5 nM의  $K_D$  값을 갖는 성질, 3) 4주 동안 40°C 하에서 인간 ROBO4에 대한 친화성을 유지하는 성질, 4) VEGF, bFGF, HGF, PDGF-BB 및 SDF-1, 특히 VEGF 및 bFGF로부터 선택된 하나 이상의 혈관신생 인자에 의해 유도된 HUVEC 이동을 억제하는 성질, 5) 생체내에서 혈관신생을 억제하는 성질, 및 6) 에피스크린(EpiScreen)<sup>TM</sup> 면역원성 시험(안티토프 리미티드(Antitope Ltd.))에서 낮은 면역원성을 나타내는 성질을 갖는다.

[0186] H-2140은 1) 인간 ROBO4에 특이적으로 결합하고 ROBO1, ROBO2 및 ROBO3에는 결합하지 않는 성질, 2) 인간 ROBO4에 대한 1.8 nM의  $K_D$  값을 갖는 성질, 3) 4주 동안 40°C 하에서 인간 ROBO4에 대한 친화성을 유지하는 성질, 4) 다양한 혈관신생 인자들, 예컨대, VEGF, bFGF, HGF, PDGF-BB 및 SDF-1, 특히 VEGF 및 bFGF에 의해 유도된 HUVEC 이동을 억제하는 성질, 5) 생체내에서 혈관신생을 억제하는 성질, 및 6) 에피스크린<sup>TM</sup> 면역원성 시험(안티토프 리미티드)에서 낮은 면역원성을 나타내는 성질을 갖는다.

[0187] H-2143은 1) 인간 ROBO4에 특이적으로 결합하고 ROBO1, ROBO2 및 ROBO3에는 결합하지 않는 성질, 2) 인간 ROBO4에 대한 1.7 nM의  $K_D$  값을 갖는 성질, 3) 4주 동안 40°C 하에서 인간 ROBO4에 대한 친화성을 유지하는 성질, 4) 다양한 혈관신생 인자들, 예컨대, VEGF, bFGF, HGF, PDGF-BB 및 SDF-1, 특히 VEGF 및 bFGF에 의해 유도된 HUVEC 이동을 억제하는 성질, 5) 생체내에서 혈관신생을 억제하는 성질, 6) 에피스크린<sup>TM</sup> 면역원성 시험(안티토프 리미티드)에서 낮은 면역원성을 나타내는 성질, 및 7) 사이노몰구스 원숭이에게의 단회 유리체내 주사(2.75 mg/눈) 후 임상 정후, 체중, 음식물 소비, 혈액학, 혈액 화학, 병리학 또는 망막전도기록에서 심각한 변화를 보이지 않는 성질을 갖는다.

[0188] 항체, 예컨대, H-1140, H-1143, H-2143, H-2140, H-1040 및 H-2040의 아미노산 서열에 대한 95% 이상, 바람직하게는 97% 이상, 보다 바람직하게는 99% 이상의 동일성을 갖는 아미노산 서열을 포함하는 항체도, 이 항체가 활성 (3-3) 내지 (3-5)의 전부 또는 일부를 갖는 한, 본 발명의 항체에 포함된다. 더욱이, 중쇄 가변 영역과 경쇄 가변 영역의 조합을 포함하는 상기 항체 또는 중쇄와 경쇄의 조합을 포함하는 상기 항체의 CDR들과 아미노산 서열 면에서 동일한 CDR들을 갖고, 그에 대한 95% 이상, 바람직하게는 97% 이상, 보다 바람직하게는 99% 이상의 동일성을 갖는 CDR 아미노산 서열 이외의 아미노산 서열을 갖는 항체도, 이 항체가 활성 (3-3) 내지 (3-5)의 전부 또는 일부를 갖는 한, 본 발명의 항체에 포함된다.

[0189] (3-9) 동일한 부위에 결합하는 항체

[0190] 본 발명에 의해 제공된 항체에 의해 결합되는 부위와 "동일한 부위에 결합하는 항체"도 본 발명의 항체에 포함

된다. 특정 항체에 의해 결합되는 부위와 "동일한 부위에 결합하는 항체"는 이 항체에 의해 인식되는 항원 분자상의 부위에 결합하는 또 다른 항체를 의미한다. 제2 항체가 제1 항체에 의해 결합되는 항원 분자 상의 부분 펩티드 또는 부분 3차원 구조에 결합하는 경우, 제1 항체 및 제2 항체는 동일한 부위에 결합한다는 결론을 내릴 수 있다. 나아가, 심지어 특이적 결합 부위의 펩티드 서열 또는 3차원 구조가 결정되지 않은 경우에도 제2 항체가 항원과의 결합에 대해 제1 항체와 경쟁한다는 것, 즉 제2 항체가 제1 항체와 항원의 결합을 방해한다는 것을 확인함으로써 제1 항체 및 제2 항체가 동일한 부위에 결합한다는 결론을 내릴 수 있다. 나아가, 제1 항체 및 제2 항체가 동일한 부위에 결합하고 제1 항체가 본 발명의 항체의 한 양태의 특징적인 효과, 예컨대, 항-혈관신생 활성을 갖는 경우, 제2 항체도 그와 동일한 활성을 가질 확률이 극도로 높다. 따라서, 제2 항-ROBO4 항체가 제1 항-ROBO4 항체에 의해 결합되는 부위에 결합하는 경우, 제1 항체 및 제2 항체는 ROBO4 단백질 상의 동일한 부위에 결합한다는 결론을 내릴 수 있다. 나아가, 제2 항-ROBO4 항체가 ROBO4 단백질과의 결합에 대해 제1 항-ROBO4 항체와 경쟁한다는 것을 확인함으로써 제1 항체 및 제2 항체가 ROBO4 단백질 상의 동일한 부위에 결합하는 항체라는 결론을 내릴 수 있다.

[0191] 본 발명의 MAb1에 의해 인식되는 ROBO4 단백질 상의 부위에 결합하는 항체도 본 발명에 포함된다.

[0192] 항체 결합 부위는 당업자에게 잘 공지된 방법, 예컨대, 면역분석에 의해 결정될 수 있다. 예를 들면, 일련의 펩티드들을 항원의 아미노산 서열의 적절한 C-말단 또는 N-말단 절두로 제조하고, 그에 대한 항체의 반응성을 연구하여 인식 부위를 대략적으로 결정한다. 그 다음, 보다 짧은 펩티드들을 합성하고 이를 펩티드들에 대한 항체의 반응성을 연구하여 결합 부위를 결정할 수 있다. 유전자 재조합 또는 펩티드 합성과 같은 기법을 이용하여 항원 단편 펩티드를 제조할 수 있다.

[0193] 항체가 항원의 부분 입체구조에 결합하거나 이러한 부분 입체구조를 인식하는 경우, X-선 구조 분석을 이용하여 상기 항체에 인접한 항원 상의 아미노산 잔기를 확인함으로써 상기 항체에 대한 결합 부위를 결정할 수 있다.

[0194] (3-10) 항-ROBO4 항체의 변경된 형태 또는 그의 기능성 단편

[0195] 본 발명은 항체 또는 그의 기능성 단편의 변경된 형태를 제공한다. 본 발명의 항체 또는 그의 기능성 단편의 변경된 형태는 화학적 또는 생물학적 변경을 구비한 본 발명의 항체 또는 그의 기능성 단편을 의미한다. 화학적으로 변경된 형태는 화학적 모이어티와 접합된 아미노산 골격을 갖는 형태, 화학적으로 변경된 N-연결된 또는 O-연결된 탄수화물 쇄를 갖는 형태 등을 포함한다. 상기 화학적 모이어티 또는 형태는 독성 또는 세포독성을 나타낼 수 있다. 생물학적으로 변경된 형태는 번역 후 변경(예를 들면, N-연결된 또는 O-연결된 글리코실화, N-말단 또는 C-말단 프로세싱, 탈아미드화, 아스파르트산의 이성질체화 또는 메티오닌의 산화)을 겪은 형태, 원핵 숙주 세포를 사용한 발현에 의해 N-말단에 추가된 메티오닌 잔기를 함유하는 형태 등을 포함한다. 이러한 변경된 형태는 본 발명의 항체 또는 항원의 검출 또는 단리를 허용하도록 표지부착된 형태, 예를 들면, 효소-표지부착된 형태, 형광-표지부착된 형태 또는 친화성-표지부착된 형태도 포함하기 위한 것이다. 본 발명의 항체의 이러한 변경된 형태 또는 그의 기능성 단편은 본 발명의 원래의 항체 또는 그의 기능성 단편의 안정성 또는 혈액 체류의 개선, 항원성의 감소, 항체 또는 항원의 검출 또는 단리 등에 유용하다.

[0196] 화학적으로 변경된 형태에 함유된 화학적 모이어티의 예로는 수용성 중합체, 예컨대, 폴리에틸렌 글리콜, 에틸렌 글리콜/프로필렌 글리콜 공중합체, 카복시메틸셀룰로스, 텍스트란 및 폴리비닐 알코올을 들 수 있다.

[0197] 생물학적으로 변경된 형태의 예로는 효소 처리, 세포 처리 등에 의해 변경된 형태, 유전자 재조합에 의해 추가된 또 다른 펩티드, 예컨대, 태그와 융합된 형태, 및 내재성 또는 외재성 당쇄 변형 효소를 발현하는 숙주 세포로부터 제조된 형태를 들 수 있다.

[0198] 이러한 변경은 항체 또는 그의 기능성 단편 내의 임의 위치 또는 원하는 위치에서 만들어질 수 있다. 대안적으로, 동일한 또는 2개 이상의 상이한 변경들이 항체 또는 그의 기능성 단편 내의 1개 또는 2개 이상의 위치에서 만들어질 수 있다.

[0199] 본 발명에서, "항체 단편의 변경된 형태"는 심지어 "항체의 변경된 형태의 단편"도 포함하기 위한 것이다.

[0200] 예를 들면, 종종, 배양된 포유동물 세포에 의해 생성된 항체는 그의 중쇄에서 카복실-말단 라이신 잔기를 결여한다는 것이 공지되어 있다(Journal of Chromatography A, 705: 129-134 (1995)). 종종 중쇄의 2개 카복실-말단 아미노산 잔기들(즉, 글리신 및 라이신)이 결여되고 카복실-말단에 새로 위치하는 프롤린 잔기가 아미드화된다는 것도 공지되어 있다(Architectural Biochemistry, 360: 75-83 (2007)). 그러나, 이를 중쇄 서열들에서의 이러한 결여 또는 변경은 항체가 그의 항원에 결합하는 능력에 영향을 미치지 않고 항체의 이펙터 기능(보체 활성화, 항체 의존적 세포독성 등)에도 영향을 미치지 않는다. 따라서, 변경을 갖는 항체 및 이 항체의 기능성 단편

도 본 발명의 항체에 포함된다. 이러한 항체의 예로는 중쇄의 카복실-말단에서 1개 또는 2개의 아미노산(들)이 결실되거나 결여됨으로써 본 발명의 항체로부터 유도된 결실 돌연변이체, 및 아미드화된 잔기(예를 들면, 중쇄의 카복실-말단 부위에서 아미드화된 프롤린 잔기)를 갖는 결실 돌연변이체를 들 수 있다. 그러나, 본 발명에 따른 항체의 결실 돌연변이체는, 이 결실 돌연변이체가 항원에 결합하는 능력 및 활성 (3-3) 내지 (3-5)의 전부 또는 일부를 유지하는 한, 전술된 종류들로 한정되지 않는다. 본 발명에 따른 항체를 구성하는 2개의 중쇄들은 전장 중쇄 및 결실 돌연변이체의 중쇄로 구성된 군으로부터 선택된 임의의 1종의 중쇄로 구성될 수 있거나, 이들로부터 선택된 임의의 2종의 중쇄들의 조합으로 구성될 수 있다. 결실 변이체 중쇄(들)의 정량적 비는 예를 들면, 본 발명에 따른 항체를 생성하는 배양된 포유동물 세포의 종류, 및 세포의 배양 조건에 민감하다. 본 발명에 따른 항체의 주성분으로서 이러한 결실 변이체 중쇄의 예로는 둘다가 1개의 카복실-말단 아미노산 잔기를 결여하는 2개의 중쇄들을 들 수 있다. 이들 결실 변이체들의 전부가 본 발명에 따른 항체 변이체, 항체의 기능 성 단편 또는 그의 변경된 형태에 포함된다.

[0201] 4. 항체의 제조 방법

[0202] (4-1) 하이브리도마를 사용하는 방법

본 발명의 항-ROBO4 항체를 제조하기 위해, 문현(Kohler and Milstein, Nature (1975) 256, p.495-497, Kennet, R. ed., Monoclonal Antibody, p.365-367, Prenum Press, N. Y. (1980))의 방법에 따라 ROBO4 단백질로 면역화된 동물의 비장으로부터 항-ROBO4 항체 생성 세포를 단리한다. 상기 세포를 골수종 세포와 융합시켜 하이브리도마를 확립하고, 이들 하이브리도마의 배양물로부터 단일클론 항체를 수득할 수 있다.

[0204] (4-1-1) 항원의 제조

항-ROBO4 항체의 제조를 위한 항원은 예를 들면, 본 명세서의 다른 단락들에 기재된 천연 또는 재조합 ROBO4 단백질 제조 방법에 따라 수득될 수 있다. 이로써 제조될 수 있는 항원의 예로는 ROBO4 단백질, 또는 그의 6개 이상의 연속 아미노산을 갖는 부분 서열을 포함하는 ROBO4 단백질 단편, 및 그에 추가된 임의 아미노산 서열 또는 담체를 추가로 포함하는 그들의 유도체를 들 수 있다(이하, "ROBO4 항원"으로서 총칭됨).

재조합 ROBO4 항원은 ROBO4 항원의 아미노산 서열을 코딩하는 뉴클레오티드 서열을 포함하는 유전자로 숙주 세포를 형질감염시키고 상기 세포의 배양물로부터 상기 항원을 수집함으로써 제조될 수 있다. 천연 ROBO4 항원은 예를 들면, 혈관신생을 갖는 인간 또는 설치류 조직, 이 조직으로부터 유래된 세포 또는 이 세포의 배양물로부터 정제될 수 있거나 단리될 수 있다. 세포 무함유 시험관내 번역 시스템에서 ROBO4 항원의 아미노산 서열을 코딩하는 뉴클레오티드 서열을 포함하는 유전자로부터 수득된 ROBO4 항원도 본 발명의 "ROBO4 항원"에 포함된다.

[0207] (4-1-2) 항-ROBO4 단일클론 항체의 제조

[0208] 상기 단일클론 항체는 전형적으로 하기 단계들에 의해 제조된다:

[0209] (a) 항원을 제조하는 단계,

[0210] (b) 항체 생성 세포를 제조하는 단계,

[0211] (c) 골수종 세포(이하, "골수종"으로서 지칭됨)를 제조하는 단계,

[0212] (d) 상기 항체 생성 세포를 골수종과 융합시키는 단계,

[0213] (e) 관심있는 항체를 생성하는 하이브리도마 군에 대해 스크리닝하는 단계, 및

[0214] (f) 단일 세포 클론을 수득하는 단계(클로닝).

[0215] 이 제조 방법은 필요한 경우 (g) 하이브리도마를 배양하는 단계, 하이브리도마가 이식된 동물을 발생시키는 단계 등, (h) 단일클론 항체의 생물학적 활성을 분석하거나 측정하는 단계 등을 추가로 포함한다.

[0216] 이하, 단일클론 항체의 제조 방법은 이들 단계들과 관련하여 상세히 기재될 것이다. 그러나, 상기 항체의 제조 방법은 이들로 한정되지 않고, 예를 들면, 비장 세포 및 골수종 이외의 항체 생성 세포가 사용될 수 있다.

[0217] (a) 항원을 제조하는 단계

[0218] 상기 (2-3)에 기재된 ROBO4 단백질 제조 방법에 따라 항원을 제조할 수 있다.

[0219] (b) 항체 생성 세포를 제조하는 단계

- [0220] 단계 (a)에서 수득된 항원을 항원보강제, 예컨대, 프로인트 완전 또는 불완전 항원보강제 또는 황산알루미늄칼륨과 혼합하고, 실험 동물을 발생된 면역원으로 면역화시킨다. 당분야에서 공지된 하이브리도마 제조 방법에서 사용된 임의의 실험 동물이 제한 없이 사용될 수 있다. 구체적으로, 예를 들면, 마우스, 래트, 염소, 양, 소 또는 말이 사용될 수 있다. 단리된 항체 생성 세포 등과 융합될 용이하게 입수가능한 골수종 세포의 관점에 비추어 볼 때 면역화될 동물은 바람직하게는 마우스 또는 래트이다.
- [0221] 실제로 사용되는 마우스 및 래트 품종은 특별히 한정되지 않는다. 마우스의 경우, 예를 들면, A, AKR, BALB/c, BALB/cAnNCrj, BDP, BA, CE, C3H, 57BL, C57BL, C57L, DBA, FL, HTH, HT1, LP, NZB, NZW, RF, R III, SJL, SWR, WB 또는 129가 사용될 수 있다. 래트의 경우, 예를 들면, 위스타(Wistar), 로우(Low), 르위스(Lewis), 스프라그-다울리(Sprague-Dawley), ACI, BN 또는 피셔(Fischer)가 사용될 수 있다.
- [0222] 이들 마우스 및 래트는 실험 동물 사육소/분양소, 예를 들면, 클레아 재팬 인코포레이티드(CLEA Japan, Inc.) 또는 찰스 리버 라보라토리스 재팬 인코포레이티드(Charles River Laboratories Japan Inc.)로부터 입수될 수 있다.
- [0223] 이들 중 BALB/c 마우스 품종 또는 위스타 및 로우 래트 품종이 후술된 골수종 세포와의 융합 적합성을 고려할 때 면역화될 동물로서 특히 바람직하다.
- [0224] 또한, 인간 항원과 마우스 항원 사이의 상동성을 고려할 때, 자가항체를 제거하는 생물학적 기작이 감소되어 있는 마우스, 즉 자가면역 질환 마우스도 바람직하게 사용된다.
- [0225] 이와 관련하여, 이들 마우스 또는 래트는 면역화 시점에서 바람직하게는 5주령 내지 12주령, 보다 바람직하게는 6주령 내지 8주령이다.
- [0226] 예를 들면, 문현(Weir, D. M., *Handbook of Experimental Immunology* Vol. I. II. III., Blackwell Scientific Publications, Oxford (1987); Kabat, E. A. and Mayer, M. M., *Experimental Immunochemistry*, Charles C Thomas Publisher Spigfield, Illinois (1964))의 방법을 이용하여 ROBO4 단백질로 동물을 면역화시킬 수 있다.
- [0227] 항체 역가 측정 방법의 예로는 면역분석, 예컨대, RIA 및 ELISA를 들 수 있으나 이들로 한정되지 않는다.
- [0228] 면역화된 동물로부터 분리된 비장 세포 또는 림프구로부터 유래된 항체 생성 세포를 당분야에서 공지된 방법, 예를 들면, 문현(Kohler et al., *Nature* (1975) 256, p.495; Kohler et al., *Eur. J. Immunol.* (1977) 6, p.511; Milstein et al., *Nature* (1977), 266, p.550; Walsh, *Nature*, (1977) 266, p.495)의 방법에 따라 제조할 수 있다.
- [0229] 비장 세포의 경우, 비장을 잘게 자르는 단계, 스테인레스 메쉬를 통해 세포를 여과하는 단계 및 이어서 발생된 세포를 이글(Eagle's) 최소 필수 배지(MEM) 등에 부유시켜 항체 생성 세포를 분리하는 단계를 포함하는 일반적인 방법이 채택될 수 있다.
- [0230] (c) 골수종을 제조하는 단계
- [0231] 세포 융합에서 사용되는 골수종 세포는 특별히 한정되지 않고 당분야에서 공지된 세포주로부터 사용하기에 적절하게 선택될 수 있다. 스크리닝 절차가 이미 확립된 HGPRT(하이포잔틴-구아닌 포스포리보실 트랜스퍼라제) 결핍 세포주, 즉 마우스 유래의 X63-Ag8(X63), NS1-ANS/1(NS1), P3X63-Ag8.U1(P3U1), X63-Ag8.653(X63.653), SP2/0-Ag14(SP2/0), MPC11-45.6TG1.7(45.6TG), FO, S149/5XX0, BU.1 등, 래트 유래의 210.RSY3.Ag.1.2.3(Y3) 등, 또는 인간 유래의 U266AR(SKO-007), GM1500-GTG-A12(GM1500), UC729-6, LICR-LOW-HMy2(HMy2), 8226AR/NIP4-1(NP41) 등이 융합 세포로부터 하이브리도마를 선택하는 데에 있어서의 편의를 고려할 때 바람직하게 사용된다. 이들 HGPRT 결핍 세포주들은 예를 들면, 어메리칸 타입 컬쳐 콜렉션(ATCC)으로부터 입수될 수 있다.
- [0232] 이들 세포주들은 적절한 배지, 예를 들면, 8-아자구아닌 배지[글루타민, 2-머캡토에탄올, 젠타미신 및 테아 소혈청(이하, "FCS"로서 지칭됨)으로 보충되고 8-아자구아닌으로 더 보충된 RPMI-1640 배지], 이스코브 변경 둘베코 배지(이하, "IMDM"으로서 지칭됨) 또는 둘베코 변경 이글 배지(이하, "DMEM"으로서 지칭됨)에서 하위배양되고, 세포 융합 당일  $2 \times 10^7$ 개 세포 이상의 세포수를 확보하기 위해 세포 융합 3일 내지 4일 전에 일반 배지[예를 들면, 10% FCS를 함유하는 ASF104 배지(아지노모토 컴파니 인코포레이티드(Ajinomoto Co., Inc.)에 의해 제조됨)에서 하위배양된다.

[0233] (d) 항체 생성 세포를 골수종 세포와 융합시키는 단계

[0234] 당분야에서 공지된 방법(Weir, D. M., *Handbook of Experimental Immunology* Vol. I. II. III., Blackwell Scientific Publications, Oxford (1987)), 문헌(Kabat, E. A. and Mayer, M. M., *Experimental Immunochemistry*, Charles C Thomas Publisher Spigfield, Illinois (1964)) 등)에 따라 세포 생존율이 극도로 감소되는 것을 방지하는 조건 하에서 항체 생성 세포를 골수종 세포와 융합시킬 수 있다. 예를 들면, 중합체, 예컨대, 폴리에틸렌 글리콜의 고농도 용액에서 항체 생성 세포를 골수종 세포와 혼합하는 단계를 포함하는 화학적 방법, 또는 전기 자극을 이용하는 물리적 방법이 이용될 수 있다.

[0235] (e) 관심있는 항체를 생성하는 하이브리도마 군에 대해 스크리닝하는 단계

[0236] 세포 융합에 의해 수득된 하이브리도마에 대한 선택 방법은 특별히 한정되지 않고, HAT(하이포잔틴-아미노프테린-타이미딘) 선택 방법(Kohler et al., *Nature* (1975) 256, p.495; Milstein et al., *Nature* (1977) 266, p.550)이 전형적으로 이용된다. 이 방법은 아미노프테린의 존재 하에서 생존할 수 없는 HGPRT 결핍 골수종 세포 주를 사용하여 하이브리도마를 수득하는 데에 효과적이다. 구체적으로, 비융합된 세포 및 하이브리도마를 HAT 배지에서 배양하여 아미노프테린에 대한 내성을 갖는 하이브리도마만이 선택적으로 남아 생장하게 할 수 있다.

[0237] (f) 단일 세포 클론을 수득하는 단계(클로닝)

[0238] 당분야에서 공지된 방법, 예를 들면, 메틸셀룰로스, 연질 아가로스 또는 제한 희석 방법(예를 들면, 문헌(Barbara, B. M. and Stanley, M. S.: *Selected Methods in Cellular Immunology*, W. H. Freeman and Company, San Francisco (1980)) 참조)을 이용하여 하이브리도마를 클로닝할 수 있다. 제한 희석 방법이 바람직하다.

[0239] (g) 하이브리도마를 배양하는 단계 및 하이브리도마가 이식된 동물을 발생시키는 단계

[0240] 선택된 하이브리도마를 배양하여 단일클론 항체를 생성할 수 있다. 바람직하게는, 원하는 하이브리도마를 클로닝한 후 항체를 생성할 수 있다.

[0241] 이 하이브리도마에 의해 생성된 단일클론 항체를 하이브리도마의 배양물로부터 수집할 수 있다. 뿐만 아니라, 재조합 항체도 단일클론 항체 유전자로 형질감염된 세포의 배양물로부터 수집할 수 있다. 나아가, 하이브리도마를 동일한 품종의 마우스(예를 들면, 전술된 BALB/cAnNCrj) 또는 Nu/Nu 마우스에 복강내로 주사하여 생장시킬 수 있다. 그 다음, 그들의 복수로부터 단일클론 항체를 수집할 수도 있다.

[0242] (h) 단일클론 항체의 생물학적 활성을 분석하거나 측정하는 단계

[0243] 다양한 생물학적 시험을 선택하여 목적에 따라 이 단계에 적용할 수 있다.

[0244] (4-2) 세포 면역화 방법

[0245] 천연 ROBO4 단백질을 발현하는 세포, 재조합 ROBO4 단백질 또는 그의 단편을 발현하는 세포 등을 면역원으로서 사용하여 전술된 하이브리도마 방법으로 항-ROBO4 항체를 제조할 수 있다.

[0246] 천연 ROBO4 단백질을 발현하는 세포의 예로는 혈관신생 질환, 예컨대, 증식성 당뇨망막병증 또는 종양으로 고통 받는 환자로부터 유래된 세포, 및 이를 환자의 조직으로부터 유래된 세포를 들 수 있다. 이러한 세포는 바람직하게는 혈관 내피 세포이지만 이것으로 한정되지 않는다. 이들 ROBO4 단백질 발현 세포들은 1회 면역화에서  $1 \times 10^5$  개 내지  $1 \times 10^9$  개 세포, 바람직하게는  $1 \times 10^6$  개 내지  $1 \times 10^8$  개 세포, 보다 바람직하게는  $0.5 \times 10^7$  개 내지  $2 \times 10^7$  개 세포, 훨씬 더 바람직하게는  $1 \times 10^7$  개 세포의 양으로 사용된다. 면역화에 사용될 세포의 수는 ROBO4 단백질의 발현 수준에 따라 변화될 수 있다. 면역원은 일반적으로 복강내로 투여되고, 피내 경로 등을 통해 투여될 수 있다. (4-1-2)에 기재된 방법이 하이브리도마 제조 방식에 적용될 수 있다.

[0247] (4-3) 유전자 재조합 및 숙주 세포

[0248] 본 발명의 항체를 제조하기 위해, 그의 중쇄의 아미노산 서열을 코딩하는 뉴클레오티드 서열을 포함하는 뉴클레오티드(중쇄 뉴클레오티드) 및 그의 경쇄의 아미노산 서열을 코딩하는 뉴클레오티드 서열을 포함하는 뉴클레오티드(경쇄 뉴클레오티드), 또는 중쇄 뉴클레오티드의 삽입체를 함유하는 벡터 및 경쇄 뉴클레오티드의 삽입체를 함유하는 벡터로 숙주 세포를 형질감염시킨 후 배양하고, 배양물로부터 항체를 수집할 수 있다. 중쇄 뉴클레오티드 및 경쇄 뉴클레오티드는 한 벡터 내에 삽입될 수 있다.

- [0249] 원핵 또는 진핵 세포가 숙주 세포로서 사용될 수 있다. 진핵 세포가 숙주로서 사용되는 경우, 동물 세포, 식물 세포 또는 진핵 미생물이 사용될 수 있다.
- [0250] 동물 세포의 예로는 포유동물 유래의 세포, 즉 원숭이 유래의 COS 세포(Gluzman, Y. Cell (1981) 23, p. 175-182, ATCC 번호 CRL-1650), 마우스 섬유모세포 NIH3T3(ATCC 번호 CRL-1658), 마우스 NS0 세포주(ECACC), 중국 햄스터 난소 세포(CHO 세포, ATCC 번호 CCL-61), 그의 디하이드로폴레이트 환원효소 결핍 세포주(CHODhfr: Urlaub, G. and Chasin, L. A. Proc. Natl. Acad. Sci. U. S. A. (1980) 77, p.4126-4220), 론자 바이올로직스(Lonza Biologics)에 의해 개발된 CHOK1SV, 조류, 예컨대, 닭으로부터 유래된 세포, 및 곤충으로부터 유래된 세포를 들 수 있다.
- [0251] 또한, 본 발명의 숙주 세포는 항체 단백질에 부착된 당쇄의 구조가 변경되어 있는 항체 단백질을 생성할 수 있는 세포를 포함하고, 이때 변경을 갖는 항체의 생물학적 활성을 바람직하게는 변경을 갖지 않은 항체에 비해 향상되어 있다. 본 발명의 이러한 숙주 세포의 예로는 항체의 Fc 영역에 결합된 복합 N-글리코사이드-연결된 당쇄를 갖는 항체 단백질을 생성할 수 있는 CHO 세포를 들 수 있고, 이때 항체의 Fc 영역에 결합된 총 복합 N-글리코사이드-연결된 당쇄들 중에서 푸코스가 당쇄의 환원 말단에서 N-아세틸글루코스아민에 결합되어 있지 않은 당쇄의 비는 20% 이상이다(국제 특허출원 공보 제WO2000/61739호 및 제WO2002/31140호).
- [0252] 진핵 미생물의 예로는 효모를 들 수 있다. 원핵 세포의 예로는 이. 콜라이(*E. coli*) 및 바실러스 서브틸리스(*Bacillus subtilis*)를 들 수 있다.
- [0253] 본 발명의 항-ROBO4 항체를 생성하기 위한 숙주 세포로서 바람직하게는 포유동물 유래의 세포가 사용되고, 보다 바람직하게는 CHO 세포가 사용되고, 훨씬 더 바람직하게는 CHOK1SV가 사용된다.
- [0254] 본 발명의 항체(다양한 동물 종들로부터 유래된 단일클론 항체, 래트 항체, 마우스 항체, 키메라 항체, 인간화된 항체, 인간 항체 등)의 분비를 위한 신호 케이스는 상기 항체와 동일한 종, 동일한 종류 및 동일한 하위종류의 항체의 분비 신호, 또는 항체 그 자체의 분비 신호로 한정되지 않는다. 그와 상이한 종류 또는 하위종류의 항체의 임의의 분비 신호, 또는 그와 상이한 진핵 종 또는 원핵 종으로부터 유래된 단백질의 임의의 분비 신호가 선택되고 사용될 수 있다.
- [0255] (4-4) 인간화된 항체를 디자인하고 제조하는 방법
- [0256] 인간화된 항체의 예로는 비인간 동물 항체의 CDR들로 치환된 CDR들을 갖는 인간 유래의 항체(문헌(Nature (1986) 321, p. 522-525) 참조), CDR 이식 방법에 의해 CDR 서열 및 골격 영역의 일부 아미노산 잔기들을 이식 받은 인간 항체(예를 들면, 국제 특허출원 공보 제WO90/07861호 및 미국 특허 제6972323호 참조), 및 이를 인간화된 항체들 중 임의의 인간화된 항체에서 1개 또는 2개 이상의 비인간 동물 항체 유래의 아미노산(들)을 치환시킨 인간 항체 아미노산(들)을 갖는 항체를 들 수 있다.
- [0257] (4-5) 인간 항체를 제조하는 방법
- [0258] 본 발명의 항체의 추가 예로는 인간 항체를 들 수 있다. 항-ROBO4 인간 항체는 인간 유래의 항체의 아미노산 서열로 구성된 항-ROBO4 항체를 의미한다. 항-ROBO4 인간 항체는 인간 항체 중쇄 및 경쇄 코딩 유전자를 포함하는 인간 게놈 DNA 단편을 보유하는 인간 항체 생성 마우스를 사용하는 방법에 의해 수득될 수 있다(예를 들면, 문헌(Tomizuka, K. et al., Nature Genetics (1997) 16, p.133-143), 문헌(Kuroiwa, Y. et. al., Nuc. Acids Res. (1998) 26, p.3447-3448), 문헌(Yoshida, H. et. al., Animal Cell Technology: Basic and Applied Aspects vol. 10, p.69-73 (Kitagawa, Y., Matuda, T. and Iijima, S. eds.), Kluwer Academic Publishers, 1999), 문헌(Tomizuka, K. et. al., Proc. Natl. Acad. Sci. USA (2000) 97, p.722-727) 등 참조).
- [0259] 구체적으로, 이러한 인간 항체 생성 동물은 비인간 포유동물의 내재성 면역글로불린 중쇄 및 경쇄 유전자 좌위를 파괴하고 대신에 효모 인공 염색체(YAC) 벡터 등을 통해 인간 면역글로불린 중쇄 및 경쇄 유전자 좌위를 그에 도입함으로써 제조될 수 있다. 대안적으로, 유전자 재조합 기법으로 이러한 인간 항체의 중쇄 및 경쇄 코딩 cDNA들, 바람직하게는 상기 cDNA들 각각을 포함하는 벡터를 사용하여 진핵 세포를 형질전환시키고, 재조합 인간 단일클론 항체를 생성하는 형질전환된 세포를 배양한다. 배양 상정액으로부터 이 항체를 수득할 수 있다.
- [0260] 이와 관련하여, 예를 들면, 진핵 세포, 바람직하게는 포유동물 세포, 예컨대, CHO 세포, 림프구 또는 골수종이 숙주로서 사용될 수 있다.
- [0261] 인간 항체 라이브러리로부터 선택된 과지 디스플레이 유래의 인간 항체를 수득하는 방법(문헌(Wormstone, I. M. et. al., Investigative Ophthalmology & Visual Science. (2002) 43 (7), p.2301-2308), 문헌(Carmen, S. et.

al., *Briefings in Functional Genomics and Proteomics* (2002), 1 (2), p.189-203), 문현(Siriwardena, D. et. al., *Ophthalmology* (2002) 109 (3), p.427-431) 등 참조)도 공지되어 있다.

[0262] 예를 들면, 인간 항체의 가변 영역이 과지 표면 상에서 단일 쇄 항체(scFv)로서 발현되게 하는 단계 및 항원에 결합하는 과지를 선택하는 단계를 포함하는 과지 디스플레이 방법(Nature Biotechnology (2005), 23, (9), p. 1105-1116)이 이용될 수 있다.

[0263] 과지와 항원의 결합을 기초로 선택된 과지의 유전자를 분석하여 항원에 결합하는 인간 항체의 가변 영역을 코딩하는 DNA 서열을 결정할 수 있다.

[0264] 항원에 결합하는 scFv의 DNA 서열이 결정되면, 이 서열을 갖는 발현 벡터를 제조하고, 적절한 숙주를 상기 발현 벡터로 형질감염시키고 인간 항체를 발현하게 한다(국제 특허출원 공보 제W092/01047호, 제W092/20791호, 제W093/06213호, 제W093/11236호, 제W093/19172호, 제W095/01438호 및 제W095/15388호, 문헌(Annu. Rev. Immunol. (1994) 12, p.433-455) 및 문헌(Nature Biotechnology (2005) 23 (9), p.1105-1116)).

[0265] (4-6) 항체의 기능성 단편을 제조하는 방법

[0266] 단일 쇄 항체를 제조하는 방법은 당분야에서 잘 공지되어 있다(예를 들면, 미국 특허 제4,946,778호, 제5,260,203호, 제5,091,513호 및 제5,455,030호 참조). 이 scFv에서, 중쇄 가변 영역과 경쇄 가변 영역은 이들이 접합체를 형성하는 것을 방지하는 연결제, 바람직하게는 폴리펩티드 연결제를 통해 연결된다(Huston, J.S. et al., *Proc. Natl. Acad. Sci. U.S.A.* (1988), 85, p. 5879-5883). scFv에서 중쇄 가변 영역 및 경쇄 가변 영역은 동일한 항체로부터 유래될 수 있거나 상이한 항체로부터 유래될 수 있다.

[0267] 예를 들면, 12개 내지 19개의 잔기들로 구성된 임의 단일 쇄 웨პ티드가 이들 가변 영역들을 연결하는 폴리펩티드 연결제로서 사용된다.

[0268] scFv 코딩 DNA를 수득하기 위해, 항체의 중쇄 또는 중쇄 가변 영역을 코딩하는 DNA 및 항체의 경쇄 또는 경쇄 가변 영역을 코딩하는 DNA의 서열들 중 전체 또는 원하는 아미노산 서열을 코딩하는 각각의 DNA 부분을 주형으로서 사용하고 이 주형의 양 말단들을 플랭킹하는 프라이머 쌍을 사용하여 PCR로 증폭시킨다. 그 후, 폴리펩티드 연결제 모이어티를 코딩하는 DNA도 그의 양 말단들을 플랭킹하는 프라이머 쌍으로 함께 증폭하여 이를 말단들을 각각 중쇄 및 경쇄에 연결한다.

[0269] scFv 코딩 DNA를 상용적인 방법에 따라 사용하여 상기 DNA를 함유하는 발현 벡터를 제조할 수 있고 숙주 세포를 상기 발현 벡터로 형질전환시킬 수 있다. 추가로, 숙주 세포를 배양하고 scFv를 상용적인 방법에 따라 배양물로부터 수집할 수 있다.

[0270] 또한, 항체의 다른 기능성 단편을 수득하기 위해, 각각의 기능성 단편을 코딩하는 유전자를 전술된 방법에 따라 수득하고, 세포를 상기 유전자로 형질감염시킨다. 관심있는 기능성 단편을 세포의 배양물로부터 수집할 수 있다.

[0271] 본 발명의 항체를 다양체화하여 항원에 대한 그의 친화성을 향상시킬 수 있다. 다양체화되는 항체는 1종의 항체일 수 있거나 복수의 에피토프들 각각 또는 동일한 항원을 인식하는 복수의 항체들일 수 있다. 항체 다양체화 방법의 예로는 2개의 scFv들과 IgG CH3 도메인의 결합, 2개의 scFv들과 스트렙타비딘의 결합 및 나선-회전-나선 모티프의 도입을 들 수 있다.

[0272] 본 발명의 항체는 아미노산 서열 면에서 상이한 복수의 종류의 항-RBO4 항체들의 혼합물, 즉 다중클론 항체일 수 있다. 다중클론 항체의 예로는 CDR 세트의 부분 또는 전체에서 상이한 복수의 종류의 항체들의 혼합물을 들 수 있다. 이러한 다중클론 항체는 혼합 배양된 상이한 항체 생성 세포들의 배양물로부터 수집될 수 있다(국제 특허출원 공보 제W02004/061104호). 뿐만 아니라, 별도로 제조된 항체들을 혼합할 수 있다. 나아가, 동물을 원하는 항원으로 면역화시키고 표준 방법에 따라 상기 동물로부터 혈청을 수집함으로써 다중클론 항체의 한 양태인 항혈청을 제조할 수 있다.

[0273] 다양한 분자들, 예컨대, 폴리에틸렌 글리콜(PEG)과 접합체 항체도 항체의 변경된 형태로서 사용될 수 있다.

[0274] 본 발명의 항체는 이들 항체와 다른 약물에 의해 형성된 임의의 접합체(면역접합체)일 수도 있다. 이러한 항체의 예로는 방사성 물질 또는 약리학적 효과를 갖는 화합물과 접합된 항체를 들 수 있다(Nature Biotechnology (2005) 23, p. 1137-1146).

[0275] (4-7) 항체의 정제

- [0276] 수득된 항체를 균질한 수준으로 정제할 수 있다. 항체의 분리 및 정제를 위해 통상적인 단백질 분리 및 정제 방법을 이용할 수 있다.
- [0277] 적절하게 선택되거나 조합된 방법, 예를 들면, 크로마토그래피 컬럼, 필터, 한외여과, 염석, 투석, 분취 폴리아크릴아미드 겔 전기영동 및/또는 등전점 포커싱(isoelectric focusing)(그러나, 이들로 한정되지 않음)으로 항체를 분리하고 정제할 수 있다(Strategies for Protein Purification and Characterization: A Laboratory Course Manual, Daniel R. Marshak et al. eds., Cold Spring Harbor Laboratory Press (1996); Antibodies: A Laboratory Manual. Ed Harlow and David Lane, Cold Spring Harbor Laboratory (1988)).
- [0278] 크로마토그래피의 예로는 친화성 크로마토그래피, 이온 교환 크로마토그래피, 소수성 크로마토그래피, 겔 여과, 역상 크로마토그래피 및 흡착 크로마토그래피를 들 수 있다.
- [0279] 액체상 크로마토그래피, 예컨대, HPLC 또는 FPLC를 이용하여 이를 크로마토그래피 방법을 수행할 수 있다.
- [0280] 친화성 크로마토그래피에서 사용되는 컬럼의 예로는 단백질 A, 단백질 G 및 항원 컬럼을 들 수 있다.
- [0281] 단백질 A 컬럼의 예로는 (풀 코포레이션(Pall Corp.)에 의해 제조된) 하이퍼(Hyper) D, (어플라이드 바이오시스 템스 인코포레이티드(Applied Biosystems, Inc.)에 의해 제조된) POROS 및 (지이 헬스케어 바이오-사이언시스 코포레이션에 의해 제조된) 세파로스 F.F.를 들 수 있다.
- [0282] 또한, 항원-고정된 담체를 사용하여 항원에 대한 항체의 결합 활성을 기초로 항체를 정제할 수 있다.
- [0283] 본 발명은 본 발명의 항체 또는 그의 기능성 단편, 또는 그의 변경된 형태를 코딩하는 유전자, 이 유전자의 삽입체를 함유하는 재조합 백터, 상기 유전자 또는 백터로 형질감염된 세포, 및 본 발명의 항체를 생성하는 세포도 제공한다.
- [0284] 방법 (4-1) 내지 (4-6) 중 임의의 방법에 의해 제조된 항체 또는 그의 기능성 단편이 본 발명에 포함될 수 있다.
- [0285] 5. 약학 조성물
- [0286] 본 발명은 항-ROBO4 항체 또는 그의 기능성 단편, 또는 그의 변경된 형태를 포함하는 약학 조성물을 제공한다.
- [0287] 본 발명의 약학 조성물은 발병, 진행 및/또는 악화의 과정 동안 병리학적 소견들 중 하나로서 혈관신생을 보이고 이 혈관신생 또는 혈관 투과성의 억제에 의해 개선될 수 있는 질환(이하, 이 질환은 편의상 "혈관신생 질환"으로서 지칭됨)의 치료 또는 예방에 유용하다. 혈관신생 질환의 예로는 삼출성 연령 관련 황반 변성, 당뇨망막병증, 황반 부종, 양성 또는 악성 종양, 아테롬성동맥경화증, 수정체뒤섬유증식, 혈관종, 만성 염증, 안구 혈관신생 질환, 증식성 망막병증, 혈관신생 녹내장, 각막 조직 이식 또는 다른 조직 이식의 면역 거부, 류마티스 관절염, 건선, 급성 염증, 패혈증 및 비만을 들 수 있다. 본 발명의 약학 조성물은 혈관신생 질환의 치료 또는 예방에 있어서 약제로서 유용하고, 특히 삼출성 연령 관련 황반 변성, 당뇨망막병증, 황반 부종, 양성 또는 악성 종양, 수정체뒤섬유증식, 안구 혈관신생 질환, 증식성 망막병증, 혈관신생 녹내장 및 각막 조직 이식의 면역 거부의 치료 또는 예방에 유용하고, 보다 바람직하게는 삼출성 연령 관련 황반 변성, 당뇨망막병증, 황반 부종, 양성 또는 악성 종양, 수정체뒤섬유증식, 안구 혈관신생 질환, 증식성 망막병증 및 혈관신생 녹내장의 치료 또는 예방에 유용하다.
- [0288] 본 발명에서, 질환의 치료 및/또는 예방은 질환, 바람직하게는 발현된 ROBO4 단백질을 갖는 개체에서의 질환의 발병의 예방, 그의 악화 또는 진행의 억제 또는 저해, 질환으로 고통받는 개체에 의해 나타나는 1개 또는 2개 이상의 증상의 경감, 그의 악화 또는 진행의 억제 또는 관해, 2차 질환의 치료 또는 예방 등을 포함하나 이들로 한정되지 않는다.
- [0289] 본 발명의 약학 조성물은 치료 또는 예방 유효량의 항-ROBO4 항체 또는 이 항체의 기능성 단편 및 약학적으로 허용가능한 희석제, 비히클, 가용화제, 유화제, 보존제 및/또는 첨가제를 함유할 수 있다.
- [0290] "치료 또는 예방 유효량"은 특정 제형 및 투여 경로에 의해 특정 질환에 대한 치료 또는 예방 효과를 발휘하는 양을 의미한다.
- [0291] 본 발명의 약학 조성물은 이 조성물 또는 그에 함유된 항체의 pH, 삼투압, 점도, 투명도, 색채, 긴장성, 멸균성 또는 안정성, 가용성, 지속된 방출, 흡수성, 투과성, 제형, 강도, 성질, 형태 등을 변화시키거나, 유지하거나 보유하기 위한 물질(이하, "약학 물질"로서 지칭됨)을 함유할 수 있다. 약학 물질은, 이 물질이 약리학적으로

허용가능한 물질인 한, 특별히 한정되지 않는다. 예를 들면, 무독성 또는 낮은 독성이 바람직하게는 이들 약학 물질들에 의해 보유된 성질이다.

[0292] 약학 물질의 예로는 하기 물질들을 들 수 있으나 이들로 한정되지 않는다: 아미노산, 예컨대, 글리신, 알라닌, 글루타민, 아스파라긴, 히스티딘, 아르기닌 및 라이신; 항균제; 항산화제, 예컨대, 아스코르브산, 황산나트륨 및 중이황산나트륨; 완충제, 예컨대, 인산염, 구연산염 또는 봉산염 완충제, 중탄산나트륨 및 트리스-HCl 용액; 충전제, 예컨대, 만니톨 및 글리신; 칼레이팅제, 예컨대, 에틸렌디아민테트라아세트산(EDTA); 착물화제, 예컨대, 카페인, 폴리비닐피롤리딘,  $\beta$ -사이클로텍스트린 및 하이드록시프로필- $\beta$ -사이클로텍스트린; 중량제, 예컨대, 글루코스, 만노스 및 텍스트린; 다른 탄수화물, 예컨대, 단당류, 이당류, 글루코스, 만노스 및 텍스트린; 착색제; 교취제; 희석제; 유화제; 친수성 중합체, 예컨대, 폴리비닐피롤리딘; 저분자량 폴리펩티드; 염 형성 반대이온; 방부제, 예컨대, 염화벤즈알코늄, 벤조산, 살리실산, 티메로살, 펜에틸 알코올, 메틸파라벤, 프로필파라벤, 클로로헥시딘, 소르브산 및 파산화수소; 용매, 예컨대, 글리세린, 프로필렌 글리콜 및 폴리에틸렌 글리콜; 당 알코올, 예컨대, 만니톨 및 소르비톨; 혼탁제; 계면활성제, 예컨대, PEG, 소르비탄 에스테르, 폴리소르베이트, 예컨대, 폴리소르베이트 20 및 폴리소르베이트 80, 트리تون, 트로메타민, 레시틴 및 콜레스테롤; 안정성 향상제, 예컨대, 수크로스 및 소르비톨; 탄성 향상제, 예컨대, 염화나트륨, 염화칼륨, 만니톨 및 소르비톨; 수송제; 희석제; 부형제; 및/또는 약학 첨가제.

[0293] 첨가되는 이들 약학 물질들의 양은 항-ROBO4 항체 또는 그의 기능성 단편, 또는 그의 변경된 형태의 중량의 0.001배 내지 1000배, 바람직하게는 0.01배 내지 100배, 보다 바람직하게는 0.1배 내지 10배이다.

[0294] 리포좀 내에 캡슐화된 항-ROBO4 항체 또는 그의 기능성 단편, 또는 그의 변경된 형태; 또는 리포좀과 접합된 항체를 포함하는 변경된 항체 형태를 포함하는 면역리포좀을 함유하는 약학 조성물(미국 특허 제6214388호 등)도 본 발명의 약학 조성물에 포함된다.

[0295] 부형제 또는 비하클은, 이들이 주사가능한 물, 식염수, 인공 뇌척수액, 및 경구 또는 비경구 투여를 위한 다른 제제에서 통상적으로 사용되는 액체 또는 고체 물질인 한, 특별히 한정되지 않는다. 식염수의 예로는 중성 식염수 및 혈청 일부만 함유 식염수를 들 수 있다.

[0296] 완충제의 예로는 약학 조성물의 최종 pH를 7.0 내지 8.5로 조절하는 트리스 완충제, 약학 조성물의 최종 pH를 4.0 내지 5.5로 조절하는 아세트산염 완충제, 약학 조성물의 최종 pH를 5.0 내지 8.0으로 조절하는 구연산염 완충제, 및 약학 조성물의 최종 pH를 5.0 내지 8.0으로 조절하는 히스티딘 완충제를 들 수 있다.

[0297] 본 발명의 약학 조성물은 고체, 액체, 혼탁액 등이다. 본 발명의 약학 조성물의 또 다른 예로는 동결건조된 제제를 들 수 있다. 부형제, 예컨대, 수크로스를 사용하여 동결건조된 제제를 형성할 수 있다.

[0298] 본 발명의 약학 조성물의 투여 경로는 장 투여, 국소 투여 및 비경구 투여 중 임의의 투여일 수 있고, 바람직하게는 표적화된 질환에 따라 선택될 수 있다. 그의 구체적인 예로는 정맥내 투여, 동맥내 투여, 근육내 투여, 피내 투여, 피하 투여, 복강내 투여, 경피 투여, 골내 투여 및 관절내 투여를 들 수 있다. 또한, 안내 투여는 바람직하게는 눈 혈관신생 질환, 예컨대, 삼출성 연령 관련 황반 변성, 당뇨망막병증, 황반 부종, 수정체뒤섬유증식, 안구 혈관신생 질환, 중식성 망막병증, 혈관신생 녹내장 또는 각막 조직 이식의 면역 거부의 경우 이용될 수 있다.

[0299] 약학 조성물의 처방(recipe)은 투여 방법, ROBO4 단백질에 대한 항체의 결합 친화성 등에 따라 결정될 수 있다. ROBO4 단백질에 대한 보다 높은 친화성(보다 낮은  $K_D$  값)을 갖는 본 발명의 항-ROBO4 항체 또는 그의 기능성 단편, 또는 그의 변경된 형태는 보다 낮은 용량에서 그의 약물 효능을 발휘할 수 있다.

[0300] 본 발명의 항-ROBO4 항체의 복용량은 개체의 종, 질환의 종류, 증상, 성별, 연령, 기존 병태, ROBO4 단백질에 대한 항체의 결합 친화성 또는 그의 생물학적 활성, 및 다른 인자에 따라 적절하게 결정될 수 있다. 통상적으로 0.01 내지 1000 mg/kg, 바람직하게는 0.1 내지 100 mg/kg의 복용량이 180일 동안 매일 1회, 또는 1일 2회 또는 3회 이상 투여될 수 있다.

[0301] 약학 조성물의 제형의 예로는 주사제(동결건조된 제제 및 점적제를 포함함), 좌약제, 경비 흡수 제제, 경피 흡수 제제, 설하 제제, 캡슐제, 정제, 연고, 과립제, 에어로졸, 환제, 산제, 혼탁액, 유제, 점안제 및 생물학적 이식물 제제를 들 수 있다.

[0302] 활성 성분으로서 본 발명의 항-ROBO4 항체 또는 그의 기능성 단편, 또는 그의 변경된 형태를 포함하는 약학 조성물은 추가 치료제 또는 예방제와 병용될 수 있다. 상기 치료제 또는 예방제의 예로는 항-혈관신생 약물, 소염

약물 및/또는 항암 약물을 들 수 있다. 예를 들면, 항-헬관신생 약물, 소염 약물 및/또는 항암 약물을 대상체에게 투여한 후, 활성 성분으로서 항-ROBO4 항체 또는 이 항체의 기능성 단편을 포함하는 약학 조성물을 상기 대상체에게 투여한다. 대안적으로, 상기 약학 조성물을 대상체에게 투여한 후, 항-헬관신생 약물, 소염 약물 및/또는 항암 약물을 상기 대상체에게 투여한다. 대안적으로, 상기 약학 조성물을 항-헬관신생 약물, 소염 약물 및/또는 항암 약물과 동시에 대상체에게 투여할 수 있다. 항-헬관신생 약물의 예로는 라니비주맙을 들 수 있다.

[0303] 본 발명은 혈관신생 질환, 예컨대, 삼출성 연령 관련 황반 변성, 당뇨망막병증, 황반 부종, 양성 또는 악성 종양, 아테롬성동맥경화증, 수정체뒤섬유증식, 혈관종, 만성 염증, 안구 혈관신생 질환, 증식성 망막병증, 혈관신생 녹내장, 각막 조직 이식 또는 다른 조직 이식의 면역 거부, 류마티스 관절염, 건선, 급성 염증, 패혈증 또는 비만을 치료하거나 예방하는 방법, 상기 혈관신생 질환의 치료 또는 예방용 약학 조성물의 제조를 위한 본 발명의 항체의 용도, 및 상기 혈관신생 질환의 치료 또는 예방을 위한 본 발명의 항체의 용도도 제공한다. 본 발명의 항체를 포함하는 치료 또는 예방용 키트도 본 발명에 포함된다.

#### [0304] 6. 진단용 조성물

[0305] 본 발명은 본 발명의 항-ROBO4 항체 또는 그의 기능성 단편, 또는 그의 변경된 형태를 포함하는 검사 또는 진단용 조성물(이하, "진단용 조성물"로서 총칭됨)을 제공한다.

[0306] 본 발명의 진단용 조성물은 혈관신생 질환, 예컨대, 삼출성 연령 관련 황반 변성, 당뇨망막병증, 황반 부종, 양성 또는 악성 종양, 아테롬성동맥경화증, 수정체뒤섬유증식, 혈관종, 만성 염증, 안구 혈관신생 질환, 증식성 망막병증, 혈관신생 녹내장, 각막 조직 이식 또는 다른 조직 이식의 면역 거부, 류마티스 관절염, 건선, 급성 염증, 패혈증 또는 비만의 검사 또는 진단에 유용하다. 본 발명의 진단용 조성물은 보편적인 진단 기준을 충족시키지 못하는 초기 혈관신생 또는 혈관신생 전 증상, 혈관신생으로 발전하는 비진단된 증상 등의 검사 또는 진단에도 유용하다. 본 발명에서, 상기 검사 또는 진단은 예를 들면, 질환을 획득할 위험의 확인 또는 시험, 질환의 존재 또는 부재의 확인, 진행 또는 악화 정도의 시험, 항-ROBO4 항체 등을 포함하는 약학 조성물을 사용한 약물 치료의 효과의 시험 또는 확인, 약물 치료 이외의 치료의 효과의 시험 또는 확인, 재발 위험의 시험, 및 재발의 존재 또는 부재의 확인을 포함한다. 그러나, 본 발명에 따른 검사 또는 진단은, 이것이 통상적인 검사 또는 진단인 한, 이들로 한정되지 않는다.

[0307] ROBO4 단백질이 건강한 개체로부터 유래된 샘플에 비해 시험 대상체로부터 유래된 샘플에서 2배, 3배, 4배, 5배, 6배, 7배, 8배, 9배, 10배, 11배, 12배, 13배, 14배, 15배, 16배, 17배, 18배, 19배 또는 20배 이상의 양, 바람직하게는 10배 이상의 양으로 검출되는 경우, 시험 대상체는 혈관신생 질환을 갖거나 이를 획득할 고위험에 있는 대상체로서 진단될 수 있다. 뿐만 아니라, ROBO4 단백질의 혈청 농도가 특정 기준 값을 초과하는 경우, 시험 대상체는 혈관신생 질환을 갖는 대상체로서 진단되거나 이를 획득할 고위험에 있는 대상체로서 진단될 수 있다. 상기 기준 값은 통상적으로 0.01 내지 10 ng/ml, 바람직하게는 0.1 내지 1 ng/ml, 보다 바람직하게는 0.1 내지 0.3 ng/ml이다.

[0308] 이러한 진단용 조성물은 pH 완충제, 삼투조절제, 염, 안정화제, 방부제, 색채 현상제, 증감제, 응집 억제제 등을 함유할 수 있다.

[0309] 본 발명은 혈관신생 질환, 예컨대, 삼출성 연령 관련 황반 변성, 당뇨망막병증, 황반 부종, 양성 또는 악성 종양, 아테롬성동맥경화증, 수정체뒤섬유증식, 혈관종, 만성 염증, 안구 혈관신생 질환, 증식성 망막병증, 혈관신생 녹내장, 각막 조직 이식 또는 다른 조직 이식의 면역 거부, 류마티스 관절염, 건선, 급성 염증, 패혈증 또는 비만을 검사하거나 진단하는 방법, 상기 혈관신생 질환의 진단용 조성물의 제조를 위한 본 발명의 항체의 용도, 및 상기 혈관신생 질환의 검사 또는 진단을 위한 본 발명의 항체의 용도도 제공한다. 본 발명의 항체를 포함하는 검사 또는 진단용 키트도 본 발명에 포함된다.

[0310] 본 발명의 항체를 사용하는 검사 또는 진단 방법은 바람직하게는 샌드위치 ELISA이다. 항체를 사용하는 통상적인 검출 방법, 예컨대, ELISA, RIA, ELISPOT(효소-연결된 면역스폿) 분석, 도트 블로팅, 오우크털로니 시험 또는 CIE(역면역전기영동)가 이용될 수 있다. 샌드위치 ELISA 분석 시스템에 적용되는 항체는 ROBO4를 인식하지만 서로 경쟁하지 않는 2종의 항체들의 임의의 조합물일 수 있다. 바이오틴 이외에 생화학적 분석에서 수행될 수 있는 표지부착 방법, 예컨대, HRP, 알칼리성 포스파타제 또는 FITC가 항체를 위한 표지부착 방법으로서 사용될 수 있다. 발색 기질, 예컨대, TMB(3,3',5,5'-테트라메틸벤지딘), BCIP(5-브로모-4-클로로-3-인돌릴 포스페이트),  $\rho$ -NPP ( $\rho$ -니트로페닐 포스페이트), OPD(o-페닐렌디아민), ABTS(3-에틸벤조티아졸린-6-설폰산), 수퍼시그널(SuperSignal) ELISA 피코 화학발광 기질(씨모 피셔 사이언티픽 인코포레이티드(Thermo Fisher Scientific

Inc.)), 형광 기질, 예컨대, 콘타블루(QuantaBlu)(TM) 형광발생 퍼록시다제 기질(써모 피셔 사이언티픽 인코포레이티드) 및 화학발광 기질이 효소 표지부착을 이용하는 검출에서 사용될 수 있다. 인간 또는 비인간 동물로부터 유래된 샘플뿐만 아니라 인위적으로 처리된 샘플, 예컨대, 재조합 단백질도 이 분석에서 사용될 수 있다. 유기체 개체로부터 유래된 시험 샘플의 예로는 혈액, 활액, 복수, 림프, 뇌척수액 및 조직 균질화물 상청액을 들 수 있으나 이들로 한정되지 않는다.

[0311] 본 발명의 항체를 포함하는 검사 또는 진단용 샌드위치 ELISA 키트는 ROBO4 단백질 표준물 용액, 착색 시약, 희석을 위한 완충제 용액, 고체상을 위한 항체, 검출을 위한 항체 및 세척 용액 등을 함유할 수 있다. 항원에 결합된 항체의 양은 바람직하게는 흡광도, 형광도, 발광도 또는 RI(방사성동위원소) 방법과 같은 방법을 이용함으로써 측정될 수 있다. 바람직하게는 흡광도 플레이트 판독기, 형광도 플레이트 판독기, 발광도 플레이트 판독기, RI 액체 신틸레이션 계수기 등이 이 측정에서 이용된다.

[0312] [실시예]

[0313] 이하, 본 발명은 실시예와 관련하여 보다 상세히 기재될 것이다. 그러나, 본 발명은 이들로 한정되기 위한 것이 아니다.

[0314] 달리 특정되어 있지 않은 한, 하기 실시예에서 각각의 유전공학적 공정은 문헌("Molecular Cloning" (Sambrook, J., Fritsch, E.F., and Maniatis, T., Cold Spring Harbor Laboratory Press, 1989))에 기재된 방법 또는 당업자에 의해 이용되는 다른 실험 매뉴얼에 기재된 방법에 의해 수행되었거나, 사용된 상업적으로 입수가능한 시약 또는 키트의 설명서에 따라 수행되었다.

[0315] (실시예 1) 발현 벡터의 제조

[0316] 1)-1 인간 ROBO4 발현 벡터의 제조

[0317] 1)-1-1 전장 인간 ROBO4 발현 벡터의 제조

[0318] EcoRV 및 NotI을 사용하여 인간 ROBO4 cDNA(접수번호 BC039602)를 포함하는 플라스미드(오픈 바이오시스템스(Open Biosystems)에 의해 제조됨)로부터 인간 ROBO4 cDNA를 절단하고 pCI 벡터(프로메가 코포레이션(Promega Corp.)에 의해 제조됨)의 EcoRV와 NotI 사이에 도입하여 전장 인간 ROBO4 발현 벡터(이하, "pCI-hROBO4"로서 지칭됨)를 제조하였다. 이 벡터에 클로닝된 인간 ROBO4 유전자의 서열은 서열번호 1에 제시되어 있다. 또한, 인간 ROBO4의 아미노산 서열은 서열번호 2에 제시되어 있다.

[0319] 1)-1-2 인간 ROBO4 세포외 영역 발현 벡터의 제조

[0320] 하기 프라이머 세트를 사용하는 PCR 반응을 통해 인간 ROBO4 세포외 영역 폴리펩티드(서열번호 2의 아미노산 번호 1 내지 461로 표시된 아미노산 서열로 구성됨; 이하, "인간 ROBO4-ECD"로서 약칭됨)를 코딩하는 cDNA를 증폭하였다:

프라이머 1F: 5'-aaaggttaccacatggctctggaggagacgcctctg-3', 및

[0321] 프라이머 1R: 5'-aaagatatcctgcgtccagggtccaggaccatgctact-3'.

[0322] 수득된 PCR 생성물을 pEF6/V5-His-TOPO 벡터(라이프 테크놀로지스 코포레이션(Life Technologies Corp.)에 의해 제조됨) 내로 클로닝하였다(이하, 발생된 벡터는 "pEF6-ROBO4-ECD"로서 약칭되고; 이하, "pEF6-ROBO4-ECD"에 의해 발생된 재조합 단백질은 "rROBO4-ECD"로서 지칭됨).

[0323] 1)-1-3 N-말단 FLAG-태그부착된 전장 인간 ROBO4 및 인간 ROBO4 세포외 영역/도메인 결실 변이체 발현 벡터의 제조

[0324] FLAG 태그가 부착된 N-말단을 갖는, 인간 ROBO4의 서열번호 2의 아미노산 번호 28 내지 1007로 표시된 아미노산 서열로 구성된 영역(이 도면에서, 이 영역은 "hROBO4-28"로서 지칭됨), 그의 아미노산 번호 46 내지 1007로 표시된 아미노산 서열로 구성된 영역(이 도면에서, 이 영역은 "hROBO4-46"으로서 지칭됨), 그의 아미노산 번호 132 내지 1007로 표시된 아미노산 서열로 구성된 영역(이 도면에서, 이 영역은 "hROBO4-132"로서 지칭됨), 그의 아미노산 번호 210 내지 1007로 표시된 아미노산 서열로 구성된 영역(이 도면에서, 이 영역은 "hROBO4-210"으로서 지칭됨), 그의 아미노산 번호 225 내지 1007로 표시된 아미노산 서열로 구성된 영역(이 도면에서, 이 영역은 "hROBO4-225"로서 지칭됨), 또는 그의 아미노산 번호 341 내지 1007로 표시된 아미노산 서열로 구성된 영역(이 도면에서, 이 영역은 "hROBO4-341"로서 지칭됨)을 포함하는 단백질의 발현을 위한 벡터를 구축하기 위해, pCI-hROBO4를 주형으로서 사용하고 하기 각각의 프라이머 세트를 사용하여 PCR 반응을 수행하였다:

[0325] hROB04-28 증폭을 위한 프라이머 세트:

프라이머 2F: 5'-ggtaccgccatgggctctggaggagacagcctcctcgccggcagagggtccctgcctctgtgtccatcatggag  
gcatggctgattacaaggatgacgacgataagcaggactccccccccagatcctagtcac-3', 및  
프라이머 2R: 5'-gctacggatctacaggagaagcaccagccttg-3'.

[0327] hROB04-46 증폭을 위한 프라이머 세트:

프라이머 3F: 5'-ggtaccgccatgggctctggaggagacagcctcctcgccggcagagggtccctgcctctgtgtccatcatggag  
gcatggctgattacaaggatgacgacgataagcctggccctgcaggatgagtcctgcctgcaag-3', 및 프라이머 2R.

[0329] hROB04-132 증폭을 위한 프라이머 세트:

프라이머 4F: 5'-ggtaccgccatgggctctggaggagacagcctcctcgccggcagagggtccctgcctctgtgtccatcatggag  
gcatggctgattacaaggatgacgacgataaggtggctgtctccggaggattccagatc-3', 및 프라이머 2R.

[0331] hROB04-210 증폭을 위한 프라이머 세트:

프라이머 5F: 5'-ggtaccgccatgggctctggaggagacagcctcctcgccggcagagggtccctgcctctgtgtccatcatggag  
gcatggctgattacaaggatgacgacgataagaccaacagcgcaggacataggagagcc-3', 및 프라이머 2R.

[0333] hROB04-225 증폭을 위한 프라이머 세트:

프라이머 6F: 5'-ggtaccgccatgggctctggaggagacagcctcctcgccggcagagggtccctgcctctgtgtccatcatggag  
gcatggctgattacaaggatgacgacgataagatccaggagccccaggactacaggagcc-3', 및 프라이머 2R.

[0335] hROB04-341 증폭을 위한 프라이머 세트:

프라이머 7F: 5'-ggtaccgccatgggctctggaggagacagcctcctcgccggcagagggtccctgcctctgtgtccatcatggag  
gcatggctgattacaaggatgacgacgataagaggctgcccagtgcccc-3', 및 프라이머 2R.

[0336] 수득된 PCR 생 성물을 pCR4Blunt-TOPO 벡터(라이프 테크놀로지스 코포레이션(Life Technologies Corp.)에 의해 제조됨) 내로 도입하여 클로닝 벡터를 제조하였다. KpnI 및 NheI을 사용하여 각각의 클로닝 벡터로부터 상용하는 cDNA를 절단하고 pCI 벡터의 KpnI과 NheI 사이에 도입하여 N-말단 FLAG-태그부착된 전장 인간 ROBO4 발현 벡터 및 4개의 인간 ROBO4 세포외 영역/도메인 결실 변이체 발현 벡터들을 제조하였다. N-말단 FLAG-태그부착된 전장 인간 ROBO4 발현 벡터는 N-말단부터 ROBO4의 신호 서열(서열번호 2의 아미노산 번호 1 내지 27의 아미노산들) + FLAG 서열(DYKDDDDK) + ROBO4(서열번호 2의 아미노산 번호 28 내지 1007의 아미노산들)을 코딩하는 뉴클레오티드로 구성된다. 이하, N-말단 FLAG-태그부착된 전장 인간 ROBO4의 발현을 위한 벡터는 "pCI-FLAG-hROBO4-28"로서 지칭된다. 인간 ROBO4 세포외 영역/도메인 결실 변이체 발현 벡터들 중, 예를 들면, 서열번호 2의 아미노산 번호 46 내지 1007로 구성된 ROBO4의 발현을 위한 벡터는 ROBO4의 신호 서열(서열번호 2의 아미노산 번호 1 내지 27의 아미노산들) + FLAG 서열(DYKDDDDK) + 세포외 영역-결실된 ROBO4(서열번호 2의 아미노산 번호 46 내지 1007의 아미노산들)로 구성된다. 이 벡터는 "pCI-hROBO4-46"으로서 지칭된다. 마찬가지로, ROBO4의 세포외 영역에서 부분 결실을 갖는 ROBO4를 코딩하는 벡터들은 각각 "pCI-hROBO4-132", "pCI-hROBO4-210", "pCI-hROBO4-225" 및 "pCI-hROBO4-341"로서 지칭된다.

[0337] 상기 벡터에 클로닝된 FLAG-태그부착된 전장 인간 ROBO4 또는 인간 ROBO4의 세포외 영역/도메인 결실 변이체 각각의 아미노산 서열을 코딩하는 뉴클레오티드 서열은 서열번호 3, 5, 7, 9, 11 또는 13에 제시되어 있다. 또한, 상용하는 FLAG-태그부착된 전장 인간 ROBO4 또는 인간 ROBO4의 세포외 영역/도메인 결실 변이체의 아미노산 서열은 서열번호 4, 6, 8, 10, 12 또는 14에 제시되어 있다.

[0338] 1)-1-4 인간 ROBO4 세포내 영역 결실 변이체 발현 벡터의 제조

[0339] 인간 ROBO4의 서열번호 2의 아미노산 번호 1 내지 511로 표시된 아미노산 서열로 구성된 영역(이하, 이 영역은 "hROBO4- $\Delta C$ "로서 지칭됨)을 포함하는 단백질의 발현을 위한 벡터를 구축하기 위해, pCI-hROBO4를 주형으로서 사용하고 hROBO4- $\Delta C$ 를 위한 하기 프라이머 세트 및 퀵체인지(QuikChange) XL 부위-지정된 돌연변이유발 키트(아일런트 테크놀로지스 인코포레이티드(Agilent Technologies, Inc.)에 의해 제조됨)를 사용하여 인간 ROBO4의 511번째 아미노산을 코딩하는 코돈 바로 다음에 정지 코돈을 삽입함으로써 hROBO4- $\Delta C$  발현 벡터(이하, "pCI-hROBO4- $\Delta C$ "로서 지칭됨)를 제조하였다:

[0340] 프라이머 8F: 5'-cagatataccagtgaggatgcctgaatctaaaacacaggatggatc-3', 및  
프라이머 8R: 5'-gatccatccgtgttttaggattcaggcatctactggtatatctg-3'.

[0341] 1)-2 마우스 ROBO4 발현 벡터의 제조

[0342] 마우스 심장 측-클론 cDNA(타카라 바이오 인코포레이티드(Takara Bio Inc.)에 의해 제조됨)를 주형으로서 사용하고 하기 프라이머 세트를 사용하여 PCR 반응을 수행하였다:

[0343] 프라이머 9F: 5'-ggtaccgcctatggacaaggagaggagccgagagcagccatg-3', 및  
프라이머 9R: 5'-gcggccgcggaggaaatcaccagccctggcacagcaccag-3'.

[0344] 수득된 PCR 생성물을 pCR-Blunt II-TOPO 벡터(라이프 테크놀로지스 코포레이션에 의해 제조됨) 내로 도입하여 마우스 ROBO4 cDNA를 포함하는 클로닝 벡터를 제조하였다. KpnI 및 NotI를 사용하여 상기 클로닝 벡터로부터 마우스 ROBO4 cDNA를 절단하고 pCI 벡터의 KpnI과 NotI 사이에 도입하여 마우스 ROBO4 발현 벡터(이하, "pCI-mROBO4"로서 지칭됨)를 제조하였다. 이 벡터에 클로닝된 마우스 ROBO4 유전자 내의 ORF 부위의 서열은 서열번호 15의 뉴클레오티드 7 내지 3051에 제시되어 있다. 또한, 마우스 ROBO4의 아미노산 서열은 서열번호 16에 제시되어 있다.

[0345] 1)-3 래트 ROBO4 발현 벡터의 제조

[0346] 래트 비장 측-클론 cDNA(타카라 바이오 인코포레이티드에 의해 제조됨)를 주형으로서 사용하고 하기 프라이머 세트를 사용하여 PCR 반응을 수행하였다:

[0347] 프라이머 10F: 5'-ggtaccgcctatggacaaggagaggagctgagagcagcc-3', 및  
프라이머 10R: 5'-gcggccgcggaggaaatcaccagccctggcacacaacacc-3'.

[0348] 수득된 PCR 생성물을 pCR4Blunt-TOPO 벡터 내로 도입하여 래트 ROBO4 cDNA를 포함하는 클로닝 벡터를 제조하였다. KpnI 및 NotI를 사용하여 상기 클로닝 벡터로부터 래트 ROBO4 cDNA를 절단하고 pCI 벡터의 KpnI과 NotI 사이에 도입하여 래트 ROBO4 발현 벡터(이하, "pCI-raROBO4"로서 지칭됨)를 제조하였다. 래트 ROBO4 cDNA의 뉴클레오티드 서열은 서열번호 17에 제시되어 있다. 이 뉴클레오티드 서열에 의해 코딩된 아미노산 서열은 서열번호 18에 제시되어 있다.

[0349] 1)-4 N-말단 FLAG-태그부착된 사이노몰구스 원숭이 ROBO4 발현 벡터의 제조

[0350] 사이노몰구스 원숭이 신장 총 RNA로부터 합성된 cDNA를 주형으로서 사용하고 하기 프라이머 세트를 사용하여 PCR 반응을 수행하였다:

[0351] 프라이머 11F: 5'-ggtaccgcctatggctctggaggagaaggcctccgg-3', 및  
프라이머 11R: 5'-ggagtaatctacaggagaaggcaccgccttg-3'.

[0352] 수득된 PCR 생성물을 pCR4Blunt-TOPO 벡터 내로 도입하여 각각의 사이노몰구스 원숭이 ROBO4 cDNA(이하, cynoROBO4-1 또는 cynoROBO4-2로서 지칭됨)를 포함하는 2종의 클로닝 벡터(이하, 이를 벡터들은 각각 pCR-cynoROBO4-1 및 pCR-cynoROBO4-2로서 지칭됨)를 제조하였다.

[0353] 그 다음, pCR-cynoROBO4-1 또는 pCR-cynoROBO4-2를 주형으로서 사용하고 하기 프라이머 세트를 사용하여 PCR 반응을 수행하였다:

[0354] 프라이머 12F: 5'-ggatccgcctatggctctggaggagaaggcctcccg-3', 및  
프라이머 12R: 5'-gcggccgcctcaggagtaatctacaggagaaggcaccgccttg-3'.

[0355] 수득된 PCR 생성물을 pCR4Blunt-TOPO 벡터 내로 도입하여 각각의 사이노몰구스 원숭이 ROBO4 cDNA를 포함하는 클로닝 벡터를 제조하였다. BamHI 및 NotI를 사용하여 상기 클로닝 벡터로부터 상응하는 사이노몰구스 원숭이 ROBO4 cDNA를 절단하고 pCI 벡터의 BamHI과 NotI 사이에 도입하여 2종의 사이노몰구스 원숭이 ROBO4 발현 벡터들(이하, 각각 pCI-cynoROBO4-1 및 pCR-cynoROBO4-2로서 지칭됨)을 제조하였다.

[0356] 그 다음, pCR-cynoROBO4-1 또는 pCR-cynoROBO4-2를 주형으로서 사용하고 하기 프라이머 세트를 사용하여 PCR 반응을 수행하였다:

[0357] 프라이머 13F: 5'-ggtaccgcctatggctctggaggagaaggcctccggaggcctccgggtttccggctctgtgtcctgtcatcatggag  
gcatggctgattacaaggatgacgacgataaggcaggactccccccccagatcctagtcac-3', 및 프라이머 12R.

- [0358] 수득된 PCR 생성물을 pCR-TOPO 벡터(라이프 테크놀로지스 코포레이션에 의해 제조됨) 내로 도입하여 N-말단 FLAG-태그부착된 사이노몰구스 원숭이 ROBO4 cDNA를 포함하는 각각의 클로닝 벡터를 제조하였다. KpnI 및 Not I 을 사용하여 상기 클로닝 벡터로부터 상응하는 사이노몰구스 원숭이 ROBO4 cDNA를 절단하고 pCI 벡터의 KpnI과 Not I 사이에 도입하여 N-말단 FLAG-태그부착된 사이노몰구스 원숭이 ROBO4 발현 벡터(이하, 각각 "pCI-FLAG-cynoROBO4-1" 및 "pCI-FLAG-cynoROBO4-2"로서 지칭됨)를 제조하였다. pCI-FLAG-cynoROBO4-1 및 pCI-FLAG-cynoROBO4-2 각각에 클로닝된 사이노몰구스 원숭이 ROBO4 cDNA의 뉴클레오티드 서열은 각각 서열번호 19 및 21에 제시되어 있다. 각각의 뉴클레오티드 서열에 의해 코딩된 아미노산 서열은 각각 서열번호 20 및 22에 제시되어 있다.
- [0359] 1)-5 N-말단 FLAG-태그부착된 인간 ROBO1 발현 벡터의 제조
- [0360] 인간 심장 콜-클론 cDNA(타카라 바이오 인코포레이티드에 의해 제조됨)를 주형으로서 사용하고 하기 프라이머 세트를 사용하여 PCR 반응을 수행하였다:
- 프라이머 13F: 5'-ggggacaagttgtacaaaaaggcaggcttaccatgattgcggagcccgctactttacctg-3', 및  
프라이머 13R: 5'-ggggaccatgtacaaagaagctgggtcgcttcagttcccttaattcttc-3'.
- [0361] 수득된 PCR 생성물 및 pDONR221 벡터(라이프 테크놀로지스 코포레이션에 의해 제조됨)에 대한 BP 반응을 수행하여 인간 ROBO1 cDNA를 포함하는 공여자 벡터를 제조하였다.
- [0362] 그 다음, 상기 공여자 벡터를 주형으로서 사용하고 하기 프라이머 세트를 사용하여 PCR 반응을 수행하였다:
- 프라이머 14F: 5'-gcggccgcattgtcgccgcgtcaactttacctgtttggattaatatgtctctgttcaggctccgtttgattacaaggatg  
acgaacataagcgtcaggaaagattttccacccgtcatttg-3', 및  
프라이머 14R: 5'-gctagctcagttcagttccctctaatttttc-3'.
- [0363] 수득된 PCR 생성물을 pCR4Blunt-TOPO 벡터 내로 도입하여 N-말단 FLAG-태그부착된 인간 ROBO1 cDNA를 포함하는 클로닝 벡터를 제조하였다. NheI 및 Not I 을 사용하여 상기 클로닝 벡터로부터 N-말단 FLAG-태그부착된 인간 ROBO1 cDNA를 절단하고 pCI 벡터의 NheI과 Not I 사이에 도입하여 발현 벡터(이하, "pCI-FLAG-hROBO1"로서 지칭됨)를 제조하였다. N-말단 FLAG-태그부착된 인간 ROBO1 cDNA의 뉴클레오티드 서열은 서열번호 23에 제시되어 있다. 이 뉴클레오티드 서열에 의해 코딩된 아미노산 서열은 서열번호 24에 제시되어 있다.
- [0364] 1)-6 인간 ROBO2 발현 벡터의 제조
- [0365] 인간 폐 콜-클론 cDNA(타카라 바이오 인코포레이티드에 의해 제조됨)를 주형으로서 사용하고 하기 프라이머 세트를 사용하여 PCR 반응을 수행하였다:
- 프라이머 15F: 5'-gcggccgcattgtcgccgcgtcaactttacctgtttggattaatatgtctctgttcaggctccgtttgattacaaggatg  
prаймер 15R: 5'-gctagccataattcacccgttacactgtccctgtacttttg-3'.
- [0366] 수득된 PCR 생성물을 pCR4Blunt-TOPO 벡터 내로 도입하여 인간 ROBO2 cDNA를 포함하는 클로닝 벡터를 제조하였다. Not I 및 NheI 을 사용하여 상기 클로닝 벡터로부터 인간 ROBO2 cDNA를 절단하고 pCI 벡터의 Not I과 NheI 사이에 도입하여 발현 벡터(이하, "pCI-hROBO2"로서 지칭됨)를 제조하였다. 인간 ROBO2 cDNA의 뉴클레오티드 서열은 서열번호 25에 제시되어 있다. 이 뉴클레오티드 서열에 의해 코딩된 아미노산 서열은 서열번호 26에 제시되어 있다.
- [0367] 1)-7 인간 ROBO3 발현 벡터의 제조
- [0368] 인간 ROBO3/pENTR223.1(오픈 바이오시스템스(Open Biosystems)에 의해 제조됨)을 주형으로서 사용하고 하기 프라이머 세트를 사용하여 PCR 반응을 수행하였다:
- 프라이머 16F: 5'-gcggccgcattgtcgccgcgtcaactttacctgtttggattaatatgtctctgttcaggctccgtttgattacaaggatg  
프라이머 16R: 5'-gctagctcatctgggtccctcgccgtttctgtcc-3'.
- [0369] 수득된 PCR 생성물을 pCR4Blunt-TOPO 벡터 내로 도입하여 인간 ROBO3 cDNA를 포함하는 클로닝 벡터를 제조하였다. Not I 및 NheI 을 사용하여 상기 클로닝 벡터로부터 인간 ROBO3 cDNA를 절단하고 pCI 벡터의 Not I과 NheI 사이에 도입하여 발현 벡터(이하, "pCI-hROBO3"로서 지칭됨)를 제조하였다. 이 벡터에 클로닝된 인간 ROBO3 유전자 내의 ORF 부위의 서열은 서열번호 27의 뉴클레오티드 35 내지 4192에 제시되어 있다. 또한, 인간 ROBO3의 아미노산 서열은 서열번호 28에 제시되어 있다.

[0374] (실시예 2) 단일클론 항체의 제조

[0375] 2)-1 항원성 단백질의 제조

[0376] rROBO4-ECD를 발현시키기 위해, 293펙틴(fectin)(라이프 테크놀로지스 코포레이션에 의해 제조됨)을 사용하여 프리스타일(FreeStyle) 293-F 세포(라이프 테크놀로지스 코포레이션에 의해 제조됨)를 pEF6-ROBO4-ECD로 형질감염시키고 8% CO<sub>2</sub> 조건 하에서 6일 동안 37°C에서 배양하였다. 배양의 완료 후, 배양 용액을 원심분리로 수집하고 rROBO4-ECD 정제 스톡(stock)으로서 사용하였다. 15000의 분자량 컷오프를 갖는 투석 튜브를 이용하여 수득된 배양 상청액을 20 mM 트리스-HCl(pH 7.5)에 대해 투석하고 필터(0.45 μm)를 통해 여과한 후, 20 mM 트리스-HCl(pH 7.5)로 평형화된 하이트랩(HiTrap) 16/10 Q XL(지이 헬쓰케어 바이오-사이언시스 코포레이션에 의해 제조됨)에 첨가하였다. NaCl 구배(20 mM 트리스-HCl, pH 7.5/0.2 M NaCl, 20 mM 트리스-HCl, pH 7.5/1 M NaCl)를 이용하여 용출을 수행하였다. 용출 분획의 부분을 SDS-폴리아크릴아미드 젤 전기영동(이하, "SDS-PAGE"로서 약칭됨)으로 분리하였다. 그 다음, 젤을 쿠마시 브릴리언트 블루 염색(이하, "CBB 염색"으로서 약칭됨)으로 염색하고 웨스턴 블로팅으로 검출하여 rROBO4-ECD를 함유하는 분획을 확인하였다. 그 다음, rROBO4-ECD를 함유하는 분획을 수집하고 PBS로 평형화된 하이로드(HiLoad) 16/60 수퍼택스 75 pg(지이 헬쓰케어 바이오-사이언시스 코포레이션에 의해 제조됨)에 첨가하였다. PBS로 용출한 후, 용출 분획의 부분을 SDS-PAGE로 분리하였다. 그 다음, 젤을 CBB 염색으로 염색하고 웨스턴 블로팅으로 검출하여 rROBO4-ECD를 함유하는 분획을 확인하였다. rROBO4-ECD를 함유하는 분획을 수집하고 면역화를 위한 항원 및 결합 친화성 분석을 위한 항원으로서 사용하였다. BCA 단백질 분석 시약(피어스 바이오테크놀로지 인코포레이티드(Pierce Biotechnology, Inc.)에 의해 제조됨)을 사용하여 단백질 농도를 측정하였다.

[0377] 2)-2 면역화

[0378] 6주령의 암컷 BALB/c 마우스를 사용하였다. 0일째 날, rROBO4-ECD와 프로인트 완전 항원보강제의 혼합물 50 μg을 각각의 마우스에게 피하 또는 피내 투여하였다. 7일째 날, 14일째 날 및 21일째 날, rROBO4-ECD와 프로인트 불완전 항원보강제의 혼합물 50 μg을 상기 마우스에게 피하 또는 피내 투여하였다. 38일째 날, rROBO4-ECD 50 μg을 상기 마우스에게 복강내 투여하였다. 42일째 날, 마우스 림프절 또는 비장을 수집하여 하이브리도마 제조에 사용하였다.

[0379] 2)-3 하이브리도마 제조

[0380] 하이브리뮨(Hybrimune) 하이브리도마 제조 시스템(사이토 펄스 사이언시스 인코포레이티드(Cyto Pulse Sciences, Inc.)에 의해 제조됨)을 이용하여 림프절 세포 또는 비장 세포와 마우스 골수종 SP2/0-ag14 세포를 전기적으로 융합시키고 클로나셀(ClonaCell)-HY 선택 배지 D(스템셀 테크놀로지스 인코포레이티드(StemCell Technologies Inc.)에 의해 제조됨)로 희석하고 배양하였다. 보이는 하이브리도마 콜로니를 수집하여 단일클론 하이브리도마를 제조하였다. 수집된 각각의 하이브리도마 콜로니를 배양하고, 수득된 하이브리도마 배양 상청액을 항-ROBO4 항체 생성 하이브리도마에 대해 스크리닝하였다.

[0381] 2)-4 항체 스크리닝

[0382] 2)-4-1 세포-ELISA를 위한 항원 유전자 발현 세포의 제조

[0383] HEK293 세포를, 10% FBS를 함유하는 DMEM 배지 중의 7.5 x 10<sup>5</sup> 개 세포/ml로 조절하였다. 리포펙타민 2000(라이프 테크놀로지스 코포레이션에 의해 제조됨)을 사용하여 세포를 pCI-hROBO4 또는 음성 대조군 pCI-모의물로 형질감염시키고, 96웰 절반 면적 플레이트(코닝 인코포레이티드(Corning Inc.)에 의해 제조됨)에 50 μl/웰의 농도로 분배하고, 5% CO<sub>2</sub> 조건 하에서 37°C에서 10% FBS를 함유하는 DMEM 배지에서 밤새 배양하였다. 수득된 형질감염된 세포들을 서로 부착시키면서 세포-ELISA에서 사용하였다.

[0384] 2)-4-2 유동 세포측정 분석을 위한 항원 유전자 발현 세포의 제조

[0385] HEK293T 세포를 225-cm<sup>2</sup> 플라스크(스미토모 베이켈라이트 컴파니 리미티드(Sumitomo Bakelite Co., Ltd.)에 의해 제조됨)에 1.125 x 10<sup>7</sup> 개 세포/플라스크의 농도로 접종하고, 5% CO<sub>2</sub> 조건 하에서 37°C에서 10% FBS를 함유하는 DMEM 배지에서 밤새 배양하였다. 다음 날, 리포펙타민 2000을 사용하여 HEK293T 세포를 pCI-ROBO4 또는 음성 대조군 pCI-모의물로 형질감염시키고, 5% CO<sub>2</sub> 조건 하에서 37°C에서 밤새 더 배양하였다. 다음 날, 발현 벡터로 형질감염된 HEK293T 세포를 TrypLE 익스프레스(Express)(라이프 테크놀로지스 코포레이션에 의해 제조됨)로 처

리하고 10% FBS를 함유하는 DMEM 배지로 세척한 후 5% FBS를 함유하는 PBS에 혼탁하였다. 수득된 세포 혼탁액을 유동 세포측정 분석에서 사용하였다.

#### [0386] 2)-5 세포-ELISA

발현 벡터로 형질감염된 HEK293 세포(상기 2)-4-1에서 제조됨)로부터 상청액을 제거한 후, 하이브리도마 배양 상청액을 pCI-hROBO4로 형질감염된 HEK293 세포 및 pCI-모의물로 형질감염된 HEK293 세포 각각에 첨가하고, 세포를 4°C에서 1시간 동안 방치하였다. 각각의 웰 내의 세포를, 5% FBS를 함유하는 PBS로 1회 세척하였다. 그 다음, 5% FBS를 함유하는 PBS로 500배 희석된, 염소에서 생성된 항-마우스 IgG-퍼록시다제 항체(시그마-알드리치 코포레이션(Sigma-Aldrich Corp.)에 의해 제조됨)를 상기 세포에 첨가하고, 세포를 4°C에서 1시간 동안 방치하였다. 각각의 웰 내의 세포를, 5% FBS를 함유하는 PBS로 5회 세척하였다. 그 다음, OPD 용해 용액(0.05 M 구연산삼나트륨, 0.1 M 인산수소이나트륨 12수화물, pH 4.5)에 각각 0.4 mg/ml 및 0.6%(부피/부피)의 농도로 용해된 OPD 착색 용액(o-페닐렌디아민 디하이드로클로라이드(와코 퓨어 케미칼 인더스트리스 리미티드(Wako Pure Chemical Industries, Ltd.)에 의해 제조됨) 및 H<sub>2</sub>O<sub>2</sub>를 25 μl/웰의 농도로 상기 세포에 첨가하였다. 간헐적으로 교반하면서 착색 반응을 수행하고 1 M HCl을 25 μl/웰의 농도로 첨가하여 중지시켰다. 그 다음, 플레이트 판독기(엔비젼(ENVISION); 퍼킨 엘머 인코포레이티드(Perkin Elmer, Inc.)에 의해 제조됨)를 이용하여 490 nm에서 흡광도를 측정하였다. 세포막 표면 상에서 발현된 ROBO4에 특이적으로 결합하는 항체를 생성하는 하이브리도마를 선택하기 위해, 음성 대조군 pCI-모의물로 형질감염된 HEK293 세포에 비해 pCI-hROBO4로 형질감염된 HEK293 세포에서 보다 높은 흡광도를 나타내는 배양 상청액 중의 하이브리도마를 항-ROBO4 항체 생성 양성 하이브리도마로서 선택하였다.

#### [0388] 2)-6 유동 세포측정 분석

2)-5 세포-ELISA에서 양성으로 확인된 각각의 하이브리도마에 의해 생성된 항체는 ROBO4에 결합한다는 것을 유동 세포측정으로 더 확인하였다. 2)-4-2에서 제조된 HEK293T 세포 혼탁액을 원심분리하였다. 상청액의 제거 후, 하이브리도마 배양 상청액을 pCI-hROBO4로 형질감염된 세포 및 pCI-모의물로 형질감염된 세포 각각에 첨가하고, 발생된 혼탁액을 1시간 동안 4°C에서 방치하였다. 세포를, 5% FBS를 함유하는 PBS로 2회 세척하였다. 그 다음, 5% FBS를 함유하는 PBS로 1000배 희석된 항-마우스 IgG FITC 접합체(시그마-알드리치 코포레이션에 의해 제조됨) 또는 5% FBS를 함유하는 PBS로 320배 희석된 항-래트 IgG FITC 접합체(시그마-알드리치 코포레이션에 의해 제조됨)를 상기 세포에 첨가하고, 발생된 혼탁액을 1시간 동안 4°C에서 방치하였다. 세포를, 5% FBS를 함유하는 PBS로 3회 세척한 후, 5% FBS 및 2 μg/ml 7-아미노악티노마이신 D(몰레큘라 프로브스(Molecular Probes)에 의해 제조됨)를 함유하는 PBS에 재현탁하고, 유동 세포측정기(FC500; 벡크만 코울터 인코포레이티드(Beckman Coulter, Inc.)에 의해 제조됨)를 이용하여 검출하였다. 플로우조(Flowjo)(트리스타 인코포레이티드(TreeStar Inc.)에 의해 제조됨)를 이용하여 데이터를 분석하였다. 7-아미노악티노마이신 D 양성 사멸 세포를 게이팅(gating)으로 배제한 후, 생존 세포에 대한 FITC 형광 강도의 막대그래프를 작성하였다. pCI-ROBO4로 형질감염된 HEK293T 세포의 막대그래프가 음성 대조군 pCI-모의물로 형질감염된 293T 세포의 막대그래프에 비해 더 강한 형광 강도 영역으로 이동되어 있는 샘플을 생성하는 하이브리도마를 항-ROBO4 항체 생성 하이브리도마로서 수득하였다. 수득된 하이브리도마에 의해 생성된 항-ROBO4 항체들은 각각 MAb1, MAb2, MAb3 및 MAb4로서 명명되었다.

#### [0390] 2)-7 단일클론 항체의 동종형분류

마우스 단일클론 동종형분류 키트 또는 래트 단일클론 동종형분류 키트(애이비디 세로텍에 의해 제조됨)를 사용하여 각각의 단일클론 항체의 동종형을 결정하였다. 결과는 IgG1(MAb1 및 MAb2) 및 IgG2b(MAb3 및 MAb4)이었다.

#### [0392] 2)-8 단일클론 항체의 제조

하이브리도마 배양 상청액(이하, "항체 정제 스톡"으로서 지칭됨)으로부터 각각의 단일클론 항체를 정제하였다.

항체 정제 스톱을 다음과 같이 제조하였다: 8 내지 9 x 10<sup>7</sup>개의 하이브리도마를 1272-cm<sup>2</sup> 플라스크(코닝 인코포레이티드에 의해 제조됨)에 접종하고 5% CO<sub>2</sub> 조건 하에서 37°C에서 20% 올트라-로우(Ultra-Low) IgG 태아 소혈청을 함유하는 하이브리도마 SFM 배지(라이프 테크놀로지스 코포레이션에 의해 제조됨)에서 4일 동안 배양한 후, 상청액을 수집하였다.

하이트랩(Hitrap) 단백질 G HP 또는 하이트랩 맵셀렉트 슈어(MabSelect SuRe)(지이 헬쓰케어 바이오-사이언시스 코포레이션에 의해 제조됨)를 사용하여 항체를 정제하였다. 하이트랩 단백질 G HP의 경우, 항체 정제 스톱을 컬

럼에 첨가하고 결합 완충제(0.02 M 인산나트륨, pH 7.0)로 세척한 후, 0.1 M 글리신(pH 2.7)으로 용출하였다. 대조적으로, 하이트랩 맵셀렉트 슈어의 경우, 항체 정제 스톡을 컬럼에 첨가하고 PBS로 세척한 후, 2 M 아르기닌-HCl(pH 4.0)로 용출하였다. 용출된 항체 용액을 중화한 후, 완충제를 PBS로 교체하였다. BCA 단백질 분석 시약을 사용하여 하이트랩 단백질 G HP로 정제된 항체의 농도를 측정하였다. 마우스 IgG2a(알앤드디 시스템스 인코포레이티드(R&D systems, Inc.)에 의해 제조됨)를 보정 곡선용 표준물로서 사용하였다. 대안적으로, POROS G 20  $\mu\text{m}$  컬럼 PEEK(4.6 mm x 50 mm, 0.83 mL)(에플라이드 바이오시스템스 인코포레이티드에 의해 제조됨)에 결합된 항체의 용출물에서 흡광도(O.D. 280 nm)를 측정함으로써 하이트랩 맵셀렉트 슈어로 정제된 항체의 농도를 측정하였다. 구체적으로, PBS로 희석된 항체 샘플을 평형 완충제(30.6 mM 인산이수소나트륨 12수화물, 19.5 mM 인산일칼륨, 0.15 M NaCl, pH 7.0)로 평형화된 POROS G 20  $\mu\text{m}$ 에 첨가하였다. 컬럼을 평형 완충제로 세척한 후, 컬럼에 결합된 항체를 용출제(0.1%(부피/부피) HCl, 0.15 M NaCl)로 용출하였다. 용출물 중의 흡광도(O.D. 280 nm)의 피크 면적을 측정하고, 농도를 하기 방정식에 따라 계산하였다: 항체 샘플 농도(mg/mL) = (항체 샘플의 피크 면적)/(표준물(인간 IgG1)의 피크 면적) x 표준물의 농도(mg/mL) x 샘플의 희석비.

[0396]

(실시예 3) ROBO4 다운스트림 신호의 활성화의 검출

[0397]

3)-1 인터류킨-8(IL-8) 프로모터 영역을 반응 요소로서 포함하는 리포터 벡터의 제조

[0398]

IL-8 프로모터 영역 DNA를 주형으로서 사용하고 하기 프라이머 세트를 사용하여 PCR 반응을 수행하였다:

프라이머 17F: 5'-ggtaccgataaggaacaaataggaaag-3', 및

[0399]

프라이머 17R: 5'-gagctcagcttgtgtctgtc-3'.

[0400]

수득된 PCR 생성물을 pCR4Blunt-TOPO 벡터에 도입하여 IL-8 프로모터 영역(-253 내지 -59) DNA를 포함하는 클로닝 벡터를 제조하였다. KpnI 및 SacI을 사용하여 상기 클로닝 벡터로부터 IL-8 프로모터 영역(-253 내지 -59) DNA를 절단하고 pGL4.15 벡터(프로메가 코포레이션에 의해 제조됨) 사이에 도입하여 IL-8 프로모터 영역을 반응 요소로서 포함하는 리포터 벡터를 제조하였다. IL-8 프로모터 영역(-253 내지 -59) DNA의 뉴클레오티드 서열은 서열번호 29에 제시되어 있다.

[0401]

3)-2 핵 인자-κB(NF-κB), 인터페론 감마 활성화 서열(GAS), 인터페론에 의해 자극되는 반응 요소(ISRE) 또는 형질감염 등급 T 세포 인자(TCF)를 반응 요소로서 포함하는 리포터 벡터

[0402]

pGL4.32[luc2P/NF-κB-RE/Hygro] 벡터(프로메가 코포레이션에 의해 제조됨), pGAS-TA-Luc 벡터(타카라 바이오 인코포레이티드에 의해 제조됨), pISRE-TA-Luc 벡터(타카라 바이오 인코포레이티드에 의해 제조됨) 및 TOPflash(밀리포어 코포레이션(Millipore Corp.)에 의해 제조됨)를, 각각 NF-κB, GAS, ISRE 또는 TCF를 반응 요소로서 포함하는 리포터 벡터로서 사용하였다. 대안적으로, 반응 서열 무함유 pTA-Luc 벡터(타카라 바이오 인코포레이티드에 의해 제조됨)를 음성 대조군으로서 사용하였다. pRL-TK 벡터(타카라 바이오 인코포레이티드에 의해 제조됨)를 내부 대조군으로서 사용하였다.

[0403]

3)-3 인간 ROBO4를 일시적으로 발현하는 세포에서 변화하는 신호의 분석

[0404]

HEK293 세포를 96웰 플레이트(콜라겐 I으로 코팅됨; 아사히 글라스 컴파니 리미티드(Asahi Glass Co., Ltd.)에 의해 제조됨)에  $2 \times 10^4$  개 세포/웰의 농도로 접종하고, 5% CO<sub>2</sub> 조건 하에서 37°C에서 10% FBS를 함유하는 DMEM 배지에서 밤새 배양하였다. 다음 날, 퓨진(FuGene)6 형질감염 시약을 사용하여 HEK293 세포를 pCI-ROBO4, pCI-ROBO4-ΔC 또는 음성 대조군 pCI-모의물, 및 3)-1 및 3)-2에 기재된 각각의 리포터 벡터로 형질감염시키고, 5% CO<sub>2</sub> 조건 하에서 밤새 더 배양하였다. 다음 날, 듀얼-글로(Dual-Glo) 루시퍼라제 분석 시스템(프로메가 코포레이션에 의해 제조됨)을 이용하여 플레이트 판독기(미쓰라스(Mithras); 베솔드 테크놀로지스 게엠베하엔드 컴파니 카게(Berthold Technologies GmbH & Co, KG)에 의해 제조됨)에서 각각의 웰의 초파리 루시퍼라제 및 레닐라(Renilla) 루시퍼라제 활성을 발광 강도로서 측정하고, 각각의 웰의 리포터 활성을 하기 방정식에 따라 계산하였다: 리포터 활성 = 초파리 루시퍼라제 활성 유래의 발광 강도/레닐라 루시퍼라제 활성 유래의 발광 강도. 결과적으로, 음성 대조군 pCI-모의물로 형질감염된 세포에 비해 pCI-hROBO4로 형질감염된 세포에서 IL-8 프로모터 활성만이 증가되었다(도 1). 뿐만 아니라, pCI-hROBO4로 형질감염된 세포에서 검출된 IL-8 프로모터 활성의 증가는 pCI-hROBO4-ΔC(hROBO4의 세포내 영역 결실 돌연변이체)로 형질감염된 세포에서 급격히 약화되었는데, 이것은 pCI-hROBO4로 형질감염된 세포에서 검출된 IL-8 프로모터 활성의 증가가 ROBO4의 세포내 영역을 필요로 한다는 것을 입증한다(도 2). 따라서, pCI-hROBO4로 형질감염된 세포에서의 IL-8 프로모터 활성의 증가는 ROBO4 다운스트림 신호의 활성화가 검출된다는 것을 입증하였다.

[0405] (실시예 4) MAb1의 성질

[0406] 4)-1 MAb1에 의한 ROBO4 다운스트림 신호의 활성화

[0407] pCI-hROBO4로 형질감염된 세포 또는 pCI-모의물로 형질감염된 세포(상기 3)-3에서 제조됨)를 밤새 배양하였다. 다음 날, 각각의 항-ROBO4 항체(MAb1, MAb2, MAb3 또는 MAb4) 또는 음성 대조군 마우스 IgG1(알엔드디 시스템스 인코포레이티드에 의해 제조됨)을 0, 0.3125, 1.25, 5 및 20  $\mu\text{g}/\text{ml}$  또는 0, 0.25, 1, 4 및 16  $\mu\text{g}/\text{ml}$ 의 농도로 상기 세포에 첨가하고, 세포를 5% CO<sub>2</sub> 조건 하에서 37°C에서 5시간 동안 배양하였다. 그 다음, 듀얼-글루 루시퍼라제 분석 시스템(프로메가 코포레이션에 의해 제조됨)을 이용하여 플레이트 판독기(미쓰라스)에서 각각의 웰의 초파리 루시퍼라제 및 레닐라 루시퍼라제 활성을 발광 강도로서 측정하고, 각각의 웰의 리포터 활성을 하기 방정식에 따라 계산하였다: 리포터 활성 = 초파리 루시퍼라제 활성 유래의 발광 강도/레닐라 루시퍼라제 활성 유래의 발광 강도. 결과적으로, 음성 대조군 마우스 IgG는 인간 ROBO4를 일시적으로 발현하는 세포에서 IL-8 프로모터 활성에 영향을 미치지 않은 반면, MAb1은 IL-8 프로모터 활성을 증가시켰다(도 3). MAb1에서와 같이, MAb2도 IL-8 프로모터 활성을 증가시킨 반면, MAb3 또는 MAb4는 IL-8 프로모터 활성을 증가시키지 않았다(도 4). pCI-모의물 세포에서, MAb1 또는 MAb2는 IL-8 프로모터 활성을 증가시키지 않았다. 이들 결과는 MAb1이 ROBO4의 다운스트림 신호를 활성화시키고 ROBO4에 대한 모든 항체들이 ROBO4의 다운스트림 신호를 활성화시키지는 않는다는 것을 입증하였다.

[0408] ROBO4 다운스트림 신호의 활성을 증가시키지 않는 것으로 확인된 MAb3 및 MAb4를 교차-연결 항체(아피퓨어(Affipure) 염소 항-마우스 IgG Fc 단편 특이적, 카탈로그 번호 115-005-071, 잭슨 이뮤노리서치(Jackson ImmunoResearch))(1개의 MAb3 또는 MAb4 분자 당 2개의 교차-연결 항체 분자)의 존재 하에서 프로모터 활성에 대해 평가하였다. 결과적으로, 상기 두 항체들의 경우 프로모터 활성의 증가가 관찰되었다.

[0409] 4)-2 HUVEC 이동 시험

[0410] HUVEC(쿠라보 인더스트리스 리미티드(KURABO INDUSTRIES LTD.)에 의해 제조됨)를 5% CO<sub>2</sub> 조건 하에서 37°C에서 0.1% BSA를 함유하는 휴메디아(HuMedia)-EB2(쿠라보 인더스트리스 리미티드에 의해 제조됨)에서 밤새 배양한 후, 0.1% BSA를 함유하는 휴메디아-EB2를 사용하여  $4 \times 10^5$  개 세포/ml로 조절하였다.  $4 \times 10^5$  개 세포/ml의 농도를 갖는 세포 혼탁액 0.25 ml를, 젤라틴으로 코팅된 막을 갖는 비디 팔콘 플루오로블록(BD Falcon FluoroBlok) 24 멀티웰 삽입체 시스템(공극 크기: 8  $\mu\text{m}$ ) 내의 챔버 상충에 첨가하였다. 그 다음, 0.1% BSA 및 10 ng/ml 인간 VEGF165(펩프로텍 인코포레이티드(PeproTech Inc.)에 의해 제조됨) 또는 인간 bFGF(비디 바이오사이언시스) 및 2  $\mu\text{g}/\text{ml}$  마우스 IgG2a 또는 각각의 항-ROBO4 항체(MAb1, MAb2, MAb3 또는 MAb4)를 함유하는 휴메디아-EB2를 상기 챔버의 하충에 첨가하였다. 5% CO<sub>2</sub> 조건 하에서 37°C에서 2시간 내지 3시간 동안 항온처리한 후, 하충으로 이동한 HUVEC를, 4  $\mu\text{g}/\text{ml}$  칼세인-AM(라이프 테크놀로지스 코포레이션에 의해 제조됨)을 함유하는 휴메디아-EB2로 15분 동안 염색하였다. 그 다음, 플레이트 판독기(플렉스스테이션(FlexStation); 몰레큘라 디바이시스 엘 엘씨(Molecular Devices, LLC.))를 이용하여 각각의 웰의 형광 강도(여기 파장/형광 파장: 485 nm/538 nm)를 측정하고, 각각의 웰에서 이동 세포의 양을 하기 방정식에 따라 계산하였다: 이동 세포의 양 = HUVEC로 보충된 웰의 형광 강도 - HUVEC로 보충되지 않은 웰의 형광 강도. 결과적으로, MAb1은 VEGF 또는 bFGF에 의해 유도된 HUVEC의 이동을 억제하였다(도 5). MAb1에서와 같이, MAb2도 bFGF에 의해 유도된 HUVEC의 이동을 억제한 반면, MAb3 또는 MAb4는 상기 세포 이동을 억제하지 않았다(도 6). 이들 결과는 항-ROBO4 항체에 의한 IL-8 프로모터 활성의 증가가 HUVEC 이동에 대한 억제 활성과 상관관계를 갖는다는 것을 입증하였다.

[0411] 4)-3 교차-종 반응성

[0412] 4)-3-1 항원 유전자 발현 세포의 제조

[0413] HEK293 세포를 60-mm 디쉬(코닝 인코포레이티드에 의해 제조됨)에  $1.5 \times 10^6$  개 세포/디쉬의 농도로 접종하고, 5% CO<sub>2</sub> 조건 하에서 37°C에서 10% FBS를 함유하는 DMEM 배지에서 밤새 배양하였다. 다음 날, 퓨진6 형질감염 시약을 사용하여 HEK293 세포를 pCI-hROBO4, pCI-mROBO4, pCI-raROBO4, pCI-FLAG-cynoROBO4-1, pCI-FLAG-cynoROBO4-2, pCI-hROBO1, pCI-hROBO2 또는 pCI-hROBO3으로 형질감염시키고 5% CO<sub>2</sub> 조건 하에서 37°C에서 밤새 더 배양하였다. 다음 날, 발현 벡터로 형질감염된 세포를 TrypLE 익스프레스(라이프 테크놀로지스 코포레이션에 의해 제조됨)로 처리하고, 5% FBS를 함유하는 PBS로 세척한 후, 5% FBS를 함유하는 PBS에 혼탁하였다. 수득된 세포 혼탁액을 유동 세포측정 분석에서 사용하였다.

[0414] 4)-3-2 유동 세포측정 분석

[0415] 4)-3-1에서 제조된 각각의 세포 혼탁액을 원심분리하고, 상청액을 제거하였다. 그 다음, MAb1 또는 음성 대조군 마우스 IgG2a를 발현 벡터로 형질감염된  $2 \times 10^5$ 개의 세포에  $10 \mu\text{g}/\text{ml}$ 의 농도로 첨가하고, 발생된 혼탁액을  $4^\circ\text{C}$ 에서 1시간 동안 방치하였다. 상기 세포를, 5% FBS를 함유하는 PBS로 1회 세척하였다. 그 다음, 5% FBS를 함유하는 PBS로 1000배 희석된 항-마우스 IgG FITC 접합체를 상기 세포에 첨가하고, 발생된 혼탁액을  $4^\circ\text{C}$ 에서 1시간 동안 방치하였다. 상기 세포를, 5% FBS를 함유하는 PBS로 3회 세척한 후, 5% FBS를 함유하는 PBS에 재현탁하고, 유동 세포측정기(BD FACSCalibur)를 이용하여 검출하였다. 플로우조를 이용하여 데이터를 분석하였다. FITC 형광 강도의 막대그래프를 작성하였다. MAb1의 막대그래프가 음성 대조군 마우스 IgG2a의 막대그래프에 비해 보다 강한 형광 강도 영역으로 이동하였을 때 상기 항체가 교차-종 방식으로 결합한다는 결론을 내렸다. 교차-종 반응성 연구의 결과는 MAb1이 마우스 ROBO4 또는 래트 ROBO4에 결합하지 않지만 인간 ROBO4 및 사이노몰구스 원숭이 ROBO4에는 결합한다는 것을 입증하였다(도 7).

[0416] 4)-4 결합 특이성

[0417] 4)-4-1 항원 유전자 발현 세포의 제조

[0418] HEK293 세포를 60-mm 디쉬(코닝 인코포레이티드에 의해 제조됨)에  $1.2 \times 10^6$ 개 세포/디쉬 또는  $1.5 \times 10^6$ 개 세포/디쉬의 농도로 접종하고, 5%  $\text{CO}_2$  조건 하에서  $37^\circ\text{C}$ 에서 10% FBS를 함유하는 DMEM 배지에서 밤새 배양하였다. 다음 날, 퓨진6 형질감염 시약을 사용하여 HEK293 세포를 pCI-hROBO4, pCI-FLAG-hROBO1, pCI-hROBO2 또는 pCI-hROBO3으로 형질감염시키고 5%  $\text{CO}_2$  조건 하에서  $37^\circ\text{C}$ 에서 밤새 더 배양하였다. 다음 날, 발현 벡터로 형질감염된 세포를 TrypLE 익스프레스(라이프 테크놀로지스 코포레이션에 의해 제조됨)로 처리하고, 5% FBS를 함유하는 PBS로 세척한 후, 5% FBS를 함유하는 PBS에 혼탁하였다. 수득된 세포 혼탁액을 유동 세포측정 분석에서 사용하였다.

[0419] 4)-4-2 유동 세포측정 분석

[0420] 4)-4-1에서 제조된 각각의 세포 혼탁액을 원심분리하고, 상청액을 제거하였다. 그 다음, MAb1, 양성 대조군 인간 ROBO4 항체(알앤드디 시스템스 인코포레이티드에 의해 제조됨), 마우스에서 생성된 단일클론 항-FLAG M2 항체(시그마-알드리치 코포레이션에 의해 제조됨), 인간 ROBO2 항체(알앤드디 시스템스 인코포레이티드에 의해 제조됨), 단일클론 항-인간 ROBO3 항체(알앤드디 시스템스 인코포레이티드에 의해 제조됨), 또는 음성 대조군 마우스 IgG1 또는 마우스 IgG2a를 발현 벡터로 형질감염된  $2 \times 10^5$ 개의 세포에  $10 \mu\text{g}/\text{ml}$ 의 농도로 첨가하고, 발생된 혼탁액을  $4^\circ\text{C}$ 에서 1시간 동안 방치하였다. 상기 세포를, 5% FBS를 함유하는 PBS로 1회 세척하였다. 그 다음, 5% FBS를 함유하는 PBS로 1000배 희석된 항-마우스 IgG FITC 접합체를 상기 세포에 첨가하고, 발생된 혼탁액을  $4^\circ\text{C}$ 에서 1시간 동안 방치하였다. 상기 세포를, 5% FBS를 함유하는 PBS로 3회 세척한 후, 5% FBS를 함유하는 PBS에 재현탁하고, 유동 세포측정기(BD FACSCalibur)를 이용하여 검출하였다. 플로우조를 이용하여 데이터를 분석하였다. FITC 형광 강도의 막대그래프를 작성하였다. MAb1의 막대그래프가 음성 대조군 마우스 IgG1 또는 마우스 IgG2a의 막대그래프에 비해 보다 강한 형광 강도 영역으로 이동하였을 때 상기 항체가 특이적 방식으로 결합한다는 결론을 내렸다. 상기 결과는 MAb1이 hROBO1, hROBO2 또는 hROBO3에 결합하지 않지만 hROBO4에는 특이적으로 결합한다는 것을 입증하였다(도 8). 이와 관련하여, 양성 대조군 항체를 사용하여 hROBO4, hROBO1, hROBO2 및 hROBO3 각각이 세포막 상에서 발현된다는 것을 확인하였다(도 8).

[0421] 4)-5 에피토프 결정

[0422] 4)-5-1 항원 유전자 발현 세포의 제조

[0423] HEK293 세포를 60-mm 디쉬(코닝 인코포레이티드에 의해 제조됨)에  $1.5 \times 10^6$ 개 세포/디쉬의 농도로 접종하고, 5%  $\text{CO}_2$  조건 하에서  $37^\circ\text{C}$ 에서 10% FBS를 함유하는 DMEM 배지에서 밤새 배양하였다. 다음 날, 퓨진6 형질감염 시약을 사용하여 HEK293 세포를 pCI-FLAG-hROBO4-28, pCI-FLAG-hROBO4-46, pCI-FLAG-hROBO4-132, pCI-FLAG-hROBO4-210, pCI-FLAG-hROBO4-225 또는 pCI-FLAG-hROBO4-341로 형질감염시키고 5%  $\text{CO}_2$  조건 하에서  $37^\circ\text{C}$ 에서 밤새 더 배양하였다. 다음 날, 발현 벡터로 형질감염된 세포를 TrypLE 익스프레스(라이프 테크놀로지스 코포레이션에 의해 제조됨)로 처리하고, 5% FBS를 함유하는 PBS로 세척한 후, 5% FBS를 함유하는 PBS에 혼탁하였다. 수득된 세포 혼탁액을 유동 세포측정 분석에서 사용하였다.

[0424] 4)-5-2 유동 세포측정 분석

4)-5-1에서 제조된 각각의 세포 혼탁액을 원심분리하고, 상청액을 제거하였다. 그 다음, MAb1, 마우스에서 생성된 양성 대조군 단일클론 항-FLAG M2 항체 또는 음성 대조군 마우스 IgG2a를 발현 백터로 형질감염된  $2 \times 10^5$  개의 세포에  $10 \mu\text{g}/\text{mL}$ 의 농도로 첨가하고, 발생된 혼탁액을  $4^\circ\text{C}$ 에서 1시간 동안 방치하였다. 상기 세포를, 5% FBS를 함유하는 PBS로 1회 세척하였다. 그 다음, 5% FBS를 함유하는 PBS로 1000배 희석된 항-마우스 IgG FITC 접합체를 상기 세포에 첨가하고, 발생된 혼탁액을  $4^\circ\text{C}$ 에서 1시간 동안 방치하였다. 상기 세포를, 5% FBS를 함유하는 PBS로 3회 세척한 후, 5% FBS를 함유하는 PBS에 재현탁하고, 유동 세포측정기(BD FACSCalibur, 비디 바이오사이언시스)를 이용하여 검출하였다. 플로우조를 이용하여 데이터를 분석하였다. FITC 형광 강도의 막대그래프를 작성하였다. MAb1의 막대그래프가 음성 대조군 마우스 IgG2a의 막대그래프에 비해 보다 강한 형광 강도 영역으로 이동하였을 때 상기 항체가 세포에 결합한다는 결론을 내렸다. 상기 결과는 MAb1이 pCI-FLAG-hROBO4-28, pCI-FLAG-hROBO4-46 또는 pCI-FLAG-hROBO4-132로 형질감염된 세포에 결합하고 pCI-FLAG-hROBO4-210, pCI-FLAG-hROBO4-225 또는 pCI-FLAG-hROBO4-341로 형질감염된 세포에는 결합하지 않는다는 것을 입증하였다. 따라서, MAb1은 서열번호 2에 제시된 인간 ROBO4의 아미노산 132 내지 209의 아미노산 서열을 인식한다는 것이 밝혀졌다(도 9). 이와 관련하여, 양성 대조군 항-FLAG 항체를 사용하여 각각의 세포내 영역/도메인 결실 변이체가 세포 막 상에서 발현된다는 것을 확인하였다(도 9).

[0426] 4)-6 레이저-유도된 맥락막 혈관신생을 갖는 원숭이 모델에서의 약물 효능 평가

4)-6-1 마취

메데토미딘 염산염(니폰 젠야쿠 고교 컴파니 리미티드(Nippon Zenyaku Kogyo Co., Ltd.)에 의해 제조됨)을  $0.04 \text{ mg/kg}$ 의 복용량으로 각각의 사이노몰구스 원숭이에게 근육내 주사하였다. 그로부터 15분 후, 케타민 염산염(다이이치 산쿄 컴파니 리미티드(Daiichi Sankyo Co., Ltd.)에 의해 제조됨)을  $15 \text{ mg/kg}$ 의 복용량으로 상기 사이노몰구스 원숭이에게 근육내 주사하였다.

4)-6-2 모델 제조

4)-6-1에서 마취된 각각의 사이노몰구스 원숭이를 원숭이 의자에 얹류시켰다. 눈 표면의 마취/진통 처리를 위해 4% 자일로카인(Xylocaine) 점안제(아스트라제네카 피엘씨(AstraZeneca plc)에 의해 제조됨)를 양 눈에 도포하였다. 산동(mydriasis)을 위해  $5 \text{ mg/mL}$  트로피아미드 -  $5 \text{ mg/mL}$  페닐에프린 염산염 혼합물 점안제(산텐 파마슈티칼 컴파니 리미티드(Santen Pharmaceutical Co., Ltd.)에 의해 제조됨)를 눈에 도포하였다. 녹색 레이저 광응고기 오큐라이트(OcuLight) GLx(이리덱스 코포레이션(Iridex Corp.)에 의해 제조됨)를 이용하여 망막의 황반 영역을 레이저 조사(조사된 열의 양: 350 내지  $500 \text{ mW}$ , 조사 시간: 0.1초, 점 크기:  $50 \mu\text{m}$ , 점의 수: 6개 또는 9개의 점)로 열적으로 손상시켰다.

4)-6-3 시험 물질의 투여

모델 제조 후 7일째 날, 33G 나노패스(Nanopass) 바늘을 결막으로부터 유리체 내로 삽입하고, PE20 폴리에틸렌튜브를 통해  $100 \mu\text{l}$  해밀톤 주사기를 이용하여  $50 \mu\text{l}$ 의 비히클 또는  $13.2 \text{ mg/mL}$ 의 MAb1을 2분에 걸쳐 상기 유리체 내로 주사하였다. 4개의 눈을 포함하는 각각의 군에 대해 시험을 수행하였다. 투여의 완료 후, 0.5% 레보플록사신 수화물 점안제(산텐 파마슈티칼 컴파니 리미티드에 의해 제조됨)를 눈에 도포하였다.

4)-6-4 약물 효능 평가

모델 제조 후 7일째 날, 14일째 날 및 21일째 날, 마취 하에서 하이브리드 안저 카메라 CX-1(캐논 인코포레이티드(Canon Inc.)에 의해 제조됨)을 이용하여 상용적인 방법으로 안저를 촬영하였다. 그 다음, 10% 플루오레세인을  $0.1 \text{ mL/kg}$ 의 복용량으로 정맥내 주사하였다. 플루오레세인의 정맥내 주사의 완료 후, 형광 혈관조영술을 1분 내지 최대 6분마다 수행하였다. 이미지 데이터를 저장하고, 플루오레세인이 축적된 부위의 면적을 이미지 분석기(윈루프(WinRoof), 미타니 코포레이션(Mitani Corp.)에 의해 제조됨)를 이용하여 계산하였다. 새로 형성된 혈관의 양을 하기 방정식에 따라 계산하였다: 새로 형성된 혈관의 양 = 모델 제조 후 21일째 날 플루오레세인이 축적된 부위의 면적 - 모델 제조 후 7일째 날 플루오레세인이 축적된 부위의 면적. 비히클을 투여받은 군과 MAb1을 투여받은 군 사이에 새로 형성된 혈관의 양을 비교한 결과, MAb1을 투여받은 군에서 4개의 눈 중 3개의 눈이 새로 형성된 혈관의 양을 감소시킨다는 것을 확인하였지만, 남은 1개의 눈과 비히클을 군 사이에는 새로 형성된 혈관의 양에서의 차이가 확인되지 않았다. 이것은 MAb1의 투여가 레이저-유도된 맥락막 혈관신생을 억제하였다는 것을 의미한다(도 10).

- [0435] (실시예 5) MAb1 cDNA의 클로닝 및 서열결정
- [0436] 5)-1 MAb1 중쇄 및 경쇄의 N-말단 아미노산 서열의 결정
- [0437] MAb1의 중쇄 및 경쇄의 N-말단 아미노산 서열을 결정하기 위해, 실시예 2)-8에서 정제된 MAb1을 SDS-PAGE로 분리하였다. 이로써 겔에서 분리된 단백질을 상기 겔로부터 세퀴-블롯(Sequi-Blot) PVDF 막(바이오-라드 라보라토리스 인코포레이티드)으로 옮긴 후 세척 완충제(25 mM NaCl, 10 mM 브산나트륨 완충제, pH 8.0)로 세척한 다음, 염색 용액(50% 메탄올, 20% 아세트산, 0.05% 쿠마시 브릴리언트 블루)에 5분 동안 침지시켜 염색한 후, 90% 메탄올로 탈색하였다. PVDF 막 상에서 가시화된 중쇄에 상응하는 밴드 부분(보다 작은 이동을 갖는 밴드) 및 경쇄에 상응하는 밴드 부분(보다 큰 이동을 갖는 밴드)을 절단하였다. 프로사이스(Procise) cLC 단백질 서열결정기 모델 492cLC(어플라이드 바이오시스템스 인코포레이티드)를 이용하여 그들 각각의 N-말단 아미노산 서열을 자동 에드만(Edman) 방법(문현(Edman et al., (1967) Eur. J. Biochem. 1, 80) 참조)에 따라 확인하였다. 결과적으로, MAb1의 중쇄에 상응하는 밴드의 N-말단 아미노산 서열은 EVQLVESGGGLVKGPGSLLK이고, 경쇄에 상응하는 밴드의 N-말단 아미노산 서열은 DAVMTQTPLSLPVSL이었다.
- [0438] 5)-2 MAb1 생성 하이브리도마로부터의 mRNA의 제조
- [0439] MAb1의 중쇄 및 경쇄 코딩 cDNA들을 클로닝하기 위해, mRNA 단리 키트(로슈 어플라이드 사이언스(Roche Applied Science))를 사용하여 MAb1 생성 하이브리도마로부터 mRNA를 제조하였다.
- [0440] 5)-3 MAb1 cDNA의 클로닝 및 서열결정
- [0441] MAb1 중쇄 및 경쇄 각각의  $\gamma$ 1 및  $\kappa$  동종형(실시예 2)-7 및 5-1)을 기초로 결정된 중쇄 및 경쇄의 N-말단 아미노산 서열, 및 카바트와 그의 동료들에 의해 구축된 항체 아미노산 서열 데이터베이스(문현(Strausberg, R. L., et al. (2002) Proc. Natl. Acad. Sci. U. S. A. 99, 16899-16903) 및 문현(Kabat, E. A., et al. (1991) in Sequences of Proteins of Immunological Interest Vol. I and II, U. S. Department of Health and Human Services) 참조)를 참조하여 항체 유전자의 코딩 영역의 5'-말단 서열 및 상기 항체 유전자의 정지 코돈 함유 3'-말단 서열 각각에 혼성화하는 여러 올리고뉴클레오티드 프라이머들을 합성하였다. 5)-2에서 제조된 mRNA 및 타카라 원 스텝(One Step) RNA PCR 키트(AMV)(타카라 바이오 인코포레이티드)를 사용하여 중쇄 및 경쇄 코딩 cDNA들을 증폭하였다. 그 결과, 하기 프라이머 세트를 사용하여 항체의 중쇄 및 경쇄 코딩 cDNA들을 성공적으로 증폭하였다:
- [0442] 중쇄에 대한 프라이머 세트
- LYHF6: 5'-cctcaccatgaactttgg-3'  
G1EVR1: 5'-aagatatcttattaccaggagagtggagag-3'
- [0443] 경쇄에 대한 프라이머 세트
- MK19EIF1: 5'-aagaattcatgaagttgcctgttagg-3'  
KEVR1: 5'-aagatatctaacaactcattcctgtgaagct-3'
- [0444] pEF6/V5-His TOPO TA 발현 키트(인비트로겐 코포레이션(Invitrogen Corp.))를 사용하여 PCR에 의해 증폭된 중쇄 및 경쇄 cDNA들을 별도로 클로닝하였다. 유전자 서열결정기("ABI PRISM 3700 DNA 분석기; 어플라이드 바이오 시스템스" 또는 "어플라이드 바이오시스템스 3730x1 분석기; 어플라이드 바이오시스템스")를 이용하여 중쇄 및 경쇄의 각각의 가변 영역을 코딩하는 클로닝된 cDNA들의 뉴클레오티드 서열을 결정하였다. GeneAmp 9700(어플라이드 바이오시스템스 인코포레이티드)을 이용하여 서열결정 반응을 수행하였다.
- [0445] MAb1의 중쇄 가변 영역을 코딩하는 cDNA의 결정된 뉴클레오티드 서열은 서열번호 30에 제시되어 있고, 그의 아미노산 서열은 서열번호 31에 제시되어 있다. 마우스 항체 MAb1의 경쇄 가변 영역을 코딩하는 cDNA의 뉴클레오티드 서열은 서열번호 32에 제시되어 있고 그의 아미노산 서열은 서열번호 33에 제시되어 있다.
- [0446] (실시예 6) 키메라 MAb1(cMAb1)의 제조
- [0447] 6)-1 발현 벡터 pCMA-LK, pCMA-G1 및 pCMA-G2의 제조
- [0448] 6)-1-1 인간화된 키메라 경쇄 발현 벡터 pCMA-LK의 구축
- [0449] 플라스미드 pcDNA3.3-TOPO/LacZ(인비트로겐 코포레이션)를 제한효소 XbaI 및 PmeI로 분해하고, 인-퓨전 어드밴티지(In-Fusion Advantage) PCR 클로닝 키트(클론텍 라보라토리스 인코포레이티드(Clontech Laboratories,

Inc.))를 사용하여 대략 5.4 kB의 수득된 단편을, 인간 κ 쇄 분비 신호 및 인간 κ 쇄 불변 영역을 코딩하는 DNA 서열(서열번호 34)을 포함하는 DNA 단편에 연결하여 pcDNA3.3/LK를 제조하였다.

[0452] pcDNA3.3/LK를 주형으로서 사용하고 하기 제시된 프라이머 세트를 사용하여 PCR을 수행하였다. 대략 3.8 kB의 수득된 단편을 인산화한 후 자가-연결함으로써, CMV 프로모터의 다운스트림에서 신호 서열 코딩 서열, 클로닝 부위 및 인간 κ 쇄 불변 영역 코딩 서열을 갖는 인간화된 키메라 경쇄 발현 벡터 pCMA-LK를 pcDNA3.3/LK로부터 구축하였다.

[0453] 프라이머 세트

3. 3-F1: 5'-tataccgtcgacaccttagcttagagcttggc-3'  
3. 3-R1: 5'-gctatggcaggccctgcggccccgacgttg-3'

[0455] 6)-1-2 인간화된 키메라 IgG1형 중쇄 발현 벡터 pCMA-G1의 구축

[0456] pCMA-LK를 XbaI 및 PmeI로 분해하여 κ 쇄 분비 신호 및 인간 κ 쇄 불변 영역을 코딩하는 서열을 제거하였다. 인-퓨전 어드밴티지 PCR 클로닝 키트(클론텍 라보라토리스 인코포레이티드)를 사용하여 발생된 DNA 단편을, 인간 중쇄 신호 서열 및 인간 IgG1 불변 영역의 아미노산들을 코딩하는 DNA 서열(서열번호 35)을 포함하는 DNA 단편에 연결함으로써, CMV 프로모터의 다운스트림에서 신호 서열 코딩 서열, 클로닝 부위 및 인간 IgG1 중쇄 불변 영역 코딩 서열을 갖는 인간화된 키메라 IgG1형 중쇄 발현 벡터 pCMA-G1을 구축하였다.

[0457] 6)-1-3 인간화된 키메라 IgG2형 중쇄 발현 벡터 pCMA-G2의 구축

[0458] pCMA-LK를 XbaI 및 PmeI로 분해하여 κ 쇄 분비 신호 및 인간 κ 쇄 불변 영역을 코딩하는 서열을 제거하였다. 인-퓨전 어드밴티지 PCR 클로닝 키트(클론텍 라보라토리스 인코포레이티드)를 사용하여 발생된 DNA 단편을, 인간 중쇄 신호 서열 및 인간 IgG2 불변 영역의 아미노산들을 코딩하는 DNA 서열(서열번호 36)을 포함하는 DNA 단편에 연결함으로써, CMV 프로모터의 다운스트림에서 신호 서열 코딩 서열, 클로닝 부위 및 인간 IgG2 중쇄 불변 영역 코딩 서열을 갖는 인간화된 키메라 IgG2형 중쇄 발현 벡터 pCMA-G2를 구축하였다.

[0459] 6)-2 키메라 MAb1 경쇄 발현 벡터의 구축

[0460] MAb1의 경쇄 가변 영역을 코딩하는 cDNA를 주형으로서 사용하고 KOD-Plus-(도요보 캠파니 리미티드(TOYOBKO CO., LTD)) 및 하기 제시된 프라이머 세트를 사용하여 경쇄 가변 영역을 코딩하는 cDNA를 포함하는 부위를 증폭하고, 인-퓨전 어드밴티지 PCR 클로닝 키트(클론텍 라보라토리스 인코포레이티드)를 사용하여 인간화된 키메라 항체 경쇄 발현을 위한 일반 목적 벡터 pCMA-LK의 제한효소 BsiWI-절단된 부위 내로 삽입함으로써 키메라 MAb1 경쇄 발현 벡터를 구축하였다. 수득된 발현 벡터를 "pCMA-LK/MAb1 L"로서 명명하였다. 키메라 MAb1 경쇄를 코딩하는 뉴클레오티드 서열은 서열번호 37에 제시되어 있고, 그의 아미노산 서열은 서열번호 38에 제시되어 있다. 서열 번호 37의 뉴클레오티드 1 내지 60은 신호 서열을 코딩하는 뉴클레오티드 서열을 나타낸다. 서열번호 37의 뉴클레오티드 403 내지 717은 불변 영역을 코딩하는 뉴클레오티드 서열을 나타낸다. 서열번호 38의 아미노산 번호 1 내지 20은 신호 서열의 아미노산을 나타낸다. 서열번호 38의 아미노산 번호 21 내지 134는 가변 영역의 아미노산을 나타낸다. 아미노산 135 내지 239는 불변 영역의 아미노산을 나타낸다.

[0461] 경쇄용 프라이머 세트

MAb1 LF: 5'-tctccggcgctacggcgatgctgtatgacccaaactccactctcc-3'  
MAb1 LR: 5'-ggagggggggccacagccccgtttgattccagcttggtgcctcc-3'

[0463] 6)-3 키메라 MAb1 IgG1형 중쇄 발현 벡터의 구축

[0464] MAb1의 중쇄 가변 영역을 코딩하는 cDNA를 주형으로서 사용하고 KOD-Plus-(도요보 캠파니 리미티드) 및 하기 제시된 프라이머 세트를 사용하여 중쇄 가변 영역을 코딩하는 cDNA를 증폭하고, 인-퓨전 어드밴티지 PCR 클로닝 키트(클론텍 라보라토리스 인코포레이티드)를 사용하여 인간화된 키메라 IgG1형 중쇄 발현 벡터 pCMA-G1의 제한효소 BsiWI-절단된 부위 내로 삽입함으로써 키메라 MAb1 IgG1형 중쇄 발현 벡터를 구축하였다. 수득된 발현 벡터를 "pCMA-G1/MAb1 H"로서 명명하였다. 키메라 MAb1 IgG1형 중쇄를 코딩하는 뉴클레오티드 서열은 서열번호 39에 제시되어 있고, 그의 아미노산 서열은 서열번호 40에 제시되어 있다. 서열번호 39의 뉴클레오티드 1 내지 57은 신호 서열을 코딩하는 뉴클레오티드 서열을 나타낸다. 서열번호 39의 뉴클레오티드 58 내지 411은 가변 영역을 코딩하는 뉴클레오티드 서열을 나타낸다. 서열번호 39의 뉴클레오티드 412 내지 1401은 불변 영역을 코딩하

는 뉴클레오티드 서열을 나타낸다. 서열번호 40의 아미노산 번호 1 내지 19는 신호 서열의 아미노산을 나타낸다. 서열번호 40의 아미노산 번호 20 내지 137은 가변 영역의 아미노산 서열을 나타낸다. 아미노산 138 내지 467은 불변 영역의 아미노산 서열을 나타낸다.

[0465] IgG1형 중쇄용 프라이머 세트

MAb1 HF: 5'-cagatgggtctgagcgaagtgcagctggggagtcggggag-3'  
MAb1 H1R: 5'-ttggtgaggctgactgtgagactggccgtggccccag-3'

[0466] 6)-4 키메라 MAb1 IgG2형 중쇄 발현 벡터의 구축

[0467] MAb1의 중쇄 가변 영역을 코딩하는 cDNA를 주형으로서 사용하고 KOD-Plus-(도요보 컴파니 리미티드) 및 하기 제시된 프라이머 세트를 사용하여 중쇄 가변 영역을 코딩하는 cDNA를 포함하는 부위를 증폭하고, 인-퓨전 어드밴티지 PCR 클로닝 키트(클론텍 라보라토리스 인코포레이티드)를 사용하여 인간화된 키메라 IgG2형 중쇄 발현 벡터 pCMA-G2의 제한효소 BsiWI-절단된 부위 내로 삽입함으로써 키메라 MAb1 IgG2형 중쇄 발현 벡터를 구축하였다. 수득된 발현 벡터를 "pCMA-G2/MAb1"로서 명명하였다. 키메라 MAb1 IgG2형 중쇄를 코딩하는 뉴클레오티드 서열은 서열번호 41에 제시되어 있고, 그의 아미노산 서열은 서열번호 42에 제시되어 있다.

[0468] IgG2형 중쇄용 프라이머 세트

MAb1 HF: 5'-cagatgggtctgagcgaagtgcagctggggagtcggggag-3'  
MAb1 2R: 5'-ttggtgctggctgactgtgagactggccgtggccccag-3'

[0469] (실시예 7) IgG1형 키메라 MAb1 항체 및 IgG2형 키메라 MAb1 항체의 제조

[0470] 7)-1 IgG1형 키메라 MAb1 항체 및 IgG2형 키메라 MAb1 항체의 제조

[0471] 프리스타일 293-F 세포(인비트로겐 코포레이션)를 매뉴얼에 따라 하위배양하고 배양하였다. 대수생장기에 있는  $1.2 \times 10^9$  개 세포의 프리스타일 293-F 세포(인비트로겐 코포레이션)를 3 ℓ 페른바흐(Fernbach) 삼각 플라스크 (코닝 인코포레이티드)에 접종하고 프리스타일 293 발현 배지(인비트로겐 코포레이션)를 사용하여  $1.0 \times 10^6$  개 세포/ $\text{mL}$ 로 희석한 후, 37°C에서 90 rpm에서 8% CO<sub>2</sub> 항온처리기 내에서 1시간 동안 진탕배양하였다. 3.6 mg의 폴리에틸렌이민(폴리사이언시스 인코포레이티드(Polysciences Inc.), #24765)을 20 mL의 옵티-프로(Opti-Pro) SFM 배지(인비트로겐 코포레이션)에 용해시켰다. 그 다음, 퓨어링크 하이퓨어(PureLink HiPure) 플라스미드 키트(인비트로겐 코포레이션)를 사용하여 제조한 H 쇄 발현 벡터(0.4 mg) 및 L 쇄 발현 벡터(0.8 mg)를 20 mL의 옵티-프로 SFM 배지(인비트로겐 코포레이션)에 혼탁하였다. 20 mL의 발현 벡터/옵티-프로 SFM 혼합물 용액을 20 mL의 폴리에틸렌이민/옵티-프로 SFM 혼합물 용액에 첨가하고, 혼합물을 점진적으로 교반하고 5분 동안 더 방치한 후 프리스타일 293-F 세포에 첨가하였다. 세포를 37°C에서 90 rpm에서 8% CO<sub>2</sub> 항온처리기 내에서 7일 동안 진탕배양하고 수득된 배양 상청액을 일회용 캡슐 필터(어드밴텍(Advantec), #CCS-045-E1H)를 통해 여과하였다.

[0472] pCMA-G1/MAb1 H와 pCMA-LK/MAb1 L의 조합 및 pCMA-G2/MAb1 H와 pCMA-LK/MAb1 L의 조합에 의해 수득된 IgG1형 키메라 MAb1 항체 및 IgG2형 키메라 MAb1 항체는 각각 "cMAb1-1" 및 "cMAb1-2"로서 약칭된다. 용어 "cMAb1"은 IgG1형 키메라 MAb1 항체 및 IgG2형 키메라 MAb1 항체 둘다를 의미한다.

[0473] 7)-2 cMAb1-1 및 cMAb1-2의 정제

[0474] 상기 7-1)에서 수득된 배양 상청액을 (4°C 내지 6°C에서) r단백질 A 친화성 크로마토그래피로 정제하였다. r단백질 A 친화성 크로마토그래피 정제 후 완충제 교체 단계를 실온에서 수행하였다. 먼저, 1100 내지 1200 mL의 배양 상청액을 PBS로 평형화된 맵셀렉트 슈어(지이 헬쓰케어 바이오-사이언시스 코포레이션에 의해 제조됨, 하이트랩 컬럼; 부피 1 mL x 2개가 연결됨)에 적용하였다. 전체 배양 용액을 컬럼에 넣은 후, 컬럼을 PBS로 세척하였다. 그 다음, 2 M 아르기닌 염산염 용액(pH 4.0)을 사용하여 용출을 수행함으로써 항체 함유 분획을 수집하였다. 탈염 컬럼(지이 헬쓰케어 바이오-사이언시스 코포레이션에 의해 제조됨, 하이트랩 탈염 컬럼; 부피 5 mL x 2개가 연결됨)을 사용하여 이 분획 중의 완충제를 PBS로 교체하였다. 마지막으로, 원심분리 UF 필터 장치 비바스핀(VIVASPIN)20(분자량 컷오프: 30 K, 사르토리우스(Sartorius), 4°C)을 사용하여 분획을 20.0 mg/mL 이상의 IgG 농도로 농축하고 정제 샘플로서 사용하였다.

[0475] 7)-3 cMAb1-1 및 cMAb1-2의 성질

- [0478] 7)-3-1 ROBO4 다운스트림 신호의 활성화
- [0479] 인간 IgG(시그마-알드리치 코포레이션에 의해 제조됨)를 음성 대조군으로서 사용하였고, 인간 IgG, cMAb1-1 또는 cMAb1-2를 0.313  $\mu\text{g}/\text{mL}$ 의 최종 농도로 배지에 첨가하였다는 점을 제외하고 4)-1의 방법에 따라 이 시험을 수행하였다. 그 결과, 음성 대조군 인간 IgG는 인간 ROBO4를 일시적으로 발현하는 세포에서 IL-8 프로모터 활성을 영향을 미치지 않은 반면, cMAb1-1 및 cMAb1-2는 IL-8 프로모터 활성을 증가시켰다(도 11). 이를 결과는 cMAb1-1 또는 cMAb1-2가 MAb1에서와 같이 ROBO4의 다운스트림 신호를 활성화시킨다는 것을 입증하였다.
- [0480] 7)-3-2 HUVEC 이동 시험
- [0481] 인간 IgG를 음성 대조군으로서 사용하였고, 인간 IgG, cMAb1-1 또는 cMAb1-2를 0.5  $\mu\text{g}/\text{mL}$ 의 최종 농도로 배지에 첨가하였다는 점을 제외하고 4)-2의 방법에 따라 이 시험을 수행하였다. 그 결과, cMAb1-1 또는 cMAb1-2는 bFGF에 의해 유도된 HUVEC의 이동을 억제하였다(도 12). 이를 결과는 cMAb1-1 또는 cMAb1-2가 MAb1에서와 같이 HUVEC의 이동을 억제한다는 것을 입증하였다.
- [0482] (실시예 8) 마우스 항-인간 ROBO4 단일클론 항체 MAb1의 인간화된 항체의 디자인
- [0483] 8)-1 MAb1의 인간화된 버전의 디자인
- [0484] 8)-1-1 MAb1 가변 영역의 분자 모델링
- [0485] MAb1 가변 영역의 분자 모델링을 일반적으로 공지된 상동성 모델링 방법(Methods in Enzymology, 203, 121-153, (1991))으로 수행하였다. 이로써 결정된 MAb1 가변 영역의 1차 서열을 단백질 데이터 은행(Nuc. Acid Res. 35, D301-D303 (2007))에 등록된 인간 면역글로불린 가변 영역의 1차 서열(x-선 결정 구조로부터 유도된 3차원 구조로서 입수가능함)과 비교하였다. 그 결과, 3FFD는 골격을 결여한 항체들 사이에 MAb1 중쇄 가변 영역에 대한 그의 가장 높은 서열 상동성 때문에 선택되었다. 또한, 1T66은 MAb1 경쇄 가변 영역에 대한 그의 가장 높은 서열 상동성 때문에 선택되었다. MAb1 중쇄 및 경쇄에 상응하는 3FFD 및 1T66의 배위의 조합으로부터 "골격 모델"을 수득함으로써 골격 영역의 3차원 구조를 작성하였다. MAb1의 CDR들의 경우, CDRL1, CDRL2, CDRL3, CDRH1 및 CDRH2를 문헌(Thornton et al., J. Mol. Biol., 263, 800-815, (1996))의 분류에 따라 각각 클러스터 16A, 7A, 9A, 10A 및 10B로 배정하였다. H3 규칙(FEBS letter 399, 1-8 (1996))을 이용하여 CDRH3을 k(7)B로 분류하였다. 그 후, 각각의 CDR의 전형적인 입체구조를 골격 모델 내로 도입하였다.
- [0486] 마지막으로, 불리한 원자간 접촉을 배제하기 위한 에너지 계산을 수행하여 에너지 관점에서 MAb1 가변 영역일 가능성이 높은 분자 모델을 수득하였다. 상업적으로 입수가능한 단백질 3차원 구조 예측 프로그램 프라임(Prime) 및 배위 검색 프로그램 마크로모델(MacroModel)(슈로딩거 엘엘씨(Schrodinger, LLC))을 이용하여 이들 절차들을 수행하였다.
- [0487] 8)-1-2 인간화된 MAb1 아미노산 서열의 디자인
- [0488] 각각의 인간화된 MAb1 항체(hMAb1)를 일반적으로 공지된 CDR 이식 방법(Proc. Natl. Acad. Sci. USA 86, 10029-10033 (1989))으로 구축하였다. 골격 영역 내의 아미노산의 상동성을 기초로 2종의 상이한 수용자 항체들을 선택하였다. MAb1 골격 영역의 서열을 카바트 항체 아미노산 서열 데이터베이스(Nuc. Acid Res. 29, 205-206 (2001)) 내의 모든 인간 골격들과 비교하였다. 그 결과, B3 항체가 골격 영역에 대한 그의 83% 서열 상동성 때문에 수용자로서 선택되었다. B3 골격 영역의 아미노산 잔기들을 MAb1의 아미노산 잔기들과 정렬하여 사용된 상이한 아미노산들의 위치를 확인하였다. 상기 구축된 MAb1의 3차원 모델을 사용하여 상기 잔기들의 이들 위치를 분석하였다. 그 다음, 수용자 상으로 이식될 공여자 잔기를 문헌(Queen et al., Proc. Natl. Acad. Sci. USA 86, 10029-10033 (1989))에 의해 제공된 기준에 따라 선택하였다. 하기 실시예에 기재된 바와 같이, 일부 선택된 공여자 잔기를 수용자 항체 내로 삽입하여 인간화된 MAb1의 서열을 구축하였다. 또한, 하기 실시예에 기재된 바와 같이, hMAb1의 각각의 CDR 내의 1개 내지 3개 아미노산 잔기(들)를 다른 아미노산 잔기로 치환시켜 hMAb1 변이체를 구축하였다.
- [0489] 8)-2 cMAb1 중쇄의 인간화
- [0490] 8)-2-1 hMAb1-H1형 중쇄:
- [0491] 서열번호 42로 표시된 cMAb1-2 중쇄에서 아미노산 32(라이신)를 글루타민으로 치환시키고 아미노산 38(라이신)을 아르기닌으로 치환시키고 아미노산 59(쓰레오닌)를 알라닌으로 치환시키고 아미노산 61(글루탐산)을 글리신으로 치환시키고 아미노산 63(아르기닌)을 글리신으로 치환시키고 아미노산 95(글루탐산)를 라이신으로 치환시

키고 아미노산 103(세린)을 아스파라긴으로 치환시키고 아미노산 107(세린)을 알라닌으로 치환시키고 아미노산 112(메티오닌)를 발린으로 치환시키고 아미노산 114(페닐알라닌)를 티로신으로 치환시키고 아미노산 129(히스티딘)를 글루타민으로 치환시키고 아미노산 132(쓰레오닌)를 류신으로 치환시키고 아미노산 133(류신)을 발린으로 치환시킴으로써 디자인된 인간화된 MAb1 중쇄를 "hMAb1-H1형 중쇄"로서 명명하였다.

[0492]

hMAb1-H1형 중쇄의 아미노산 서열은 서열번호 56에 제시되어 있다. 서열번호 56의 아미노산 서열에서 아미노산 잔기 1 내지 19로 구성된 서열, 아미노산 잔기 20 내지 137로 구성된 서열 및 아미노산 잔기 138 내지 463으로 구성된 서열은 각각 신호 서열, 중쇄 가변 영역 및 중쇄 불변 영역에 상응한다. 서열번호 56의 아미노산 서열에서 아미노산 잔기 50 내지 54로 구성된 서열, 아미노산 잔기 69 내지 85로 구성된 서열 및 아미노산 잔기 118 내지 126으로 구성된 서열은 각각 CDRH1 서열, CDRH2 서열 및 CDRH3 서열에 상응한다. 서열번호 56의 아미노산 서열을 코딩하는 뉴클레오티드 서열은 서열번호 55에 제시되어 있다. 서열번호 55의 뉴클레오티드 서열에서 뉴클레오티드 1 내지 57로 구성된 서열, 뉴클레오티드 58 내지 411로 구성된 서열 및 뉴클레오티드 412 내지 1389로 구성된 서열은 각각 신호 서열, 중쇄 가변 영역 서열 및 중쇄 불변 영역 서열을 코딩한다. 서열번호 55의 뉴클레오티드 서열 및 서열번호 56의 아미노산 서열은 각각 도 31 및 32에도 제시되어 있다.

[0493]

8)-2-2 hMAb1-H2형 중쇄:

[0494]

서열번호 42로 표시된 cMAb1-2 중쇄에서 아미노산 32(라이신)를 글루타민으로 치환시키고 아미노산 38(라이신)을 아르기닌으로 치환시키고 아미노산 59(쓰레오닌)를 알라닌으로 치환시키고 아미노산 61(글루탐산)을 글리신으로 치환시키고 아미노산 63(아르기닌)을 글리신으로 치환시키고 아미노산 72(아스파라긴)를 글루타민으로 치환시키고 아미노산 95(글루탐산)를 라이신으로 치환시키고 아미노산 103(세린)을 아스파라긴으로 치환시키고 아미노산 107(세린)을 알라닌으로 치환시키고 아미노산 112(메티오닌)를 발린으로 치환시키고 아미노산 114(페닐알라닌)를 티로신으로 치환시키고 아미노산 129(히스티딘)를 글루타민으로 치환시키고 아미노산 132(쓰레오닌)를 류신으로 치환시키고 아미노산 133(류신)을 발린으로 치환시킴으로써 디자인된 인간화된 MAb1 중쇄를 "hMAb1-H2형 중쇄"로서 명명하였다.

[0495]

hMAb1-H2형 중쇄의 아미노산 서열은 서열번호 58에 제시되어 있다. 서열번호 58의 아미노산 서열에서 아미노산 잔기 1 내지 19로 구성된 서열, 아미노산 잔기 20 내지 137로 구성된 서열 및 아미노산 잔기 138 내지 463으로 구성된 서열은 각각 신호 서열, 중쇄 가변 영역 및 중쇄 불변 영역에 상응한다. 서열번호 58의 아미노산 서열에서 아미노산 잔기 50 내지 54로 구성된 서열, 아미노산 잔기 69 내지 85로 구성된 서열 및 아미노산 잔기 118 내지 126으로 구성된 서열은 각각 CDRH1 서열, CDRH2 서열 및 CDRH3 서열에 상응한다. 서열번호 58의 아미노산 서열을 코딩하는 뉴클레오티드 서열은 서열번호 57에 제시되어 있다. 서열번호 57의 뉴클레오티드 서열에서 뉴클레오티드 1 내지 57로 구성된 서열, 뉴클레오티드 58 내지 411로 구성된 서열 및 뉴클레오티드 412 내지 1389로 구성된 서열은 각각 신호 서열, 중쇄 가변 영역 서열 및 중쇄 불변 영역 서열을 코딩한다. 서열번호 57의 뉴클레오티드 서열 및 서열번호 58의 아미노산 서열은 각각 도 33 및 34에도 제시되어 있다.

[0496]

8)-2-3 hMAb1-H3형 중쇄:

[0497]

서열번호 42로 표시된 cMAb1-2 중쇄에서 아미노산 32(라이신)를 글루타민으로 치환시키고 아미노산 38(라이신)을 아르기닌으로 치환시키고 아미노산 59(쓰레오닌)를 알라닌으로 치환시키고 아미노산 61(글루탐산)을 글리신으로 치환시키고 아미노산 95(글루탐산)를 라이신으로 치환시키고 아미노산 103(세린)을 아스파라긴으로 치환시키고 아미노산 107(세린)을 알라닌으로 치환시키고 아미노산 112(메티오닌)를 발린으로 치환시키고 아미노산 114(페닐알라닌)를 티로신으로 치환시키고 아미노산 129(히스티딘)를 글루타민으로 치환시키고 아미노산 132(쓰레오닌)를 류신으로 치환시키고 아미노산 133(류신)을 발린으로 치환시킴으로써 디자인된 인간화된 MAb1 중쇄를 "hMAb1-H3형 중쇄"로서 명명하였다.

[0498]

hMAb1-H3형 중쇄의 아미노산 서열은 서열번호 60에 제시되어 있다. 서열번호 60의 아미노산 서열에서 아미노산 잔기 1 내지 19로 구성된 서열, 아미노산 잔기 20 내지 137로 구성된 서열 및 아미노산 잔기 138 내지 463으로 구성된 서열은 각각 신호 서열, 중쇄 가변 영역 및 중쇄 불변 영역에 상응한다. 서열번호 60의 아미노산 서열에서 아미노산 잔기 50 내지 54로 구성된 서열, 아미노산 잔기 69 내지 85로 구성된 서열 및 아미노산 잔기 118 내지 126으로 구성된 서열은 각각 CDRH1 서열, CDRH2 서열 및 CDRH3 서열에 상응한다. 서열번호 60의 아미노산 서열을 코딩하는 뉴클레오티드 서열은 서열번호 59에 제시되어 있다. 서열번호 59의 뉴클레오티드 서열에서 뉴클레오티드 1 내지 57로 구성된 서열, 뉴클레오티드 58 내지 411로 구성된 서열 및 뉴클레오티드 412 내지 1389로 구성된 서열은 각각 신호 서열, 중쇄 가변 영역 서열 및 중쇄 불변 영역 서열을 코딩한다. 서열번호 59의 뉴클레오티드 서열 및 서열번호 60의 아미노산 서열은 각각 도 35 및 36에도 제시되어 있다.

- [0499] 8)-2-4 hMAb1-H4형 중쇄:
- [0500] 서열번호 42로 표시된 cMAb1-2 중쇄에서 아미노산 32(라이신)를 글루타민으로 치환시키고 아미노산 38(라이신)을 아르기닌으로 치환시키고 아미노산 59(쓰레오닌)를 알라닌으로 치환시키고 아미노산 61(글루탐산)을 글리신으로 치환시키고 아미노산 72(아스파라긴)를 글루타민으로 치환시키고 아미노산 95(글루탐산)를 라이신으로 치환시키고 아미노산 103(세린)을 아스파라긴으로 치환시키고 아미노산 107(세린)을 알라닌으로 치환시키고 아미노산 112(메티오닌)를 발린으로 치환시키고 아미노산 114(페닐알라닌)를 티로신으로 치환시키고 아미노산 129(히스티딘)를 글루타민으로 치환시키고 아미노산 132(쓰레오닌)를 류신으로 치환시키고 아미노산 133(류신)을 발린으로 치환시킴으로써 디자인된 인간화된 MAb1 중쇄를 "hMAb1-H4형 중쇄"로서 명명하였다.
- [0501] hMAb1-H4형 중쇄의 아미노산 서열은 서열번호 62에 제시되어 있다. 서열번호 62의 아미노산 서열에서 아미노산 잔기 1 내지 19로 구성된 서열, 아미노산 잔기 20 내지 137로 구성된 서열 및 아미노산 잔기 138 내지 463으로 구성된 서열은 각각 신호 서열, 중쇄 가변 영역 및 중쇄 불변 영역에 상응한다. 서열번호 62의 아미노산 서열에서 아미노산 잔기 50 내지 54로 구성된 서열, 아미노산 잔기 69 내지 85로 구성된 서열 및 아미노산 잔기 118 내지 126으로 구성된 서열은 각각 CDRH1 서열, CDRH2 서열 및 CDRH3 서열에 상응한다. 서열번호 62의 아미노산 서열을 코딩하는 뉴클레오티드 서열은 서열번호 61에 제시되어 있다. 서열번호 61의 뉴클레오티드 서열에서 뉴클레오티드 1 내지 57로 구성된 서열, 뉴클레오티드 58 내지 411로 구성된 서열 및 뉴클레오티드 412 내지 1389로 구성된 서열은 각각 신호 서열, 중쇄 가변 영역 서열 및 중쇄 불변 영역 서열을 코딩한다. 서열번호 61의 뉴클레오티드 서열 및 서열번호 62의 아미노산 서열은 각각 도 37 및 38에도 제시되어 있다.
- [0502] 8)-3 MAb1 경쇄의 인간화
- [0503] 8)-3-1 hMAb1-L1형 경쇄:
- [0504] 서열번호 38로 표시된 cMAb1 경쇄에서 아미노산 22(알라닌)를 이소류신으로 치환시키고 아미노산 27(쓰레오닌)을 세린으로 치환시키고 아미노산 34(세린)를 쓰레오닌으로 치환시키고 아미노산 37(아스파르트산)을 글루탐산으로 치환시키고 아미노산 38(글루타민)을 프롤린으로 치환시키고 아미노산 62(페닐알라닌)를 류신으로 치환시키고 아미노산 84(류신)를 프롤린으로 치환시키고 아미노산 108(페닐알라닌)을 발린으로 치환시키고 아미노산 112(페닐알라닌)를 티로신으로 치환시키고 아미노산 125(글리신)를 프롤린으로 치환시키고 아미노산 129(류신)를 발린으로 치환시키고 아미노산 130(글루탐산)을 아스파르트산으로 치환시키고 아미노산 134(알라닌)를 쓰레오닌으로 치환시킴으로써 디자인된 인간화된 MAb1 경쇄를 "hMAb1-L1형 경쇄"로서 명명하였다.
- [0505] hMAb1-L1형 경쇄의 아미노산 서열은 서열번호 64에 제시되어 있다. 서열번호 64의 아미노산 서열에서 아미노산 잔기 1 내지 20으로 구성된 서열, 아미노산 잔기 21 내지 134로 구성된 서열 및 아미노산 잔기 135 내지 239로 구성된 서열은 각각 신호 서열, 경쇄 가변 영역 및 경쇄 불변 영역에 상응한다. 서열번호 64의 아미노산 서열에서 아미노산 잔기 44 내지 59로 구성된 서열, 아미노산 잔기 75 내지 81로 구성된 서열 및 아미노산 잔기 114 내지 122로 구성된 서열은 각각 CDRL1 서열, CDRL2 서열 및 CDRL3 서열에 상응한다. 서열번호 64의 아미노산 서열을 코딩하는 뉴클레오티드 서열은 서열번호 63에 제시되어 있다. 서열번호 63의 뉴클레오티드 서열에서 뉴클레오티드 1 내지 60으로 구성된 서열, 뉴클레오티드 61 내지 402로 구성된 서열 및 뉴클레오티드 403 내지 717로 구성된 서열은 각각 신호 서열, 경쇄 가변 영역 서열 및 경쇄 불변 영역 서열을 코딩한다. 서열번호 63의 뉴클레오티드 서열 및 서열번호 64의 아미노산 서열은 각각 도 39 및 40에도 제시되어 있다.
- [0506] 8)-3-2 hMAb1-L2형 경쇄:
- [0507] 서열번호 38로 표시된 cMAb1 경쇄에서 아미노산 22(알라닌)를 이소류신으로 치환시키고 아미노산 27(쓰레오닌)을 세린으로 치환시키고 아미노산 34(세린)를 쓰레오닌으로 치환시키고 아미노산 37(아스파르트산)을 글루탐산으로 치환시키고 아미노산 38(글루타민)을 프롤린으로 치환시키고 아미노산 52(세린)를 글루탐산으로 치환시키고 아미노산 54(글리신)를 라이신으로 치환시키고 아미노산 56(쓰레오닌)을 류신으로 치환시키고 아미노산 62(페닐알라닌)를 류신으로 치환시키고 아미노산 84(류신)를 프롤린으로 치환시키고 아미노산 108(페닐알라닌)을 발린으로 치환시키고 아미노산 112(페닐알라닌)를 티로신으로 치환시키고 아미노산 125(글리신)를 프롤린으로 치환시키고 아미노산 129(류신)를 발린으로 치환시키고 아미노산 130(글루탐산)을 아스파르트산으로 치환시키고 아미노산 134(알라닌)를 쓰레오닌으로 치환시킴으로써 디자인된 인간화된 MAb1 경쇄를 "hMAb1-L2형 경쇄"로서 명명하였다.
- [0508] hMAb1-L2형 경쇄의 아미노산 서열은 서열번호 66에 제시되어 있다. 서열번호 66의 아미노산 서열에서 아미노산 잔기 1 내지 20으로 구성된 서열, 아미노산 잔기 21 내지 134로 구성된 서열 및 아미노산 잔기 135 내지 239로

구성된 서열은 각각 신호 서열, 경쇄 가변 영역 및 경쇄 불변 영역에 상응한다. 서열번호 66의 아미노산 서열에서 아미노산 잔기 44 내지 59로 구성된 서열, 아미노산 잔기 75 내지 81로 구성된 서열 및 아미노산 잔기 114 내지 122로 구성된 서열은 각각 CDRL1 서열, CDRL2 서열 및 CDRL3 서열에 상응한다. 서열번호 66의 아미노산 서열을 코딩하는 뉴클레오티드 서열은 서열번호 65에 제시되어 있다. 서열번호 65의 뉴클레오티드 서열에서 뉴클레오티드 1 내지 60으로 구성된 서열, 뉴클레오티드 61 내지 402로 구성된 서열 및 뉴클레오티드 403 내지 717로 구성된 서열은 각각 신호 서열, 경쇄 가변 영역 서열 및 경쇄 불변 영역 서열을 코딩한다. 서열번호 65의 뉴클레오티드 서열 및 서열번호 66의 아미노산 서열은 각각 도 41 및 42에도 제시되어 있다.

[0509] (실시예 9) 인간화된 MAb1의 제조

[0510] 9)-1 인간화된 MAb1 중쇄 발현 벡터의 구축

[0511] 9)-1-1 hMAb1-H1형 중쇄 발현 벡터의 구축

[0512] 서열번호 56의 아미노산 20 내지 137로 표시된 hMAb1-H1형 중쇄 가변 영역을 코딩하는 유전자를 포함하는 DNA를 합성하고(진아트(GeneArt) 인공 유전자 합성 서비스) 제한효소 B1pI로 절단하였다. 수득된 DNA 단편을 인간화된 키메라 IgG2형 중쇄 발현 벡터(pCMA-G2)의 제한효소 B1pI-절단된 부위에 삽입하여 hMAb1-H1형 중쇄 발현 벡터를 구축하였다. 수득된 발현 벡터를 "pCMA-G2/hMAb1-H1"로서 명명하였다. hMAb1-H1형 중쇄의 뉴클레오티드 서열은 서열번호 55에 제시되어 있다.

[0513] 9)-1-2 hMAb1-H2형 중쇄 발현 벡터의 구축

[0514] 9)-1-1에서 구축된 pCMA-G2/hMAb1-H1을 주형으로서 사용하고 하기 제시된 프라이머 세트 및 퀵체인지 XL 부위-지정된 돌연변이유발 키트(아질런트 테크놀로지스 인코포레이티드)를 사용하여 hMAb1-H2형 중쇄 발현 벡터를 구축하였다. 수득된 발현 벡터를 "pCMA-G1/hMAb1-H2"로서 명명하였다. hMAb1-H2형 중쇄의 뉴클레오티드 서열은 서열번호 57에 제시되어 있고, 그의 아미노산 서열은 서열번호 58에 제시되어 있다.

[0515] 프라이머 세트:

H-N53Q-F: 5'-gggtggcaaccatcagccaaggcgccacctacacctac-3'

H-N53Q-R: 5'-gttagtgttagtgccgcctggctgatggttgccaccc-3'

[0517] 9)-1-3 hMAb1-H3형 중쇄 발현 벡터의 구축

[0518] 서열번호 60의 아미노산 20 내지 137로 표시된 hMAb1-H3형 중쇄 가변 영역을 코딩하는 유전자를 포함하는 DNA를 합성하고(진아트 인공 유전자 합성 서비스) 제한효소 B1pI로 절단하였다. 수득된 DNA 단편을 인간화된 키메라 IgG2형 중쇄 발현 벡터(pCMA-G2)의 제한효소 B1pI-절단된 부위에 삽입하여 hMAb1-H3형 중쇄 발현 벡터를 구축하였다. 수득된 발현 벡터를 "pCMA-G2/hMAb1-H3"로서 명명하였다. hMAb1-H3형 중쇄의 뉴클레오티드 서열은 서열번호 59에 제시되어 있다.

[0519] 9)-1-4 hMAb1-H4형 중쇄 발현 벡터의 구축

[0520] 9)-1-3에서 구축된 pCMA-G2/hMAb1-H3을 주형으로서 사용하고 하기 제시된 프라이머 세트 및 퀵체인지 XL 부위-지정된 돌연변이유발 키트(아질런트 테크놀로지스 인코포레이티드)를 사용하여 hMAb1-H4형 중쇄 발현 벡터를 구축하였다. 수득된 발현 벡터를 "pCMA-G1/hMAb1-H4"로서 명명하였다. hMAb1-H4형 중쇄의 뉴클레오티드 서열은 서열번호 61에 제시되어 있고, 그의 아미노산 서열은 서열번호 62에 제시되어 있다.

[0521] 프라이머 세트:

H-N53Q-F: 5'-gggtggcaaccatcagccaaggcgccacctacacctac-3'

H-N53Q-R: 5'-gttagtgttagtgccgcctggctgatggttgccaccc-3'

[0523] 9)-2 인간화된 MAb1 경쇄 발현 벡터의 구축

[0524] 9)-2-1 hMAb1-L1형 경쇄 발현 벡터의 구축

[0525] 서열번호 64의 아미노산 21 내지 134로 표시된 hMAb1-L1형 경쇄 가변 영역을 코딩하는 유전자를 포함하는 DNA를 합성하고(진아트 인공 유전자 합성 서비스) 제한효소 BsiWI로 절단하였다. 수득된 DNA 단편을 인간화된 키메라 항체 경쇄 발현을 위한 일반 목적 벡터(pCMA-LK)의 제한효소 BsiWI-절단된 부위에 삽입하여 hMAb1-L1형 경쇄 발현 벡터를 구축하였다. 수득된 발현 벡터를 "pCMA-LK/hMAb1-L1"로서 명명하였다. hMAb1-L1형 경쇄의 뉴클레오티

드 서열은 서열번호 63에 제시되어 있다.

[0526] 9)-2-2 hMAb1-L2형 경쇄 발현 벡터의 구축

[0527] 9)-2-1에서 구축된 pCMA-LK/hMAb1-L1을 주형으로서 사용하고 KOD-Plus-(도요보 컴파니 리미티드) 및 프라이머 세트 A 및 B 각각을 사용하여 DNA 단편을 PCR로 수득하고 프라이머 세트 C를 사용하여 중첩 연장 PCR로 연결함으로써 hMAb1-L2형 경쇄를 코딩하는 유전자를 포함하는 DNA를 제조하였다. 이 DNA를 제한효소 XbaI 및 PmeI로 절단하여 DNA 단편을 수득한 후, 이 DNA 단편을 인간화된 키메라 항체 경쇄 발현을 위한 일반 목적 벡터(pCMA-LK)의 제한효소 XbaI/PmeI-절단된 부위에 삽입하여 hMAb1-L2형 경쇄 발현 벡터를 구축하였다. 수득된 발현 벡터를 "pCMA-LK/hMAb1-L2"로서 명명하였다. hMAb1-L2형 경쇄의 뉴클레오티드 서열은 서열번호 65에 제시되어 있고, 그의 아미노산 서열은 서열번호 66에 제시되어 있다.

[0528] 프라이머 세트 A

L inf-F: 5'-gcctccggactctagagccaccatggtgctgcagaccccagggttgc-3'

[0529] L-EKL-R: 5'-caggtacaggtttgtctcgttccaggctctggctgcttcgcagc-3'

[0530] 프라이머 세트 B

L-EKL-F: 5'-gaaaacgagaacaagaacctgtacctgaactggtatctgcagaagcccc-3'

[0531] L inf-R: 5'-tagcctccccgttaaacggggccctaacactccccctg-3'

[0532] 프라이머 세트 C

L inf-F: 5'-gcctccggactctagagccaccatggtgctgcagaccccagggttgc-3'

[0533] L inf-R: 5'-tagcctccccgttaaacggggccctaacactccccctg-3'

[0534] (실시예 10) 인간화된 MAb1의 제조

[0535] 10-7-1) 인간화된 MAb1의 제조

[0536] 프리스타일 293-F 세포(인비트로겐 코포레이션)를 매뉴얼에 따라 하위배양하고 배양하였다.

[0537] 대수생장기에 있는  $1.2 \times 10^9$  개 세포의 프리스타일 293-F 세포(인비트로겐 코포레이션)를 3 ℓ 폐른바흐 삼각 플라스크(코닝 인코포레이티드)에 접종하고 프리스타일 293 발현 배지(인비트로겐 코포레이션)를 사용하여  $1.0 \times 10^6$  개 세포/ml로 희석한 후, 37°C에서 90 rpm에서 8% CO<sub>2</sub> 항온처리기 내에서 1시간 동안 진탕배양하였다. 3.6 mg의 폴리에틸렌이민(폴리사이언시스 인코포레이티드, #24765)을 20 ml의 옵티-프로 SFM 배지(인비트로겐 코포레이션)에 용해시켰다. 그 다음, 퓨어링크 하이퓨어 플라스미드 키트(인비트로겐 코포레이션)를 사용하여 제조한 H 쇄 발현 벡터(0.4 mg) 및 L 쇄 발현 벡터(0.8 mg)를 20 ml의 옵티-프로 SFM 배지(인비트로겐 코포레이션)에 혼탁하였다. 20 ml의 발현 벡터/옵티-프로 SFM 혼합물 용액을 20 ml의 폴리에틸렌이민/옵티-프로 SFM 혼합물 용액에 첨가하고, 혼합물을 점진적으로 교반하고 5분 동안 더 방치한 후 프리스타일 293-F 세포에 첨가하였다. 세포를 37°C에서 90 rpm에서 8% CO<sub>2</sub> 항온처리기 내에서 7일 동안 진탕배양하고 수득된 배양 상청액을 일회용 캡슐 필터(어드밴텍, #CCS-045-E1H)를 통해 여과하고 7)-2에 기재된 방식과 동일한 방식으로 정제하였다.

[0538] pCMA-G2/hMAb1-H1과 pCMA-LK/hMAb1-L1의 조합에 의해 수득된 인간화된 MAb1 항체를 "H-1040"으로서 명명하였다. pCMA-G2/hMAb1-H2와 pCMA-LK/hMAb1-L1의 조합에 의해 수득된 인간화된 MAb1 항체를 "H-1140"으로서 명명하였다. pCMA-G2/hMAb1-H2와 pCMA-LK/hMAb1-L2의 조합에 의해 수득된 인간화된 MAb1 항체를 "H-1143"으로서 명명하였다. pCMA-G2/hMAb1-H3과 pCMA-LK/hMAb1-L1의 조합에 의해 수득된 인간화된 MAb1 항체를 "H-2040"으로서 명명하였다. pCMA-G2/hMAb1-H4와 pCMA-LK/hMAb1-L1의 조합에 의해 수득된 인간화된 MAb1 항체를 "H-2140"으로서 명명하였다. pCMA-G2/hMAb1-H4와 pCMA-LK/hMAb1-L2의 조합에 의해 수득된 인간화된 MAb1 항체를 "H-2143"으로서 명명하였다.

[0539] (실시예 11) 항-ROBO4 인간화된 항체의 성질

[0540] 11)-1 결합 친화성

[0541] 비아코어 3000(지이 헬쓰케어 바이오-사이언시스 코포레이션에 의해 제조됨)을 이용하되 고정된 항체를 리간드로서 사용하고 항원을 분석물로서 사용하여 각각의 항체와 rROBO4-ECD 사이의 해리 상수를 측정하였다. 아민 커플링 방법으로 센서 칩 CM5(지이 헬쓰케어 바이오-사이언시스 코포레이션에 의해 제조됨) 상에 고정된 항-인간

IgG 항체(지이 헬쓰케어 바이오-사이언시스 코포레이션에 의해 제조됨)를 통해 대량적으로 80 RU의 항체를 결합시켰다. 사용된 런닝 완충제는 0.05% 계면활성제 P20을 함유하는 PBS이었다. 항원의 연속 희석 용액(0.1 내지 200 nM)을 항체-결합된 칩 상에 300초 동안 30  $\mu\text{l}$ /분의 유속으로 첨가하였다. 그 후, 해리 단계를 300초 동안 모니터링하였다. 3 M MgCl<sub>2</sub>을 30초 동안 10  $\mu\text{l}$ /분의 유속으로 재생 용액으로서 첨가하였다. 분석 소프트웨어(비아에밸루션(BIAevaluation) 소프트웨어, 버전 4.1)의 1:1 결합 모델을 이용하여 데이터를 분석함으로써 결합 속도 상수  $k_{on}$ , 해리 속도 상수  $k_{off}$  및 해리 상수( $K_D$ ;  $K_D = k_{off}/k_{on}$ )를 계산하였다. 그 결과,  $K_D$  값은 H-1040의 경우 0.41 nM이었고 H-1143의 경우 3.5 nM이었고 H-1140의 경우 3.9 nM이었고 H-2040의 경우 0.40 nM이었고 H-2143의 경우 1.7 nM이었고 H-2140의 경우 1.8 nM이었다.

#### [0542] 11)-2 ROBO4 다운스트림 신호의 활성화

인간 IgG를 음성 대조군으로서 사용하였고, 인간 IgG, H-1040, H-1140, H-1143, H-2040, H-2140, H-2143 또는 cMAb1-2를 0.63  $\mu\text{g}/\text{mL}$ 의 최종 농도로 배지에 첨가하였다는 점을 제외하고 4)-1의 방법에 따라 이 시험을 수행하였다. 그 결과, 음성 대조군 인간 IgG는 인간 ROBO4를 일시적으로 발현하는 세포에서 IL-8 프로모터 활성에 영향을 미치지 않은 반면, 모든 항-ROBO4 인간화된 항체들은 cMAb1-2와 동등한 수준에서 IL-8 프로모터 활성을 증가시켰다(도 49). 이를 결과는 모든 항-ROBO4 인간화된 항체들이 MAb1에서와 같이 ROBO4의 다운스트림 신호를 활성화시킨다는 것을 입증하였다.

#### [0544] 11)-3 HUVEC 이동 시험

인간 IgG를 음성 대조군으로서 사용하였고, 인간 IgG, H-1143, H-2140 또는 H-2143을 0.5  $\mu\text{g}/\text{mL}$ 의 최종 농도로 배지에 첨가하였다는 점을 제외하고 4)-2의 방법에 따라 이 시험을 수행하였고, 플레이트 판독기(엔비전; 퍼킨 엘머 인코포레이티드)를 이용하여 각각의 웰의 형광 강도(여기 과장/형광 과장: 485 nm/538 nm)를 측정하였다. 그 결과, H-1143, H-2140 또는 H-2143은 bFGF에 의해 유도된 HUVEC의 이동을 억제하였다(도 50). 추가로, H-1140은 HUVEC 이동에 대한 억제 활성을 보였다. 이를 결과는 H-1140, H-1143, H-2140 또는 H-2143이 HUVEC의 이동을 억제한다는 것을 입증하였다.

#### [0546] 11)-4 교차-종 반응성

##### [0547] 11)-4-1 항원 유전자 발현 세포의 제조

세포를 4)-3-1의 방법에 따라 제조하였다.

##### [0549] 11)-4-2 유동 세포측정 분석

인간 IgG를 음성 대조군으로서 사용하였고, FITC-아피니튜어 염소 항-인간 IgG(Fc γ 단편 특이적)(잭슨 이뮤노리서치 라보라토리스 인코포레이티드에 의해 제조됨)를 2차 항체로서 사용하였고, 유동 세포측정기(FC500; 벡크만 코울터 인코포레이티드에 의해 제조됨)를 검출기로서 사용하였다는 점을 제외하고 4)-3-2의 방법에 따라 이 시험을 수행하였다. 그 결과, H-1143, H-2140 또는 H-2143은 모항체 MAb1에서와 같이 마우스 ROBO4 또는 래트 ROBO4에 결합하지 않았지만 인간 ROBO4 및 사이노몰구스 원숭이 ROBO4에는 결합한다는 것이 밝혀졌다(도 51, 52 및 53). 추가로, H-1140은 H-1143, H-2140 및 H-2143과 동일한 결과를 보였다.

#### [0551] 11)-5 H-1140, H-1143, H-2140 또는 H-2143의 결합 특이성

##### [0552] 11)-5-1 항원 유전자 발현 세포의 제조

pCI-FLAG-hROBO4-28을 인간 ROBO4 발현 벡터로서 사용하였다는 점을 제외하고 4)-4-1의 방법에 따라 세포를 제조하였다.

##### [0554] 11)-5-2 유동 세포측정 분석

인간 IgG 또는 마우스 IgG2A를 음성 대조군으로서 사용하였고, 마우스 IgG에 대한 플루오레세인-접합된 염소 IgG 분획(카펠 라보라토리스 인코포레이티드(Cappel Laboratories, Inc.)에 의해 제조됨) 또는 FITC-아피니튜어 염소 항-인간 IgG(Fc γ 단편 특이적)를 2차 항체로서 사용하였고, 유동 세포측정기(FC500)를 검출기로서 사용하였다는 점을 제외하고 4)-4-2의 방법에 따라 이 시험을 수행하였다. 결과적으로, H-1143, H-2140 또는 H-2143은 모항체 MAb1에서와 같이 hROBO1, hROBO2 또는 hROBO3에 결합하지 않았지만 hROBO4에는 특이적으로 결합한다는 것이 밝혀졌다(도 54). 추가로, H-1140은 H-1143, H-2140 및 H-2143과 동일한 결과를 보였다. 이와 관련하여, 양성 대조군 항체를 사용하여 hROBO4, hROBO1, hROBO2 및 hROBO3 각각이 세포막 상에서 발현된다는 것을 확인하

였다(도 54).

[0556] 11)-6 레이저-유도된 맥락막 혈관신생을 갖는 원숭이 모델에서의 약물 효능 평가

[0557] 11)-6-1 마취

[0558] 메데토미딘 염산염을 0.08 mg/kg의 복용량으로 각각의 사이노몰구스 원숭이에게 근육내 주사하였다. 그로부터 15분 후, 케타민 염산염을 15 mg/kg의 복용량으로 상기 사이노몰구스 원숭이에게 근육내 주사하였다.

[0559] 11)-6-2 모델 제조

[0560] 11)-6-1에서 마취된 각각의 사이노몰구스 원숭이를 누운 자세로 스테인레스 작업 테이블 상에 얹류시켰다. 산동을 위해 5 mg/ml 트로픽아미드 - 5 mg/ml 페닐에프린 염산염 혼합물 점안제를 눈에 도포하였다. 녹색 레이저 광응고기 오큐라이트 GLx를 이용하여 망막의 황반 영역을 레이저 조사(조사된 열의 양: 500 mW, 조사 시간: 0.1초, 점 크기: 50 μm, 점의 수: 9개의 점)로 열적으로 손상시켰다. 작업 후, 크라빗(Cravit) 점안제를 작업처리된 눈에 적가하였다.

[0561] 11)-6-3 시험 물질의 투여

[0562] 모델 제조 후 7일째 날, 각각의 사이노몰구스 원숭이를 마취한 후, 누운 자세로 스테인레스 작업 테이블 상에 얹류시켰다. 그 다음, 멜균 정제수로 4배 희석된 PA IODO 안구 및 눈 세척 용액(니텐 파마슈티칼 컴파니 리미티드(Nitten Pharmaceutical Co., Ltd.))을 눈에 도포하여 외부 눈을 소독하였다. 33G 바늘을 결막으로부터 유리체 내로 삽입하고, 1 ml 주사기를 이용하여 1.1 mg/0.05 ml로 조절된 식염수 또는 0.05 ml의 H-2143을 상기 유리체 내로 주사하였다. 투여의 완료 후, 면봉을 이용하여 눈 및 귀용 런데론(Rinderon)-A 연고를 결막에 도포하고 눈의 개방 및 폐쇄를 통해 눈 표면 전체에 퍼 발랐다.

[0563] 11)-6-4 약물 효능 평가

[0564] 모델 제조 후 7일째 날, 14일째 날 및 21일째 날, 마취 하에서 하이브리드 안저 카메라 CX-1을 이용하여 상용적인 방법으로 안저를 촬영하였다. 그 다음, 플루오레세인을 0.05 ml/kg의 복용량으로 정맥내 주사하였다. 플루오레세인의 정맥내 주사의 완료 후, 형광 혈관조영술을 1분 내지 최대 10분마다 수행하고, 이미지 데이터를 저장하였다. 이미지 데이터로부터, 문헌(Zahn G et al., Arch. Ophthalmol. 2009 127: 1329-1335)의 방법에 따라 플루오레세인이 축적된 각각의 레이저-조사된 부위의 형광 강도를 기초로 중증도를 1 내지 5 등급의 규모로 분류하였다. 그 다음, 모든 레이저-조사된 부위들 중에서 중증도 분류에서 4 및 5 등급에 상응하는 부위의 비를 백분율 기준으로 계산하여 맥락막 혈관신생을 평가하였다. 식염수를 투여받은 군과 H-2143을 투여받은 군 사이에 맥락막 혈관신생을 비교한 결과, 4 및 5 등급의 비는 식염수를 투여받은 군에서 모델 제조로부터의 시간의 경과에 따라 증가한 반면, 이러한 증가는 H-2143을 투여받은 군에서 관찰되지 않았다. 이것은 H-2143의 투여가 레이저-유도된 맥락막 혈관신생을 억제하였다는 것을 의미한다(도 55).

[0565] [산업상 이용가능성]

[0566] 본 발명에 의해 제공된 항체의 사용은 혈관신생 질환, 예컨대, 삼출성 연령 관련 황반 변성, 당뇨망막병증, 황반 부종, 양성 또는 악성 종양, 아데롭성동맥경화증, 수정체뒤심유증식, 혈관종, 만성 염증, 안구 혈관신생 질환, 증식성 망막병증, 혈관신생 녹내장, 각막 조직 이식 또는 다른 조직 이식의 면역 거부, 류마티스 관절염, 건선, 급성 염증, 패혈증 또는 비만의 치료 또는 예방, 및 상기 혈관신생 질환의 검사 또는 진단을 가능하게 한다.

[0567] [서열목록의 무형식 텍스트]

[0568] 서열번호 1: 전장 인간 ROBO4 cDNA의 뉴클레오티드 서열(도 13)

[0569] 서열번호 2: 인간 ROBO4의 아미노산 서열(도 14)

[0570] 서열번호 3: N-말단 FLAG-태그부착된 전장 인간 ROBO4의 아미노산 서열을 코딩하는 뉴클레오티드 서열

[0571] 서열번호 4: N-말단 FLAG-태그부착된 전장 인간 ROBO4의 아미노산 서열

[0572] 서열번호 5: 서열번호 2의 아미노산 46 내지 1007의 아미노산 서열로 구성된 인간 ROBO4의 N-말단 FLAG-태그부착된 세포외 영역/도메인 결실 변이체의 아미노산 서열을 코딩하는 뉴클레오티드 서열

[0573] 서열번호 6: 서열번호 2의 아미노산 46 내지 1007의 아미노산 서열로 구성된 인간 ROBO4의 N-말단 FLAG-태그부

착된 세포외 영역/도메인 결실 변이체의 아미노산 서열

- [0574] 서열번호 7: 서열번호 2의 아미노산 132 내지 1007의 아미노산 서열로 구성된 인간 ROBO4의 N-말단 FLAG-태그부착된 세포외 영역/도메인 결실 변이체의 아미노산 서열을 코딩하는 뉴클레오티드 서열
- [0575] 서열번호 8: 서열번호 2의 아미노산 132 내지 1007의 아미노산 서열로 구성된 인간 ROBO4의 N-말단 FLAG-태그부착된 세포외 영역/도메인 결실 변이체의 아미노산 서열
- [0576] 서열번호 9: 서열번호 2의 아미노산 210 내지 1007의 아미노산 서열로 구성된 인간 ROBO4의 N-말단 FLAG-태그부착된 세포외 영역/도메인 결실 변이체의 아미노산 서열을 코딩하는 뉴클레오티드 서열
- [0577] 서열번호 10: 서열번호 2의 아미노산 210 내지 1007의 아미노산 서열로 구성된 인간 ROBO4의 N-말단 FLAG-태그부착된 세포외 영역/도메인 결실 변이체의 아미노산 서열
- [0578] 서열번호 11: 서열번호 2의 아미노산 225 내지 1007의 아미노산 서열로 구성된 인간 ROBO4의 N-말단 FLAG-태그부착된 세포외 영역/도메인 결실 변이체의 아미노산 서열을 코딩하는 뉴클레오티드 서열
- [0579] 서열번호 12: 서열번호 2의 아미노산 225 내지 1007의 아미노산 서열로 구성된 인간 ROBO4의 N-말단 FLAG-태그부착된 세포외 영역/도메인 결실 변이체의 아미노산 서열
- [0580] 서열번호 13: 서열번호 2의 아미노산 341 내지 1007의 아미노산 서열로 구성된 인간 ROBO4의 N-말단 FLAG-태그부착된 세포외 영역/도메인 결실 변이체의 아미노산 서열을 코딩하는 뉴클레오티드 서열
- [0581] 서열번호 14: 서열번호 2의 아미노산 341 내지 1007의 아미노산 서열로 구성된 인간 ROBO4의 N-말단 FLAG-태그부착된 세포외 영역/도메인 결실 변이체의 아미노산 서열
- [0582] 서열번호 15: 마우스 ROBO4 cDNA의 뉴클레오티드 서열
- [0583] 서열번호 16: 마우스 ROBO4의 아미노산 서열
- [0584] 서열번호 17: 래트 ROBO4 cDNA의 뉴클레오티드 서열
- [0585] 서열번호 18: 래트 ROBO4의 아미노산 서열
- [0586] 서열번호 19: 원숭이 ROBO4 cDNA1의 뉴클레오티드 서열
- [0587] 서열번호 20: 원숭이 ROBO4 아미노산 서열 1
- [0588] 서열번호 21: 원숭이 ROBO4 cDNA2의 뉴클레오티드 서열
- [0589] 서열번호 22: 원숭이 ROBO4 아미노산 서열 2
- [0590] 서열번호 23: 인간 ROBO1 cDNA의 뉴클레오티드 서열
- [0591] 서열번호 24: 인간 ROBO1의 아미노산 서열
- [0592] 서열번호 25: 인간 ROBO2 cDNA의 뉴클레오티드 서열
- [0593] 서열번호 26: 인간 ROBO2의 아미노산 서열
- [0594] 서열번호 27: 인간 ROBO3 cDNA의 뉴클레오티드 서열
- [0595] 서열번호 28: 인간 ROBO4의 아미노산 서열
- [0596] 서열번호 29: IL-8 프로모터 영역의 뉴클레오티드 서열
- [0597] 서열번호 30: MAb1 중쇄 가변 영역을 코딩하는 cDNA의 뉴클레오티드 서열(도 15)
- [0598] 서열번호 31: MAb1 중쇄 가변 영역의 아미노산 서열(도 16)
- [0599] 서열번호 32: MAb1 경쇄 가변 영역을 코딩하는 cDNA의 뉴클레오티드 서열(도 17)
- [0600] 서열번호 33: MAb1 경쇄 가변 영역의 아미노산 서열(도 18)
- [0601] 서열번호 34: 인간 κ 쇄 분비 신호 및 인간 κ 쇄 불변 영역의 아미노산을 코딩하는 cDNA를 포함하는 뉴클레오티드 서열
- [0602] 서열번호 35: 인간 중쇄 신호 서열 및 인간 IgG1 불변 영역의 아미노산을 코딩하는 cDNA를 포함하는 뉴클레오티드 서열

## 드 서열

- [0603] 서열번호 36: 인간 종쇄 신호 서열 및 인간 IgG2 불변 영역의 아미노산을 코딩하는 cDNA를 포함하는 뉴클레오티드 서열
- [0604] 서열번호 37: cMAb1 경쇄를 코딩하는 cDNA의 뉴클레오티드 서열(도 19)
- [0605] 서열번호 38: cMAb1 경쇄의 아미노산 서열(도 20)
- [0606] 서열번호 39: cMAb1-1 중쇄를 코딩하는 cDNA의 뉴클레오티드 서열(도 21)
- [0607] 서열번호 40: cMAb1-1 중쇄의 아미노산 서열(도 22)
- [0608] 서열번호 41: cMAb1-2 중쇄를 코딩하는 cDNA의 뉴클레오티드 서열(도 23)
- [0609] 서열번호 42: cMAb1-2 중쇄의 아미노산 서열(도 24)
- [0610] 서열번호 43: MAb1 중쇄 CDRH1의 아미노산 서열을 코딩하는 뉴클레오티드 서열
- [0611] 서열번호 44: MAb1 중쇄 CDRH1의 아미노산 서열(도 25)
- [0612] 서열번호 45: MAb1 중쇄 CDRH2의 아미노산 서열을 코딩하는 뉴클레오티드 서열
- [0613] 서열번호 46: MAb1 중쇄 CDRH2의 아미노산 서열(도 26)
- [0614] 서열번호 47: MAb1 중쇄 CDRH3의 아미노산 서열을 코딩하는 뉴클레오티드 서열
- [0615] 서열번호 48: MAb1 중쇄 CDRH3의 아미노산 서열(도 27)
- [0616] 서열번호 49: MAb1 경쇄 CDRL1의 아미노산 서열을 코딩하는 뉴클레오티드 서열
- [0617] 서열번호 50: MAb1 경쇄 CDRL1의 아미노산 서열(도 28)
- [0618] 서열번호 51: MAb1 경쇄 CDRL2의 아미노산 서열을 코딩하는 뉴클레오티드 서열
- [0619] 서열번호 52: MAb1 경쇄 CDRL2의 아미노산 서열(도 29)
- [0620] 서열번호 53: MAb1 경쇄 CDRL3의 아미노산 서열을 코딩하는 뉴클레오티드 서열
- [0621] 서열번호 54: MAb1 경쇄 CDRL3의 아미노산 서열(도 30)
- [0622] 서열번호 55: hMAb1-H1형 중쇄를 코딩하는 cDNA의 뉴클레오티드 서열(도 31)
- [0623] 서열번호 56: hMAb1-H1형 중쇄의 아미노산 서열(도 32)
- [0624] 서열번호 57: hMAb1-H2형 중쇄를 코딩하는 cDNA의 뉴클레오티드 서열(도 33)
- [0625] 서열번호 58: hMAb1-H2형 중쇄의 아미노산 서열(도 34)
- [0626] 서열번호 59: hMAb1-H3형 중쇄를 코딩하는 cDNA의 뉴클레오티드 서열(도 35)
- [0627] 서열번호 60: hMAb1-H3형 중쇄의 아미노산 서열(도 36)
- [0628] 서열번호 61: hMAb1-H4형 중쇄를 코딩하는 cDNA의 뉴클레오티드 서열(도 37)
- [0629] 서열번호 62: hMAb1-H4형 중쇄의 아미노산 서열(도 38)
- [0630] 서열번호 63: hMAb1-L1형 경쇄를 코딩하는 cDNA의 뉴클레오티드 서열(도 39)
- [0631] 서열번호 64: hMAb1-L1형 경쇄의 아미노산 서열(도 40)
- [0632] 서열번호 65: hMAb1-L2형 경쇄를 코딩하는 cDNA의 뉴클레오티드 서열(도 41)
- [0633] 서열번호 66: hMAb1-L2형 경쇄의 아미노산 서열(도 42)
- [0634] 서열번호 67: hMAb1-H2 또는 hMAb1-H4형 중쇄의 CDRH1(도 43)
- [0635] 서열번호 68: hMAb1-H2 또는 hMAb1-H4형 중쇄의 CDRH2(도 44)
- [0636] 서열번호 69: hMAb1-H2 또는 hMAb1-H4형 중쇄의 CDRH3(도 45)

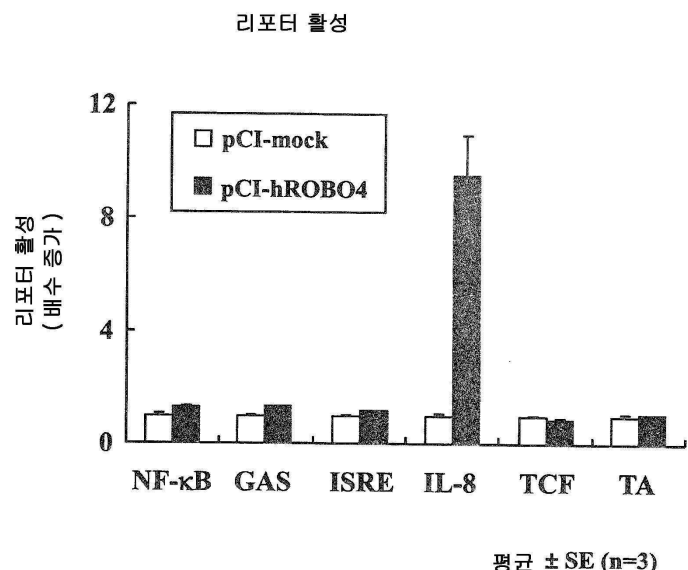
[0637] 서열번호 70: hMAb1-L2형 경쇄의 CDRL1(도 46)

[0638] 서열번호 71: hMAb1-L2형 경쇄의 CDRL2(도 47)

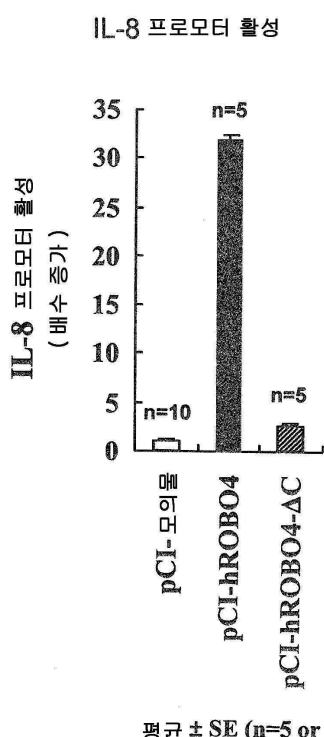
[0639] 서열번호 72: hMAb1-L2형 경쇄의 CDRL3(도 48)

## 도면

### 도면1

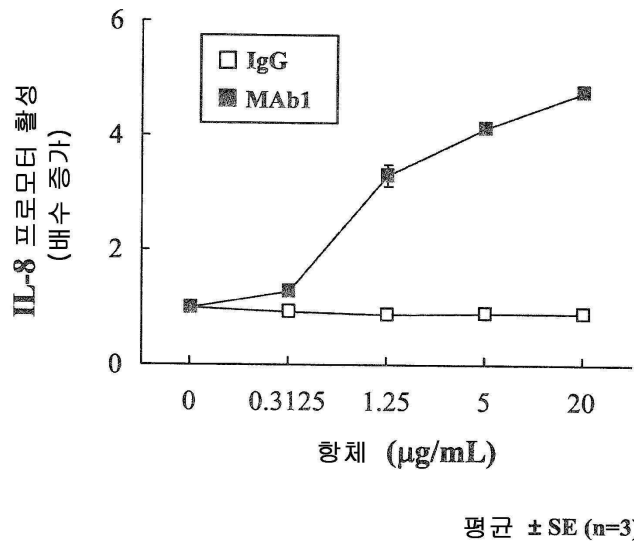


### 도면2



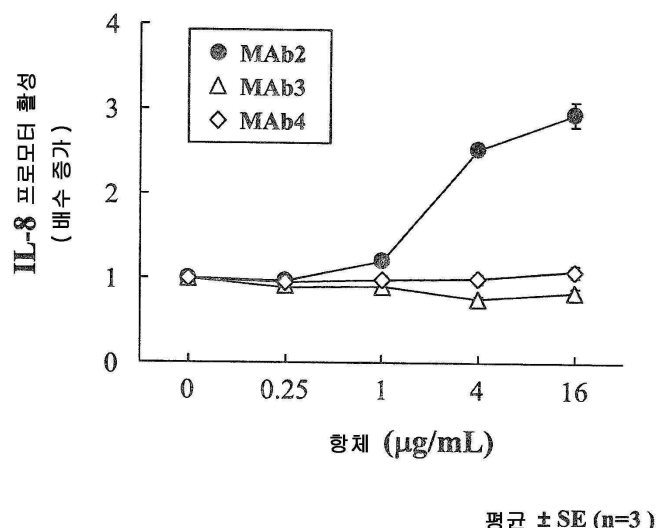
## 도면3

IL-8 프로모터 활성

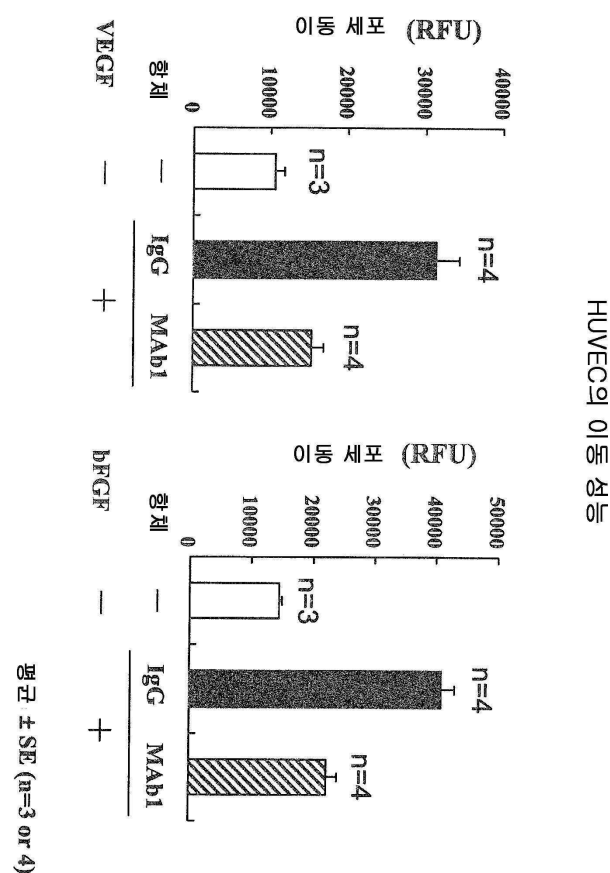


## 도면4

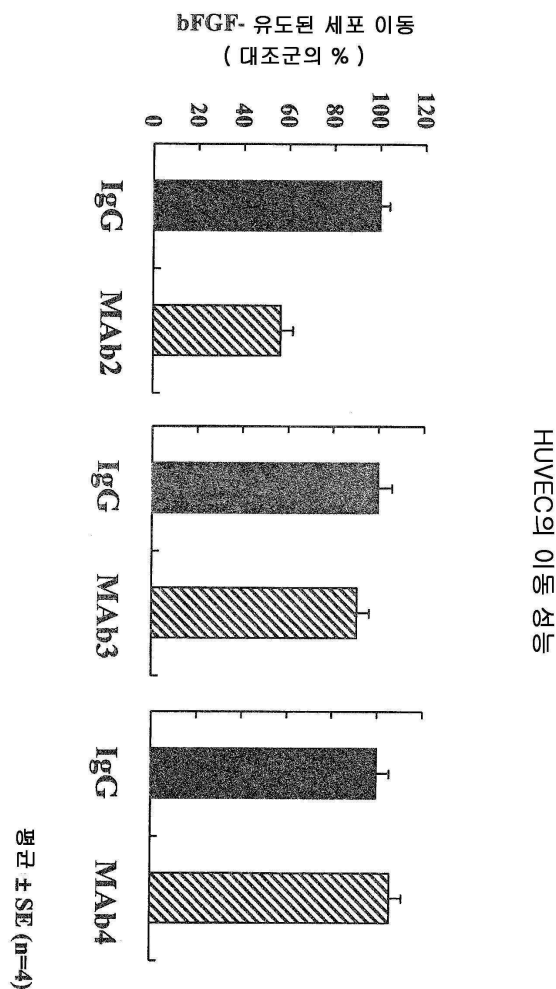
IL-8 프로모터 활성



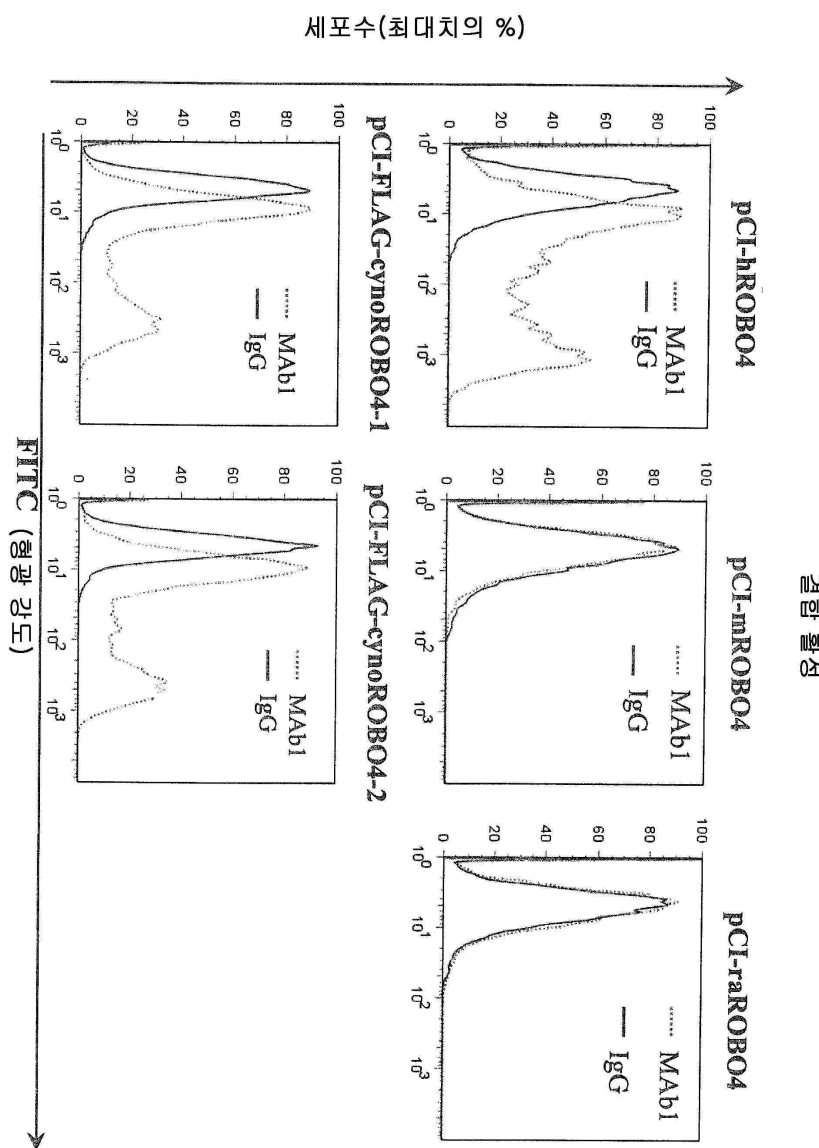
## 도면5



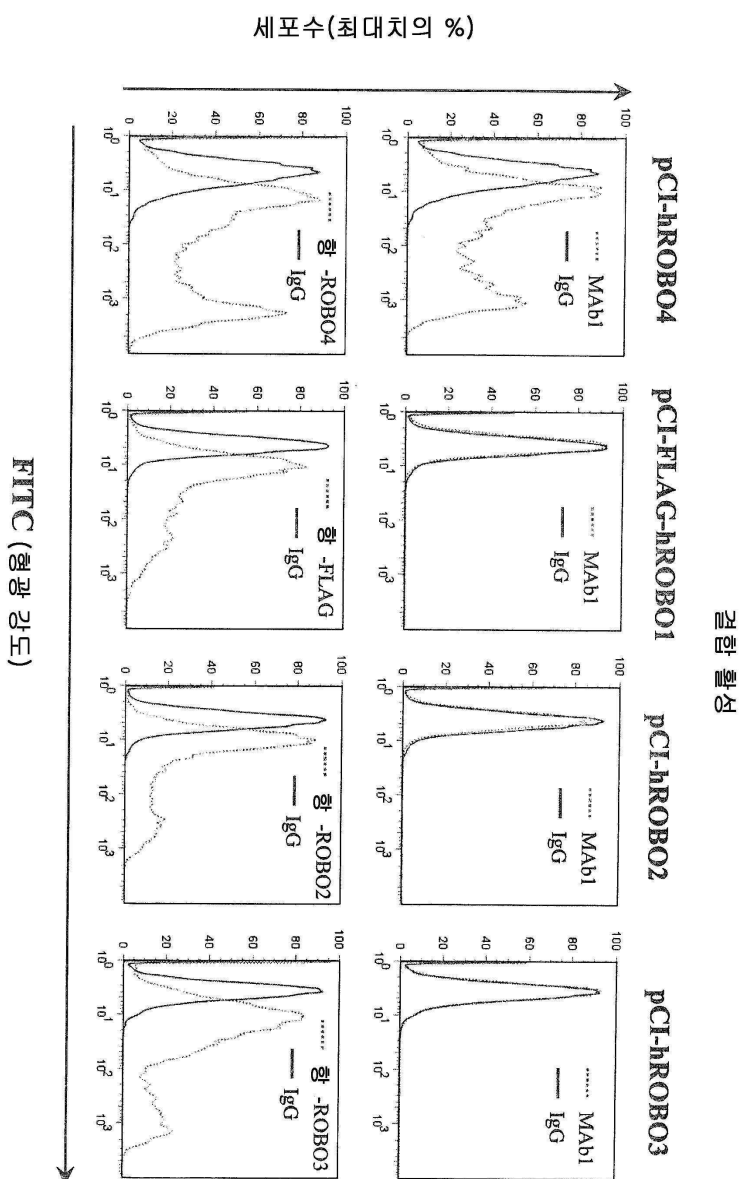
도면6



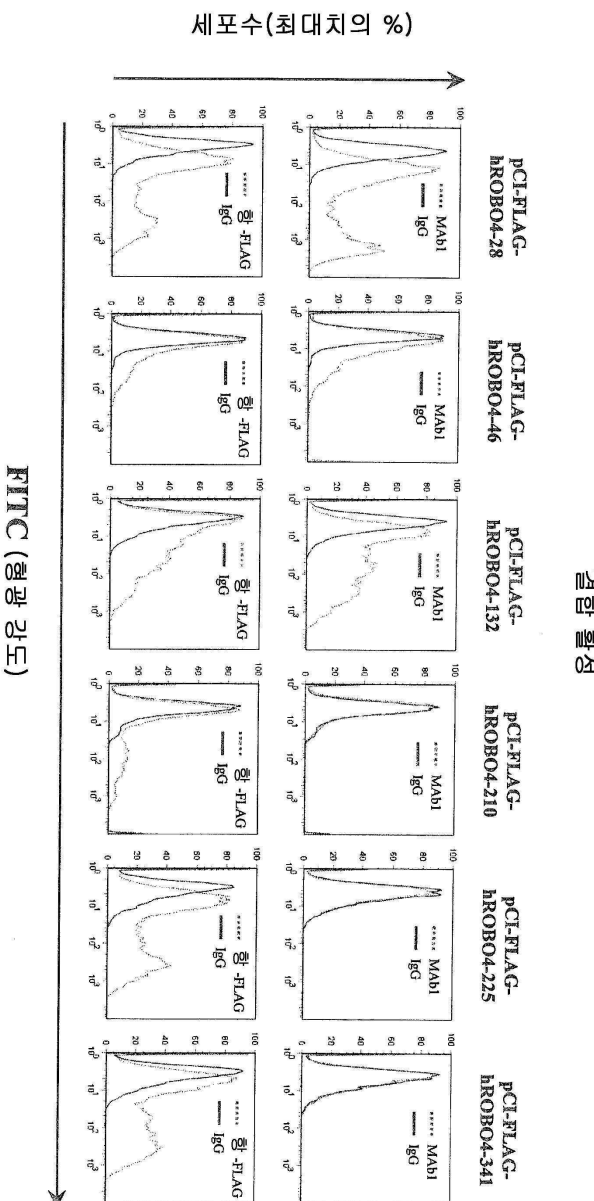
도면7



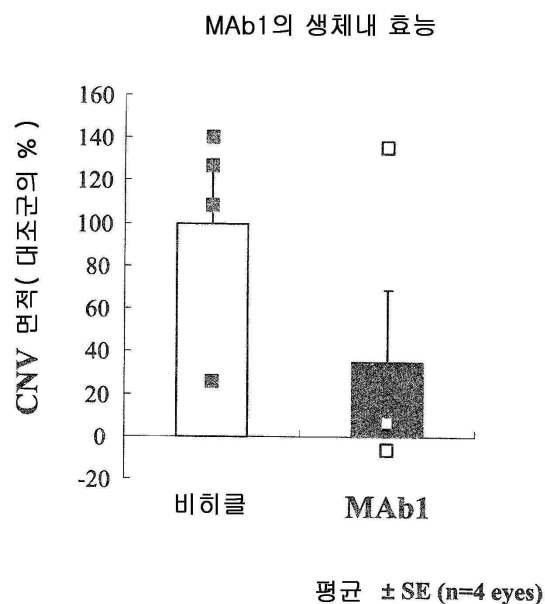
도면8



도면9

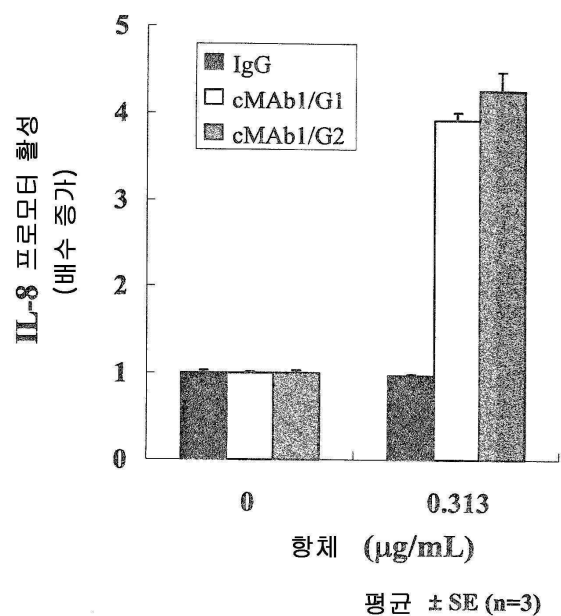


## 도면10



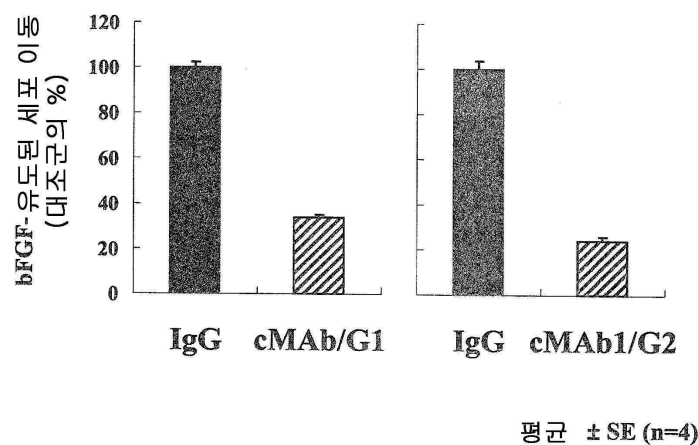
## 도면11

## IL-8 프로모터 활성



도면12

HUVEC의 이동 성능



## 도면13

전장 인간 ROBO4를 코딩하는 cDNA(서열번호 1)

```

atgggctctggaggagacagcctctggggcagggttccctgectctgtctgtctgtcatatggaggcatggctag
gactcccccccccagatcttagtccaccccccaggaccagctgttccagggcctggccctgcaggatgagctccaagcctca
ggcagccaccccccacatccgctggtgtgtgtgaatggcagccctgagcatggtgcggccagaccacacccttcgtctg
atgggacccttcgtctgtctacagccccctgggggacatgccacatggcagggcagccctgtccacagacccatgggtgtaca
catgtgaggccagaacccggcttggcagggcagtcagcagagggctggctgtgtggctgtccctccgggaggattccag
atccagcctcgggacatgggtgtgtgggtgagcagttaactctggaaatgtggccctggggccaccacagcccc
agtctcatgtggaaagatggaaacccctggccctcagccggaaaggcacacagtgtccgggggtccctgtgtatggca
agagcagagaagagtgacgaagggacccatgtgtggccaccaacagecggcaggacataggagagcggcgcagcccc
gggtttccatccaggagccccaggactacccggagccctgtggagcttcgtgtgcgaattcagctggaaaatgtgacactg
ctgaacccggatccgtcagaggccccaaagccttagacccgggggtggctcagctggaaatgtggccctgtgcgcctgc
ccaaatccatcaccggcttgcaggaccagactgccccggggccaggagctccgtggcagaggactgtggccggggt
ggcagagcgcagagcttggggccactgggcaagactacggactcaaaatgtgagaccatcttgccgggctcgagg
ccctgacagcaactgtgtctgtggggccactgggcaagactacggactcaaaatgtgagaccatcttgccgggctcgagg
atggcactgtttgtgagctgggtccaccctgtgtaaaaccacaatggcattatcgtggctaccaggcttggagccctgg
gcaacacatcactgcaccaggccaactggactgttagttgtgagcagaccagactggaaatgcacccatatgcaggcgtcc
tactcgtgcaagtggcgtcagtcactgtgtggagctggggccaggatggactgtggctgtcccttttagcggccatgg
gagcggccacccaagaacccggatggcatggccctggggccggggactggggctacccttgaagcggccctgggtca
ttggcaccctgggtgtcactctggctgtgtggccggccggccggccggccggccggccggccggccggccggccggccgg
ggggccaggctgtacagataaccatggggatggccatctaaacacaggatggatggccatctggactggccggccgg
gacacttggcgttccaccttggcttcgggacccatggcagccggccggccggccggccggccggccggccggccgg
cccaactagactgtgtcgtcgttgcgttgcgtggactccggaaagccggccggccggccggccggccggccggccgg
gctccctcatcgtcgtggccctggactccggccggccggccggccggccggccggccggccggccggccggccggccgg
ggccaggctccaggccccgttcccgatcggccggccggccggccggccggccggccggccggccggccggccggccgg
agaggcgttggaaaggccaaaagaaggcaggagctgcagcatggcaacacttccactgtccggggccactcttggc
gctccggccgtgtggatggaaataggatggccatggccaaagacccatggggccggccggccggccggccggccgg
ggccggccgtgtggatggaaataggatggccatggccaaagacccatggggccggccggccggccggccggccgg
actcccccaactcggatggcaacccggccggccggccggccggccggccggccggccggccggccggccggccgg
ccatcttgcgtcgtggcccttcgtggcccttcgtggcccttcgtggcccttcgtggcccttcgtggcccttcgtgg
actgtcatccctggggggggatggcaagacccatggggccggccggccggccggccggccggccggccggccgg
gagactcccgaggaaacggccggccggccggccggccggccggccggccggccggccggccggccggccggccgg
tcagagttcagggccggccggccggccggccggccggccggccggccggccggccggccggccggccggccgg
tcaccccccaccccccaccccccaccccccaccccccaccccccaccccccaccccccaccccccaccccccacccccc
cttgcagctccatggccatggcccttcgtgtgtacttcgtggcccttcgtggcccttcgtggcccttcgtggcccttcgtgg
cttagccggccggccggccggccggccggccggccggccggccggccggccggccggccggccggccggccggccgg
ctctccctggccctgtggggatggggccggccggccggccggccggccggccggccggccggccggccggccggccgg
atggcccttcgtggcccttcgtggcccttcgtggcccttcgtggcccttcgtggcccttcgtggcccttcgtggcccttcgt
agattactcttgg

```

정지 코돈

**도면14**

인간 ROBO4의 전장 아미노산 서열(서열번호 2)

```
MGSGGDSLLGGRGSLPLLLLIMGGMAQDSDPPQILVHPQDQLFQGGPGPARMSCQAS
GQPPPTIRWLLNGQPLSMVPPDPHHLPPGTLLLLQPPARGHADGQALSTDLGVY
TCEASNRLGTAWSRGARLSAVLREDFQIQPRDMVAVVGEQFTLECGPPWGHPEPTV
SWWKDGKPLALQPGRHVTSGSLLMARAEEKSDEGTYMCVATNSAGHRESRAARVS
IQEPQDYTEPVELLAVRIQLENVTLLNPDAECPKPRPAVWLWVKGPAAPAQSYT
ALFRQTAPGGQGAPWAEELAGWQSAELGGLHWGQDYEFKVRPSSGRARGPSDN
VLLRLPEKVPAPPQEVTLKGNGTVFVSVVPPAENHNGIIRGYQVWVSLGNTSLP
PANWTVVGEQTQLEIATHMPGSYCVQVAVTGAGAGEPSRPVCCLLEQAMERATQE
PSEHGPWTLEQLRATLKRPEVIATCVALWLLLGTAVCIHRRRARVHLGPGLYRY
TSEDAILKHRMDHSDSQWLADTWRSTSGSRDLSSSSSLSRLGADARDPLDCRSSL
LSWDSRSRPGVPLLPDTSTFYGSILAEELPSSTPARPSPQVPAVRLPPQLAQLSSPCSSS
DSLCSRRGLSSPRLSLAPAEAWKAKKKQELQHANSSPLLRGSHSLELRACELGNRG
SKNLSQSPGAVPQALVAWRALGPKLLSSNELVTRHLPPLFPHETPPTQSQQTQP
PVAPQAPSSILLPAAPIPILSPCSPPSPQASSLSGPSPASSRLSSSLGEDQDSVLTP
EEVALCLELSEGEETPRNSVSPMPRAPSPPTTYGYISVPTASEFTDMGRTGGVGPK
GGVLLCPRPRCITPTPSEGSLANGWGSASEDNAASARASLVSSSDGSFLADAHFARA
LAVAVDSFGFGLEPREADCVFIDASSPPSPRDEIFLTPNLSLPLWEWRPDWLEDMEV
SHTQRLGRGMPPWPPDSQISSQRSQLHCRMPKAGASPVDYS
```

**도면15**

Mab1의 중쇄 가변 영역을 코딩하는 cDNA의 뉴클레오티드 서열(서열번호 30)

```
gaagtgcagctggaggactctggggagggttagtgaagcctggagggtccctgaaactccctgtgcacgcctggattcacttca
gtacctatgccatgtttgggttcggagactccggagaagaggctggagtggtcgcaaccattagtaatgggtacttacacct
actatccagacagtgtgaagggtcgattcacatctccagagacaatgcccagaacaccctgtacactgcaaatgagcagtctgagg
tctgaggcacacggccatgtattctgtcaagactatctactatgattaccctgactactggggccacggcaccactctcacagtctc
ctca
```

**도면16**

Mab1 중쇄 가변 영역의 아미노산 서열(서열번호 31)

```
EVQLVESGGGLVKGPGSLKLSCAASGFTFSTYAMSWVRQTPEKRLEWVATISNGGTYY
YPDSVKGRFTISRDNAENTLYLQMSSLRSEDTAMYFCARLIYYDYLWGHGTTLTVSS
```

**도면17**

Mab1의 경쇄 가변 영역을 코딩하는 cDNA의 뉴클레오티드 서열(서열번호 32)

```
gatctgtgtatgacccaaactccactctccctgcctgtcagttggagataaagcctccatcttgcaggcttagtcagagccttga
aaacagtaatggaaacacactttaatgtactggtagttccagaaacccaggccagtctccacagctctgatctacagggttccaaccg
atttctgggtcttagacagggtcagttgttagtggatcaggcagacatttcacactgaaaatcagcagactggaggctgaagatt
tcggagttttctgcctcaagttactcatgtccctggacgttccggaggcacaagctggaaatcaaacgggct
```

**도면18**

Mab1 경쇄 가변 영역의 아미노산 서열(서열번호 33)

```
DAVMTQPLSLPVSLGDQASISCRSSQSLENSNGNTYLNWYFQKPGQSPQLLIYRVS
NRFSGVLDRFSGSGTDFTLKISRVEAEDFGVYFCLQVTHVPWTFGGGTKLEIKRA
```

도면19

도 19는 cMAb1의 경쇄를 코딩하는 cDNA의 뉴클레오티드 서열(서열번호 37)을 보여준다.

분비 신호 서열(1-60), 가변 영역(61-402), 불변 영역(403-717)

도면20

#### cMAb1 경쇄의 아미노산 서열(서열번호 38)

MVLQTQVFIGSLLWISGAYGDAVMTQTPLSLPVSLGDQASISCRSSQSLENSNGNTYLNW  
YFQKPGQSPQLIYRVNSRFGVLDLRFSGSGSGTDFTLKISRVEADFGVYFCLQVTHVP  
WTFGGGTKEIKRAVAAPSVIFPPSDEQLKSGTASVVCLLNNFYPREAKVQWKVDNAL  
QSGNSQESTEQDSKDSTYLSSTLTLKADYEKHKVYACEVTHQGLSSPVTKSFNRGE  
C

분비 신호 서열(1-20), 가변 영역(21-134), 불변 영역(135-239)

도면21

cMAB1-1의 중쇄를 코딩하는 cDNA의 뉴클레오티드 서열(서열번호 39)  
atgaaaacctgtggttctccctcgctggcagtcggatgggtgtgagcaagtgcacgtggggatggctgggggg  
aggcttagtgaagcctggagggtccctgaaactctctgtgcagccctggattactttcagatcacatgcctgtt  
gccagactccggagaaggctggagtgggtgcaccattagtaatgtgtacttacactactatccagacagtgtgaa  
gggtgtgattccatctccagagacaatggcggagaacccctgtaccatgaaatggcgttgcggggatggacacggcc  
atgtattttgtgtcaagactatctactatgattacttgcactactggggccacggcaccacttcacagtcagtc  
ccaaggggccaacgcgttcccccgtggacccttcctccaaagagacccctgtggccacagccgcctgggtgcctgg  
actacttcccccgaaccctgtggaccctgtggacttcacggccctgaccaggggtgcacaccctcccccgtgtc  
ctcaggactctactccctcagcgggtgtggcaccgtggccctccggcagacttgggcacccgacactatc  
caacgtgaatca  
caagccccacaccaagggtggacaagagacttgcacaaaacttcacatgcaccatggccaccctggcc  
ctgtgaacttcgtgggggaccctcagttccctttccccaaaaaccggacccctcatgtatcccccggaccctgg  
catgtcggtgtggacgtggcggcggcggcggcggcggcggcggcggcggcggcggcggcggcggcggc  
caagacaaggccccggggaggaggcgttacacacgcacgttccgggtgtggcagcgttccctc  
accgttccctgcaccaggactggc  
aatggcaaggaggataactgtgcacaggatctccaaacaaacccttcctccggatggggatgggg  
cagccccgggaccacagggtgtacaccctggcccatccggggaggagatgaccaagaaccagggt  
cagcgttcccttc  
tcaaaaggcttcatcccgacatcgccgtggatggggaggacatggccggcggcggc  
caacactacaagacccctcc  
cgtgtggactcgcggcgttcccttcacagacgttcccttc  
atgtcgtgtatggggatgtggc  
본문|신글|나열(5)|기본|언어(5)|제작|PDF|SICV

문비 진호 서월(1-57), 가면 영역 (58-411), 불면 영역(412-1401)

도면22

#### cMAb1-1 중쇄의 아미노산 서열(서열번호 40)

MKHLWFFLVAAPRWLSEVQLVESGGGLVKPGGSLKLSCAASGFTSTYAMSWVRQTPKEKRLEWVATISNGGYTYYPDSVKGRFTISRDNAENTLYLQMSSLRSEDTAMYFCARLIYYDYLDYWGHGTTLTVSSASTKGPSVFPLAPSSKSTSGTAALGCLVKDYFPEPVTVWSNGALTSGVHTFPVLQSSGLYSLSSVTVPSSSLGTQTYICNVNWKPSNTKVDKRVPEPKSCDKTHCPCPAPELLGGPSVFLFPKPKDLMISRTPEVCVVVDVSHEDPEVKFNWYVGVEVHNAKTKPREEQYNSTYRVVSVLTVLHQDWLNGKEYKCKVSNKALPAPIEKTIASKAGQPREPVYTLPPSREEMTKNQVSLTCLVKGFYPSDIAVEWESNGQPENNYKTTPPVLDSDGSFFLYSKLTVDKSRWQQGNVFCSVHEALHNHYTQKSSLSPGK

분비 신호 서열(1-19), 가변 영역(20-137), 불변 영역(138-467)

도면23

cMAb1-2의 중쇄를 코딩하는 cDNA의 뉴클레오티드 서열(서열번호 41)

atgaaacacctgtggttccctcgtggcagctccagatgggtgtgagcgaatgtcagctggggaggc  
ttagtgaagccgtggagggtccctgaaacttcctgtgcagcctctggattacttcgtactcatgcctatgtcttgggtgcacagact  
ccggagaagggctggatgggtccaccattagaatgtggacttacactactatccagacagctgtgaaggggtgcattcac  
catctccagagacaatgcggagaacaccctgtactcgaaatgagcagctgtggacttacactatccagacagctgtgaaggggtgcattcac  
actaatctactatgttacccctgtactctggggccacggcaccacttcacagtcagcgtcagccaccaaggcccttcgttcc  
ctctggccctttagcgttccaccaggcagtgccactccggcccttggctgtctggtaaggacttccctgagcgttgacccgtga  
gctggaaactccggagcccttaccaggcggcgtgcacccctccctggctgtcagttccggcccttactccctgagcgttccgg  
accgtgcctagtcacacttcggccacccaaacctacaccctgtaaactggccacaaggcttagcaacaccaagggtggacaaggcgt  
ggagcgttaagtgtgtggagtgtcccttgcctgccccctctgtggccggacccctggcttcccttccctctaaggccataaggac  
accctgtatgtacccctgtggacttgcgttggggacccctggacttgcgttcccgaggccctggacttgcgttcc  
gttggacccgtggaggtgcacaacggccaaaggccatggggacttgcgttccctggggacccctggacttgcgttcc  
gttggcaccaagactggctgaacggccaaagggttacaactgttgcgttccctggggacccctggacttgcgttcc  
tctccaagccaaaggccaaacctctgtggacttgcgttccctggggacccctggacttgcgttcc  
ttacctgtctggtaagggttcccttagccatggccatggggacttgcgttcc  
acccctctatgttgcgttccctggggacttgcgttcc  
cagcttccctgttgcgttccctggggacttgcgttcc

불비 시호 서역(1-57) 가벽 역연(58-411) 불벽 역연(412-1389)

도면24

#### cMAb1-2 중쇄의 암미노산 서열(서열번호 42)

MKHLWFFLLVAAPRWLSEVQLVEGGGLVKPGGSLKLSCAASGFTFSTYAMSWV  
RQTPEKRLEWWATISNGGTYTYPDSVKGRFTISRDNAENTLYLQMSSLRSEDTAMY  
FCARLIYYDLYWGHHGTTLVSSASTKGPSVFPLAPCSRSTSESTAALGCLVKDYFP  
EPVTWSNNSGALTSGVHTFPAVLQSSGLYSLSVVTVPSNFGTQTYTCNDHKPSN  
TKVDKTVERKCCVECPAPPVAGPSVFLFPKPKDTLMISRTEPVTCVVVDHSHE  
DPEVQFNWYVGVEVHNAKTPREEQFNSTFRVSVLTVVHQDWLNGKEYKCKV  
SNKGLPAPIEKTIKTKGQPREPQVYTLPPSREEMTKNQVSLTCLVKGFYPSDIAVE  
WESNGQPENNYKTPPMILSDGSFFLYSKLTVDKSRWQQGNVFSCVMHEALHN  
HYTOKSIISPCX

불비 식후 혈액(1-18) 기변 혈액(20-137) 불변 혈액(138-462)

五周25

MAb1의 중쇄 CDRH1의 아미노산 서열(서열번호 44)  
ITVYAMCS

## 도면26

MAb1의 중쇄 CDRH2의 아미노산 서열(서열번호 46)  
TISNGGTYTYYPDSVKG

## 도면27

MAb1의 중쇄 CDRH3의 아미노산 서열(서열번호 48)  
LIYYDYLDY

## 도면28

MAb1의 경쇄 CDRL1의 아미노산 서열(서열번호 50)  
RSSQSLENSNGNTYLN

## 도면29

MAb1의 경쇄 CDRL2의 아미노산 서열(서열번호 52)  
RVSNRFS

## 도면30

MAb1의 경쇄 CDRL3의 아미노산 서열(서열번호 54)  
LQVTHVPWT

## 도면31

hMAb1-H1형 중쇄를 코딩하는 cDNA의 뉴클레오티드 서열(서열번호 55)  
atgaaacacctgtggttcttcctctgtggcagctccagatgggtgtgaggcaggtgcacgtggtaaggaaagcg  
gcccggggctgtgcagcgtggccgtctgtgagactgagctgtgcccggcgtcacccatcggccatg  
agctgggtccgcacaggccctggcaaggactggaatgggtggcaaccatcagaacggccgacccatactac  
ccgcacagcgtgaaggccggttccatcagccggacaacgccaagaacaccctgtacctgcagatgaacagctg  
cggggcggggacaccggcgtgtactctggccagactgtatctactacgactactggactctggggccagggcaccc  
tggtcacccgtcagtcgcaccaaggccctccgtgtcccttgccctttagcgttccaccagcgttccac  
cgccgcoccttggctgtgtgaaggactactccctgagcgtgtgaccgtgagctggactccggagcccttaccacg  
gcgtgcacaccccttcctgcgcgtgcagtcgcgttactccctgagctccgtgtgaccgtgcctagtcacact  
cggcacccaaacctacacctgtaaacgtggaccacaaggccatcacaacaccaagggtggacaagaccgtggagcgtaa  
gttgttgtggagtgtccttcgtgtcccttcgtgtcccttcgtgtcccttcgtgtcccttcgtgtcccttcgtgt  
tgatgtacccgttccctgtgggtgacgtgtgtgtgtgtgtgtccacccgtggaccgttcccttcgtgtcc  
gtacgtggacccgtgggggtgcacaacgccaagccatcgtgtcccttcgtgtcccttcgtgtcccttcgtgt  
gtcccttcgtgtcccttcgtgtcccttcgtgtcccttcgtgtcccttcgtgtcccttcgtgtcccttcgtgt  
tgcccttatcgagaagccatctcaagccaaaggccaaacctcgtgaccctcaagtgtacacccttcctcgt  
aggagatgaccaagaaccaagggtgtcccttacccgtgtgtgtgtgtgtgtgtgtgtgtgtgtgtgt  
gtccaaacggacaacctggagaacaactacaaggaccacccctccatgtgtcccttcgtgtcccttcgtgt  
agctgaccgtggacaaggccatccctgtggcaacaaggcaacgtgttccctgtgtcccttcgtgtcccttcgt  
ctacacccaaaagagcccttcctgagccctggaaag

분비 신호 서열(1-57), 가변 영역(58-411), 불변 영역(412-1389)

도면32

hMAb1-H1형 중쇄의 아미노산 서열(서열번호 56)

MKHLWFFLLLVAAPRVLSEVQLVESGGGLVQPGGSLRLSCAASGFTFSTYAMS  
WVRQAPGKGLEWVATISNGGTYYPPDSVKGRFTISRDNAKNTLYLQMNSLRA  
EDTAVYYCARLIYYDYLWQGQTLVTSSASTKGPSVFPLAPCSRSTSESTAAL  
GCLVKDYPFEPVTWSNNSGALTSCVHTFPAVLQSSGLYSLSVVTVPSSNFGTQT  
YTCNVDHKPSNTKVDKTVERKCCVECPAPPVAGPSVFLFPPKPKDTLMISR  
TPEVTCVVVDVSHEDPEVQFNWYVGVEVHNAKTKPREEQFNSTFRVSVLTV  
VHQDWLNGKEYKCKVSNKGLPAPIEKTSKTKGQPREPQVYTLPPSREEMTKN  
QVSLTCLVKGFYPSDIAVEWESNGQPENNYKTPPMULDSDGSFFLYSKLTVDKS  
RWQQGNVFCSVMHEALHNHYTQKSLSLSPGK

분비 신호 서열(1-19), 가변 영역(20-137), 불변 영역(138-463)

도면33

hMAb1-H2형 중쇄를 코딩하는 cDNA의 뉴클레오티드 서열(서열번호 57)

aaaaaacacctgtggttcccttcgtggcagctccagatgggtgcgaggcgaggtgcacgtgtggaaagcg  
gcggaggccgttgcagcctggcgcttcgttagactgagctgtgcggccagcgcacccatcagcacactacccatg  
agctggtcgcacaggcccctgcaaggactggaaatgggtggcaaccatcagccaaaggccgcacccatcactac  
cccgacagcgtgaaggccgggttccacatcagccggacaacgcacaagaacacccgttacactgcagatgaacacccgt  
ccggccgaggacacccggctgtactactgcgcagactgatctactgcactacccgtactggactactggggccaggccaccc  
tggtcacccgtcagtcagccagcacaaggcccttcgttgcctctggcccttgcgcgttccaccagcgcgatccac  
ccgcgccttgcgtctgtgaaggacttccctgagccgtgacccgtgagctggaaactccggagcccttaccacgc  
gcgtgcacccctccctgcgcgtgcagtcagccgcctttactccctgagctccgtgtgcgcctactgcacactt  
ccggcacccaaaactacacccgttaacgtggaccacaagccctgaccaacaccaagggtggacaagaccgtgagcgtaaatg  
gttgtgtggagtgtcccttgcctgcgccttgcgcgtgttgccttgcaccaactggccatccgttgcaccccttgcaccaaggacaccc  
tgatgtacagccgttccctggaggtgacccgtgttgtgtggacccgttgcacccacccgttgcacccatccgttgcaccaacttgc  
gtacgtggacccgtggagggtgcacaacgcaccaagccctgaccaagggttgcacccatccgttgcacccatccgttgc  
gtccgttgcacccgttgcaccaagactggctgacccgttgcaccaagggttgcacccatccgttgcacccatccgttgc  
aggagatgaccaagaaccaaggatgtcccttgcacccatccgttgcacccatccgttgcacccatccgttgcacccatccgttgc  
gtccaaaggacaacccgttgcaccaaggatgtcccttgcacccatccgttgcacccatccgttgcacccatccgttgcacccatccgttgc  
agctgacccgttgcaccaaggatgtcccttgcaccaaggacccatccgttgcacccatccgttgcacccatccgttgcacccatccgttgc  
ctacacccaaaaggcccttccctgagccctggaaag

분비 신호 서열(1-57), 가변 영역(58-411), 불변 영역(412-1389)

도면34

#### hMAb1-H2형 중쇄의 아미노산 서열(서열번호 58)

MKHLWFFLLVAAPRVLSEVQLVESGGGLVQPGGSLRLSCAASGFTFSTYAMS  
WVRQAPGKGLEWVATISQGGTYTYPDSVKGRFTISRDNAKNTLYLQMNSLRA  
EDTAVYYCARLIYDYLWYQQGTLTVSSASTKGPSVFPLAPCSRSTSESTAAL  
GCLVKDGYFPEPVTVWSNLALTSGVHTFPVALQSSGLYSLSVVTPSSNFGTQT  
YTCNVDHKPSNTKVDKTVERKCCVECPPCAPPVAGPSVFLPPKPKDTLMISR  
TPEVTCVVVDVSHEDPEVQFNWYDGVEVHNAKTKPREEQFNSTFRVSVLTV  
VHQDWLNGKEYKCKVSNKGLPAPIEKTIKTKGQPREPQVYTLPPSREEMTKN  
QVSLTCLVKGFYPSIAVEWESNGQPENNYKTPPMULDSDGSFFLYSKLTVDKS  
RWQQGNVFSCEMHEALHNHYTQKSLISLSPGK

불비 식후 서역(1·19), 가벼운 역(20·137), 불벼운 역(138·163)

## 도면35

**hMAb1-H3형 중쇄를 코딩하는 cDNA의 뉴클레오티드 서열(서열번호 59)**

atgaaacacctgtggttcttcctctgtggcagtcaggatgggtgcactgagcgaggcgactgtggaaagcg  
gcggaggcgtgtcagccgtggcgctctgagactgagactgtgcggccacggcttcacccatcagcacccatgc  
agctgggtccgacaggcccgtggcaagcggtggaatgggtggcaaccatcagcaacggggcacctacccatgc  
cccgacacgctgtgaaggccgggttaccatcagccggacaacgccaagaacaccctgtacctgcagatgaacagg  
cgggccgaggacaccggcggtactactgcggcactgtactcgactactcgactactggactactggccaggcc  
tggtcaccgtcagtcagccaccaaggccctccgtgtccctctggccctttagccgttccaccaggcgactcc  
cgccgccttgcgtgtggtaaggactactccctgagccgtgtgacccgtgagctggactccggagcccttaccagcg  
gcgtgcacacccctccctgcgtgtcagccgttactccctgagccgtgtgacccgttagctcaactt  
cgccacccaaacctacccatgtaaacgtggaccacaaggctagcaacaccaagggtggacaagaccgtggagcgtaagt  
gttgtgtggagtgtcccttgcctgccttgcgtggccggacccctccgtgtcccttccctctaaggcataaggacacc  
tgatgatcagccgtacccttgcgtggactgtgtgggtggacccgtgtccccacggaccctgagggtgcagttcaactg  
gtacgtggacccgtggagggtgacaacgccaagaccaaggccctcggtgaggcaattcaacacccatccgtgtgg  
gtccgtgttaccctgtgtgcaccaagactgtgtggactgtgtggactgtgtggactgtgtgg  
tgccctatcgagaagaccatccaaagccaaggccaaacctcggtgagccctcaagtgtacacccttcccttagccgt  
aggagatgaccaagaaccaactgtgtcccttacctgtgtggactgtgtggactgtgtgg  
gtccaaacggacaacctgagaacaactacaagaccacccctctatgtgtggactgtgtggactgtgtgg  
agetgacccgtggacaactgtgtggactgtgtggactgtgtggactgtgtggactgtgtgg  
tacacccaaaagggcccttccctgagccctggaaag

분비 신호 서열(1-57), 가변 영역(58-411), 불변 영역(412-1389)

## 도면36

**hMAb1-H3형 중쇄의 아미노산 서열(서열번호 60)**

MKHLWFFLLVAAPRWVLSEVQLVESGGGLVQPQGSLRLSCAASGFTFSTYAMS  
WVRQAPGKRLEWVATISNGTYTYPDSVKGRFTISRDNAKNTLYLQMNSLRA  
EDTAVYYCARLIYYDYWGQGTIVTSSASTKGPSVFLAPCSRSTSESTAA  
GCLVKDYLFPPEPVTSWNSGALTSGVHTFPAVLQSSGLYSLSVVTPSSNFGTQT  
YTCNVDHKPSNTKVDKTVERKCCVECPAPPVAGPSVFLFPPPKDLMISR  
TPEVTCVVVDVSHEDPEVQFNWYVDGVEVHNAKTKPREEQFNSTFRVSVLTV  
VHQDWLNGKEYKCKVSNKGLPAPIEKTIISKTKGQPREPQVYTLPPSREEMTKN  
QVSILTCLVKGFYPSDIAVEWESNGQPENNYKTTPPMLSDGSFFLYSKLTVDKS  
RWQQGNVFSCSVMHEALHNHYTQKSLSLSPGK

분비 신호 서열(1-19), 가변 영역(20-137), 불변 영역(138-463)

도면37

hMAb1-H4형 중쇄를 코딩하는 cDNA의 뉴클레오티드 서열(서열번호 61)  
atgaaacacctgtgttcttcctctgtggcgcgtccagatgggtctgagcgagggtcagttggaaagcg  
gccccggcgtgtcagctggggctcttgagactgagctgtccgcagggcgttacccatcacccatgc  
agctgggtccgcacaggccctggcaagcgctgtgaatgggtggcaaccatcagccaaggccgcacctacactac  
cccacacgcgtgaaggccgttaccatcagccggacaacgcctaagaacaccctgtaccctgcagatgaacacgcctg  
cgccggaggacacccggcgtactactgccccactgtactacgcactaccctggactactggggccaggccaccc  
tggtcacccgcgtcagccagcacaaggcccttcgttccctctggcccttgtagccgttaccacgcggatgtccac  
cgccgccttggctgtgtgaaggactactccctgagccgtgacccgtgagctggaaactccggagcccttaccacgc  
ggcgtgcacaccctccctggcgtcgtcagttacccttgcgttccctgagccgttccctggaccgtgcactgtccaaactt  
eggcacccaaacctacacccgttaacgtggaccacaagccgttaccaccaagggttggacaagaccgtggacgcgttaagt  
gttgggtggagttgttcccttgcgtcccttgcgtggcccgacccctccgtgtccctttcccttcaaggacaccc  
tgatgtacgcgttaccctgtgggtgacccgtgtgtggggacgtgtcccacggaccctgggtgcagttcaactg  
gtacgtggacccgtggagggtgcacaacgcacaagccaaacctgtgttccctggaccgttccctggaccgttcccttgcgttgc  
gtccgtgttccctgggtgcaccaagactgggtgaacggcaaggagttacaagtgttaagggtgaccaacaagggttcc  
tgcccttatcgagaagaccatcccaagaccaaggccaaacctgtgttcccttcccttgcgttcccttgcgttcc  
aggagatgaccaagaaccaagtgtcccttacccgtgtgtggaaagggttcccttgcgttcccttgcgttcccttgcgttcc  
gtccaaacggcacaacctgtggagaacaactacaagaccccttccctgtgttcccttgcgttcccttgcgttcccttgcgttcc  
agctggcgttcccttgcgttcccttgcgttcccttgcgttcccttgcgttcccttgcgttcccttgcgttcccttgcgttcc  
ctacacccaaaagacgttcccttgcgttcccttgcgttcccttgcgttcccttgcgttcccttgcgttcccttgcgttcc

분비 신호 서열(1·57), 가변 영역(58·411), 불변 영역(412·1389)

도면38

hMAb1-H4형 중쇄의 아미노산 서열(서열번호 62)  
MKHLWFFLLLVAAPRWVLSEVQLVESGGGLVQPGGSLRLSCAASGFTFSTYAMS  
WVRQAPGKRLEWVATISQGGTYTYPDSVKGRFTISRDNAKNTLYLQMNSLRA  
EDTAVYYCARLIYDYLWVGQGTLVTVSSASTKGPSVFPLAPCSRSTSESTAA  
GCLVKDVFPEPVTVWSNSGALTSGVHTFPVALQSSGLYSLSSVVTPSSNFGTQT  
YTCNVDHKPNSNTKVDKTVERKCCVECPCPAPPVAGPSVFLFPKPKDTLMISR  
TPEVTCVVVDVSHEDPEVQFNWYVGVEVHNAKTKPREEQFNSTFRVSVLTV  
VHQDWLNGKEYKCKVSNKGLPAPIEKTISKQGPREPQVYTLPPSREEMTKN  
QVSLTCLVKGFYPSDIAVEWESNGQPENNYKTPPM LDSDGSSFLY SKLTVDKS  
RWQQGNVFS CSVMHEALHNHYTQKSLSLSPGK

분비 신호 서열(1-19), 가변 영역(20-137), 불변 영역(138-463)

도면39

hMAb1-L1형 경쇄를 코딩하는 cDNA의 뉴클레오티드 서열(서열번호 63)  
atggtgtctgcagacccagggtttcatctccctgctgtggatctccggcggtacggcagatcgatgaccag  
ccccctgagactgcggcgtgacactgggcgagcctggcagcatcagtcgagaagcagccagggctggaaaacggaa  
cggaacacacttacttgcagaactggatctgcagaaggccggccaggccccccactgtctgtatctaccgggtgtccaaacgggt  
tcagccgggtgcggcgcaggatcagccggcggccggcaccggacttcacccctgaaagatcagccgggtgtggaaaggcc  
aggacgtggcgtgtactactgtctgcaggcgcacacacgtggccctggacccctggccctggcccaagggtggacatcaa  
gcgtacggtgccggcccccctcgtgttcatctcccccctccgcacggcagcggcactgtaaagtccggcaccgcctccgtgtgc  
ctgtgtataacttctaccccaagggcacaagggtgtggcactgtggaaagggtggacaacgcggccgtcagtcgggaaactcccaag  
gagagcgtgtaccggcagggcacaaggacacgcacccctacagcgtggcagcaccctggccctggcccaaggccacta  
cgagaaggcacaagggtgtacgcctgcgggtgaccaccaggcgtgactcccccgtcaccaaagagcttcaacagggg  
ggatgt

분비 신호 서열(1-60), 가변 영역(61-402), 불변 영역(403-717)

**도면40**

**hMAb1-L1형 경쇄의 아미노산 서열(서열번호 64)**  
MVLQTQVFISLLLWISGAYGDIVMTQSPLSLPVTLGEPASISCRSSQSLENSNGNT  
YLNWYLQKPGQSPQLIYRVSNRFSGVPDFSGSGSGTDFTLKISRVEAEDVGV  
YYCLQVTHVPWTFGPGTKVDIKRTVAAPSVFIFPPSDEQLKSGTASVVCLNNFY  
PREAKVQWKVDNALQSGNSQESVTEQDSKDSTYSLSSTLTSKADYEKHKVYA  
CEVTHQGLSSPVTKSFNRGEC

분비 신호 서열(1-20), 가변 영역(21-134), 불변 영역(135-239)

**도면41**

**hMAb1-L2형 경쇄를 코딩하는 cDNA의 뉴클레오티드 서열(서열번호 65)**  
atggtgtcgcagaccagggtgttcatctccctgctgtggatctccggcgctacggcgcacatcgatgtgatgacccagag  
ccccctgagcctgcccgtgacactggcgagccctgcacatcgatgtcagaaggcagccgcacatcgatgtgatccgggtgtccaaccgg  
caagaacacctgtacctgtactggtatctgcagaaggccggcagtcggccatgtgtatctaccgggtgtgaaacggagaa  
tcagcggcgtgcccgcacagattcagcggcagggctccggcaccgttcacccctgaagatcagccgggtgaaacggc  
aggacgtggggcgtgtactgtctgcacacacgtgccttgacccctggcaccctggcctgtgcaccaagggtggacatcaa  
gcgtacgggtggccgcgcctccgtgttcatcttcggccctccgcacggcggcggcggccgtggatgtgc  
ctgtctaataacttctaccccaagagaggccaaagggtgcagtggaaagggtggacaacgcggccgtcagtcggggactccag  
gagacgtgaccggcaggacagacggacacgttcacccctgcacccctggcaccctggcaccctggcggact  
cgagaaaggcacaagggtgtacgcgtggcgggtgacccacccagggtggcgtgacccatccggcgtcaccacgggg  
ggagtgt

분비 신호 서열(1-60), 가변 영역(61-402), 불변 영역(403-717)

**도면42**

**hMAb1-L2형 경쇄의 아미노산 서열(서열번호 66)**  
MVLQTQVFISLLLWISGAYGDIVMTQSPLSLPVTLGEPASISCRSSQSLEENENKNL  
YLNWYLQKPGQSPQLIYRVSNRFSGVPDFSGSGSGTDFTLKISRVEAEDVGV  
YYCLQVTHVPWTFGPGTKVDIKRTVAAPSVFIFPPSDEQLKSGTASVVCLNNFY  
PREAKVQWKVDNALQSGNSQESVTEQDSKDSTYSLSSTLTSKADYEKHKVYA  
CEVTHQGLSSPVTKSFNRGEC

분비 신호 서열(1-20), 가변 영역(21-134), 불변 영역(135-239)

**도면43**

**hMAb1-H2형 또는 hMAb1-H4형 중쇄의 CDRH1의 아미노산 서열(서열번호 67)**  
TYAMS

**도면44**

**hMAb1-H2형 또는 hMAb1-H4형 중쇄의 CDRH2의 아미노산 서열(서열번호 68)**  
TISQGGTYTYPDSVKG

**도면45**

**hMAb1-H2형 또는 hMAb1-H4형 중쇄의 CDRH3의 아미노산 서열(서열번호 69)**  
LIYYDYLDY

**도면46**

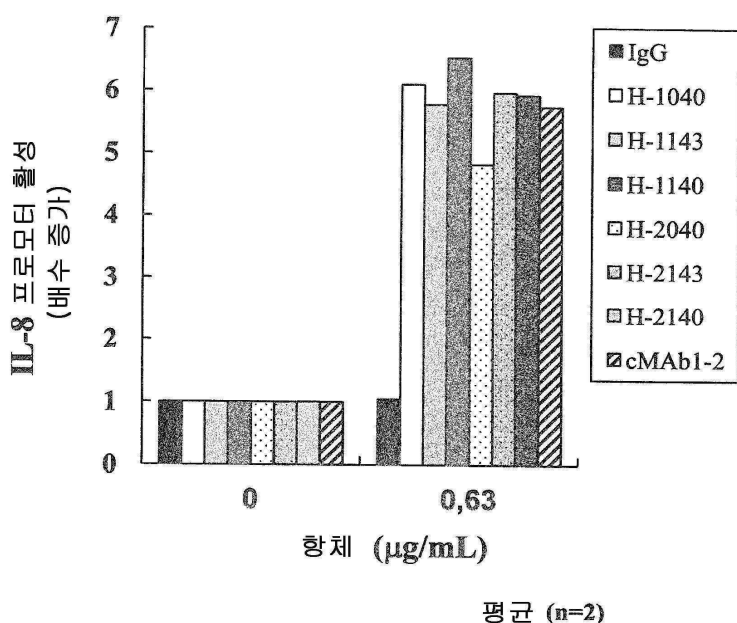
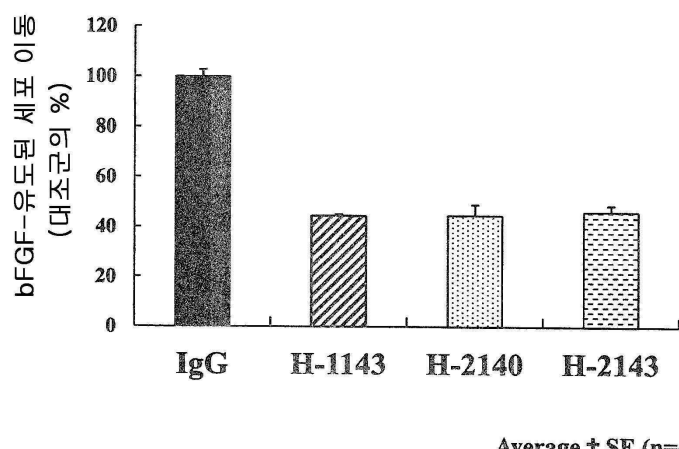
**hMAb1-L2형 경쇄의 CDRL1의 아미노산 서열(서열번호 70)**  
RSSQSLNENKNLYLN

**도면47**

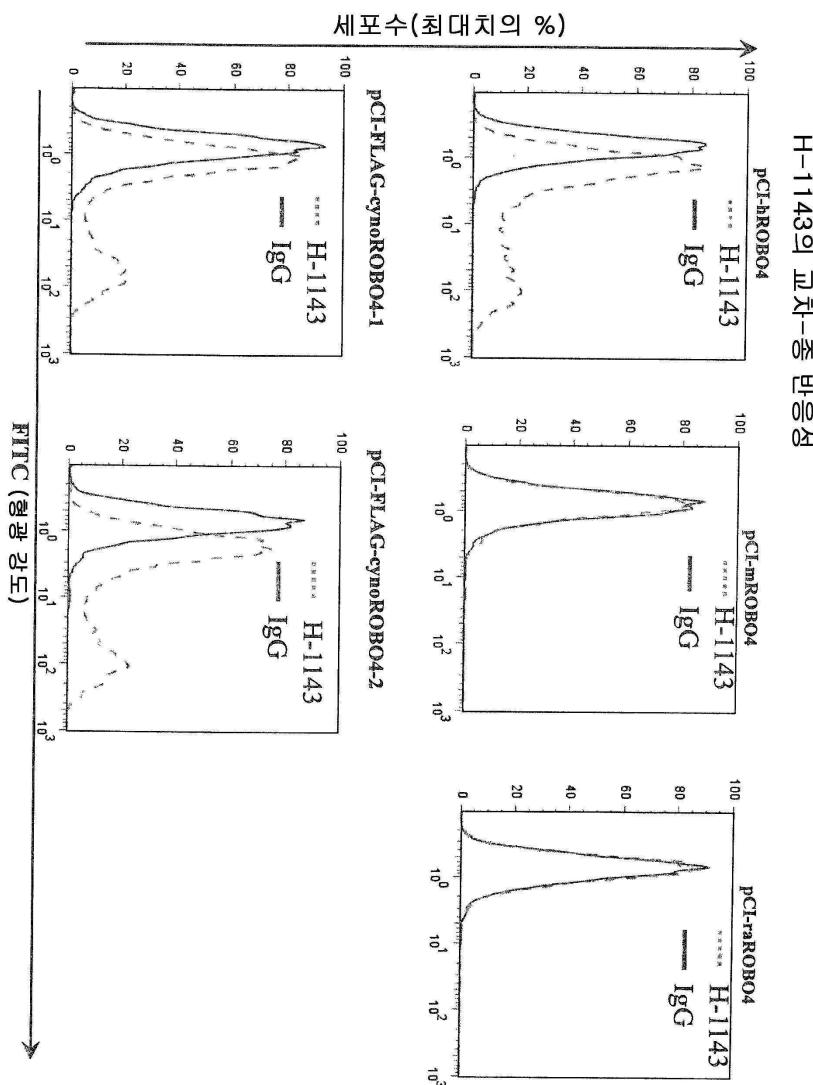
hMAb1-L2형 경쇄의 CDRL2의 아미노산 서열(서열번호 71)  
RVSNRFS

**도면48**

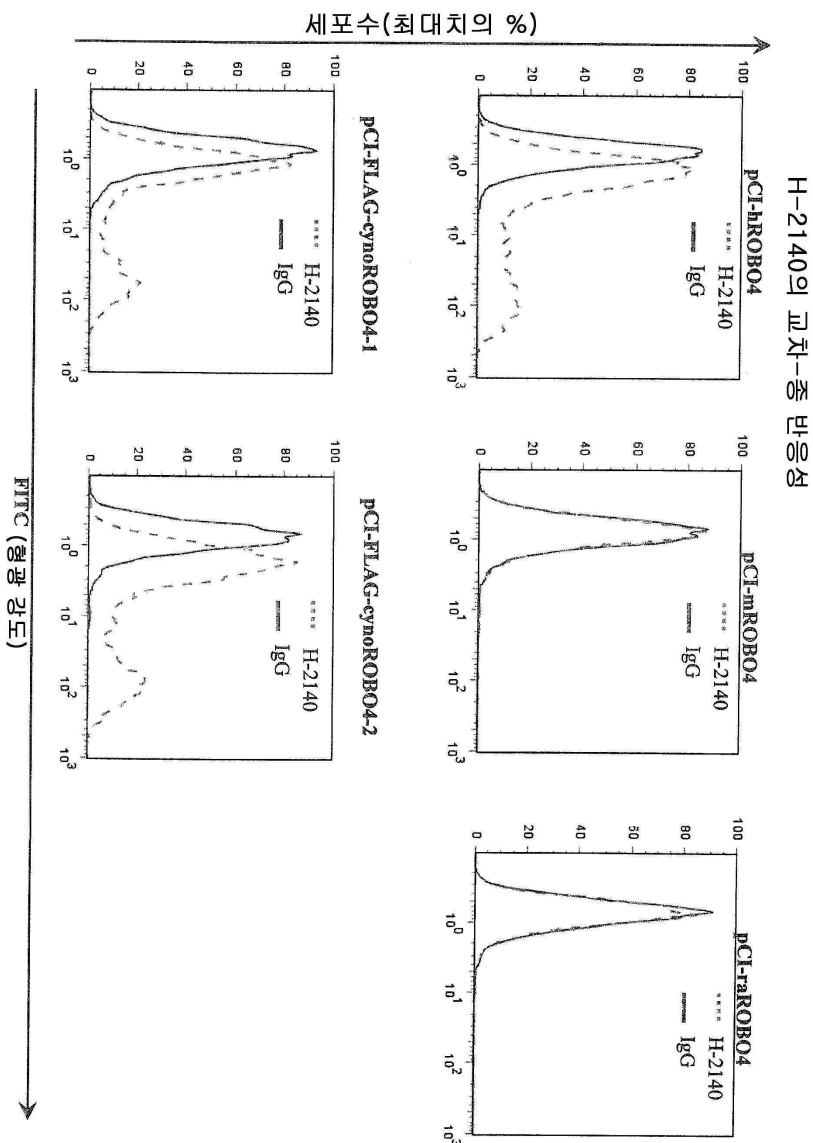
hMAb1-L2형 경쇄의 CDRL3의 아미노산 서열(서열번호 72)  
LQVTHVPWT

**도면49****IL-8 프로모터 활성 분석****도면50****bFGF-유도된 HUVEC 이동 분석**

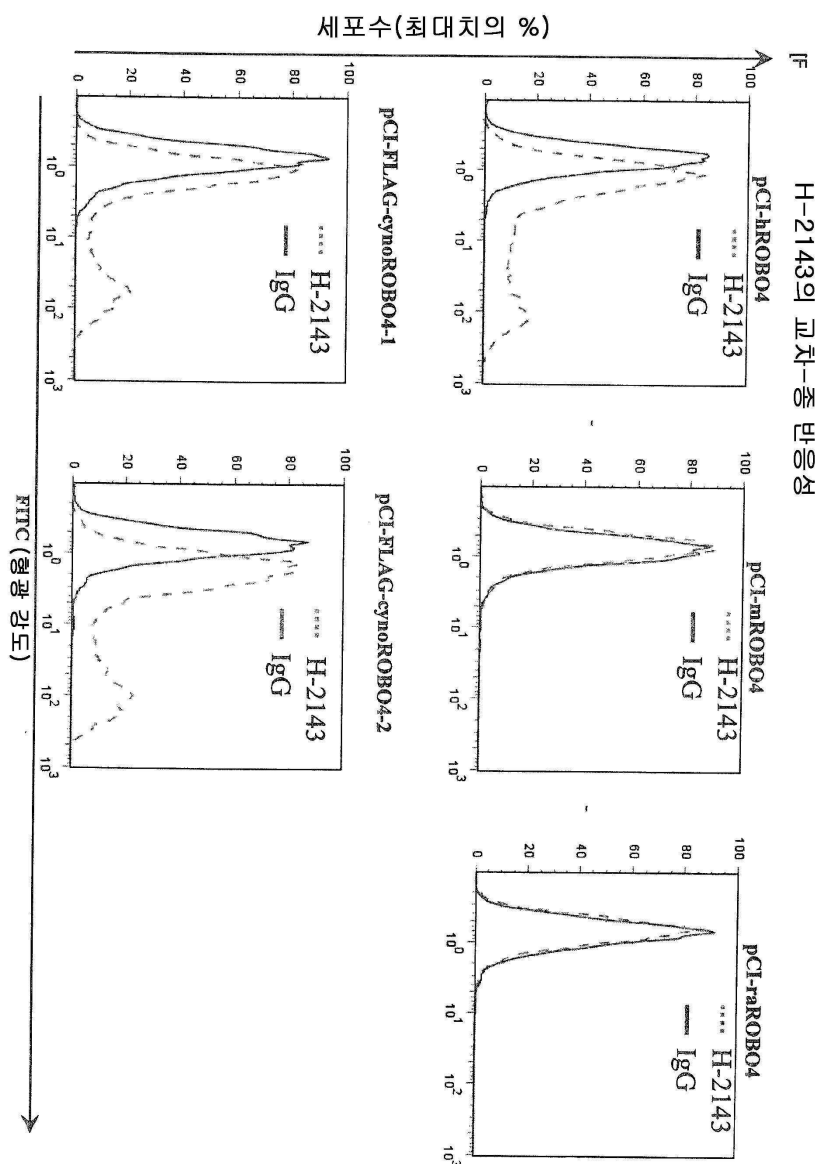
도면51



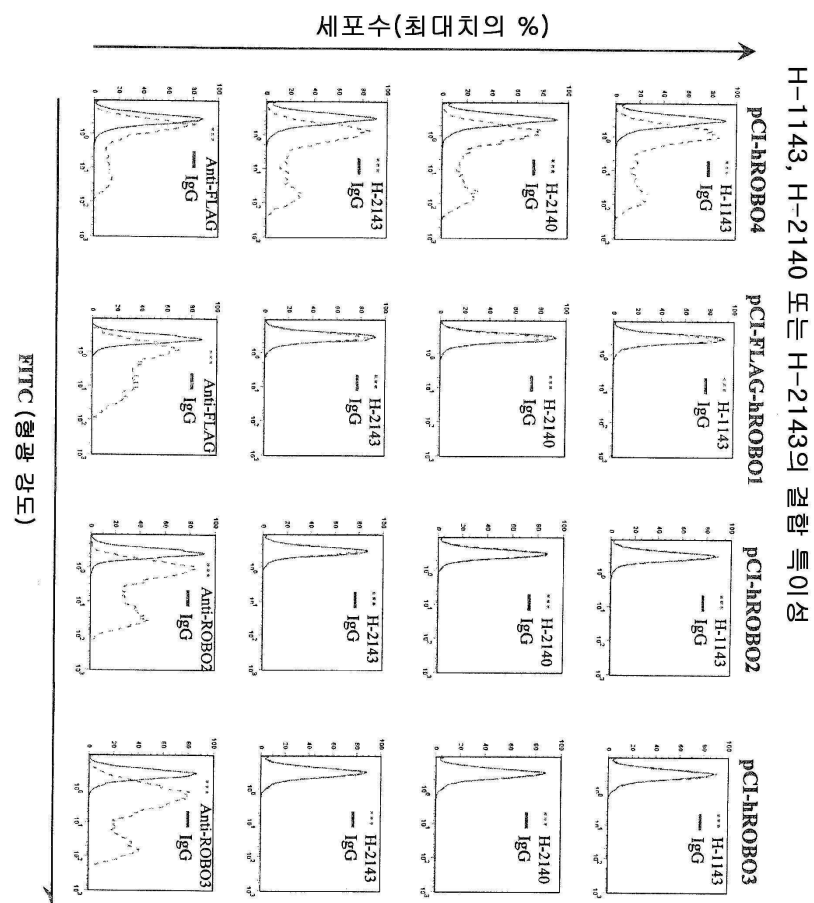
## 도면52



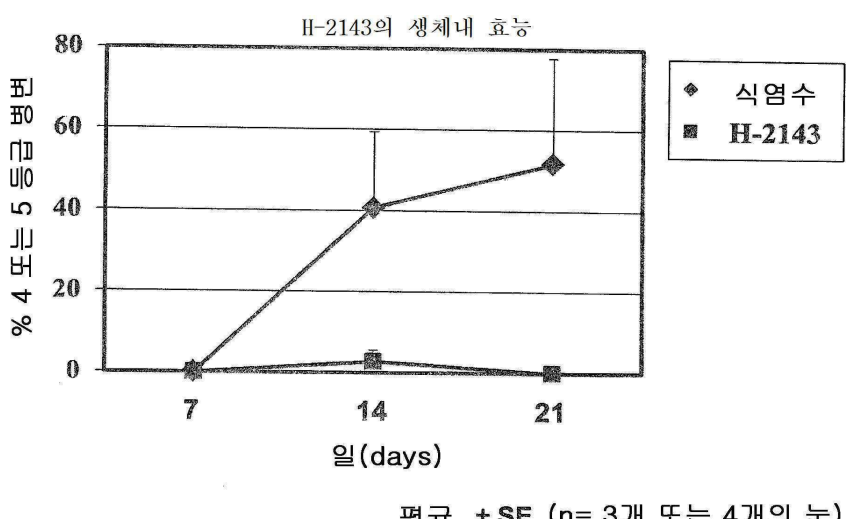
도면53



## 도면54



## 도면55



## 서열 목록

## SEQUENCE LISTING

&lt;110&gt; DAIICHI SANKYO COMPANY, LIMITED

<120> Anti-ROBO4 antibody

<130> U1999 PCT S3

<140> PCT/IB2013/053312

<141> 2013-04-26

<150> JP 2012-103929

<151> 2012-04-27

<150> JP 2013-011042

<151> 2013-01-24

<160> 121

<170> PatentIn version 3.5

<210> 1

<211> 3024

<212> DNA

<213> Homo sapiens

<400> 1

atggctctg gaggagacag cctcctgggg ggcaggggtt ccctgcctct gctgctctg	60
ctcatcatgg gaggcatggc tcaggactcc cggccccaga tccttagtcca ccccccaggac	120

cagctgttcc agggccctgg ccctgccagg atgagctgcc aagcctcagg ccagccacct	180
ccaccatcc gctgggtgct gaatggcag cccctgagca tggtgcccc agacccacac	240
cacccctgc ctgatggac ccttctgctg ctacagcccc ctgccccggg acatgcccac	300
gatggccagg ccctgtccac agacctgggt gtctacacat gtgaggccag caaccggctt	360
ggcacggcag tcagcagagg cgctcggtg tctgtggctg tccctccggga ggatttccag	420
atccagcctc gggacatggt ggctgtggtg ggtgagcagt ttactctgga atgtggcccg	480
ccctggggcc acccagagcc cacagtctca tggtgaaag atggaaacc cctggccctc	540

cagcccgaa ggcacacagt gtccgggggg tccctgctga tggcaagagc agagaagagt	600
gacgaaggga cctacatgtg tgtggccacc aacagegcag gacataggga gagccgcga	660
gccccggttt ccatccagga gccccaggac tacacggagc ctgtggagct tctggctgt	720
cgaattcagc tgaaaatgt gacactgctg aacccggatc ctgcagaggg ccccaagcct	780
agaccggcgg tgtggctcag ctggaaggtc agtggccctg ctgcgcctgc ccaatttac	840
acggccttgt tcaggaccca gactgccccg ggaggccagg gagctccgtg ggcagaggag	900
ctgcgtggccg gctggcagag cgcagagctt ggaggccctc actggggcca agactacgag	960

ttcaaagtga gaccatcctc tggccggct cgaggccctg acagcaacgt gctgctctg	1020
---	------

aggctgccgg aaaaagtgcc cagtgcggca cctcaggaag tgactctaaa gcctggcaat	1080
ggcactgtct ttgtgagctg ggtccacca cctgctaaaa accacaatgg catcatccgt	1140
ggcttaccagg tctggagcct gggcaacaca tcactgccac cagccaactg gactgttagtt	1200
gttgagcaga cccagctgga aatcgccacc catacgccag gtcctactg cgtcaagtg	1260
gctgcagtca ctggtgctgg agctggggag cccagtagac ctgtctgcct ccttttagag	1320
caggccatgg aecgagccac ccaagaaccc agtgagcatg gtccctggac cctggagcag	1380
ctgagggcta ccttgaagcg gcctgaggcattgccacct gcgggtttgc actctggctg	1440
ctgcttctgg gcaccgcgt gtgtatccac cgccggcgcc gagctagggt gcacctggc	1500
ccaggtctgt acagatatac cagtgaggat gccatctaa aacacaggat ggatcacagt	1560
gactcccagt ggttggcaga cacttggcgt tccacctctg gctctggga cctgagcagc	1620
agcageagcc tcagcagtcg gctggggcg gatgcccgaccactaga ctgtcgctgc	1680
tccttgcctt cctgggactc ccgaagcccc ggcgtgcccc tgttccaga caccagact	1740
ttttatggct ccctcatcgc tgagctgccc tccagtagcc cagccaggcc aagtccccag	1800
gtcccaagctg tcaggcgct cccacccag ctggccagc tctccagccc ctgtccagc	1860
tcagacagcc tctgcagccg caggggactc tcttctcccc gttgtctct ggccctgca	1920
gaggcttgga aggccaaaaa gaagcaggag ctgcagcatg ccaacagttc cccactgtc	1980
cggggcagcc actccttgga gctccggcc tgtgagtttag gaaatagagg ttccaagaac	2040
ctttccaaa gcccaggagc tgtccccaa gctctgggtg cctggggcc cctgggaccg	2100
aaactcctca gctcctcaaa tgagctggtt actcgatc tccctccagc accccttt	2160
cctcatgaaa ctcccccaac tcagagtcaa cagacccagc ctccggtgcc accacaggct	2220
ccctcctcca tcctgctgcc agcagcccc atccccatcc ttagccctg cagccccct	2280
agccccccagg cctttccct ctctggcccc agcccagtt ccagtcgcct gtccagctcc	2340
tcactgtcat cccctggggaa ggatcaagac agcgtgctga cccctgagga ggtagccctg	2400
tgcttggAAC tcagtgggg tgaggagact cccaggaaca gegtctctcc catgccaagg	2460
gctccttacccccaccac ctatgggtac atcagcgatcc caacagcctc agagttcagc	2520
gacatggca ggactggagg aggggtgggg cccaaaggggg gagtcttgct gtgcccacct	2580
cggccctgcc tcacccacccccagcag ggctcccttag ccaatgggtg gggctcagcc	2640
tctgaggaca atgccggccag cgccagagcc agccttgtca gtcctccga tggctcccttc	2700
ctcgctgatg ctcactttgc cggggccctg gcagtggctg tggatagctt tggttcggt	2760
ctagagccca gggaggcaga ctgcgtcttc atagatgcct catcacccctcc ctccccacgg	2820
gatgagatct tcctgacccc caacctctcc ctgccccctgt gggagtgag gccagactgg	2880

ttgaaagaca tggaggtcag ccacacccag cggctggaa gggggatgcc tccctggccc	2940
cctgactctc agatctcttc ccagagaagt cagctccact gtcgtatgcc caaggctggt	3000
gcttctcctg tagattactc ctga	3024

<210> 2

<211> 1007

<212> PRT

<213> Homo sapiens

<400> 2

Met Gly Ser Gly Gly Asp Ser Leu Leu Gly Gly Arg Gly Ser Leu Pro

1	5	10	15
---	---	----	----

Leu Leu Leu Leu Leu Ile Met Gly Gly Met Ala Gln Asp Ser Pro Pro

20	25	30
----	----	----

Gln Ile Leu Val His Pro Gln Asp Gln Leu Phe Gln Gly Pro Gly Pro

35	40	45
----	----	----

Ala Arg Met Ser Cys Gln Ala Ser Gly Gln Pro Pro Pro Thr Ile Arg

50	55	60
----	----	----

Trp Leu Leu Asn Gly Gln Pro Leu Ser Met Val Pro Pro Asp Pro His

65	70	75	80
----	----	----	----

His Leu Leu Pro Asp Gly Thr Leu Leu Leu Gln Pro Pro Ala Arg

85	90	95
----	----	----

Gly His Ala His Asp Gly Gln Ala Leu Ser Thr Asp Leu Gly Val Tyr

100	105	110
-----	-----	-----

Thr Cys Glu Ala Ser Asn Arg Leu Gly Thr Ala Val Ser Arg Gly Ala

115	120	125
-----	-----	-----

Arg Leu Ser Val Ala Val Leu Arg Glu Asp Phe Gln Ile Gln Pro Arg

130	135	140
-----	-----	-----

Asp Met Val Ala Val Val Gly Glu Gln Phe Thr Leu Glu Cys Gly Pro

145	150	155	160
-----	-----	-----	-----

Pro Trp Gly His Pro Glu Pro Thr Val Ser Trp Trp Lys Asp Gly Lys

165	170	175
-----	-----	-----

Pro Leu Ala Leu Gln Pro Gly Arg His Thr Val Ser Gly Gly Ser Leu

180	185	190
Leu Met Ala Arg Ala Glu Lys Ser Asp Glu Gly Thr Tyr Met Cys Val		
195	200	205
Ala Thr Asn Ser Ala Gly His Arg Glu Ser Arg Ala Ala Arg Val Ser		
210	215	220
Ile Gln Glu Pro Gln Asp Tyr Thr Glu Pro Val Glu Leu Leu Ala Val		
225	230	235
Arg Ile Gln Leu Glu Asn Val Thr Leu Leu Asn Pro Asp Pro Ala Glu		
245	250	255
Gly Pro Lys Pro Arg Pro Ala Val Trp Leu Ser Trp Lys Val Ser Gly		
260	265	270
Pro Ala Ala Pro Ala Gln Ser Tyr Thr Ala Leu Phe Arg Thr Gln Thr		
275	280	285
Ala Pro Gly Gly Gln Gly Ala Pro Trp Ala Glu Glu Leu Ala Gly		
290	295	300
Trp Gln Ser Ala Glu Leu Gly Leu His Trp Gly Gln Asp Tyr Glu		
305	310	315
Phe Lys Val Arg Pro Ser Ser Gly Arg Ala Arg Gly Pro Asp Ser Asn		
325	330	335
Val Leu Leu Leu Arg Leu Pro Glu Lys Val Pro Ser Ala Pro Pro Gln		
340	345	350
Glu Val Thr Leu Lys Pro Gly Asn Gly Thr Val Phe Val Ser Trp Val		
355	360	365
Pro Pro Pro Ala Glu Asn His Asn Gly Ile Ile Arg Gly Tyr Gln Val		
370	375	380
Trp Ser Leu Gly Asn Thr Ser Leu Pro Pro Ala Asn Trp Thr Val Val		
385	390	395
Gly Glu Gln Thr Gln Leu Glu Ile Ala Thr His Met Pro Gly Ser Tyr		
405	410	415
Cys Val Gln Val Ala Ala Val Thr Gly Ala Gly Ala Gly Glu Pro Ser		
420	425	430

Arg Pro Val Cys Leu Leu Glu Gln Ala Met Glu Arg Ala Thr Gln

435 440 445

Glu Pro Ser Glu His Gly Pro Trp Thr Leu Glu Gln Leu Arg Ala Thr

450 455 460

Leu Lys Arg Pro Glu Val Ile Ala Thr Cys Gly Val Ala Leu Trp Leu

465 470 475 480

Leu Leu Leu Gly Thr Ala Val Cys Ile His Arg Arg Arg Ala Arg

485 490 495

Val His Leu Gly Pro Gly Leu Tyr Arg Tyr Thr Ser Glu Asp Ala Ile

500 505 510

Leu Lys His Arg Met Asp His Ser Asp Ser Gln Trp Leu Ala Asp Thr

515 520 525

Trp Arg Ser Thr Ser Gly Ser Arg Asp Leu Ser Ser Ser Ser Leu

530 535 540

Ser Ser Arg Leu Gly Ala Asp Ala Arg Asp Pro Leu Asp Cys Arg Arg

545 550 555 560

Ser Leu Leu Ser Trp Asp Ser Arg Ser Pro Gly Val Pro Leu Leu Pro

565 570 575

Asp Thr Ser Thr Phe Tyr Gly Ser Leu Ile Ala Glu Leu Pro Ser Ser

580 585 590

Thr Pro Ala Arg Pro Ser Pro Gln Val Pro Ala Val Arg Arg Leu Pro

595 600 605

Pro Gln Leu Ala Gln Leu Ser Ser Pro Cys Ser Ser Ser Asp Ser Leu

610 615 620

Cys Ser Arg Arg Gly Leu Ser Ser Pro Arg Leu Ser Leu Ala Pro Ala

625 630 635 640

Glu Ala Trp Lys Ala Lys Lys Gln Glu Leu Gln His Ala Asn Ser

645 650 655

Ser Pro Leu Leu Arg Gly Ser His Ser Leu Glu Leu Arg Ala Cys Glu

660 665 670

Leu Gly Asn Arg Gly Ser Lys Asn Leu Ser Gln Ser Pro Gly Ala Val

675 680 685

Pro Gln Ala Leu Val Ala Trp Arg Ala Leu Gly Pro Lys Leu Leu Ser

690 695 700

Ser Ser Asn Glu Leu Val Thr Arg His Leu Pro Pro Ala Pro Leu Phe

705 710 715 720

Pro His Glu Thr Pro Pro Thr Gln Ser Gln Gln Thr Gln Pro Pro Val

725 730 735

Ala Pro Gln Ala Pro Ser Ser Ile Leu Leu Pro Ala Ala Pro Ile Pro

740 745 750

Ile Leu Ser Pro Cys Ser Pro Pro Ser Pro Gln Ala Ser Ser Leu Ser

755 760 765

Gly Pro Ser Pro Ala Ser Ser Arg Leu Ser Ser Ser Leu Ser Ser

770 775 780

Leu Gly Glu Asp Gln Asp Ser Val Leu Thr Pro Glu Glu Val Ala Leu

785 790 795 800

Cys Leu Glu Leu Ser Glu Gly Glu Glu Thr Pro Arg Asn Ser Val Ser

805 810 815

Pro Met Pro Arg Ala Pro Ser Pro Pro Thr Thr Tyr Gly Tyr Ile Ser

820 825 830

Val Pro Thr Ala Ser Glu Phe Thr Asp Met Gly Arg Thr Gly Gly

835 840 845

Val Gly Pro Lys Gly Gly Val Leu Leu Cys Pro Pro Arg Pro Cys Leu

850 855 860

Thr Pro Thr Pro Ser Glu Gly Ser Leu Ala Asn Gly Trp Gly Ser Ala

865 870 875 880

Ser Glu Asp Asn Ala Ala Ser Ala Arg Ala Ser Leu Val Ser Ser Ser

885 890 895

Asp Gly Ser Phe Leu Ala Asp Ala His Phe Ala Arg Ala Leu Ala Val

900 905 910

Ala Val Asp Ser Phe Gly Phe Gly Leu Glu Pro Arg Glu Ala Asp Cys

915 920 925

Val Phe Ile Asp Ala Ser Ser Pro Pro Ser Pro Arg Asp Glu Ile Phe

930 935 940

Leu Thr Pro Asn Leu Ser Leu Pro Leu Trp Glu Trp Arg Pro Asp Trp

945 950 955 960

Leu Glu Asp Met Glu Val Ser His Thr Gln Arg Leu Gly Arg Gly Met

965 970 975

Pro Pro Trp Pro Pro Asp Ser Gln Ile Ser Ser Gln Arg Ser Gln Leu

980 985 990

His Cys Arg Met Pro Lys Ala Gly Ala Ser Pro Val Asp Tyr Ser

995 1000 1005

<210> 3

<211> 3045

<212> DNA

<213> Artificial Sequence

<220><223> FLAG-hROB04-28

<400> 3

atgggctctg	gaggagacag	cctcctcgcc	ggcagagggtt	ccctgcctct	gctgctctg	60
ctcatcatgg	gaggcatggc	tgattacaag	gatgacgacg	ataaggcagga	ctccccgccc	120
cagatcctag	tccaccccca	ggaccagctg	ttccagggcc	ctggccctgc	caggatgagc	180
tgccaaaggct	caggccagcc	acctcccacc	atccgctggt	tgctgaatgg	gcagccctg	240
agcatggtgc	ccccagaccc	acaccaccc	ctgcctgatg	ggacccttct	gctgctacag	300
ccccctgccc	ggggacatgc	ccacgatggc	caggccctgt	ccacagacct	gggtgtctac	360
acatgtgagg	ccagcaaccg	gcttggcacg	gcagttagca	gaggcgctcg	gctgtctgtg	420

gctgtcctcc	gggaggattt	ccagatccag	cctcgggaca	tggtggtgt	ggtgggtgag	480
cagtttactc	tggaatgtgg	gccgcctgg	ggccacccag	agcccacagt	ctcatggtgg	540
aaagatggga	aaccctggc	cctccagecc	ggaaggcaca	cagtgtccgg	ggggccctg	600
ctgatggcaa	gagcagagaa	gagtgacgaa	gggacctaca	tgtgtgtggc	caccaacagc	660
gcaggacata	gggagagccg	cgcagccgg	gtttccatcc	aggagcccca	ggactacacg	720
gagccctgtgg	agcttctggc	tgtgcgaatt	cagctggaaa	atgtgacact	gctgaacccg	780
gatcctgcag	agggcccaa	gcctagacccg	gcggtgtggc	ttagctggaa	ggtcagtggc	840

cctgctgcgc	ctgccaatc	ttacacggcc	ttgttcagga	cccagactgc	cccgaggagc	900
------------	-----------	------------	------------	------------	------------	-----

caaggagctc cgtggcaga ggagctgctg gccggctggc agagcgcaga gcttggaggc	960
ctccactggg gccaagacta cgagttcaaa gtgagaccat cctctggccg ggctcgaggc	1020
cctgacagca acgtgctgct cctgaggctg ccggaaaaag tgcccagtgc cccacctcag	1080
gaagtgactc taaaaggctgg caatggcact gtcttgtga gctgggtccc accacctgct	1140
gaaaaccaca atggcatcat ccgtggctac caggtctgga gcctggcaa cacatcactg	1200
ccaccagcca actggactgt agtttgttag cagaccagc tggaaatcgc caccatatg	1260
ccaggctcct actgcgtgca agtggctgca gtcactggtg ctggagctgg ggagcccaagt	1320
agacctgtct gcctcctttt agagcaggcc atggagcgag ccacccaaga acccagttag	1380
catggccctt ggaccctgga gcagctgagg gctacccatgaa agccgcctga ggtcattgcc	1440
acctgcgggt ttgcactctg gtcgtgtctt ctggcacccg ccgtgtgtat ccaccggcgg	1500
cgccgagcta gggtgacact gggcccaaggct ctgtacagat ataccagtga ggtatgcattc	1560
ctaaaacaca ggtatggatca cagtgactcc cagtggttgg cagacacttg gcgttccacc	1620
tctggctctc gggacctgag cagcagcagc agcctcagca gtccggctggg ggcggatgcc	1680
cgggaccac tagactgtcg tcgctccttg ctctcctggg actcccaag ccccgccgtg	1740
ccccctgttc cagacaccag cacttttat ggctccctca tcgctgagct gcccctccagt	1800
accccagcca gccaaggcc ccaggccca gctgtcagggc gctcccaacc ccagctggcc	1860
cagctctcca gcccctgttc cagctcagac agcctctgca gcccagggg actctttct	1920
ccccgcttgt ctctggcccc tgcagaggct tggaaggcca aaaagaagca ggagctgcag	1980
catgccaaca gttccccact gtcggggcc agccactcct tggagctccg gcccgtgtag	2040
ttagaaata gaggtccaa gaaccttcc caaagccag gagctgtgcc ccaagctctg	2100
gttgcctggc gggccctggg accgaaactc ctcagctcct caaatgagct ggttactcgt	2160
catctccctc cagcacccct ctttcctcat gaaactcccc caactcagag tcaacagacc	2220
cagcctccgg tggcaccaca ggctccctcc tccatccctgc tgccagcagc ccccatcccc	2280
atccttagcc ctcgcgtcc ccctagcccc caggccctt ccctctctgg ccccaagccca	2340
gcttccagtc gcctgtccag ctcctcactg tcatccctgg gggaggatca agacagcgtg	2400
ctgacccctg aggaggtagc ctcgtgtttt gaaactcagtg agggtgagga gactccagg	2460
aacagcgtct ctcccatgcc aagggtctt tcaccccca ccacctatgg gtacatcagc	2520
gtcccaacag ctcagagtt cacggacatg ggcaggactg gaggagggt gggggccaaag	2580
gggggagtct tgcgtgtgcc acctcgcccc tgcctcaccc ccaccccaag cgagggtcc	2640
ttagccaaatg gttggggctc agcctctgag gacaatgcgg ccagcggccag agccagcctt	2700
gtcagctcct ccgtggctc cttcctcgct gatgctact ttgcccggc cctggcagtg	2760

gctgtggata gcttggtt cggtagag cccaggagg cagactgcgt ctcatat	2820
gcctcatcac ctccccccc acggatgat atttctga ccccaacct ctccctgcc	2880
ctgtggagt ggaggccaga ctggttggaa gacatggagg tcagccacac ccagcggctg	2940

ggaaggggga tgccctccctg gccccctgac ttcagatct ttccctagag aagttagctc	3000
cactgtcgta tgcccaaggc tggtgcttct cctgttagatt actcc	3045

&lt;210&gt; 4

&lt;211&gt; 1015

&lt;212&gt; PRT

&lt;213&gt; Artificial Sequence

&lt;220&gt;&lt;223&gt; FLAG-hROBO4-28aa

&lt;400&gt; 4

Met Gly Ser Gly Gly Asp Ser Leu Leu Gly Gly Arg Gly Ser Leu Pro

1 5 10 15

Leu Leu Leu Leu Leu Ile Met Gly Gly Met Ala Asp Tyr Lys Asp Asp

20 25 30

Asp Asp Lys Gln Asp Ser Pro Pro Gln Ile Leu Val His Pro Gln Asp

35 40 45

Gln Leu Phe Gln Gly Pro Gly Pro Ala Arg Met Ser Cys Gln Ala Ser

50 55 60

Gly Gln Pro Pro Pro Thr Ile Arg Trp Leu Leu Asn Gly Gln Pro Leu

65 70 75 80

Ser Met Val Pro Pro Asp Pro His His Leu Leu Pro Asp Gly Thr Leu

85 90 95

Leu Leu Leu Gln Pro Pro Ala Arg Gly His Ala His Asp Gly Gln Ala

100 105 110

Leu Ser Thr Asp Leu Gly Val Tyr Thr Cys Glu Ala Ser Asn Arg Leu

115 120 125

Gly Thr Ala Val Ser Arg Gly Ala Arg Leu Ser Val Ala Val Leu Arg

130 135 140

Glu Asp Phe Gln Ile Gln Pro Arg Asp Met Val Ala Val Val Gly Glu

145 150 155 160

Gln Phe Thr Leu Glu Cys Gly Pro Pro Trp Gly His Pro Glu Pro Thr  
 165                          170                          175  
 Val Ser Trp Trp Lys Asp Gly Lys Pro Leu Ala Leu Gln Pro Gly Arg  
 180                          185                          190  
 His Thr Val Ser Gly Gly Ser Leu Leu Met Ala Arg Ala Glu Lys Ser  
 195                          200                          205  
 Asp Glu Gly Thr Tyr Met Cys Val Ala Thr Asn Ser Ala Gly His Arg  
 210                          215                          220

Glu Ser Arg Ala Ala Arg Val Ser Ile Gln Glu Pro Gln Asp Tyr Thr  
 225                          230                          235                          240  
 Glu Pro Val Glu Leu Leu Ala Val Arg Ile Gln Leu Glu Asn Val Thr  
 245                          250                          255  
 Leu Leu Asn Pro Asp Pro Ala Glu Gly Pro Lys Pro Arg Pro Ala Val  
 260                          265                          270  
 Trp Leu Ser Trp Lys Val Ser Gly Pro Ala Ala Pro Ala Gln Ser Tyr  
 275                          280                          285

Thr Ala Leu Phe Arg Thr Gln Thr Ala Pro Gly Gly Gln Gly Ala Pro  
 290                          295                          300  
 Trp Ala Glu Glu Leu Leu Ala Gly Trp Gln Ser Ala Glu Leu Gly Gly  
 305                          310                          315                          320  
 Leu His Trp Gly Gln Asp Tyr Glu Phe Lys Val Arg Pro Ser Ser Gly  
 325                          330                          335  
 Arg Ala Arg Gly Pro Asp Ser Asn Val Leu Leu Arg Leu Pro Glu  
 340                          345                          350

Lys Val Pro Ser Ala Pro Pro Gln Glu Val Thr Leu Lys Pro Gly Asn  
 355                          360                          365  
 Gly Thr Val Phe Val Ser Trp Val Pro Pro Ala Glu Asn His Asn  
 370                          375                          380  
 Gly Ile Ile Arg Gly Tyr Gln Val Trp Ser Leu Gly Asn Thr Ser Leu  
 385                          390                          395                          400  
 Pro Pro Ala Asn Trp Thr Val Val Gly Glu Gln Thr Gln Leu Glu Ile

405	410	415
-----	-----	-----

Ala Thr His Met Pro Gly Ser Tyr Cys Val Gln Val Ala Ala Val Thr

420	425	430
-----	-----	-----

Gly Ala Gly Ala Gly Glu Pro Ser Arg Pro Val Cys Leu Leu Leu Glu

435	440	445
-----	-----	-----

Gln Ala Met Glu Arg Ala Thr Gln Glu Pro Ser Glu His Gly Pro Trp

450	455	460
-----	-----	-----

Thr Leu Glu Gln Leu Arg Ala Thr Leu Lys Arg Pro Glu Val Ile Ala

465	470	475
-----	-----	-----

480

Thr Cys Gly Val Ala Leu Trp Leu Leu Leu Gly Thr Ala Val Cys

485	490	495
-----	-----	-----

Ile His Arg Arg Arg Ala Arg Val His Leu Gly Pro Gly Leu Tyr

500	505	510
-----	-----	-----

Arg Tyr Thr Ser Glu Asp Ala Ile Leu Lys His Arg Met Asp His Ser

515	520	525
-----	-----	-----

Asp Ser Gln Trp Leu Ala Asp Thr Trp Arg Ser Thr Ser Gly Ser Arg

530	535	540
-----	-----	-----

Asp Leu Ser Ser Ser Ser Leu Ser Ser Arg Leu Gly Ala Asp Ala

545	550	555
-----	-----	-----

560

Arg Asp Pro Leu Asp Cys Arg Arg Ser Leu Leu Ser Trp Asp Ser Arg

565	570	575
-----	-----	-----

Ser Pro Gly Val Pro Leu Leu Pro Asp Thr Ser Thr Phe Tyr Gly Ser

580	585	590
-----	-----	-----

Leu Ile Ala Glu Leu Pro Ser Ser Thr Pro Ala Arg Pro Ser Pro Gln

595	600	605
-----	-----	-----

Val Pro Ala Val Arg Arg Leu Pro Pro Gln Leu Ala Gln Leu Ser Ser

610	615	620
-----	-----	-----

Pro Cys Ser Ser Ser Asp Ser Leu Cys Ser Arg Arg Gly Leu Ser Ser

625	630	635
-----	-----	-----

640

Pro Arg Leu Ser Leu Ala Pro Ala Glu Ala Trp Lys Ala Lys Lys Lys

645	650	655
-----	-----	-----

Gln Glu Leu Gln His Ala Asn Ser Ser Pro Leu Leu Arg Gly Ser His

660 665 670

Ser Leu Glu Leu Arg Ala Cys Glu Leu Gly Asn Arg Gly Ser Lys Asn

675 680 685

Leu Ser Gln Ser Pro Gly Ala Val Pro Gln Ala Leu Val Ala Trp Arg

690 695 700

Ala Leu Gly Pro Lys Leu Leu Ser Ser Asn Glu Leu Val Thr Arg

705 710 715 720

His Leu Pro Pro Ala Pro Leu Phe Pro His Glu Thr Pro Pro Thr Gln

725 730 735

Ser Gln Gln Thr Gln Pro Pro Val Ala Pro Gln Ala Pro Ser Ser Ile

740 745 750

Leu Leu Pro Ala Ala Pro Ile Pro Ile Leu Ser Pro Cys Ser Pro Pro

755 760 765

Ser Pro Gln Ala Ser Ser Leu Ser Gly Pro Ser Pro Ala Ser Ser Arg

770 775 780

Leu Ser Ser Ser Leu Ser Ser Leu Gly Glu Asp Gln Asp Ser Val

785 790 795 800

Leu Thr Pro Glu Glu Val Ala Leu Cys Leu Glu Leu Ser Glu Gly Glu

805 810 815

Glu Thr Pro Arg Asn Ser Val Ser Pro Met Pro Arg Ala Pro Ser Pro

820 825 830

Pro Thr Thr Tyr Gly Tyr Ile Ser Val Pro Thr Ala Ser Glu Phe Thr

835 840 845

Asp Met Gly Arg Thr Gly Gly Val Gly Pro Lys Gly Gly Val Leu

850 855 860

Leu Cys Pro Pro Arg Pro Cys Leu Thr Pro Thr Pro Ser Glu Gly Ser

865 870 875 880

Leu Ala Asn Gly Trp Gly Ser Ala Ser Glu Asp Asn Ala Ala Ser Ala

885 890 895

Arg Ala Ser Leu Val Ser Ser Ser Asp Gly Ser Phe Leu Ala Asp Ala

900	905	910
His Phe Ala Arg Ala Leu Ala Val Ala Val Asp Ser Phe Gly Phe Gly		
915	920	925
Leu Glu Pro Arg Glu Ala Asp Cys Val Phe Ile Asp Ala Ser Ser Pro		
930	935	940
Pro Ser Pro Arg Asp Glu Ile Phe Leu Thr Pro Asn Leu Ser Leu Pro		
945	950	955
Leu Trp Glu Trp Arg Pro Asp Trp Leu Glu Asp Met Glu Val Ser His		
965	970	975
Thr Gln Arg Leu Gly Arg Gly Met Pro Pro Trp Pro Pro Asp Ser Gln		
980	985	990
Ile Ser Ser Gln Arg Ser Gln Leu His Cys Arg Met Pro Lys Ala Gly		
995	1000	1005
Ala Ser Pro Val Asp Tyr Ser		
1010	1015	
<210> 5		
<211> 2997		
<212> DNA		
<213> Artificial Sequence		
<220><223> FLAG-hROB04-46 na		
<400> 5		
atgggctctg gaggagacag cctcctcgcc ggcagaggtt ccctgcctct gctgctcctg		60
ctcatcatgg gaggcatggc tgattacaag gatgacgacg ataagcctgg ccctgccagg		120
atgagctgcc aagcctcagg ccagccacct cccaccatcc gctggttgct gaatggcag		180
ccccctgagca tggtgccccc agaccccacac cacctcctgc ctgatggac ccttctgctg		240
ctacagcccc ctgccccggg acatgcccac gatggccagg ccctgtccac agacctgggt		300
gtctacacat gtgaggccag caaccggctt ggcacggcag tcagcagagg cgctcggctg		360
tctgtggctg tcctccggga ggatttccag atccagcctc gggacatggt ggctgtggtg		420
ggtagcagt ttactctgga atgtggccg ccctggggcc acccagagcc cacagtctca		480
tggtgaaag atggaaacc cctggccctc cagccggaa ggcacacagt gtccgggggg		540
tccctgctga tggcaagagc agagaagagt gacgaaggga cctacatgtg tgtggccacc		600

aacagcgcag gacataggga gagccgcga gcccgggtt ccatccagga gccccaggac	660
tacacggagc ctggagct tctggctgtc cgaattcagc tggaaaatgt gacactgctg	720
aaccggatc ctgcagaggg ccccaagcct agaccggcgg tgtggctcg ctgaaaggtc	780
agtggccctg ctgcgcctgc ccaatcttac acggcttgt tcaggaccca gactgccccg	840
ggagggcagg gagctccgtg ggcagaggag ctgctggccg gctggcagag cgccagagtt	900
ggagggctcc actggggcca agactacgag ttcaaagtga gaccatcctc tggccggct	960
cgaggccctg acagcaacgt gctgctcctg aggctgccgg aaaaagtgcc cagtccccca	1020
cctcaggaag tgactctaaa gcctggcaat ggcactgtct ttgtgagctg ggtcccacca	1080
cctgctgaaa accacaatgg catcatccgt ggctaccagg tctggagcct gggcaacaca	1140
tcactgccac cagccaaactg gactgttagtt ggtgagcaga cccagctgga aatgccacc	1200
catatgccag gctctactg cgtcaagtg gctgcagtc ctggtgctgg agctgggag	1260
cccaagtagac ctgtctgcct ccttttagag caggccatgg agcgagccac ccaagaaccc	1320
agtgagcatg gtccctggac cctggagcag ctgaggccta cttgaagcg gcctgaggtc	1380
attgccacct gcgggttgc actctggctg ctgctctgg gcaccggcgt gtgtatccac	1440
cgccggcgcc gagctagggt gcacctggc ccaggtctgt acagatatac cagtgaggat	1500
gccatctaa aacacaggat ggatcacagt gactcccagt gttggcaga cacttggcgt	1560
tccacctctg gctctcgga cctgagcagc agcagcagcc tcagcagtc gctggggcg	1620
gatggccggg acccaactaga ctgtcgctc tccttgctt cctggactc ccgaagcccc	1680
ggcgtgcccc tgcttccaga caccagcaact ttatggct ccctcatcgc tgagctgeccc	1740
tccagtaacc cagccaggcc aagtccccag gtcccgactg tcaggcgcct cccacccccc	1800
ctggcccgac tctccagccc ctgttccagc tcagacagcc tctgcagccg cagggactc	1860
tcttctcccc gctgtctct gcccctgca gaggcttggaa aggccaaaaa gaagcaggag	1920
ctgcagcatg ccaacagttc cccactgttc cggggcagcc actccttggaa gctccggcc	1980
tgtgagttt gaaatagagg ttccaagaac cttccaaa gcccaggagc tggccccc	2040
gctctggttt cctggggggc cctgggaccc aaactcctca gctcctcaaa tgagctggtt	2100
actcgtcatc tccctccagc acccctttt cctcatgaaa ctcccccaac tcagagtcaa	2160
cagacccagc ctccggtgcc accacaggtt ccctctcca tcctgctgcc agcagcccc	2220
atccccatcc tttagccctg cagttccctt agccccagg cctttccct ctctggcccc	2280
agcccagtt ccagtcgcct gtccagctcc tcactgtcat ccctggggaa ggtcaagac	2340
agcgtgtga cccctgagga ggtagccctg tgcttggaaac tcagtggagg tgaggagact	2400
cccaggaaca ggtctctcc catgccaagg gtccttcac cccccaccac ctatgggtac	2460

atcagcgcc caacaggctc agagttcacg gacatggca ggactggagg aggggtgggg	2520
cccaaggggg gagtcttgct gtgcccacct cggccctgcc tcaccccac ccccagcag	2580
ggctccttag ccaatggttg gggctcagcc tctgaggaca atgccgccag cgccagagcc	2640
agccttgtca gtcctccga tggctccctc ctgcgtatgc ctactttgc ccggccctg	2700

gcagtggctg tggatagctt tggttcggc ctagagccca gggaggcaga ctgcgtttc	2760
atacatgcct catcacctcc ctccccacgg gatgagatct tcctgacccc caaccttcc	2820
ctgcccgtt gggagtggag gccagactgg ttgaaagaca tggaggtcag ccacacccag	2880
cggctggaa ggggatgcc tccctggccc cctgactctc agatcttcc ccagagaagt	2940
cagctccact gtcgtatgcc caaggcttgt gcttctctg tagattactc cgctagc	2997

&lt;210&gt; 6

&lt;211&gt; 999

&lt;212&gt; PRT

&lt;213&gt; Artificial Sequence

&lt;220&gt;&lt;223&gt; FLAG-hROBO4-46aa

&lt;400&gt; 6

Met Gly Ser Gly Gly Asp Ser Leu Leu Gly Gly Arg Gly Ser Leu Pro

1 5 10 15

Leu Leu Leu Leu Ile Met Gly Gly Met Ala Asp Tyr Lys Asp Asp

20 25 30

Asp Asp Lys Pro Gly Pro Ala Arg Met Ser Cys Gln Ala Ser Gly Gln

35 40 45

Pro Pro Pro Thr Ile Arg Trp Leu Leu Asn Gly Gln Pro Leu Ser Met

50 55 60

Val Pro Pro Asp Pro His His Leu Leu Pro Asp Gly Thr Leu Leu Leu

65 70 75 80

Leu Gln Pro Pro Ala Arg Gly His Ala His Asp Gly Gln Ala Leu Ser

85 90 95

Thr Asp Leu Gly Val Tyr Thr Cys Glu Ala Ser Asn Arg Leu Gly Thr

100 105 110

Ala Val Ser Arg Gly Ala Arg Leu Ser Val Ala Val Leu Arg Glu Asp

115 120 125

Phe Gln Ile Gln Pro Arg Asp Met Val Ala Val Val Gly Glu Gln Phe

130	135	140
Thr Leu Glu Cys Gly Pro Pro Trp Gly His Pro Glu Pro Thr Val Ser		
145	150	155
Trp Trp Lys Asp Gly Lys Pro Leu Ala Leu Gln Pro Gly Arg His Thr		
165	170	175
Val Ser Gly Gly Ser Leu Leu Met Ala Arg Ala Glu Lys Ser Asp Glu		
180	185	190
Gly Thr Tyr Met Cys Val Ala Thr Asn Ser Ala Gly His Arg Glu Ser		
195	200	205
Arg Ala Ala Arg Val Ser Ile Gln Glu Pro Gln Asp Tyr Thr Glu Pro		
210	215	220
Val Glu Leu Leu Ala Val Arg Ile Gln Leu Glu Asn Val Thr Leu Leu		
225	230	235
Asn Pro Asp Pro Ala Glu Gly Pro Lys Pro Arg Pro Ala Val Trp Leu		
245	250	255
Ser Trp Lys Val Ser Gly Pro Ala Ala Pro Ala Gln Ser Tyr Thr Ala		
260	265	270
Leu Phe Arg Thr Gln Thr Ala Pro Gly Gln Gly Ala Pro Trp Ala		
275	280	285
Glu Glu Leu Leu Ala Gly Trp Gln Ser Ala Glu Leu Gly Leu His		
290	295	300
Trp Gly Gln Asp Tyr Glu Phe Lys Val Arg Pro Ser Ser Gly Arg Ala		
305	310	315
Arg Gly Pro Asp Ser Asn Val Leu Leu Leu Arg Leu Pro Glu Lys Val		
325	330	335
Pro Ser Ala Pro Pro Gln Glu Val Thr Leu Lys Pro Gly Asn Gly Thr		
340	345	350
Val Phe Val Ser Trp Val Pro Pro Ala Glu Asn His Asn Gly Ile		
355	360	365
Ile Arg Gly Tyr Gln Val Trp Ser Leu Gly Asn Thr Ser Leu Pro Pro		

370	375	380
Ala Asn Trp Thr Val Val Gly Glu Gln Thr Gln Leu Glu Ile Ala Thr		
385	390	395
His Met Pro Gly Ser Tyr Cys Val Gln Val Ala Ala Val Thr Gly Ala		
405	410	415
Gly Ala Gly Glu Pro Ser Arg Pro Val Cys Leu Leu Leu Glu Gln Ala		
420	425	430
Met Glu Arg Ala Thr Gln Glu Pro Ser Glu His Gly Pro Trp Thr Leu		
435	440	445
Glu Gln Leu Arg Ala Thr Leu Lys Arg Pro Glu Val Ile Ala Thr Cys		
450	455	460
Gly Val Ala Leu Trp Leu Leu Leu Gly Thr Ala Val Cys Ile His		
465	470	475
Arg Arg Arg Arg Ala Arg Val His Leu Gly Pro Gly Leu Tyr Arg Tyr		
485	490	495
Thr Ser Glu Asp Ala Ile Leu Lys His Arg Met Asp His Ser Asp Ser		
500	505	510
Gln Trp Leu Ala Asp Thr Trp Arg Ser Thr Ser Gly Ser Arg Asp Leu		
515	520	525
Ser Ser Ser Ser Leu Ser Ser Arg Leu Gly Ala Asp Ala Arg Asp		
530	535	540
Pro Leu Asp Cys Arg Arg Ser Leu Leu Ser Trp Asp Ser Arg Ser Pro		
545	550	555
Gly Val Pro Leu Leu Pro Asp Thr Ser Thr Phe Tyr Gly Ser Leu Ile		
565	570	575
Ala Glu Leu Pro Ser Ser Thr Pro Ala Arg Pro Ser Pro Gln Val Pro		
580	585	590
Ala Val Arg Arg Leu Pro Pro Gln Leu Ala Gln Leu Ser Ser Pro Cys		
595	600	605
Ser Ser Ser Asp Ser Leu Cys Ser Arg Arg Gly Leu Ser Ser Pro Arg		
610	615	620

Leu Ser Leu Ala Pro Ala Glu Ala Trp Lys Ala Lys Lys Lys Gln Glu  
 625                    630                    635                    640  
 Leu Gln His Ala Asn Ser Ser Pro Leu Leu Arg Gly Ser His Ser Leu  
 645                    650                    655  
 Glu Leu Arg Ala Cys Glu Leu Gly Asn Arg Gly Ser Lys Asn Leu Ser  
 660                    665                    670  
 Gln Ser Pro Gly Ala Val Pro Gln Ala Leu Val Ala Trp Arg Ala Leu  
 675                    680                    685  
 Gly Pro Lys Leu Leu Ser Ser Ser Asn Glu Leu Val Thr Arg His Leu  
 690                    695                    700  
 Pro Pro Ala Pro Leu Phe Pro His Glu Thr Pro Pro Thr Gln Ser Gln  
 705                    710                    715                    720  
 Gln Thr Gln Pro Pro Val Ala Pro Gln Ala Pro Ser Ser Ile Leu Leu  
 725                    730                    735  
 Pro Ala Ala Pro Ile Pro Ile Leu Ser Pro Cys Ser Pro Pro Ser Pro  
 740                    745                    750  
 Gln Ala Ser Ser Leu Ser Gly Pro Ser Pro Ala Ser Ser Arg Leu Ser  
 755                    760                    765  
 Ser Ser Ser Leu Ser Ser Leu Gly Glu Asp Gln Asp Ser Val Leu Thr  
 770                    775                    780  
 Pro Glu Glu Val Ala Leu Cys Leu Glu Leu Ser Glu Gly Glu Glu Thr  
 785                    790                    795                    800  
 Pro Arg Asn Ser Val Ser Pro Met Pro Arg Ala Pro Ser Pro Pro Thr  
 805                    810                    815  
 Thr Tyr Gly Tyr Ile Ser Val Pro Thr Ala Ser Glu Phe Thr Asp Met  
 820                    825                    830  
 Gly Arg Thr Gly Gly Val Gly Pro Lys Gly Gly Val Leu Leu Cys  
 835                    840                    845  
 Pro Pro Arg Pro Cys Leu Thr Pro Thr Pro Ser Glu Gly Ser Leu Ala  
 850                    855                    860  
 Asn Gly Trp Gly Ser Ala Ser Glu Asp Asn Ala Ala Ser Ala Arg Ala

865                    870                    875                    880  
 Ser Leu Val Ser Ser Ser Asp Gly Ser Phe Leu Ala Asp Ala His Phe  
 885                    890                    895  
 Ala Arg Ala Leu Ala Val Ala Val Asp Ser Phe Gly Phe Gly Leu Glu

900                    905                    910  
 Pro Arg Glu Ala Asp Cys Val Phe Ile Asp Ala Ser Ser Pro Pro Ser  
 915                    920                    925  
 Pro Arg Asp Glu Ile Phe Leu Thr Pro Asn Leu Ser Leu Pro Leu Trp  
 930                    935                    940  
 Glu Trp Arg Pro Asp Trp Leu Glu Asp Met Glu Val Ser His Thr Gln  
 945                    950                    955                    960  
 Arg Leu Gly Arg Gly Met Pro Pro Trp Pro Pro Asp Ser Gln Ile Ser

965                    970                    975  
 Ser Gln Arg Ser Gln Leu His Cys Arg Met Pro Lys Ala Gly Ala Ser  
 980                    985                    990  
 Pro Val Asp Tyr Ser Ala Ser  
 995

&lt;210&gt; 7

&lt;211&gt; 2733

&lt;212&gt; DNA

&lt;213&gt; Artificial Sequence

&lt;220&gt;&lt;223&gt; FLAG-hROB04-132na

&lt;400&gt; 7

atgggctctg gaggagacag ctcctcgcc ggcagaggtt ccctgcctc gctgctcctg	60
ctcatcatgg gaggcatggc tgattacaag gatgacgacg ataagggtggc tgtcctccgg	120

gaggatttcc agatccagcc tcgggacatg gtggctgtgg tgggtgagca gtttactctg	180
gaatgtggc cgcctgggg ccacccagag cccacagtct catggtgaa agatggaaa	240
ccccctggcc tccagcccg aaggcacaca gtgtccgggg ggtccctgct gatggcaaga	300
gcagagaaga gtgacgaagg gacctacatg tgggtggcca ccaacagcgc aggacatagg	360
gagagcccg cagcccggt ttccatccag gagccccagg actacacgga gcctgtggag	420
cttctggctg tgcgaattca gctggaaaat gtgacactgc tgaaccggta tcctgcagag	480

ggcccaaggc ctagaccggc ggtgtggctc agctggaagg tcagtggccc tgctgcgcct	540
gcccaatctt acacggcctt gttcaggacc cagactgccc cgggaggcca gggagctccg	600
tggcagagg agctgctggc cggctggcag agcgcagac ttggaggccc ccactgggc	660
caagactacg agttcaaagt gagaccatcc tctggccggg ctcgaggccc tgacagcaac	720
gtgtgtctcc tgaggctgcc gaaaaaaatg cccagtgcac cacctcagga agtgcactta	780
aagcctggca atggcactgt ctttgtgac tgggtccac cacctgctga aaaccacaat	840
ggcatcatcc gtggctacca ggtctggac ctggcaaca catcaactgcc accagcaac	900
tggactgttag ttggtgagca gaccctgatg gaaatgcac cccatatgcc aggctctac	960
tgctgtcaag tggctgcagt cactgggtct ggagctgggg agccctgatg acctgtctgc	1020
tccttttag agcaggccat ggagcgcgac acccaagaac ccagtgcac tggccctgg	1080
accctggcgc agctgaggc taccttgaag cggcctgagg tcattgccac ctgcgggttt	1140
gcactctggc tgctgcttct gggcacccgc gtgtgtatcc accgcggcgc ccgagctagg	1200
gtgcacctgg gcccaggctt gtacagat accagtggg atgcacatct aaaacacagg	1260
atggatcaca gtgactccca gtgggtggca gacacttggc gttccacctc tggctctgg	1320
gacctgagca gcagcagcag cctcagcagt cggctggggg cgatgcaccc ggacccacta	1380
gactgtcgtc gtccttgct ctcctggac tccccaaagcc cggcggtgcc cctgttcca	1440
gacaccagca cttttatgg ctccctcatc gctgagctgc cttccagttac cccagccagg	1500
ccaaatcccc aggtcccagc tgtcagggc cttccacccc agtggccca gcttccagc	1560
ccctgttcca gtcagacag cctctgcagc cgcaggggac tctttctcc ccgttgtct	1620
ctggccctg cagaggctt gaaaggccaaa aagaaggcagg agtgcagca tgccaaacagt	1680
tccccactgc tccggggcag ccactcctt gaggctccggg cctgtgagtt aggaaataga	1740
ggttccaaga accttccca aagcccagga gctgtgcccc aagctctggt tgcctggcgg	1800
gcccctggac cggaaactct cagtcctca aatgagctgg ttactcgta tctccctcca	1860
gcacccctct ttctctatga aactccccca actcagatc aacagacccca gcctccggtg	1920
gcaccacagg ctccctctc catcctgctg ccagcagccc ccataccat ctttagcccc	1980
tgcagttcccc ctatccccca ggcctttcc ctctctggcc ccagcccgac ttccagtcgc	2040
ctgtccagct cctcactgtc atccctgggg gaggatcaag acagcgtgct gaccctgag	2100
gaggtagccc tttgtttggaa actcagtgat ggtgaggaga ctccctggaa cagcgtctct	2160
cccatgccaa gggctcccttc accccccacc acctatgggt acatcagcgt cccaaacagcc	2220

tcagagttca cggacatggg caggactgga ggaggggtgg ggcccaaggg gggagtcttg 2280  
 ctgtgccac ctcggccctg cctcaccccc acccccagcg agggctcctt agccaatggt 2340  
 tggggctcag cctctgagga caatgccgcc agcgcagag ccagccttgt cagctcc 2400  
 gatggctcct tcctcgctga tgctcactt gcccggccc tggcagtggc tgtggatagc 2460  
 tttggtttcg gtctagagcc caggaggca gactgcgtct tcatagatgc ctcatcacct 2520  
 ccctccccac gggatgagat cttcctgacc cccaacctct ccctgcccgt gtggagtg 2580  
 aggccagact gtttggaga catggaggc agccacaccc agcggctggg aagggggatg 2640

cctccctggc cccctgactc tcagatctct tcccaagagaa gttagctcca ctgtcgatg 2700  
 cccaaggctg gtgtttctcc tgttagattac tcc 2733

&lt;210&gt; 8

&lt;211&gt; 911

&lt;212&gt; PRT

&lt;213&gt; Artificial Sequence

&lt;220&gt;&lt;223&gt; FLAG-hROBO4-132aa

&lt;400&gt; 8

Met Gly Ser Gly Gly Asp Ser Leu Leu Gly Gly Arg Gly Ser Leu Pro

1 5 10 15

Leu Leu Leu Leu Leu Ile Met Gly Gly Met Ala Asp Tyr Lys Asp Asp

20 25 30

Asp Asp Lys Val Ala Val Leu Arg Glu Asp Phe Gln Ile Gln Pro Arg

35 40 45

Asp Met Val Ala Val Val Gly Glu Gln Phe Thr Leu Glu Cys Gly Pro

50 55 60

Pro Trp Gly His Pro Glu Pro Thr Val Ser Trp Trp Lys Asp Gly Lys

65 70 75 80

Pro Leu Ala Leu Gln Pro Gly Arg His Thr Val Ser Gly Ser Leu

85 90 95

Leu Met Ala Arg Ala Glu Lys Ser Asp Glu Gly Thr Tyr Met Cys Val

100 105 110

Ala Thr Asn Ser Ala Gly His Arg Glu Ser Arg Ala Ala Arg Val Ser

115 120 125

Ile Gln Glu Pro Gln Asp Tyr Thr Glu Pro Val Glu Leu Leu Ala Val

130	135	140
Arg Ile Gln Leu Glu Asn Val Thr Leu Leu Asn Pro Asp Pro Ala Glu		
145	150	155
Gly Pro Lys Pro Arg Pro Ala Val Trp Leu Ser Trp Lys Val Ser Gly		
165	170	175
Pro Ala Ala Pro Ala Gln Ser Tyr Thr Ala Leu Phe Arg Thr Gln Thr		
180	185	190
Ala Pro Gly Gly Gln Gly Ala Pro Trp Ala Glu Glu Leu Leu Ala Gly		
195	200	205
Trp Gln Ser Ala Glu Leu Gly Gly Leu His Trp Gly Gln Asp Tyr Glu		
210	215	220
Phe Lys Val Arg Pro Ser Ser Gly Arg Ala Arg Gly Pro Asp Ser Asn		
225	230	235
Val Leu Leu Leu Arg Leu Pro Glu Lys Val Pro Ser Ala Pro Pro Gln		
245	250	255
Glu Val Thr Leu Lys Pro Gly Asn Gly Thr Val Phe Val Ser Trp Val		
260	265	270
Pro Pro Pro Ala Glu Asn His Asn Gly Ile Ile Arg Gly Tyr Gln Val		
275	280	285
Trp Ser Leu Gly Asn Thr Ser Leu Pro Pro Ala Asn Trp Thr Val Val		
290	295	300
Gly Glu Gln Thr Gln Leu Glu Ile Ala Thr His Met Pro Gly Ser Tyr		
305	310	315
Cys Val Gln Val Ala Ala Val Thr Gly Ala Gly Ala Gly Glu Pro Ser		
325	330	335
Arg Pro Val Cys Leu Leu Glu Gln Ala Met Glu Arg Ala Thr Gln		
340	345	350
Glu Pro Ser Glu His Gly Pro Trp Thr Leu Glu Gln Leu Arg Ala Thr		
355	360	365
Leu Lys Arg Pro Glu Val Ile Ala Thr Cys Gly Val Ala Leu Trp Leu		
370	375	380

Leu Leu Leu Gly Thr Ala Val Cys Ile His Arg Arg Arg Arg Ala Arg  
 385 390 395 400  
 Val His Leu Gly Pro Gly Leu Tyr Arg Tyr Thr Ser Glu Asp Ala Ile  
 405 410 415

Leu Lys His Arg Met Asp His Ser Asp Ser Gln Trp Leu Ala Asp Thr  
 420 425 430

Trp Arg Ser Thr Ser Gly Ser Arg Asp Leu Ser Ser Ser Ser Leu  
 435 440 445

Ser Ser Arg Leu Gly Ala Asp Ala Arg Asp Pro Leu Asp Cys Arg Arg  
 450 455 460

Ser Leu Leu Ser Trp Asp Ser Arg Ser Pro Gly Val Pro Leu Leu Pro  
 465 470 475 480

Asp Thr Ser Thr Phe Tyr Gly Ser Leu Ile Ala Glu Leu Pro Ser Ser  
 485 490 495

Thr Pro Ala Arg Pro Ser Pro Gln Val Pro Ala Val Arg Arg Leu Pro  
 500 505 510

Pro Gln Leu Ala Gln Leu Ser Ser Pro Cys Ser Ser Ser Asp Ser Leu  
 515 520 525

Cys Ser Arg Arg Gly Leu Ser Ser Pro Arg Leu Ser Leu Ala Pro Ala  
 530 535 540

Glu Ala Trp Lys Ala Lys Lys Gln Glu Leu Gln His Ala Asn Ser  
 545 550 555 560

Ser Pro Leu Leu Arg Gly Ser His Ser Leu Glu Leu Arg Ala Cys Glu  
 565 570 575

Leu Gly Asn Arg Gly Ser Lys Asn Leu Ser Gln Ser Pro Gly Ala Val  
 580 585 590

Pro Gln Ala Leu Val Ala Trp Arg Ala Leu Gly Pro Lys Leu Ser  
 595 600 605

Ser Ser Asn Glu Leu Val Thr Arg His Leu Pro Pro Ala Pro Leu Phe  
 610 615 620

Pro His Glu Thr Pro Pro Thr Gln Ser Gln Gln Thr Gln Pro Pro Val

625	630	635	640
Ala Pro Gln Ala Pro Ser Ser Ile Leu Leu Pro Ala Ala Pro Ile Pro			
645	650	655	
Ile Leu Ser Pro Cys Ser Pro Pro Ser Pro Gln Ala Ser Ser Leu Ser			
660	665	670	
Gly Pro Ser Pro Ala Ser Ser Arg Leu Ser Ser Ser Leu Ser Ser			
675	680	685	
Leu Gly Glu Asp Gln Asp Ser Val Leu Thr Pro Glu Glu Val Ala Leu			
690	695	700	
Cys Leu Glu Leu Ser Glu Gly Glu Glu Thr Pro Arg Asn Ser Val Ser			
705	710	715	720
Pro Met Pro Arg Ala Pro Ser Pro Pro Thr Thr Tyr Gly Tyr Ile Ser			
725	730	735	
Val Pro Thr Ala Ser Glu Phe Thr Asp Met Gly Arg Thr Gly Gly			
740	745	750	
Val Gly Pro Lys Gly Val Leu Leu Cys Pro Pro Arg Pro Cys Leu			
755	760	765	
Thr Pro Thr Pro Ser Glu Gly Ser Leu Ala Asn Gly Trp Gly Ser Ala			
770	775	780	
Ser Glu Asp Asn Ala Ala Ser Ala Arg Ala Ser Leu Val Ser Ser Ser			
785	790	795	800
Asp Gly Ser Phe Leu Ala Asp Ala His Phe Ala Arg Ala Leu Ala Val			
805	810	815	
Ala Val Asp Ser Phe Gly Phe Gly Leu Glu Pro Arg Glu Ala Asp Cys			
820	825	830	
Val Phe Ile Asp Ala Ser Ser Pro Pro Ser Pro Arg Asp Glu Ile Phe			
835	840	845	
Leu Thr Pro Asn Leu Ser Leu Pro Leu Trp Glu Trp Arg Pro Asp Trp			
850	855	860	
Leu Glu Asp Met Glu Val Ser His Thr Gln Arg Leu Gly Arg Gly Met			
865	870	875	880

Pro Pro Trp Pro Pro Asp Ser Gln Ile Ser Ser Gln Arg Ser Gln Leu

885 890 895

His Cys Arg Met Pro Lys Ala Gly Ala Ser Pro Val Asp Tyr Ser

900 905 910

<210> 9

<211> 2505

<212> DNA

<213> Artificial Sequence

<220><223> FLAG-hROBO4-210na

<400> 9

atgggctctg gaggagacag ctcctcggc ggcagagggtt ccctgcctct gctgctcctg	60
---	----

ctcatcatgg gaggcatggc tgattacaag gatgacgacg ataagaccaa cagcgcagga	120
---	-----

catagggaga gccgcgcgc cgggtttcc atccaggagc cccaggacta cacggagcc	180
--	-----

gtggagcttc tggctgtcg aattcagctg gaaaatgtga cactgctgaa cccggatcct	240
--	-----

gcagaggccc ccaaggcttag accggcggtg tggctcagct ggaaggcag tggccctgct	300
---	-----

gcccctgc aatcttacac ggccttgc aggaccaga ctgccccggg aggccaggga	360
--	-----

gctccgtgg cagaggagct gctggccggc tggcagagcg cagagcttgg aggcctccac	420
--	-----

tggggccaag actacgagtt caaatgtgaga ccatcctctg gccggctcg aggcctgac	480
--	-----

agcaacgtgc tgctcctgag gctgccggaa aaagtgcaca gtgcaccacc tcaggaagt	540
--	-----

actctaaagc ctggcaatgg cactgtctt gtgagctgg tcccaccacc tgctgaaaac	600
---	-----

cacaatggca tcatccgtgg ctaccaggc tggagcctgg gcaacacatc actgccacca	660
--	-----

gccaactgga ctgtagttgg tggcagacc cagctggaaa tggccaccca tatgccagc	720
---	-----

tcctactgca tggcaagtggc tgcagtcact ggtgctggag ctggggagcc cagtagacct	780
--	-----

gtctgcctcc tttagagca ggccatggag cgagccaccc aagaacccag tgagcatgg	840
---	-----

ccctggaccc tggagcagct gagggttacc ttgaaggcgc ctgaggatcat tgccaccc	900
--	-----

ggtgttgcac tctggctgct gcttctggc accgcgtgt gtatccaccg cggcgccga	960
--	-----

gcttaggggc acctggccccc aggtctgtac agatatacca gtgaggatgc catcctaaaa	1020
--	------

cacaggatgg atcacagtga ctcccagtgg ttggcagaca ctggcggtc cacctctggc	1080
--	------

tctcgccacc tggcagcagc cagcagcc tc agcgtcgcc tggggccgg tggccggac	1140
---	------

ccactagact gtcgtcgctc ctggctctcc tggactccc gaagccccc gctggccctg	1200
---	------

cttccagaca ccagcacttt ttatggctcc ctcacgtcg agctgcctc cagtacccca	1260
---	------

gccaggccaa gtccccaggt cccagctgc aggccctcc caccccagct ggcccagtc 1320

tccagccct gttccagctc agacagcctc tgcagccgca gggactctc ttctccccgc 1380  
 ttgtctctgg cccctgcaga ggcttggaa gccaaaaaga gcaggagct gcagcatgcc 1440  
 aacagtccc cactgctcg gggcagccac tccttggagc tccggcctg tgaggtagga 1500  
 aatagagggtt ccaagaacct ttcccaaaggcc ccaggagctg tgcccaaggc tctgggttgc 1560  
 tggcgggccc tgggaccgaa actcctcagc tcctcaaattg agctggttac tcgtcatctc 1620  
 cctccagcac ccctcttcc tcatgaaact ccccaactc agagtcaaca gaccagcct 1680  
 ccggtgtggcac cacaggctcc ctccctccatc ctgctgccag cagccccat cccatcctt 1740

agccctgca gtccccctag ccccccaggcc tcttccctct ctggcccccag cccagcttcc 1800  
 agtcgcctgt ccagctccctc actgtcatcc ctgggggagg atcaagacag cgtgctgacc 1860  
 cctgaggagg tagccctgtg ctggaaactc agtgagggtg aggagactcc caggaacagc 1920  
 gtctctccca tgccaagggc tccttcaccc cccaccaccc atgggtacat cagcgtccca 1980  
 acagcctcag agttcacgga catggcagg actggaggag gggtggggcc caagggggga 2040  
 gtctgtgtgt gcccacctcg gccctgcctc acccccaccc ccagcgaggg ctccttagcc 2100  
 aatggttggg gctcagcctc tgaggacaat gccgcagcg ccagagccag ccttgtcagc 2160

tcctccgatg gtccttcct cgctgatgtc cacttgcggc gggccctggc agtggctgtg 2220  
 gatacgtttgcgtct agagcccagg gaggcagact gcgtcttcat agatgcctca 2280  
 tcacccctt ccccacggga tgagatcttc ctgacccca acctctccct gccctgtgg 2340  
 gagtgaggc cagactgggtt ggaagacatg gaggtcagcc acacccagcg gctggaaagg 2400  
 gggatgcctc cctggccccc tgactctcag atctttccc agagaagtca gtcactgt 2460  
 cgtatgcca aggctggc ttctcctgtta gattactccg cttagc 2505

<210> 10

<211> 835

<212> PRT

<213> Artificial Sequence

<220><223> FLAG-hROBO4-210aa

<400> 10

Met Gly Ser Gly Gly Asp Ser Leu Leu Gly Gly Arg Gly Ser Leu Pro

1	5	10	15
---	---	----	----

Leu Leu Leu Leu Ile Met Gly Gly Met Ala Asp Tyr Lys Asp Asp

20	25	30
----	----	----

Asp Asp Lys Thr Asn Ser Ala Gly His Arg Glu Ser Arg Ala Ala Arg

35 40 45

Val Ser Ile Gln Glu Pro Gln Asp Tyr Thr Glu Pro Val Glu Leu Leu

50 55 60

Ala Val Arg Ile Gln Leu Glu Asn Val Thr Leu Leu Asn Pro Asp Pro

65 70 75 80

Ala Glu Gly Pro Lys Pro Arg Pro Ala Val Trp Leu Ser Trp Lys Val

85 90 95

Ser Gly Pro Ala Ala Pro Ala Gln Ser Tyr Thr Ala Leu Phe Arg Thr

100 105 110

Gln Thr Ala Pro Gly Gly Gln Gly Ala Pro Trp Ala Glu Glu Leu Leu

115 120 125

Ala Gly Trp Gln Ser Ala Glu Leu Gly Leu His Trp Gly Gln Asp

130 135 140

Tyr Glu Phe Lys Val Arg Pro Ser Ser Gly Arg Ala Arg Gly Pro Asp

145 150 155 160

Ser Asn Val Leu Leu Leu Arg Leu Pro Glu Lys Val Pro Ser Ala Pro

165 170 175

Pro Gln Glu Val Thr Leu Lys Pro Gly Asn Gly Thr Val Phe Val Ser

180 185 190

Trp Val Pro Pro Ala Glu Asn His Asn Gly Ile Ile Arg Gly Tyr

195 200 205

Gln Val Trp Ser Leu Gly Asn Thr Ser Leu Pro Pro Ala Asn Trp Thr

210 215 220

Val Val Gly Glu Gln Thr Gln Leu Glu Ile Ala Thr His Met Pro Gly

225 230 235 240

Ser Tyr Cys Val Gln Val Ala Ala Val Thr Gly Ala Gly Ala Gly Glu

245 250 255

Pro Ser Arg Pro Val Cys Leu Leu Leu Glu Gln Ala Met Glu Arg Ala

260 265 270

Thr Gln Glu Pro Ser Glu His Gly Pro Trp Thr Leu Glu Gln Leu Arg

275	280	285
Ala Thr Leu Lys Arg Pro Glu Val Ile Ala Thr Cys Gly Val Ala Leu		
290	295	300
Trp Leu Leu Leu Leu Gly Thr Ala Val Cys Ile His Arg Arg Arg Arg		
305	310	315
Ala Arg Val His Leu Gly Pro Gly Leu Tyr Arg Tyr Thr Ser Glu Asp		
325	330	335
Ala Ile Leu Lys His Arg Met Asp His Ser Asp Ser Gln Trp Leu Ala		
340	345	350
Asp Thr Trp Arg Ser Thr Ser Gly Ser Arg Asp Leu Ser Ser Ser Ser		
355	360	365
Ser Leu Ser Ser Arg Leu Gly Ala Asp Ala Arg Asp Pro Leu Asp Cys		
370	375	380
Arg Arg Ser Leu Leu Ser Trp Asp Ser Arg Ser Pro Gly Val Pro Leu		
385	390	395
Leu Pro Asp Thr Ser Thr Phe Tyr Gly Ser Leu Ile Ala Glu Leu Pro		
405	410	415
Ser Ser Thr Pro Ala Arg Pro Ser Pro Gln Val Pro Ala Val Arg Arg		
420	425	430
Leu Pro Pro Gln Leu Ala Gln Leu Ser Ser Pro Cys Ser Ser Ser Asp		
435	440	445
Ser Leu Cys Ser Arg Arg Gly Leu Ser Ser Pro Arg Leu Ser Leu Ala		
450	455	460
Pro Ala Glu Ala Trp Lys Ala Lys Lys Gln Glu Leu Gln His Ala		
465	470	475
Asn Ser Ser Pro Leu Leu Arg Gly Ser His Ser Leu Glu Leu Arg Ala		
485	490	495
Cys Glu Leu Gly Asn Arg Gly Ser Lys Asn Leu Ser Gln Ser Pro Gly		
500	505	510
Ala Val Pro Gln Ala Leu Val Ala Trp Arg Ala Leu Gly Pro Lys Leu		
515	520	525

Leu Ser Ser Ser Asn Glu Leu Val Thr Arg His Leu Pro Pro Ala Pro  
 530 535 540  
 Leu Phe Pro His Glu Thr Pro Pro Thr Gln Ser Gln Gln Thr Gln Pro  
 545 550 555 560  
 Pro Val Ala Pro Gln Ala Pro Ser Ser Ile Leu Leu Pro Ala Ala Pro  
 565 570 575  
  
 Ile Pro Ile Leu Ser Pro Cys Ser Pro Pro Ser Pro Gln Ala Ser Ser  
 580 585 590  
 Leu Ser Gly Pro Ser Pro Ala Ser Ser Arg Leu Ser Ser Ser Leu  
 595 600 605  
 Ser Ser Leu Gly Glu Asp Gln Asp Ser Val Leu Thr Pro Glu Glu Val  
 610 615 620  
 Ala Leu Cys Leu Glu Leu Ser Glu Gly Glu Glu Thr Pro Arg Asn Ser  
 625 630 635 640  
  
 Val Ser Pro Met Pro Arg Ala Pro Ser Pro Pro Thr Thr Tyr Gly Tyr  
 645 650 655  
 Ile Ser Val Pro Thr Ala Ser Glu Phe Thr Asp Met Gly Arg Thr Gly  
 660 665 670  
 Gly Gly Val Gly Pro Lys Gly Gly Val Leu Leu Cys Pro Pro Arg Pro  
 675 680 685  
 Cys Leu Thr Pro Thr Pro Ser Glu Gly Ser Leu Ala Asn Gly Trp Gly  
 690 695 700  
  
 Ser Ala Ser Glu Asp Asn Ala Ala Ser Ala Arg Ala Ser Leu Val Ser  
 705 710 715 720  
 Ser Ser Asp Gly Ser Phe Leu Ala Asp Ala His Phe Ala Arg Ala Leu  
 725 730 735  
 Ala Val Ala Val Asp Ser Phe Gly Phe Gly Leu Glu Pro Arg Glu Ala  
 740 745 750  
 Asp Cys Val Phe Ile Asp Ala Ser Ser Pro Pro Ser Pro Arg Asp Glu  
 755 760 765  
  
 Ile Phe Leu Thr Pro Asn Leu Ser Leu Pro Leu Trp Glu Trp Arg Pro

770	775	780
Asp Trp Leu Glu Asp Met Glu Val Ser His Thr Gln Arg Leu Gly Arg		
785	790	795
Gly Met Pro Pro Trp Pro Pro Asp Ser Gln Ile Ser Ser Gln Arg Ser		
805	810	815
Gln Leu His Cys Arg Met Pro Lys Ala Gly Ala Ser Pro Val Asp Tyr		
820	825	830

Ser Ala Ser

835

<210> 11

<211> 2454

<212> DNA

<213> Artificial Sequence

<220><223> FLAG-hROBO4-225na

<400> 11

atgggctctg gaggagacag ctcctcggc ggcagagggt ccctgcctct gctgctctg	60
ctcatcatgg gaggcatggc tgattacaag gatgacgacg ataagatcca ggagccccag	120
gactacacgg agcctgtgga gcttctggct gtgcgaattc agctggaaaa tgtgacactg	180
ctgaaccgg atcctgcaga gggccccaag cctagacccgg cggtgtggct cagctggaag	240
gtcagtggcc ctgctgcgcc tgcccaatct tacacggcct tggcaggac ccagactgcc	300

ccgggaggcc agggagctcc gtggcagag gagctgctgg ccggctggca gagcgcagag	360
cttggaggcc tccactgggg ccaagactac gagttcaaag tgagaccatc ctctggccgg	420
gctcgaggcc ctgacagcaa cgtgctgctc ctgaggctgc cgaaaaagt gcccagtgcc	480
ccacacctagg aagtgactct aaagcctggc aatggcactg tctttgtgag ctgggtccca	540
ccacacctgtg aaaaccacaa tggcatcatc cgtggctacc aggtctggag cctggcaac	600
acatcaactgc caccagccaa ctggactgta gtttgtgagc agacccagct gaaaatcgcc	660
acccatatgc caggctccta ctgcgtgcaa gtggctgcag tcactggtg tggagctgg	720

gagcccagta gacctgtctg ctcctttta gagcaggcca tggagcgagc cacccaaagaa	780
cccaatgagc atggccctg gaccctggag cagctgaggg ctaccttcaa gcggcctgag	840
gtcattgcca cctgcggtgt tgcactctgg ctgctgcttc tggcacccgc cgtgtatc	900
caccgcggc gccgagctag ggtgcacctg ggcccaggc tgtacagata taccagttag	960
gatgccatcc taaaacacag gatggatcac agtgactccc agtggttggc agacacttgg	1020

cgttccacct ctggctctcg ggacctgagc agcagcagca gcctcagcag tcggctgggg	1080
gcggatgcc gggaccact agactgtcgt cgctccttc tctctggga ctcccgaagc	1140
cccgccgtgc ccctgttcc agacaccaggc acttttatg gtcctcat cgctgagctg	1200
ccctccagta ccccaagccag gcacaagtccc caggteccag ctgtcaggcg cctccaccc	1260
cagctggccc agctctccag cccctgttcc agctcagaca gcctctgcag ccgcaggggaa	1320
ctctcttctc cccgcttgta tctggccct gcagaggcgtt ggaaggccaa aaagaagcag	1380
gagctgcagc atgccaacag ttccccactg ctccgggca gccactcctt ggagctccgg	1440
gcctgtgagt taggaatag aggttccaag aaccttccc aaagcccagg agctgtgccc	1500
caagctctgg ttgcctggcg ggccctggga cggaaaactcc tcagctcctc aaatgagctg	1560
gttactcgta atctccctcc agcacccctc tttccatg aaactcccc aactcagagt	1620
caacagaccc agcctccgggt ggcaccacag gtcctcctt ccattctgtt gccagcagcc	1680
cccatccccca tccttagcccc ctgcagttccc cctagcccc aggctcttc cctctctggc	1740
cccagcccaag ctccagtcg cctgtccagc tcctactgt catccctggg ggaggatcaa	1800
gacagcgtgc tgaccctga ggaggttagcc ctgtgttgg aactcagtga gggtgaggag	1860
actcccagga acagcgtctc tccatgcca agggctcctt cacccccac cacatatggg	1920
tacatcagcg tcccaaacagc ctcagagttc acggacatgg gcaggactgg aggaggggtg	1980
gggccaagg ggggagtctt gctgtgcccc cctcgccct gcctcacccc cacccccagg	2040
gagggtcct tagccatgg ttggggctca gcctctgagg acaatgccgc cagggccaga	2100
gccagccttg tcagctcctc cgtggctcc ttccctcgctg atgtcactt tgccgggccc	2160
ctggcagtgg ctgtggatag ctttggttc ggtctagagc ccagggaggc agactgcgtc	2220
ttcatagatg cctcatcacc tccctccccca cgggatgaga tcttcctgac ccccaacctc	2280
tccctgcccc tggggagtg gaggccagac tgggtggaaag acatggaggt cagccacacc	2340
cagggctgg gaagggggat gcctccctgg cccctgact ctcagatctc ttcccagaga	2400
agtcagetcc actgtcgat gccaaaggct ggtgttttc ctgttagatta ctcc	2454
<210> 12	
<211> 818	
<212> PRT	
<213> Artificial Sequence	
<220><223> FLAG-hROB04-225aa	
<400> 12	
Met Gly Ser Gly Gly Asp Ser Leu Leu Gly Gly Arg Gly Ser Leu Pro	

1	5	10	15
Leu Leu Leu Leu Leu Ile Met Gly Gly Met Ala Asp Tyr Lys Asp Asp			
20	25	30	
Asp Asp Lys Ile Gln Glu Pro Gln Asp Tyr Thr Glu Pro Val Glu Leu			
35	40	45	
Leu Ala Val Arg Ile Gln Leu Glu Asn Val Thr Leu Leu Asn Pro Asp			
50	55	60	
Pro Ala Glu Gly Pro Lys Pro Arg Pro Ala Val Trp Leu Ser Trp Lys			
65	70	75	80
Val Ser Gly Pro Ala Ala Pro Ala Gln Ser Tyr Thr Ala Leu Phe Arg			
85	90	95	
Thr Gln Thr Ala Pro Gly Gln Gly Ala Pro Trp Ala Glu Glu Leu			
100	105	110	
Leu Ala Gly Trp Gln Ser Ala Glu Leu Gly Leu His Trp Gly Gln			
115	120	125	
Asp Tyr Glu Phe Lys Val Arg Pro Ser Ser Gly Arg Ala Arg Gly Pro			
130	135	140	
Asp Ser Asn Val Leu Leu Arg Leu Pro Glu Lys Val Pro Ser Ala			
145	150	155	160
Pro Pro Gln Glu Val Thr Leu Lys Pro Gly Asn Gly Thr Val Phe Val			
165	170	175	
Ser Trp Val Pro Pro Ala Glu Asn His Asn Gly Ile Ile Arg Gly			
180	185	190	
Tyr Gln Val Trp Ser Leu Gly Asn Thr Ser Leu Pro Pro Ala Asn Trp			
195	200	205	
Thr Val Val Gly Glu Gln Thr Gln Leu Glu Ile Ala Thr His Met Pro			
210	215	220	
Gly Ser Tyr Cys Val Gln Val Ala Ala Val Thr Gly Ala Gly Ala Gly			
225	230	235	240
Glu Pro Ser Arg Pro Val Cys Leu Leu Leu Glu Gln Ala Met Glu Arg			
245	250	255	

Ala Thr Gln Glu Pro Ser Glu His Gly Pro Trp Thr Leu Glu Gln Leu  
 260 265 270  
 Arg Ala Thr Leu Lys Arg Pro Glu Val Ile Ala Thr Cys Gly Val Ala  
 275 280 285  
 Leu Trp Leu Leu Leu Gly Thr Ala Val Cys Ile His Arg Arg Arg  
 290 295 300  
 Arg Ala Arg Val His Leu Gly Pro Gly Leu Tyr Arg Tyr Thr Ser Glu  
 305 310 315 320  
 Asp Ala Ile Leu Lys His Arg Met Asp His Ser Asp Ser Gln Trp Leu  
 325 330 335  
 Ala Asp Thr Trp Arg Ser Thr Ser Gly Ser Arg Asp Leu Ser Ser Ser  
 340 345 350  
 Ser Ser Leu Ser Ser Arg Leu Gly Ala Asp Ala Arg Asp Pro Leu Asp  
 355 360 365  
 Cys Arg Arg Ser Leu Leu Ser Trp Asp Ser Arg Ser Pro Gly Val Pro  
 370 375 380  
 Leu Leu Pro Asp Thr Ser Thr Phe Tyr Gly Ser Leu Ile Ala Glu Leu  
 385 390 395 400  
 Pro Ser Ser Thr Pro Ala Arg Pro Ser Pro Gln Val Pro Ala Val Arg  
 405 410 415  
 Arg Leu Pro Pro Gln Leu Ala Gln Leu Ser Ser Pro Cys Ser Ser Ser  
 420 425 430  
 Asp Ser Leu Cys Ser Arg Arg Gly Leu Ser Ser Pro Arg Leu Ser Leu  
 435 440 445  
 Ala Pro Ala Glu Ala Trp Lys Ala Lys Lys Gln Glu Leu Gln His  
 450 455 460  
 Ala Asn Ser Ser Pro Leu Leu Arg Gly Ser His Ser Leu Glu Leu Arg  
 465 470 475 480  
 Ala Cys Glu Leu Gly Asn Arg Gly Ser Lys Asn Leu Ser Gln Ser Pro  
 485 490 495  
 Gly Ala Val Pro Gln Ala Leu Val Ala Trp Arg Ala Leu Gly Pro Lys

500	505	510
Leu Leu Ser Ser Ser Asn Glu Leu Val Thr Arg His Leu Pro Pro Ala		
515	520	525
Pro Leu Phe Pro His Glu Thr Pro Pro Thr Gln Ser Gln Gln Thr Gln		
530	535	540
Pro Pro Val Ala Pro Gln Ala Pro Ser Ser Ile Leu Leu Pro Ala Ala		
545	550	555
Pro Ile Pro Ile Leu Ser Pro Cys Ser Pro Pro Ser Pro Gln Ala Ser		
565	570	575
Ser Leu Ser Gly Pro Ser Pro Ala Ser Ser Arg Leu Ser Ser Ser Ser		
580	585	590
Leu Ser Ser Leu Gly Glu Asp Gln Asp Ser Val Leu Thr Pro Glu Glu		
595	600	605
Val Ala Leu Cys Leu Glu Leu Ser Glu Gly Glu Glu Thr Pro Arg Asn		
610	615	620
Ser Val Ser Pro Met Pro Arg Ala Pro Ser Pro Pro Thr Thr Tyr Gly		
625	630	635
Tyr Ile Ser Val Pro Thr Ala Ser Glu Phe Thr Asp Met Gly Arg Thr		
645	650	655
Gly Gly Gly Val Gly Pro Lys Gly Gly Val Leu Leu Cys Pro Pro Arg		
660	665	670
Pro Cys Leu Thr Pro Thr Pro Ser Glu Gly Ser Leu Ala Asn Gly Trp		
675	680	685
Gly Ser Ala Ser Glu Asp Asn Ala Ala Ser Ala Arg Ala Ser Leu Val		
690	695	700
Ser Ser Ser Asp Gly Ser Phe Leu Ala Asp Ala His Phe Ala Arg Ala		
705	710	715
Leu Ala Val Ala Val Asp Ser Phe Gly Phe Gly Leu Glu Pro Arg Glu		
725	730	735
Ala Asp Cys Val Phe Ile Asp Ala Ser Ser Pro Pro Ser Pro Arg Asp		
740	745	750

Glu Ile Phe Leu Thr Pro Asn Leu Ser Leu Pro Leu Trp Glu Trp Arg

755

760

765

Pro Asp Trp Leu Glu Asp Met Glu Val Ser His Thr Gln Arg Leu Gly

770

775

780

Arg Gly Met Pro Pro Trp Pro Pro Asp Ser Gln Ile Ser Ser Gln Arg

785

790

795

800

Ser Gln Leu His Cys Arg Met Pro Lys Ala Gly Ala Ser Pro Val Asp

805

810

815

Tyr Ser

&lt;210&gt; 13

&lt;211&gt; 2106

&lt;212&gt; DNA

&lt;213&gt; Artificial Sequence

&lt;220&gt;&lt;223&gt; FLAG-hROB04-341na

&lt;400&gt; 13

atgggctctg gaggagacag ctcctcgcc ggcagagggt ccctgcctct gctgctcctg	60
ctcatcatgg gaggcatggc tgattacaag gatgacgacg ataagaggct gccggaaaaaa	120
gtgcccaagt ccccaccta ggaagtgact ctaaaggctg gcaatggcac tgtcttgg	180
agctgggtcc caccacctgc taaaaccac aatggcatca tccgtggcta ccaggtctgg	240
agcctggca acacatcaact gccaccagcc aactggactg tagtttgtga gcagaccagg	300

ctggaaatcg ccacccatat gccaggctcc tactgcgtgc aagtggctgc agtcaactgg	360
gctggagctg gggagcccag tagacctgtc tgcctcctt tagagcaggc catggagcga	420
gccacccaag aacctgtga gcatggtccc tggaccctgg agcagctgag ggctaccc	480
aagccgcctg aggtcattgc cacctgcgtt gttgcactct ggctgcgtct tctggcacc	540
gccgtgtgt tccaccgcgc gcccggagct agggtgcacc tggcccccagg tctgtacaga	600
tataccagtg aggtgccccat cctaaaacac aggtggatc acagtgactc ccagtggttg	660
gcagacactt ggcgttccac ctctggctct cgggacactga gcagcagcag cagcctcage	720

agtccgtgg gggcgatgc cgggaccca ctagactgtc gtgcgtcctt gctccctgg	780
gactccgaa gcccggcgt gcccctgtt ccagacacca gcactttta tggctccctc	840
atcgctgagc tgcctccag tacccagcc aggccaagtc cccaggccc agctgtcagg	900
cgcctccac cccagctggc ccagctctcc agccctgtt ccagctcaga cagcctctgc	960

agccgcaggg gactctttc tccccgtt tctctggccc ctgcagaggc ttggaaggcc 1020  
 aaaaagaagc aggagctgca gcatgccaac agttcccac tgctccggg cagccactcc 1080  
 ttggagctcc gggctgtga gtaggaaat agaggttcca agaaccttc ccaaagccca 1140

ggagctgtgc cccaagctct gggtgcctgg cgggcctgg gaccgaaact cctcagctcc 1200  
 tcaaatacgac tggtaactcg tcatctccct ccagcacccc tcttcctca tgaaactccc 1260  
 ccaactcaga gtcaacagac ccagcctccg gtggcaccac aggctccctc ctccatcctg 1320  
 ctgccagcag ccccatccc catccttagc ccctgcagtc cccctagccc ccaggcctct 1380  
 tccctctcg gccccagccc agcttccagt cgccgttcca gtcctctact gtcatccctg 1440  
 ggggaggatc aagacagcgt gctgaccctt gaggaggtt ccctgtgctt ggaactcagt 1500  
 gaggttgagg agactcccgag gaacagcgtc tctccatgc caaggctcc ttccacccccc 1560

accacctatg ggtacatcag cgtcccaaca gcctcagagt tcacggacat gggcaggact 1620  
 ggaggagggg tggggccaa ggggggagtc ttgctgtgcc cacctcgcc ctgcctcacc 1680  
 cccaccccca gcgagggctc cttagccat ggttgggct cagcctctga ggacaatgcc 1740  
 gccagcgcga gagccagct tgcgtcgtcc tccgatggct cttccctcgc tgcgtcgtcac 1800  
 tttggccggg ccctggcagt ggctgtggat agcttgggt tcgggtctaga gcccaggag 1860  
 gcagactgcg tttcataga tgcctcatca cctccctccc cacggatga gatttcttg 1920  
 acccccaacc tctccctgcc cctgtggag tggaggccag actgggttggaa agacatggag 1980

gtcagccaca cccagcggct gggaaaggggg atgcctccct ggccccctga ctctcagatc 2040  
 tcttccaga gaagtcagct ccactgtcgt atgccaagg ctgggtcttc tcctgttagat 2100  
 tactcc 2106

&lt;210&gt; 14

&lt;211&gt; 702

&lt;212&gt; PRT

&lt;213&gt; Artificial Sequence

&lt;220&gt;&lt;223&gt; FLAG-hROB04-341aa

&lt;400&gt; 14

Met Gly Ser Gly Gly Asp Ser Leu Leu Gly Arg Gly Ser Leu Pro

1 5 10 15

Leu Leu Leu Leu Ile Met Gly Gly Met Ala Asp Tyr Lys Asp Asp

20 25 30

Asp Asp Lys Arg Leu Pro Glu Lys Val Pro Ser Ala Pro Pro Gln Glu

35                    40                    45

Val Thr Leu Lys Pro Gly Asn Gly Thr Val Phe Val Ser Trp Val Pro  
 50                    55                    60  
 Pro Pro Ala Glu Asn His Asn Gly Ile Ile Arg Gly Tyr Gln Val Trp  
 65                    70                    75                    80  
 Ser Leu Gly Asn Thr Ser Leu Pro Pro Ala Asn Trp Thr Val Val Gly

85                    90                    95

Glu Gln Thr Gln Leu Glu Ile Ala Thr His Met Pro Gly Ser Tyr Cys  
 100                    105                    110  
 Val Gln Val Ala Ala Val Thr Gly Ala Gly Glu Pro Ser Arg  
 115                    120                    125  
 Pro Val Cys Leu Leu Leu Glu Gln Ala Met Glu Arg Ala Thr Gln Glu  
 130                    135                    140  
 Pro Ser Glu His Gly Pro Trp Thr Leu Glu Gln Leu Arg Ala Thr Leu

145                    150                    155                    160  
 Lys Arg Pro Glu Val Ile Ala Thr Cys Gly Val Ala Leu Trp Leu Leu  
 165                    170                    175  
 Leu Leu Gly Thr Ala Val Cys Ile His Arg Arg Arg Ala Arg Val  
 180                    185                    190

His Leu Gly Pro Gly Leu Tyr Arg Tyr Thr Ser Glu Asp Ala Ile Leu  
 195                    200                    205  
 Lys His Arg Met Asp His Ser Asp Ser Gln Trp Leu Ala Asp Thr Trp

210                    215                    220

Arg Ser Thr Ser Gly Ser Arg Asp Leu Ser Ser Ser Ser Leu Ser  
 225                    230                    235                    240  
 Ser Arg Leu Gly Ala Asp Ala Arg Asp Pro Leu Asp Cys Arg Arg Ser  
 245                    250                    255  
 Leu Leu Ser Trp Asp Ser Arg Ser Pro Gly Val Pro Leu Leu Pro Asp  
 260                    265                    270

Thr Ser Thr Phe Tyr Gly Ser Leu Ile Ala Glu Leu Pro Ser Ser Thr

275                    280                    285

Pro Ala Arg Pro Ser Pro Gln Val Pro Ala Val Arg Arg Leu Pro Pro  
 290 295 300  
 Gln Leu Ala Gln Leu Ser Ser Pro Cys Ser Ser Ser Asp Ser Leu Cys  
 305 310 315 320  
 Ser Arg Arg Gly Leu Ser Ser Pro Arg Leu Ser Leu Ala Pro Ala Glu  
 325 330 335  
 Ala Trp Lys Ala Lys Lys Gln Glu Leu Gln His Ala Asn Ser Ser  
 340 345 350  
 Pro Leu Leu Arg Gly Ser His Ser Leu Glu Leu Arg Ala Cys Glu Leu  
 355 360 365  
 Gly Asn Arg Gly Ser Lys Asn Leu Ser Gln Ser Pro Gly Ala Val Pro  
 370 375 380  
 Gln Ala Leu Val Ala Trp Arg Ala Leu Gly Pro Lys Leu Leu Ser Ser  
 385 390 395 400  
 Ser Asn Glu Leu Val Thr Arg His Leu Pro Pro Ala Pro Leu Phe Pro  
 405 410 415  
 His Glu Thr Pro Pro Thr Gln Ser Gln Gln Thr Gln Pro Pro Val Ala  
 420 425 430  
 Pro Gln Ala Pro Ser Ser Ile Leu Leu Pro Ala Ala Pro Ile Pro Ile  
 435 440 445  
 Leu Ser Pro Cys Ser Pro Pro Ser Pro Gln Ala Ser Ser Leu Ser Gly  
 450 455 460  
 Pro Ser Pro Ala Ser Ser Arg Leu Ser Ser Ser Leu Ser Ser Leu  
 465 470 475 480  
 Gly Glu Asp Gln Asp Ser Val Leu Thr Pro Glu Glu Val Ala Leu Cys  
 485 490 495  
 Leu Glu Leu Ser Glu Gly Glu Glu Thr Pro Arg Asn Ser Val Ser Pro  
 500 505 510  
 Met Pro Arg Ala Pro Ser Pro Pro Thr Thr Tyr Gly Tyr Ile Ser Val  
 515 520 525  
 Pro Thr Ala Ser Glu Phe Thr Asp Met Gly Arg Thr Gly Gly Val

530	535	540
Gly Pro Lys Gly Gly Val Leu Leu Cys Pro Pro Arg Pro Cys Leu Thr		
545	550	555
Pro Thr Pro Ser Glu Gly Ser Leu Ala Asn Gly Trp Gly Ser Ala Ser		
565	570	575
Glu Asp Asn Ala Ala Ser Ala Arg Ala Ser Leu Val Ser Ser Ser Asp		
580	585	590
Gly Ser Phe Leu Ala Asp Ala His Phe Ala Arg Ala Leu Ala Val Ala		
595	600	605
Val Asp Ser Phe Gly Phe Gly Leu Glu Pro Arg Glu Ala Asp Cys Val		
610	615	620
Phe Ile Asp Ala Ser Ser Pro Pro Ser Pro Arg Asp Glu Ile Phe Leu		
625	630	635
Thr Pro Asn Leu Ser Leu Pro Leu Trp Glu Trp Arg Pro Asp Trp Leu		
645	650	655
Glu Asp Met Glu Val Ser His Thr Gln Arg Leu Gly Arg Gly Met Pro		
660	665	670
Pro Trp Pro Pro Asp Ser Gln Ile Ser Ser Gln Arg Ser Gln Leu His		
675	680	685
Cys Arg Met Pro Lys Ala Gly Ala Ser Pro Val Asp Tyr Ser		
690	695	700
<210> 15		
<211> 3045		
<212> DNA		
<213> Mus musculus		
<400> 15		
atgggacaag gagaggagcc gagagcagcc atgggctctg gaggaacggg cctcctgggg 60		
acggagtggc ctctgcctct gctgctgctt ttcatcatgg gaggtgaggc tctggattct 120		
ccacccaga tcctagttca cccccaggac cagctacttc agggctctgg cccagccaag 180		
atgaggtgca gatcatccgg ccaaccacct cccactatcc gctggctgct gaatggcag 240		
cccctcagca tggccacccc agacctacat tacctttgc cggtatgggac cctcctgtta 300		
catcgccct ctgtccaggg acggccacaa gatgaccaga acatcctctc agcaatcctg 360		

ggtgtctaca catgtgaggc cagcaaccgg ctggcacag cagtggccg ggggtgttagg	420
ctgtctgtgg ctgcctcca ggaggacttc cagatccaac ctggcacac agtggccgtg	480
gtgggagaga gcttggttct tgagtgtggt cctccctggg gctacccaaa accctcggtc	540
tcatggtgga aagacggaa acccctggc ctccagccag ggaggcgac agtatctgg	600
gattccctga tgggtcaag agcagagaag aatgactcg ggacctatat gtgtatgcc	660
accaacaatg ctggcaacg ggagagccga gcagccaggg tgtctatcca ggaatcccag	720
gaccacaagg aacatctaga gettctggct gttcgatc agctggaaaa tgtgaccctg	780
ctaaaccccg aacctgtaaa aggtcccaag cctggccat ccgtgtggct cagctgaaag	840
gtgagcggcc ctgctgcacc tgctgatca tacacagctc ttttcaggac tcagagggcc	900
cccagggacc aaggatctcc atggacagag gtgctgctgc gtggcttgca gagtgcaaag	960
cttgggggtc tccactgggg ccaagactat gaattcaaag tgagaccgtc ctccggccgg	1020
gctcgaggcc ctgacagcaa tgtgttgctc ctgaggctgc ctgaacaggt gcccagtgcc	1080
ccacctaag gagtgacctt aagatctggc aacggtagtg tctttgtgag ttggctcca	1140
ccacctgctg aaagccataa tgggtcatc cgtggattacc aggtctggag cctggcaat	1200
gcctcattgc ctgctgcca ctggaccgt a gtgggtgaac agacccagct ggagatcgcc	1260
acacgactgc caggctcta ttgtgtgca gtggctgcag tcactggagc ttggctgga	1320
gaacttagta cccctgtctg cctccttta gaggcaggcca tggagcaatc agcacgagac	1380
cccagggaaac atttccctg gaccctggaa cagctgaggg ccacctttag acgaccagaa	1440
gtcattgcca gtatgtgt cctactctgg ttgctgctac taggcattac tgtgtgtatc	1500
tacagacgac gcaaagctgg ggtgcacccg gcccaggc tgtacagata caccagcgag	1560
gacccattc taaaacacag gatggaccac agtgactccc catggctggc agacacctgg	1620
cgttccacct ctggctctcg agacctgagc agcagcagca gccttagtag tcggctggga	1680
ttggaccctc gggacccact agagggcagg cgctcttga tctccctggga ccctcgagc	1740
cccggtgtac ccctgcttcc agacacgagc acgtttacg gtccttcat tgagcagcag	1800
ccttcagcc ctccagtcg gccaagcccc aagacaccag ctgcttaggcg ctccatcc	1860
aagtggctg gaacctccag cccctggct agcttagata gtctctgcag ccgcagggg	1920
ctctgttccc cacgcatgtc tctgaccct acagaggctt ggaaggccaa aaagaagcag	1980
gaattgcacc aagctaacag ctccccactg ctccggggca gccacccat gggaaatctgg	2040
gcctgggagt tggaaagcag agcctccaag aaccttctc aaagcccagg agaagcgccc	2100
cgagccgtgg tatcctggcg tgctgtggga ccacaactc accgcaactc cagtggatcg	2160

gcatctcgta cactccctcc aacaccctt tctttcgta gagttccag tcatgacca 2220

cagagccagt gtgtggagaa gtcacaagct ccctctcg acccactgcc agcagccct 2280

ctctccgtcc tcaactcttc cagacctcc agccccagg cctttctt ctccgtcct 2340

agccatcct ccagcaacct gtccagctcc tcgctgtcat ctttagagga ggaggaggat 2400

caggacacgc tgctcacccc cgaggaggtt gccctgtgtc tggagctc tgatggggag 2460

gagacaccca cgaacagtgt atctcctatg ccaagagctc ctccccgcc aacaacctat 2520

ggctatatca gcataccaac ctgctcagga ctggcagaca tggcagagc tggcggggc 2580

gtgggtctg agttggaa cttactgtat ccacctcggc cctgccccac ccctacaccc 2640

agcgagggtt ccctggccaa tggggggc tcagttctg aggacaatgt cccagcgcc 2700

aggcccagcc tggtagctc ttctgatggc tccttcctcg ctgataactca ctggctcgt 2760

gccctggcag tggctgtgga tagcttggc ctcaagtctgg atcccaggaa agctgactgt 2820

gtcttcactg atgcctcatc acctccctcc cctcggggtg atctccctt gaccgaaagc 2880

ttctctgc ctttgtgga gtggaggcca gactgggtgg aagatgctga gatcagccac 2940

acccagaggc tggggagggg gtcgcctccc tggcctctg attctaggc ctctccag 3000

cgaagttggc taactggc tggccaaag gctggtgatt cctcc 3045

<210> 16

<211> 1015

<212> PRT

<213> Mus musculus

<400> 16

Met Gly Gln Gly Glu Pro Arg Ala Ala Met Gly Ser Gly Thr

1 5 10 15

Gly Leu Leu Gly Thr Glu Trp Pro Leu Pro Leu Leu Leu Phe Ile

20 25 30

Met Gly Gly Glu Ala Leu Asp Ser Pro Pro Gln Ile Leu Val His Pro

35 40 45

Gln Asp Gln Leu Leu Gln Gly Ser Gly Pro Ala Lys Met Arg Cys Arg

50 55 60

Ser Ser Gly Gln Pro Pro Pro Thr Ile Arg Trp Leu Leu Asn Gly Gln

65 70 75 80

Pro Leu Ser Met Ala Thr Pro Asp Leu His Tyr Leu Leu Pro Asp Gly

85	90	95
Thr Leu Leu Leu His Arg Pro Ser Val Gln Gly Arg Pro Gln Asp Asp		
100	105	110
Gln Asn Ile Leu Ser Ala Ile Leu Gly Val Tyr Thr Cys Glu Ala Ser		
115	120	125
Asn Arg Leu Gly Thr Ala Val Ser Arg Gly Ala Arg Leu Ser Val Ala		
130	135	140
Val Leu Gln Glu Asp Phe Gln Ile Gln Pro Arg Asp Thr Val Ala Val		
145	150	155
Val Gly Glu Ser Leu Val Leu Glu Cys Gly Pro Pro Trp Gly Tyr Pro		
165	170	175
Lys Pro Ser Val Ser Trp Trp Lys Asp Gly Lys Pro Leu Val Leu Gln		
180	185	190
Pro Gly Arg Arg Thr Val Ser Gly Asp Ser Leu Met Val Ser Arg Ala		
195	200	205
Glu Lys Asn Asp Ser Gly Thr Tyr Met Cys Met Ala Thr Asn Asn Ala		
210	215	220
Gly Gln Arg Glu Ser Arg Ala Ala Arg Val Ser Ile Gln Glu Ser Gln		
225	230	235
Asp His Lys Glu His Leu Glu Leu Leu Ala Val Arg Ile Gln Leu Glu		
245	250	255
Asn Val Thr Leu Leu Asn Pro Glu Pro Val Lys Gly Pro Lys Pro Gly		
260	265	270
Pro Ser Val Trp Leu Ser Trp Lys Val Ser Gly Pro Ala Ala Pro Ala		
275	280	285
Glu Ser Tyr Thr Ala Leu Phe Arg Thr Gln Arg Ser Pro Arg Asp Gln		
290	295	300
Gly Ser Pro Trp Thr Glu Val Leu Leu Arg Gly Leu Gln Ser Ala Lys		
305	310	315
Leu Gly Gly Leu His Trp Gly Gln Asp Tyr Glu Phe Lys Val Arg Pro		
325	330	335

Ser Ser Gly Arg Ala Arg Gly Pro Asp Ser Asn Val Leu Leu Leu Arg  
 340 345 350  
 Leu Pro Glu Gln Val Pro Ser Ala Pro Pro Gln Gly Val Thr Leu Arg  
 355 360 365  
 Ser Gly Asn Gly Ser Val Phe Val Ser Trp Ala Pro Pro Pro Ala Glu  
 370 375 380  
 Ser His Asn Gly Val Ile Arg Gly Tyr Gln Val Trp Ser Leu Gly Asn  
 385 390 395 400  
 Ala Ser Leu Pro Ala Ala Asn Trp Thr Val Val Gly Glu Gln Thr Gln  
 405 410 415  
 Leu Glu Ile Ala Thr Arg Leu Pro Gly Ser Tyr Cys Val Gln Val Ala  
 420 425 430  
 Ala Val Thr Gly Ala Gly Ala Glu Leu Ser Thr Pro Val Cys Leu  
 435 440 445  
 Leu Leu Glu Gln Ala Met Glu Gln Ser Ala Arg Asp Pro Arg Lys His  
 450 455 460  
 Val Pro Trp Thr Leu Glu Gln Leu Arg Ala Thr Leu Arg Arg Pro Glu  
 465 470 475 480  
 Val Ile Ala Ser Ser Ala Val Leu Leu Trp Leu Leu Leu Gly Ile  
 485 490 495  
 Thr Val Cys Ile Tyr Arg Arg Lys Ala Gly Val His Leu Gly Pro  
 500 505 510  
 Gly Leu Tyr Arg Tyr Thr Ser Glu Asp Ala Ile Leu Lys His Arg Met  
 515 520 525  
 Asp His Ser Asp Ser Pro Trp Leu Ala Asp Thr Trp Arg Ser Thr Ser  
 530 535 540  
 Gly Ser Arg Asp Leu Ser Ser Ser Ser Leu Ser Ser Arg Leu Gly  
 545 550 555 560  
 Leu Asp Pro Arg Asp Pro Leu Glu Gly Arg Arg Ser Leu Ile Ser Trp  
 565 570 575  
 Asp Pro Arg Ser Pro Gly Val Pro Leu Leu Pro Asp Thr Ser Thr Phe

580	585	590
Tyr Gly Ser Leu Ile Ala Glu Gln Pro Ser Ser Pro Pro Val Arg Pro		
595	600	605
Ser Pro Lys Thr Pro Ala Ala Arg Arg Phe Pro Ser Lys Leu Ala Gly		
610	615	620
Thr Ser Ser Pro Trp Ala Ser Ser Asp Ser Leu Cys Ser Arg Arg Gly		
625	630	635
Leu Cys Ser Pro Arg Met Ser Leu Thr Pro Thr Glu Ala Trp Lys Ala		
645	650	655
Lys Lys Lys Gln Glu Leu His Gln Ala Asn Ser Ser Pro Leu Leu Arg		
660	665	670
Gly Ser His Pro Met Glu Ile Trp Ala Trp Glu Leu Gly Ser Arg Ala		
675	680	685
Ser Lys Asn Leu Ser Gln Ser Pro Gly Glu Ala Pro Arg Ala Val Val		
690	695	700
Ser Trp Arg Ala Val Gly Pro Gln Leu His Arg Asn Ser Ser Glu Leu		
705	710	715
Ala Ser Arg Pro Leu Pro Pro Thr Pro Leu Ser Leu Arg Gly Ala Ser		
725	730	735
Ser His Asp Pro Gln Ser Gln Cys Val Glu Lys Leu Gln Ala Pro Ser		
740	745	750
Ser Asp Pro Leu Pro Ala Ala Pro Leu Ser Val Leu Asn Ser Ser Arg		
755	760	765
Pro Ser Ser Pro Gln Ala Ser Phe Leu Ser Cys Pro Ser Pro Ser Ser		
770	775	780
Ser Asn Leu Ser Ser Ser Leu Ser Ser Leu Glu Glu Glu Glu Asp		
785	790	795
Gln Asp Ser Val Leu Thr Pro Glu Glu Val Ala Leu Cys Leu Glu Leu		
805	810	815
Ser Asp Gly Glu Glu Thr Pro Thr Asn Ser Val Ser Pro Met Pro Arg		
820	825	830

Ala Pro Ser Pro Pro Thr Thr Tyr Gly Tyr Ile Ser Ile Pro Thr Cys

835 840 845

Ser Gly Leu Ala Asp Met Gly Arg Ala Gly Gly Val Gly Ser Glu

850 855 860

Val Gly Asn Leu Leu Tyr Pro Pro Arg Pro Cys Pro Thr Pro Thr Pro

865 870 875 880

Ser Glu Gly Ser Leu Ala Asn Gly Trp Gly Ser Ala Ser Glu Asp Asn

885 890 895

Val Pro Ser Ala Arg Ala Ser Leu Val Ser Ser Asp Gly Ser Phe

900 905 910

Leu Ala Asp Thr His Phe Ala Arg Ala Leu Ala Val Ala Val Asp Ser

915 920 925

Phe Gly Leu Ser Leu Asp Pro Arg Glu Ala Asp Cys Val Phe Thr Asp

930 935 940

Ala Ser Ser Pro Pro Ser Pro Arg Gly Asp Leu Ser Leu Thr Arg Ser

945 950 955 960

Phe Ser Leu Pro Leu Trp Glu Trp Arg Pro Asp Trp Leu Glu Asp Ala

965 970 975

Glu Ile Ser His Thr Gln Arg Leu Gly Arg Gly Leu Pro Pro Trp Pro

980 985 990

Pro Asp Ser Arg Ala Ser Ser Gln Arg Ser Trp Leu Thr Gly Ala Val

995 1000 1005

Pro Lys Ala Gly Asp Ser Ser

1010 1015

<210> 17

<211> 3063

<212> DNA

<213> Rattus norvegicus

<400> 17

atgggacaag gagaggagct gagagcagcc gttgactctg gaggaatggg cctcctgggg 60

actaagtgtc ctctgcctct actgcttctt ttcatcatgg gaggcaaggc tctggattct 120

ccaccccaga tcctagttca tccccaggac cagctacttc agggctccgg gccggccaag 180

atgagttgca gagcatcgaa ccaaccatt cccactatcc gctggctgct gaatggcag	240
cccctcagca tggcgacccc agacctacat tacctcaat cagatggac cctcctgcta	300
catcgcccc ctacccatgg acggccgcaa gacgaccaga acattctctc agcaatcctg	360
ggtgtctaca catgtgaggc cagcaaccgg ctgggcacag cagttagccg gggtgctagg	420
ctgtctgtgg ctgcctcca ggaggacttc cgaatccaac ctgggacac agtggccgtg	480
gtggcgaga gcttggttct cgagtgtggt cctccctggg gctacccaaa gccttcagtc	540
tcctgggtgaa aagatggaa acccctggtc ctccagccag ggaagcgcac agtgtctgg	600
gattctctga tggtggcaag agcagagaag aatgacacgg ggacctataat gtgtatgcc	660
accaacaatg ccggacaacg ggagagtgg gcagccagg tgctatcca ggagtaccg	720
gaccacaagg agcatctaga gttctggct gttcgaattc agctggaaaa tgtgaccctg	780
ctgaacccag aacctgtaaa aggccccaa cctggggccag ctgtgtggct cagctggaag	840
gtgagcggcc ctgctgcacc tgcccagtca tacacagccc tggcaggc gcagagggac	900
cccagggacc agggatctcc atggacagag gtgctgtgg atggctgtct gaatgcaag	960
cttgggggtc tccgctggg ccaagactac gaattcaaag tgagaccgtc ctccggccgg	1020
gctcgaggcc ctgatagcaa tggctgtc ctgaggctgc ctgaacaggt gcccaagtgc	1080
ccacctaag aagtgaccct aagacctggc aacggtagtg tctttgtgag ttggcccca	1140
cctcctgctg aaaaccataa cggttcatc cgtggctacc aggtctggag cctggcaat	1200
gcctcattgc ctgctgcaa ctggaccgt aatgggtgaac agacacagct ggagattgcc	1260
gcacgaatgc caggctccta ttgtgtcag gtggctgcag tcactgggtc tgggctgga	1320
gagcccgata tccctgtctg cctccttta gagcaggcca tggagcaatc agcacgagac	1380
cccagtaaac atgtttctg gaccctggaa cagctgaggg ccacctgaa acgaccagaa	1440
gtcattgcca gtgggtccgt cctgctctgg ttgctgtcc taggcattgc tgtgtgtatc	1500
tacagggcgcac gaaaagctgg ggtgcacccg ggcccaggcc tctacagata caccagttag	1560
gatgccattt taaaacacag gatggaccac agtgcactcc catggctggc agacacctgg	1620
cgctccaccc ctggctctag agatctgagc agcagcagca gcctcagtag tcgacttagga	1680
gtggaccctc gggacccact ggacggcagg ctttccttga tctccctggaa ccccccggagc	1740
cccggtgtac ccctgcttcc agacacttagc acgtttacg gctccctcat tgcagagcag	1800
acttccagcc cttccagtcgg gccaagcccg cagacgcccag ctgcttaggcg cttccaccc	1860
aagctgaccg gaacctcccg cccctggct agctcagata gtctctgcag ccgcaggggaa	1920
ctctgttccc cacgcatgtc tctggccct gcagaggctt ggaaggccaa aaagaagcag	1980

gaactgcacc aagtaaacag ctcccgctg ctccaggta gccacccat ggaaatctgg 2040

gcctggagt tggaaagcag agcctccaag aaccttctc aaagccggg cccaaacact 2100  
 tgccccac gagaagctcc cggagcgtg gtagcctggc gtgccctgg accacaactt 2160  
 cacgcaact ccagttagct agcagctcg 2220  
 ggagccccc gtcatgatcc gcagagccag tgtgtggaga agctccaage tccctctc 2280  
 gaccactgc cagcagcccc tctctcg 2340  
 gcctttcc tctctgttcc tagcccagga tccagcaacc tgtccagctc ctcactgtca 2400  
 tccttagagg aggaggatca ggacagtgt 2460

gagtcagt atggggagga gacacccacg aacagtgtat ctctatgcc aagagctct 2520  
 tcacccacg caacatatgg ctatatcgc ataccaacct cctcaggact ggcagacatg 2580  
 ggcagagctg gtggggcgt ggggtctgag gtcggaaact tactgtgccc acctcggtc 2640  
 tgccccacac ctacacccag cgagggctcc ctggccatg gttgggctc agcttcagag 2700  
 gacaatgtcc ccagcgccag ggccagcc 2760  
 gacgctact ttgctgtgc cttggcgtg gctgtggaca gttcggtt cagtcggag 2820  
 cccagggaaag ctgactgtgt cttaactgtat gcctcatcac cccatcccc tcggatgat 2880

ctttctctga cccgaagctt ctctctgcca ctgtggagt ggaggccaga ctggttggaa 2940  
 gatgtgaga tcaaccacac ccagaggctg gggaggggc tgcctccctg gcctccctgat 3000  
 tctagagtct ctcccgacg aagttggctc actgggttg tgcctcaaggc tgggtattcc 3060  
 tcc 3063

<210> 18

<211> 1021

<212> PRT

<213> Rattus norvegicus

<400> 18

Met Gly Gln Gly Glu Glu Leu Arg Ala Ala Val Asp Ser Gly Gly Met

1	5	10	15
---	---	----	----

Gly Leu Leu Gly Thr Lys Cys Pro Leu Pro Leu Leu Leu Phe Ile

20	25	30
----	----	----

Met Gly Gly Lys Ala Leu Asp Ser Pro Pro Gln Ile Leu Val His Pro

35	40	45
----	----	----

Gln Asp Gln Leu Leu Gln Gly Ser Gly Pro Ala Lys Met Ser Cys Arg

50	55	60
Ala Ser Gly Gln Pro Leu Pro Thr Ile Arg Trp Leu Leu Asn Gly Gln		
65	70	75
Pro Leu Ser Met Ala Thr Pro Asp Leu His Tyr Leu Gln Ser Asp Gly		
85	90	95
Thr Leu Leu Leu His Arg Pro Pro Thr His Gly Arg Pro Gln Asp Asp		
100	105	110
Gln Asn Ile Leu Ser Ala Ile Leu Gly Val Tyr Thr Cys Glu Ala Ser		
115	120	125
Asn Arg Leu Gly Thr Ala Val Ser Arg Gly Ala Arg Leu Ser Val Ala		
130	135	140
Val Leu Gln Glu Asp Phe Arg Ile Gln Pro Arg Asp Thr Val Ala Val		
145	150	155
Val Gly Glu Ser Leu Val Leu Glu Cys Gly Pro Pro Trp Gly Tyr Pro		
165	170	175
Lys Pro Ser Val Ser Trp Trp Lys Asp Gly Lys Pro Leu Val Leu Gln		
180	185	190
Pro Gly Lys Arg Thr Val Ser Gly Asp Ser Leu Met Val Ala Arg Ala		
195	200	205
Glu Lys Asn Asp Thr Gly Thr Tyr Met Cys Met Ala Thr Asn Asn Ala		
210	215	220
Gly Gln Arg Glu Ser Arg Ala Ala Arg Val Ser Ile Gln Glu Ser Pro		
225	230	235
Asp His Lys Glu His Leu Glu Leu Leu Ala Val Arg Ile Gln Leu Glu		
245	250	255
Asn Val Thr Leu Leu Asn Pro Glu Pro Val Lys Gly Pro Lys Pro Gly		
260	265	270
Pro Ala Val Trp Leu Ser Trp Lys Val Ser Gly Pro Ala Ala Pro Ala		
275	280	285
Gln Ser Tyr Thr Ala Leu Phe Arg Ala Gln Arg Asp Pro Arg Asp Gln		
290	295	300

Gly Ser Pro Trp Thr Glu Val Leu Leu Asp Gly Leu Leu Asn Ala Lys  
 305                    310                    315                    320  
 Leu Gly Gly Leu Arg Trp Gly Gln Asp Tyr Glu Phe Lys Val Arg Pro  
 325                    330                    335

Ser Ser Gly Arg Ala Arg Gly Pro Asp Ser Asn Val Leu Leu Arg  
 340                    345                    350  
 Leu Pro Glu Gln Val Pro Ser Ala Pro Pro Gln Glu Val Thr Leu Arg  
 355                    360                    365  
 Pro Gly Asn Gly Ser Val Phe Val Ser Trp Ala Pro Pro Pro Ala Glu  
 370                    375                    380  
 Asn His Asn Gly Phe Ile Arg Gly Tyr Gln Val Trp Ser Leu Gly Asn  
 385                    390                    395                    400

Ala Ser Leu Pro Ala Ala Asn Trp Thr Val Val Gly Glu Gln Thr Gln  
 405                    410                    415  
 Leu Glu Ile Ala Ala Arg Met Pro Gly Ser Tyr Cys Val Gln Val Ala  
 420                    425                    430  
 Ala Val Thr Gly Ala Gly Ala Glu Pro Ser Ile Pro Val Cys Leu  
 435                    440                    445  
 Leu Leu Glu Gln Ala Met Glu Gln Ser Ala Arg Asp Pro Ser Lys His  
 450                    455                    460

Val Ser Trp Thr Leu Glu Gln Leu Arg Ala Thr Leu Lys Arg Pro Glu  
 465                    470                    475                    480  
 Val Ile Ala Ser Gly Ala Val Leu Leu Trp Leu Leu Leu Gly Ile  
 485                    490                    495  
 Ala Val Cys Ile Tyr Arg Arg Arg Lys Ala Gly Val His Leu Gly Pro  
 500                    505                    510  
 Gly Leu Tyr Arg Tyr Thr Ser Glu Asp Ala Ile Leu Lys His Arg Met  
 515                    520                    525

Asp His Ser Asp Ser Pro Trp Leu Ala Asp Thr Trp Arg Ser Thr Ser  
 530                    535                    540  
 Gly Ser Arg Asp Leu Ser Ser Ser Ser Leu Ser Ser Arg Leu Gly

545	550	555	560
Val Asp Pro Arg Asp Pro Leu Asp Gly Arg Arg Ser Leu Ile Ser Trp			
565	570	575	
Asp Pro Arg Ser Pro Gly Val Pro Leu Leu Pro Asp Thr Ser Thr Phe			
580	585	590	
Tyr Gly Ser Leu Ile Ala Glu Gln Thr Ser Ser Pro Pro Val Arg Pro			
595	600	605	
Ser Pro Gln Thr Pro Ala Ala Arg Arg Leu Pro Pro Lys Leu Thr Gly			
610	615	620	
Thr Ser Ser Pro Trp Ala Ser Ser Asp Ser Leu Cys Ser Arg Arg Gly			
625	630	635	640
Leu Cys Ser Pro Arg Met Ser Leu Ala Pro Ala Glu Ala Trp Lys Ala			
645	650	655	
Lys Lys Lys Gln Glu Leu His Gln Ala Asn Ser Ser Pro Leu Leu Gln			
660	665	670	
Gly Ser His Pro Met Glu Ile Trp Ala Trp Glu Leu Gly Ser Arg Ala			
675	680	685	
Ser Lys Asn Leu Ser Gln Ser Pro Gly Pro Asn Thr Cys Ser Pro Arg			
690	695	700	
Glu Ala Pro Gly Ala Val Val Ala Trp Arg Ala Leu Gly Pro Gln Leu			
705	710	715	720
His Arg Asn Ser Ser Glu Leu Ala Ala Arg Pro Leu Pro Pro Thr Pro			
725	730	735	
Leu Ser Leu Arg Gly Ala Pro Ser His Asp Pro Gln Ser Gln Cys Val			
740	745	750	
Glu Lys Leu Gln Ala Pro Ser Ser Asp Pro Leu Pro Ala Ala Pro Leu			
755	760	765	
Ser Val Leu Asn Ser Ser Arg Pro Ser Ser Pro Gln Ala Ser Phe Leu			
770	775	780	
Ser Val Pro Ser Pro Gly Ser Ser Asn Leu Ser Ser Ser Leu Ser			
785	790	795	800

Ser Leu Glu Glu Glu Asp Gln Asp Ser Val Leu Thr Pro Glu Glu Val  
 805                    810                    815  
 Ala Leu Cys Leu Glu Leu Ser Asp Gly Glu Glu Thr Pro Thr Asn Ser  
 820                    825                    830  
 Val Ser Pro Met Pro Arg Ala Pro Ser Pro Pro Ala Thr Tyr Gly Tyr  
 835                    840                    845

Ile Ser Ile Pro Thr Ser Ser Gly Leu Ala Asp Met Gly Arg Ala Gly  
 850                    855                    860  
 Gly Gly Val Gly Ser Glu Val Gly Asn Leu Leu Cys Pro Pro Arg Leu  
 865                    870                    875                    880  
 Cys Pro Thr Pro Thr Pro Ser Glu Gly Ser Leu Ala Asn Gly Trp Gly  
 885                    890                    895  
 Ser Ala Ser Glu Asp Asn Val Pro Ser Ala Arg Ala Ser Leu Val Ser  
 900                    905                    910

Ser Ser Asp Gly Ser Phe Leu Ala Asp Ala His Phe Ala Arg Ala Leu  
 915                    920                    925  
 Ala Val Ala Val Asp Ser Phe Gly Phe Ser Leu Glu Pro Arg Glu Ala  
 930                    935                    940  
 Asp Cys Val Phe Thr Asp Ala Ser Ser Pro Pro Ser Pro Arg Asp Asp  
 945                    950                    955                    960  
 Leu Ser Leu Thr Arg Ser Phe Ser Leu Pro Leu Trp Glu Trp Arg Pro  
 965                    970                    975

Asp Trp Leu Glu Asp Ala Glu Ile Asn His Thr Gln Arg Leu Gly Arg  
 980                    985                    990  
 Gly Leu Pro Pro Trp Pro Pro Asp Ser Arg Val Ser Ser Gln Arg Ser  
 995                    1000                    1005

Trp Leu Thr Gly Val Val Pro Lys Ala Gly Asp Ser Ser  
 1010                    1015                    1020

<210> 19

<211> 3021

<212> DNA

<213> Macaca fascicularis

&lt;400&gt; 19

atgggctctg gaggagaaag cctccgggg tcccggcctt cccgcctct gctgctctg	60
--	----

ctcatcatgg gaggcatggc tcaggactcc cggccccaga tcctagtcca ccccaagac	120
cagctgttcc agggccctgg ccctgccagg atgagctgcc gagcctcggt ccagccacct	180
cccaccatcc gctggctgt gaatgggcag cccctgagca tggtgcccc agacccacac	240
cacccctgc ctgatggac ccttctgtc ctgcagcccc ctgcctggg acatgccac	300
gatggccagg ccctgtccac agaccttggt gtctacacat gtgaggccag caaccggctg	360
ggcacagcag tcagcagagg cgctcgctc tctgtggctg tccctccggga ggatttccag	420
atccagcctc gggacatggt agctgtggtg ggtgagcagt taactctgga atgtggccg	480

ccctggggcc acccagagcc cacagtctca tggtgaaaag atggaaacc cctggcctc	540
cagcctggaa ggtacacggt gtccgggggg tccctgctga tggcaagagc agagaagagt	600
gacgcagggg cctacatgtg tgtggccgcc aacagcgcag gacacaggga gagccacgca	660
gccccgggtgt ccatccagga gccccaggac tacacagagc ctgtggagct tttggctgt	720
cgaattcagc tgaaaaatgt gacactgtc aacccggacc cgcacaagggg ccccaaggct	780
ggaccggctg tgtggcttag ctggaagggtg agcggccctg ctgcacctgc ccaatcttac	840
acggccttgt tcaggaccca gactgccccg ggagaccagg gagctccatg gacagaggag	900

ctgctggctg gctggcagag cgcagagct ggaggcctcc actggggcca agactatgag	960
ttcaaaagtga gaccatcctc cggccggct cgaggccctg acagcaacgt gctgctctg	1020
aggctgccgg aaaaagtgcc cagtccccca ccccaggagg tgaccctaaa acctggcaat	1080
ggcagtgcc ttgtgagctg ggtccacca cctgctgaaa accacaatgg catcatccgt	1140
ggctaccagg tctggagcct gggcaacacg tcactgcccc cagccaactg gactgtggtt	1200
ggtgagcaga cccagctgga aatcgccacc cgcatgccag gctcctactg tgtgcaagtg	1260
gctcgagtca ctggtgctgg agctggggaa cccagtagcc ctgtctgcct ccttttagag	1320

caggccatgg agcggagccac cggagaaccc agtgagcatg gtccctggac cctggagcag	1380
ctgagggcca ctttgaagcg gcctgaggtc attgccacct gtgggttgt gctctggctg	1440
ctgtttctgg gcaccgctgt gtgtatccac cgccggcgcc gagctgggtt gcacccatggc	1500
ccaggtctgt acagatatac cagtaaggac gccatctaa aacacaggat ggatcacagt	1560
gactcccagt gtttggcaga cacttggctg tccacctctg gctctccggga cttgagcagc	1620
agcagcagcc tcagcagtag gctggggcgcg gaccccccggg acccgctaga ctgtcgctcg	1680

tccttgcctc cctggactc ccgaagcccc ggcgtgcccc tgttccaga caccagact 1740

tttatggct ccctcatcg ttagctgcc tccagtcccc cagccaggcc aagtccccag 1800  
 gtcccaagctg tcaggcgct accacccag ctggccgac ttccagccc ctgtccagc 1860  
 tcagacagcc tctgcagcca cagggattc tcttctcac gcttgcctc ggcacctaca 1920  
 gaggcttgga aggccaaaaa gaagcaggag ctgcagcatg tcaacagttc cccactgctc 1980  
 cggggcagcc aacccttgga gctccggcc tgtgagttg gaaatagagg ttccaagaac 2040  
 ctttccaaa gcccaggagc tgtccccaa gctctggtg ctggccggc cctggaccg 2100  
 aaactcctca gctcctcaaa ttagctggtt actcgtcctc tccctccagc accccttt 2160

cctcatgaaa ctccccaaac ttagagtcaa cagaccaggc ctccggtgcc accacaggct 2220  
 ccctcctcca tccctgctggc aacagcccc attccatcc ttagccccctg cagtccccct 2280  
 agccctcagg cctctccct ctctggcccc agcccaagctt ccagtccac gtccagctc 2340  
 tcactgtcat ccctggggga ggatcaagac agcgtgctga cccctgagga ggtagccctg 2400  
 tgtttggAAC tcagtgggg tgaggagact cccaggaaca gegtctctcc catgccaaga 2460  
 gctccttcac cccccaccac ctatggtat atcagcaccc caacagcctc agagttcacg 2520  
 ggcattggaca ggacgggagg aggggtgggg tccgaggggg gagttctgct gtgcccacct 2580

cggccctgcc tcaccccac ccccaagcggag ggctccctag ccaatggttg gggctcagcc 2640  
 tctgaggaca atgtgccag cgccagagcc agccctgtca gtcctccga tggctccitc 2700  
 ctcgctgatg cccacttgc cggggccctg gcagtggcag tggatagctt tggtttggt 2760  
 cttagagccca gggaggcaga ctgcgtctc acagatgcct catcacctcc ctcccaagg 2820  
 gatgacatct tcctgacccc caacctctcc ctgcccctgt gggagttggag gccagactgg 2880  
 ttggaagaca tggaggtcaa ccacacccag ctgctggaa gggggatgcc tccctggtcc 2940  
 cctgactctc ggatctttc ccagagaagt cagctccact gtccctgtgcc caaggctggt 3000

gcttctctg tagattactc c 3021

<210> 20

<211> 1007

<212> PRT

<213> Macaca fascicularis

<400> 20

Met Gly Ser Gly Gly Glu Ser Leu Arg Gly Ser Arg Ala Ser Arg Pro

1	5	10	15
---	---	----	----

Leu Leu Leu Leu Ile Met Gly Gly Met Ala Gln Asp Ser Pro Pro

20	25	30
Gln Ile Leu Val His Pro Gln Asp Gln Leu Phe Gln Gly Pro Gly Pro		
35	40	45
Ala Arg Met Ser Cys Arg Ala Ser Gly Gln Pro Pro Pro Thr Ile Arg		
50	55	60
Trp Leu Leu Asn Gly Gln Pro Leu Ser Met Val Pro Pro Asp Pro His		
65	70	75
His Leu Leu Pro Asp Gly Thr Leu Leu Leu Gln Pro Pro Ala Trp		
85	90	95
Gly His Ala His Asp Gly Gln Ala Leu Ser Thr Asp Leu Gly Val Tyr		
100	105	110
Thr Cys Glu Ala Ser Asn Arg Leu Gly Thr Ala Val Ser Arg Gly Ala		
115	120	125
Arg Leu Ser Val Ala Val Leu Arg Glu Asp Phe Gln Ile Gln Pro Arg		
130	135	140
Asp Met Val Ala Val Val Gly Glu Gln Leu Thr Leu Glu Cys Gly Pro		
145	150	155
160		
Pro Trp Gly His Pro Glu Pro Thr Val Ser Trp Trp Lys Asp Gly Lys		
165	170	175
Pro Leu Val Leu Gln Pro Gly Arg Tyr Thr Val Ser Gly Gly Ser Leu		
180	185	190
Leu Met Ala Arg Ala Glu Lys Ser Asp Ala Gly Ala Tyr Met Cys Val		
195	200	205
Ala Ala Asn Ser Ala Gly His Arg Glu Ser His Ala Ala Arg Val Ser		
210	215	220
Ile Gln Glu Pro Gln Asp Tyr Thr Glu Pro Val Glu Leu Leu Ala Val		
225	230	235
240		
Arg Ile Gln Leu Glu Asn Val Thr Leu Leu Asn Pro Asp Pro Ala Lys		
245	250	255
Gly Pro Lys Pro Gly Pro Ala Val Trp Leu Ser Trp Lys Val Ser Gly		
260	265	270

Pro Ala Ala Pro Ala Gln Ser Tyr Thr Ala Leu Phe Arg Thr Gln Thr  
 275                    280                    285  
 Ala Pro Gly Asp Gln Gly Ala Pro Trp Thr Glu Glu Leu Leu Ala Gly  
 290                    295                    300

Trp Gln Ser Ala Glu Leu Gly Gly Leu His Trp Gly Gln Asp Tyr Glu  
 305                    310                    315                    320  
 Phe Lys Val Arg Pro Ser Ser Gly Arg Ala Arg Gly Pro Asp Ser Asn  
 325                    330                    335  
 Val Leu Leu Leu Arg Leu Pro Glu Lys Val Pro Ser Ala Pro Pro Gln  
 340                    345                    350  
 Glu Val Thr Leu Lys Pro Gly Asn Gly Ser Val Leu Val Ser Trp Val  
 355                    360                    365

Pro Pro Pro Ala Glu Asn His Asn Gly Ile Ile Arg Gly Tyr Gln Val  
 370                    375                    380  
 Trp Ser Leu Gly Asn Thr Ser Leu Pro Pro Ala Asn Trp Thr Val Val  
 385                    390                    395                    400  
 Gly Glu Gln Thr Gln Leu Glu Ile Ala Thr Arg Met Pro Gly Ser Tyr  
 405                    410                    415  
 Cys Val Gln Val Ala Ala Val Thr Gly Ala Gly Ala Gly Glu Pro Ser  
 420                    425                    430

Ser Pro Val Cys Leu Leu Glu Gln Ala Met Glu Arg Ala Thr Arg  
 435                    440                    445  
 Glu Pro Ser Glu His Gly Pro Trp Thr Leu Glu Gln Leu Arg Ala Thr  
 450                    455                    460  
 Leu Lys Arg Pro Glu Val Ile Ala Thr Cys Gly Val Val Leu Trp Leu  
 465                    470                    475                    480  
 Leu Leu Leu Gly Thr Ala Val Cys Ile His Arg Arg Arg Ala Gly  
 485                    490                    495

Val His Leu Gly Pro Gly Leu Tyr Arg Tyr Thr Ser Lys Asp Ala Ile  
 500                    505                    510  
 Leu Lys His Arg Met Asp His Ser Asp Ser Gln Trp Leu Ala Asp Thr

515	520	525
Trp Arg Ser Thr Ser Gly Ser Arg Asp Leu Ser Ser Ser Ser Leu		
530	535	540
Ser Ser Arg Leu Gly Ala Asp Pro Arg Asp Pro Leu Asp Cys Arg Arg		
545	550	555
Ser Leu Leu Ser Trp Asp Ser Arg Ser Pro Gly Val Pro Leu Leu Pro		
565	570	575
Asp Thr Ser Thr Phe Tyr Gly Ser Leu Ile Ala Glu Leu Pro Ser Ser		
580	585	590
Pro Pro Ala Arg Pro Ser Pro Gln Val Pro Ala Val Arg Arg Leu Pro		
595	600	605
Pro Gln Leu Ala Arg Leu Ser Ser Pro Cys Ser Ser Ser Asp Ser Leu		
610	615	620
Cys Ser His Arg Gly Phe Ser Ser Pro Arg Leu Ser Leu Ala Pro Thr		
625	630	635
Glu Ala Trp Lys Ala Lys Lys Gln Glu Leu Gln His Val Asn Ser		
645	650	655
Ser Pro Leu Leu Arg Gly Ser Gln Pro Leu Glu Leu Arg Ala Cys Glu		
660	665	670
Leu Gly Asn Arg Gly Ser Lys Asn Leu Ser Gln Ser Pro Gly Ala Val		
675	680	685
Pro Gln Ala Leu Val Ala Trp Arg Ala Leu Gly Pro Lys Leu Leu Ser		
690	695	700
Ser Ser Asn Glu Leu Val Thr Arg Pro Leu Pro Pro Ala Pro Leu Phe		
705	710	715
Pro His Glu Thr Pro Gln Thr Gln Ser Gln Gln Thr Gln Pro Pro Val		
725	730	735
Ala Pro Gln Ala Pro Ser Ser Ile Leu Leu Ala Thr Ala Pro Ile Pro		
740	745	750
Ile Leu Ser Pro Cys Ser Pro Pro Ser Pro Gln Ala Ser Ser Leu Ser		
755	760	765

Gly Pro Ser Pro Ala Ser Ser His Leu Ser Ser Ser Ser Leu Ser Ser  
 770 775 780  
 Leu Gly Glu Asp Gln Asp Ser Val Leu Thr Pro Glu Glu Val Ala Leu  
 785 790 795 800  
 Cys Leu Glu Leu Ser Glu Gly Glu Glu Thr Pro Arg Asn Ser Val Ser  
 805 810 815  
  
 Pro Met Pro Arg Ala Pro Ser Pro Pro Thr Thr Tyr Gly Tyr Ile Ser  
 820 825 830  
 Thr Pro Thr Ala Ser Glu Phe Thr Gly Met Asp Arg Thr Gly Gly Gly  
 835 840 845  
 Val Gly Ser Glu Gly Gly Val Leu Leu Cys Pro Pro Arg Pro Cys Leu  
 850 855 860  
 Thr Pro Thr Pro Ser Glu Gly Ser Leu Ala Asn Gly Trp Gly Ser Ala  
 865 870 875 880  
  
 Ser Glu Asp Asn Ala Ala Ser Ala Arg Ala Ser Leu Val Ser Ser Ser  
 885 890 895  
 Asp Gly Ser Phe Leu Ala Asp Ala His Phe Ala Arg Ala Leu Ala Val  
 900 905 910  
 Ala Val Asp Ser Phe Gly Phe Gly Leu Glu Pro Arg Glu Ala Asp Cys  
 915 920 925  
 Val Phe Thr Asp Ala Ser Ser Pro Pro Ser Pro Arg Asp Asp Ile Phe  
 930 935 940  
  
 Leu Thr Pro Asn Leu Ser Leu Pro Leu Trp Glu Trp Arg Pro Asp Trp  
 945 950 955 960  
 Leu Glu Asp Met Glu Val Asn His Thr Gln Leu Leu Gly Arg Gly Met  
 965 970 975  
 Pro Pro Trp Ser Pro Asp Ser Arg Ile Ser Ser Gln Arg Ser Gln Leu  
 980 985 990  
 His Cys Pro Val Pro Lys Ala Gly Ala Ser Pro Val Asp Tyr Ser  
 995 1000 1005

&lt;211&gt; 3021

&lt;212&gt; DNA

&lt;213&gt; Macaca fascicularis

&lt;400&gt; 21

atggctctg gaggagaaag cctccgggg tcccggcctt cccggcctct gctgctctg	60
ctcatcatgg gaggtatggc tcaggactcc cgcggccaga tcctagtcca cccgcaagac	120
cagctgttcc agggccctgg ccctgccagg atgagctgcc gagcctcggt ccagccacct	180
ccaccatcc gctggctgct gaatgggcag cccctgagca tggtaccccc agacccacac	240
cacccatcc ctgatggac ccttctgctg ctgcagcccc ctgcccgggg acatgcccac	300
gatggccagg ccctgtccac agaccttggt gtctacacat gtgaggccag caaccggctg	360
ggcacagcag tcagcagagg cgctcggtc tctgtggctg tcctccggga ggattccag	420
atccagcctc gggacatggt agctgtggtg ggtgagcagt taactctgga atgtggcccg	480
ccctggggcc acccagagcc cacagtctca tggtgaaaag atggaaacc cctggcctc	540
cagcccgaa ggtacacgggt gtccgggggg tccctgctga tggcaagagc agagaagagt	600
gacacagggg cttacatgtg tgtggccgcc aacagcgcag gacacagggg gagccgcgc	660
gccccgggtgt ccatccagga gcccccaggac tacacagagc ctgtggagct tttggctgt	720
cgaattcagc tgaaaaatgt gacactgctg aacccggacc ccgcaaaggg ccccaagcct	780
ggaccggctg tgtggcttag ctggaagggtg agcggccctg ctgcacctgc ccaatcttac	840
acggcccttgt tcaggaccca gactgccccg ggagaccagg gagctccatg gacagaggag	900
ctgctggctg gctggcagag cgcagagctt ggaggcctcc actggggcca agactatgag	960
ttcaaaagtga gaccatcctc cggccggct cggccggct acagcaacgt gctgctctg	1020
aggctgccgg aaaaagtgcc cagtccccca ccccaggagg tgaccctaaa acctggcaat	1080
ggcagtgccc ttgtgagctg ggtcccacca cctgctaaaa accacaatgg catcatccgt	1140
ggctaccagg tctggagcct gggcaacacg tcactgcccc cagccaaactg gactgtggtt	1200
ggtgagcaga cccagctgga aatcgccacc cgcatgccag gtcctactg tgtgcaagt	1260
gctgcagtca ctggtgctgg agctggggaa cccagtagcc ctgtctgcct ccttttagag	1320
caggccatgg agcgagccac ccgagaactc agtgagcatg gtccctggac cctggagcag	1380
ctgagggcca cttgaagcg gcctgagggtc attgccacct gtgggtttgt gctctggctg	1440
ctgcttctgg gcaccgctgt gtgtatccac cgccggccgca gagctgggt gcacccatggc	1500
ccaggtctgt acagatatac cagtaaggac gccatctaa aacacaggat ggatcacagt	1560
gactcccaactg ggttggcaga cacttggcgt tccacctctg gctctcggtt cttgagcagc	1620

agcagcagcc tcagcagtag gctggggcg gaccccccgg acccgctaga ctgtcgctgc	1680
tccttgctct cctggactc ccgaagcccc ggcgtgcccc tgcttctaga caccagca	1740
ttttatggct ccctcatcg ttagctgccc tccagtcccc tagccaggcc aagtccccag	1800
gtcccagctg tcagggcctt accaccccg ctggccgac ttccagcccc ctgttccagc	1860
tcagacagcc tctgcagcca caggggactc tcttctccac gcttgcgtct ggcacctaca	1920
gaggcttgaa aggccaaaaa gaagcaggag ctgcagcatg tcaacagttt cccactgttc	1980
cggggcagcc aacccttgaa gctccgggcc tgtgagttgg gaaacagagg ttccaagaac	2040

ctttccaaa gcccaggagc tgtgccccaa gctctgggttg ctggccggc cctggaccg	2100
aaactccctca gctccctcaaa tgagctgggtt actcgccctc tccctccagc acccccttt	2160
cctcatgaaa ctccccaaac ttagactcaa cagaccgac ctccgggtggc accacaggct	2220
ccctccctca tctgtgtggc aacagcccc attccatcc ttagccccctg cagccccct	2280
agccctcagg cctccctccct ctgtggcccc agccctagtt ccagtcaccc gtccagctct	2340
tcactgtcat ccctggggaa ggatcaagac agcgtgtga cccctgagga ggtagccctg	2400
tgttgaaac tcagtggggg tgaggagact cccaggaaca gcgtctctcc catgccaaga	2460

gctccctcac cccccaccac ctatgggtat atcagcaccc caacagccctc agagttcacg	2520
ggcatggaca ggacggagg aggggtgggg tccgaggggg gagtcttgcgt gtgcccaccc	2580
cggccctgcc tcaccccccac ccccaagcggag ggctcccttag ccaatgggtt gggctcagcc	2640
tctgaggaca atgctgccag tgccagagcc agccttgtaa gctccctccga tggctcccttc	2700
ctcgctgatg cccactttgc ccggccctggcagtttgc tggatagctt tggtttttgtt	2760
ctagagccca gggaggcaga ctgcgtcttc acagatgcct catcacctcc ccccccaagg	2820
gatgacatct tcctgacccca aacctctcc ctgccccctgtt gggagttggag gccagactgg	2880

ttggaagaca tggaggtcaa ccacacccag ctgctggaa gggggatgcc tccctggtcc	2940
cctgactctc ggatctttcc caagagaagt cagctccact gtcctgtgcc caaggctgg	3000
gcttctctgt tagattactc c	3021

&lt;210&gt; 22

&lt;211&gt; 1007

&lt;212&gt; PRT

&lt;213&gt; Macaca fascicularis

&lt;400&gt; 22

Met Gly Ser Gly Gly Glu Ser Leu Arg Gly Ser Arg Ala Ser Arg Pro

1 5 10 15

Leu Leu Leu Leu Ile Met Gly Gly Met Ala Gln Asp Ser Pro Pro

20	25	30
----	----	----

Gln Ile Leu Val His Pro Gln Asp Gln Leu Phe Gln Gly Pro Gly Pro

35	40	45
----	----	----

Ala Arg Met Ser Cys Arg Ala Ser Gly Gln Pro Pro Pro Thr Ile Arg

50	55	60
----	----	----

Trp Leu Leu Asn Gly Gln Pro Leu Ser Met Val Pro Pro Asp Pro His

65	70	75	80
----	----	----	----

His Leu Leu Pro Asp Gly Thr Leu Leu Leu Leu Gln Pro Pro Ala Arg

85	90	95
----	----	----

Gly His Ala His Asp Gly Gln Ala Leu Ser Thr Asp Leu Gly Val Tyr

100	105	110
-----	-----	-----

Thr Cys Glu Ala Ser Asn Arg Leu Gly Thr Ala Val Ser Arg Gly Ala

115	120	125
-----	-----	-----

Arg Leu Ser Val Ala Val Leu Arg Glu Asp Phe Gln Ile Gln Pro Arg

130	135	140
-----	-----	-----

Asp Met Val Ala Val Val Gly Glu Gln Leu Thr Leu Glu Cys Gly Pro

145	150	155	160
-----	-----	-----	-----

Pro Trp Gly His Pro Glu Pro Thr Val Ser Trp Trp Lys Asp Gly Lys

165	170	175
-----	-----	-----

Pro Leu Val Leu Gln Pro Gly Arg Tyr Thr Val Ser Gly Gly Ser Leu

180	185	190
-----	-----	-----

Leu Met Ala Arg Ala Glu Lys Ser Asp Thr Gly Ala Tyr Met Cys Val

195	200	205
-----	-----	-----

Ala Ala Asn Ser Ala Gly His Arg Glu Ser Arg Ala Ala Arg Val Ser

210	215	220
-----	-----	-----

Ile Gln Glu Pro Gln Asp Tyr Thr Glu Pro Val Glu Leu Leu Ala Val

225	230	235	240
-----	-----	-----	-----

Arg Ile Gln Leu Glu Asn Val Thr Leu Leu Asn Pro Asp Pro Ala Lys

245	250	255
-----	-----	-----

Gly Pro Lys Pro Gly Pro Ala Val Trp Leu Ser Trp Lys Val Ser Gly

260	265	270
-----	-----	-----

Pro Ala Ala Pro Ala Gln Ser Tyr Thr Ala Leu Phe Arg Thr Gln Thr

275                    280                    285

Ala Pro Gly Asp Gln Gly Ala Pro Trp Thr Glu Glu Leu Leu Ala Gly

290                    295                    300  
 Trp Gln Ser Ala Glu Leu Gly Gly Leu His Trp Gly Gln Asp Tyr Glu  
 305                    310                    315                    320  
 Phe Lys Val Arg Pro Ser Ser Gly Arg Ala Arg Gly Pro Asp Ser Asn  
 325                    330                    335

Val Leu Leu Leu Arg Leu Pro Glu Lys Val Pro Ser Ala Pro Pro Gln  
 340                    345                    350

Glu Val Thr Leu Lys Pro Gly Asn Gly Ser Val Leu Val Ser Trp Val  
 355                    360                    365

Pro Pro Pro Ala Glu Asn His Asn Gly Ile Ile Arg Gly Tyr Gln Val  
 370                    375                    380  
 Trp Ser Leu Gly Asn Thr Ser Leu Pro Pro Ala Asn Trp Thr Val Val  
 385                    390                    395                    400  
 Gly Glu Gln Thr Gln Leu Glu Ile Ala Thr Arg Met Pro Gly Ser Tyr  
 405                    410                    415

Cys Val Gln Val Ala Ala Val Thr Gly Ala Gly Ala Glu Pro Ser  
 420                    425                    430

Ser Pro Val Cys Leu Leu Glu Gln Ala Met Glu Arg Ala Thr Arg  
 435                    440                    445

Glu Leu Ser Glu His Gly Pro Trp Thr Leu Glu Gln Leu Arg Ala Thr  
 450                    455                    460

Leu Lys Arg Pro Glu Val Ile Ala Thr Cys Gly Val Val Leu Trp Leu  
 465                    470                    475                    480

Leu Leu Leu Gly Thr Ala Val Cys Ile His Arg Arg Arg Ala Gly  
 485                    490                    495

Val His Leu Gly Pro Gly Leu Tyr Arg Tyr Thr Ser Lys Asp Ala Ile  
 500                    505                    510

Leu Lys His Arg Met Asp His Ser Asp Ser Gln Trp Leu Ala Asp Thr

515	520	525
Trp Arg Ser Thr Ser Gly Ser Arg Asp Leu Ser Ser Ser Ser Leu		
530	535	540
Ser Ser Arg Leu Gly Ala Asp Pro Arg Asp Pro Leu Asp Cys Arg Arg		
545	550	555
Ser Leu Leu Ser Trp Asp Ser Arg Ser Pro Gly Val Pro Leu Leu Leu		
565	570	575
Asp Thr Ser Thr Phe Tyr Gly Ser Leu Ile Ala Glu Leu Pro Ser Ser		
580	585	590
Pro Leu Ala Arg Pro Ser Pro Gln Val Pro Ala Val Arg Arg Leu Pro		
595	600	605
Pro Gln Leu Ala Arg Leu Ser Ser Pro Cys Ser Ser Ser Asp Ser Leu		
610	615	620
Cys Ser His Arg Gly Leu Ser Ser Pro Arg Leu Ser Leu Ala Pro Thr		
625	630	635
Glu Ala Trp Lys Ala Lys Lys Gln Glu Leu Gln His Val Asn Ser		
645	650	655
Ser Pro Leu Leu Arg Gly Ser Gln Pro Leu Glu Leu Arg Ala Cys Glu		
660	665	670
Leu Gly Asn Arg Gly Ser Lys Asn Leu Ser Gln Ser Pro Gly Ala Val		
675	680	685
Pro Gln Ala Leu Val Ala Trp Arg Ala Leu Gly Pro Lys Leu Ser		
690	695	700
Ser Ser Asn Glu Leu Val Thr Arg Pro Leu Pro Pro Ala Pro Leu Phe		
705	710	715
Pro His Glu Thr Pro Gln Thr Gln Ser Gln Gln Thr Gln Pro Pro Val		
725	730	735
Ala Pro Gln Ala Pro Ser Ser Ile Leu Leu Ala Thr Ala Pro Ile Pro		
740	745	750
Ile Leu Ser Pro Cys Ser Pro Pro Ser Pro Gln Ala Ser Ser Leu Ser		
755	760	765

Gly Pro Ser Pro Ala Ser Ser His Leu Ser Ser Ser Ser Leu Ser Ser

770 775 780

Leu Gly Glu Asp Gln Asp Ser Val Leu Thr Pro Glu Glu Val Ala Leu

785 790 795 800

Cys Leu Glu Leu Ser Glu Gly Glu Glu Thr Pro Arg Asn Ser Val Ser

805 810 815

Pro Met Pro Arg Ala Pro Ser Pro Pro Thr Thr Tyr Gly Tyr Ile Ser

820 825 830

Thr Pro Thr Ala Ser Glu Phe Thr Gly Met Asp Arg Thr Gly Gly Gly

835 840 845

Val Gly Ser Glu Gly Gly Val Leu Leu Cys Pro Pro Arg Pro Cys Leu

850 855 860

Thr Pro Thr Pro Ser Glu Gly Ser Leu Ala Asn Gly Trp Gly Ser Ala

865 870 875 880

Ser Glu Asp Asn Ala Ala Ser Ala Arg Ala Ser Leu Val Ser Ser Ser

885 890 895

Asp Gly Ser Phe Leu Ala Asp Ala His Phe Ala Arg Ala Leu Ala Val

900 905 910

Ala Val Asp Ser Phe Gly Phe Gly Leu Glu Pro Arg Glu Ala Asp Cys

915 920 925

Val Phe Thr Asp Ala Ser Ser Pro Pro Ser Pro Arg Asp Asp Ile Phe

930 935 940

Leu Thr Pro Asn Leu Ser Leu Pro Leu Trp Glu Trp Arg Pro Asp Trp

945 950 955 960

Leu Glu Asp Met Glu Val Asn His Thr Gln Leu Leu Gly Arg Gly Met

965 970 975

Pro Pro Trp Ser Pro Asp Ser Arg Ile Ser Ser Gln Arg Ser Gln Leu

980 985 990

His Cys Pro Val Pro Lys Ala Gly Ala Ser Pro Val Asp Tyr Ser

995 1000 1005

<210> 23

&lt;211&gt; 4845

&lt;212&gt; DNA

&lt;213&gt; Homo sapiens

&lt;400&gt; 23

atgattgcgg agcccgctca ctttacctg tttggattaa tatgtctctg ttcaaggctcc	60
cgtcttgatt acaaggatga cgacgataag cgtcaggaag atttccacc tcgcattgtt	120
gaacaccctt cagacctgat tgtctcaaaa ggagaacctg caacttgaa ctgcaaagct	180
gaaggccgcc ccacacccac tattgaatgg tacaaagggg gagagagagt ggagacagac	240
aaagatgacc ctcgctcaca ccgaatgtt ctgccgagtg gatctttatt tttcttacgt	300
atagtagatg gacggaaaag tagacctgat gaaggagct atgtctgtgt agcaaggaat	360
taccttgag aggctgtgag ccacaatgca tcgctggaag tagccatact tcgggatgac	420
ttcagacaaa acccttcgga tgtcatggtt gcagtaggag agcctgcagt aatggaatgc	480
caacctccac gaggccatcc tgagcccacc atttcatgga agaaagatgg ctctccactg	540
gatgataaag atgaaagaat aactatacga ggagggaaagc tcatgatcac ttacacccgt	600
aaaagtgacg ctggcaataa tgtttgtt ggttccaata tggtgggaa acgtgagagt	660
gaagtagccg agctgactgt ctttagagaga ccatcattt tgaagagacc cagtaacttg	720
gcagtaactg tggatgacag tgcagaattt aaatgtgagg cccgaggtga ccctgtacct	780
acagtagcat ggagggaaaga tggatggagag ctgccccaaat ccagatatga aatccgagat	840
gatcataacct tggaaaatttgaaggtgaca gctggtgaca tgggttcata cacttgtt	900
gcagaaaata tggggcaaa agctgaagca tctgtactc tgactgtca agttgggtct	960
gaacctccac attttgtt gaaacccgt gaccaggtt gttgttggg acggactgt	1020
actttttagt gtgaagcaac cggaaatctt caaccagcta tttctggag gagagaaggg	1080
agtcaagaatc tactttctc atatcaacca ccacagtcat ccagccgatt ttcaagtctcc	1140
cagactggcg acctcacaat tactaatgtc cagcgatctg atgttggta ttacatctgc	1200
cagactttaa atgttgctgg aagcatcatc acaaaggcat atttggaaat tacagatgt	1260
attgcagatc ggcctcccc agttattcga caaggtcctg tgaatcagac tgttagccgt	1320
gatggcactt tgccttcag ctgtgtggcc acaggcagtc cagtgccac cattctgtgg	1380
agaaaggatg gagtccctgt ttcaacccaa gactctgaa tcaaacagt ggagaatgga	1440
gtactgcaga tccgatatgc taagctgggt gatactggc ggtacacccatcattgcatca	1500
accccccagtgtgaagcaac atggagtgt tacattgaag ttcaagaatt tggagttcca	1560
gttcagcctc caagacctac tgacccaaat ttaatcccta gtgccccatc aaaacctgaa	1620

gtgacagatg tcagcagaaa tacagtaca ttatcggtgc aaccaaattt gaattcagga	1680
gcaactccaa catcttatat tatagaagcc ttccggcatg catctggtag cagctggcag	1740
accgttagcag agaatgtgaa aacagaaaca tctgccat aaggactcaa acctaattca	1800
atttacctt tccttgttag ggcagctat gcataitggaa ttatgtatcc aagccaaata	1860
tcagatccag tgaaaacaca agatgtccta ccaacaagtcc agggggtgga ccacaaggcag	1920
gtccagagag agctggaaa tgctgtctg cacccacccgt ccttcttcc	1980
tcttccatcg aagtgcactg gacagtagat caacagtctc agtataataca aggatataaa	2040
attctctatc gcccattctgg agccaaaccac ggagaatcag actggtagt tttgaagt	2100
aggacgcagg cccaaaacag tgtggtaatc cctgatctca gaaaggaggta caactatgaa	2160
attaaggctc gccctttttt taatgaattt caaggagcag atagtgaaat caagtttgcc	2220
aaaacctgg aagaagcacc cagtgccccca ccccaagggtg taactgtatc caagaatgat	2280
ggaaacggaa ctgcaattct agtttagttgg cagccaccc cagaagacac tcaaaatgga	2340
atggtccaag agtataaggt ttgggtctg ggcaatgaaa ctcgataccatcaacaaa	2400
acagtggatg gttcacctt ttccgtggtc attcccttc ttgttctgg aatccgatac	2460
agtgtggaag tggcagccag cactggggct gggcttgggg taaagagtga gcctcagttc	2520
atccagctgg atgcccattgg aaaccctgtt tcacctgagg accaagttag cctcgctcag	2580
cagatttcag atgtggtaa gcagccggcc ttcatagcag gtattggagc agcctgttgg	2640
atcatcctca tggcttcag catctggctt tatcgacacc gcaagaagag aaacggactt	2700
actagtagat acgcggat cagaaaatgtt acttaccaga gaggaggcga agctgtcagc	2760
agtggaggga ggcctggact tctcaacatc agtgaacctg ccgcgcagcc atggctggca	2820
gacacgtggc ctaataactgg caacaaccac aatgactgtt ccatcagctg ctgcacggca	2880
ggcaatggaa acagcgacag caacctcaact acctacagtcc gcccagctga ttgtatagca	2940
aattataaca accaactggtaa caaaaacaa acaaattctga tgctccctga gtcaactgtt	3000
tatggtgatg tggaccttag taacaaaatc aatgagatga aaaccttcaa tagccaaat	3060
ctgaaggatg ggcgtttgtt caatccatca gggcagccata ctccttacgc caccactcag	3120
ctcatccagt caaacctcag caacaacatg aacaatggca gccccggactc tggcgagaag	3180
cactggaaac cactggacca gcagaaacaa gaagtggcac cagttcagta caacatcgtg	3240
gagcaaaaaca agctgaacaa agattatcga gcaaatgaca cagttctcc aactatccca	3300
tacaaccaat catacgacca gaacacagga ggatcctaca acagctcaga ccggggcagt	3360
agtacatctg ggagtcatgg gcacaagaaa gggcaagaa cacccaaaggta accaaaacag	3420
gttggcatga actggcaga cctgcttctt cctcccccac cacatcctcc tccacacagc	3480

aatagcgaag agtacaacat ttctgttagat gaaagctatg accaagaataat gccatgtccc	3540
gtgccaccag caaggatgta ttgcaccaa gatgaattag aagaggagga agatgaacga	3600
ggccccactc cccctgttcg gggagcagct tcttctccag ctggcggtc ctatagccat	3660

cagtccactg ccactctgac tccctccca caggaagaac tccagccat gttacaggat	3720
tgtccagagg agactggcca catgcagcac cagccgcaca ggagacggca gcctgtgagt	3780
cctcctccac caccacggcc gatctccct ccacataacct atggctacat ttcaggaccc	3840
ctggctcag atatggatac ggatgcgcca gaagaggaag aagacgaagc cgacatggag	3900
gtagccaaga tgcaaaccag aaggctttt ttagtggc ttgagcagac acctgcctcc	3960
agtgttgttggg acctgttggagag ctctgtcagc gggccatgta tcaacggctg gggctcagcc	4020
tcagaggagg acaacatttc cagcggacgc tccagtgtta gttttcgga cggctcctt	4080

ttcactgatg ctgactttgc ccaggcagtc gcagcagcgg cagagtatgc tggctgaaa	4140
gtagcacgac ggcaaatgca ggatgctgct ggccgtcgac atttcatgc gtctcagtgc	4200
ccttaggcca caagtcccggt gtctacagac agcaacatgta gtgccggcgt aatgcagaaa	4260
accagaccag ccaagaaact gaaacaccag ccaggacatc tgccgagaga aacctacaca	4320
gatgatcttcc caccacctcc tggccgcca cctgtataa agtcacccat tgcccaatcc	4380
aagacacagc tggaaagtacg acctgttagtg gtgccaaaac tcccttctat ggatgcaaga	4440
acagacagat catcagacag aaaaggaagc agttacaagg ggagagaagt gttggatgga	4500

agacaggttt ttgacatgca aacaaatcca ggtgatccca gagaagcaca ggaacagcaa	4560
aatgacggaa aaggacgtgg aaacaaggca gcaaaaacgag accttcacc agcaaagact	4620
catctcatcc aagaggatat tctaccttat tgttagaccta ctttccaac atcaaataat	4680
cccagagatc ccagttctc aagctcaatg tcatcaagag gatcaggaag cagacaaaga	4740
gaacaagcaa atgttaggtcg aagaaatatt gcagaaatgc aggtacttgg aggatatgaa	4800
agaggagaag ataataatga agaatttagag gaaactgaaa gctga	4845

&lt;210&gt; 24

&lt;211&gt; 1614

&lt;212&gt; PRT

&lt;213&gt; Homo sapiens

&lt;400&gt; 24

Met Ile Ala Glu Pro Ala His Phe Tyr Leu Phe Gly Leu Ile Cys Leu

1 5 10 15

Cys Ser Gly Ser Arg Leu Asp Tyr Lys Asp Asp Asp Lys Arg Gln

20	25	30
Glu Asp Phe Pro Pro Arg Ile Val Glu His Pro Ser Asp Leu Ile Val		
35	40	45
Ser Lys Gly Glu Pro Ala Thr Leu Asn Cys Lys Ala Glu Gly Arg Pro		
50	55	60
Thr Pro Thr Ile Glu Trp Tyr Lys Gly Gly Glu Arg Val Glu Thr Asp		
65	70	75
Lys Asp Asp Pro Arg Ser His Arg Met Leu Leu Pro Ser Gly Ser Leu		
85	90	95
Phe Phe Leu Arg Ile Val His Gly Arg Lys Ser Arg Pro Asp Glu Gly		
100	105	110
Val Tyr Val Cys Val Ala Arg Asn Tyr Leu Gly Glu Ala Val Ser His		
115	120	125
Asn Ala Ser Leu Glu Val Ala Ile Leu Arg Asp Asp Phe Arg Gln Asn		
130	135	140
Pro Ser Asp Val Met Val Ala Val Gly Glu Pro Ala Val Met Glu Cys		
145	150	155
Gln Pro Pro Arg Gly His Pro Glu Pro Thr Ile Ser Trp Lys Lys Asp		
165	170	175
Gly Ser Pro Leu Asp Asp Lys Asp Glu Arg Ile Thr Ile Arg Gly Gly		
180	185	190
Lys Leu Met Ile Thr Tyr Thr Arg Lys Ser Asp Ala Gly Lys Tyr Val		
195	200	205
Cys Val Gly Thr Asn Met Val Gly Glu Arg Glu Ser Glu Val Ala Glu		
210	215	220
Leu Thr Val Leu Glu Arg Pro Ser Phe Val Lys Arg Pro Ser Asn Leu		
225	230	235
Ala Val Thr Val Asp Asp Ser Ala Glu Phe Lys Cys Glu Ala Arg Gly		
245	250	255
Asp Pro Val Pro Thr Val Arg Trp Arg Lys Asp Asp Gly Glu Leu Pro		
260	265	270

Lys Ser Arg Tyr Glu Ile Arg Asp Asp His Thr Leu Lys Ile Arg Lys  
 275                    280                    285  
 Val Thr Ala Gly Asp Met Gly Ser Tyr Thr Cys Val Ala Glu Asn Met  
 290                    295                    300  
 Val Gly Lys Ala Glu Ala Ser Ala Thr Leu Thr Val Gln Val Gly Ser  
 305                    310                    315                    320  
  
 Glu Pro Pro His Phe Val Val Lys Pro Arg Asp Gln Val Val Ala Leu  
 325                    330                    335  
 Gly Arg Thr Val Thr Phe Gln Cys Glu Ala Thr Gly Asn Pro Gln Pro  
 340                    345                    350  
 Ala Ile Phe Trp Arg Arg Glu Gly Ser Gln Asn Leu Leu Phe Ser Tyr  
 355                    360                    365  
 Gln Pro Pro Gln Ser Ser Arg Phe Ser Val Ser Gln Thr Gly Asp  
 370                    375                    380  
  
 Leu Thr Ile Thr Asn Val Gln Arg Ser Asp Val Gly Tyr Tyr Ile Cys  
 385                    390                    395                    400  
 Gln Thr Leu Asn Val Ala Gly Ser Ile Ile Thr Lys Ala Tyr Leu Glu  
 405                    410                    415  
 Val Thr Asp Val Ile Ala Asp Arg Pro Pro Pro Val Ile Arg Gln Gly  
 420                    425                    430  
 Pro Val Asn Gln Thr Val Ala Val Asp Gly Thr Phe Val Leu Ser Cys  
 435                    440                    445  
  
 Val Ala Thr Gly Ser Pro Val Pro Thr Ile Leu Trp Arg Lys Asp Gly  
 450                    455                    460  
 Val Leu Val Ser Thr Gln Asp Ser Arg Ile Lys Gln Leu Glu Asn Gly  
 465                    470                    475                    480  
 Val Leu Gln Ile Arg Tyr Ala Lys Leu Gly Asp Thr Gly Arg Tyr Thr  
 485                    490                    495  
 Cys Ile Ala Ser Thr Pro Ser Gly Glu Ala Thr Trp Ser Ala Tyr Ile  
 500                    505                    510  
  
 Glu Val Gln Glu Phe Gly Val Pro Val Gln Pro Pro Arg Pro Thr Asp

515	520	525
Pro Asn Leu Ile Pro Ser Ala Pro Ser Lys Pro Glu Val Thr Asp Val		
530	535	540
Ser Arg Asn Thr Val Thr Leu Ser Trp Gln Pro Asn Leu Asn Ser Gly		
545	550	555
Ala Thr Pro Thr Ser Tyr Ile Ile Glu Ala Phe Ser His Ala Ser Gly		
565	570	575
Ser Ser Trp Gln Thr Val Ala Glu Asn Val Lys Thr Glu Thr Ser Ala		
580	585	590
Ile Lys Gly Leu Lys Pro Asn Ala Ile Tyr Leu Phe Leu Val Arg Ala		
595	600	605
Ala Asn Ala Tyr Gly Ile Ser Asp Pro Ser Gln Ile Ser Asp Pro Val		
610	615	620
Lys Thr Gln Asp Val Leu Pro Thr Ser Gln Gly Val Asp His Lys Gln		
625	630	635
640		
Val Gln Arg Glu Leu Gly Asn Ala Val Leu His Leu His Asn Pro Thr		
645	650	655
Val Leu Ser Ser Ser Ile Glu Val His Trp Thr Val Asp Gln Gln		
660	665	670
Ser Gln Tyr Ile Gln Gly Tyr Lys Ile Leu Tyr Arg Pro Ser Gly Ala		
675	680	685
Asn His Gly Glu Ser Asp Trp Leu Val Phe Glu Val Arg Thr Pro Ala		
690	695	700
Lys Asn Ser Val Val Ile Pro Asp Leu Arg Lys Gly Val Asn Tyr Glu		
705	710	715
720		
Ile Lys Ala Arg Pro Phe Phe Asn Glu Phe Gln Gly Ala Asp Ser Glu		
725	730	735
Ile Lys Phe Ala Lys Thr Leu Glu Glu Ala Pro Ser Ala Pro Pro Gln		
740	745	750
Gly Val Thr Val Ser Lys Asn Asp Gly Asn Gly Thr Ala Ile Leu Val		
755	760	765

Ser Trp Gln Pro Pro Pro Glu Asp Thr Gln Asn Gly Met Val Gln Glu

770 775 780

Tyr Lys Val Trp Cys Leu Gly Asn Glu Thr Arg Tyr His Ile Asn Lys

785 790 795 800

Thr Val Asp Gly Ser Thr Phe Ser Val Val Ile Pro Phe Leu Val Pro

805 810 815

Gly Ile Arg Tyr Ser Val Glu Val Ala Ala Ser Thr Gly Ala Gly Ser

820 825 830

Gly Val Lys Ser Glu Pro Gln Phe Ile Gln Leu Asp Ala His Gly Asn

835 840 845

Pro Val Ser Pro Glu Asp Gln Val Ser Leu Ala Gln Gln Ile Ser Asp

850 855 860

Val Val Lys Gln Pro Ala Phe Ile Ala Gly Ile Gly Ala Ala Cys Trp

865 870 875 880

Ile Ile Leu Met Val Phe Ser Ile Trp Leu Tyr Arg His Arg Lys Lys

885 890 895

Arg Asn Gly Leu Thr Ser Thr Tyr Ala Gly Ile Arg Lys Val Thr Tyr

900 905 910

Gln Arg Gly Gly Glu Ala Val Ser Ser Gly Gly Arg Pro Gly Leu Leu

915 920 925

Asn Ile Ser Glu Pro Ala Ala Gln Pro Trp Leu Ala Asp Thr Trp Pro

930 935 940

Asn Thr Gly Asn Asn His Asn Asp Cys Ser Ile Ser Cys Cys Thr Ala

945 950 955 960

Gly Asn Gly Asn Ser Asp Ser Asn Leu Thr Thr Tyr Ser Arg Pro Ala

965 970 975

Asp Cys Ile Ala Asn Tyr Asn Asn Gln Leu Asp Asn Lys Gln Thr Asn

980 985 990

Leu Met Leu Pro Glu Ser Thr Val Tyr Gly Asp Val Asp Leu Ser Asn

995 1000 1005

Lys Ile Asn Glu Met Lys Thr Phe Asn Ser Pro Asn Leu Lys Asp

1010	1015	1020
Gly Arg Phe Val Asn Pro Ser Gly Gln Pro Thr Pro Tyr Ala Thr		
1025	1030	1035
Thr Gln Leu Ile Gln Ser Asn Leu Ser Asn Asn Met Asn Asn Gly		
1040	1045	1050
Ser Gly Asp Ser Gly Glu Lys His Trp Lys Pro Leu Gly Gln Gln		
1055	1060	1065
Lys Gln Glu Val Ala Pro Val Gln Tyr Asn Ile Val Glu Gln Asn		
1070	1075	1080
Lys Leu Asn Lys Asp Tyr Arg Ala Asn Asp Thr Val Pro Pro Thr		
1085	1090	1095
Ile Pro Tyr Asn Gln Ser Tyr Asp Gln Asn Thr Gly Gly Ser Tyr		
1100	1105	1110
Asn Ser Ser Asp Arg Gly Ser Ser Thr Ser Gly Ser Gln Gly His		
1115	1120	1125
Lys Lys Gly Ala Arg Thr Pro Lys Val Pro Lys Gln Gly Gly Met		
1130	1135	1140
Asn Trp Ala Asp Leu Leu Pro Pro Pro Pro Ala His Pro Pro Pro		
1145	1150	1155
His Ser Asn Ser Glu Glu Tyr Asn Ile Ser Val Asp Glu Ser Tyr		
1160	1165	1170
Asp Gln Glu Met Pro Cys Pro Val Pro Pro Ala Arg Met Tyr Leu		
1175	1180	1185
Gln Gln Asp Glu Leu Glu Glu Glu Glu Asp Glu Arg Gly Pro Thr		
1190	1195	1200
Pro Pro Val Arg Gly Ala Ala Ser Ser Pro Ala Ala Val Ser Tyr		
1205	1210	1215
Ser His Gln Ser Thr Ala Thr Leu Thr Pro Ser Pro Gln Glu Glu		
1220	1225	1230
Leu Gln Pro Met Leu Gln Asp Cys Pro Glu Glu Thr Gly His Met		
1235	1240	1245

Gln His Gln Pro Asp Arg Arg Arg Gln Pro Val Ser Pro Pro Pro

1250 1255 1260

Pro Pro Arg Pro Ile Ser Pro Pro His Thr Tyr Gly Tyr Ile Ser

1265 1270 1275

Gly Pro Leu Val Ser Asp Met Asp Thr Asp Ala Pro Glu Glu Glu

1280 1285 1290

Glu Asp Glu Ala Asp Met Glu Val Ala Lys Met Gln Thr Arg Arg

1295 1300 1305

Leu Leu Leu Arg Gly Leu Glu Gln Thr Pro Ala Ser Ser Val Gly

1310 1315 1320

Asp Leu Glu Ser Ser Val Thr Gly Ser Met Ile Asn Gly Trp Gly

1325 1330 1335

Ser Ala Ser Glu Glu Asp Asn Ile Ser Ser Gly Arg Ser Ser Val

1340 1345 1350

Ser Ser Ser Asp Gly Ser Phe Phe Thr Asp Ala Asp Phe Ala Gln

1355 1360 1365

Ala Val Ala Ala Ala Ala Glu Tyr Ala Gly Leu Lys Val Ala Arg

1370 1375 1380

Arg Gln Met Gln Asp Ala Ala Gly Arg Arg His Phe His Ala Ser

1385 1390 1395

Gln Cys Pro Arg Pro Thr Ser Pro Val Ser Thr Asp Ser Asn Met

1400 1405 1410

Ser Ala Ala Val Met Gln Lys Thr Arg Pro Ala Lys Lys Leu Lys

1415 1420 1425

His Gln Pro Gly His Leu Arg Arg Glu Thr Tyr Thr Asp Asp Leu

1430 1435 1440

Pro Pro Pro Pro Val Pro Pro Pro Ala Ile Lys Ser Pro Thr Ala

1445 1450 1455

Gln Ser Lys Thr Gln Leu Glu Val Arg Pro Val Val Val Pro Lys

1460 1465 1470

Leu Pro Ser Met Asp Ala Arg Thr Asp Arg Ser Ser Asp Arg Lys

1475	1480	1485
Gly Ser	Ser Tyr Lys Gly Arg	Glu Val Leu Asp Gly Arg Gln Val
1490	1495	1500
Val Asp	Met Arg Thr Asn Pro	Gly Asp Pro Arg Glu Ala Gln Glu
1505	1510	1515
Gln Gln	Asn Asp Gly Lys Gly	Arg Gly Asn Lys Ala Ala Lys Arg
1520	1525	1530
Asp Leu	Pro Pro Ala Lys Thr	His Leu Ile Gln Glu Asp Ile Leu
1535	1540	1545
Pro Tyr	Cys Arg Pro Thr Phe	Pro Thr Ser Asn Asn Pro Arg Asp
1550	1555	1560
Pro Ser	Ser Ser Ser Ser Met	Ser Ser Arg Gly Ser Gly Ser Arg
1565	1570	1575
Gln Arg	Glu Gln Ala Asn Val	Gly Arg Arg Asn Ile Ala Glu Met
1580	1585	1590
Gln Val	Leu Gly Gly Tyr Glu	Arg Gly Glu Asp Asn Asn Glu Glu
1595	1600	1605
Leu Glu	Glu Thr Glu Ser	
1610		

&lt;210&gt; 25

&lt;211&gt; 4605

&lt;212&gt; DNA

&lt;213&gt; Homo sapiens

&lt;400

&gt; 25

atgagtcgtgc	tgtatgtttac	acaactactg	ctctgtggat	ttttatatatgt	tcgggttgat	60
ggatcgcgtc	ttcgccagga	ggactttccc	ccgcggattg	tggagcatcc	ttccgatgtc	120
atcgctctta	agggcgagcc	cacgactctg	aactgcaagg	cggagggccg	gccaaacgccc	180
accatttgagt	ggtacaaaga	tggggagcga	gtggagactg	acaaggacga	tccccggtcc	240
cacaggatgc	ttctgcccag	cggatccta	ttcttcttgc	gcatcgtgca	cgggcgcagg	300
agtaaacctg	atgaaggaag	ctacgttgt	gttgcgagga	actatctgg	tgaagcagtg	360
agtgcgaaatg	cgtctctgga	agtggcattg	ttacgagatg	acttccgaca	aaaccccaca	420

gatgtttag tggcagctgg aggcctgca atcctggagt gccagccctcc ccggggacac	480
ccagaaccca ccatctactg gaaaaaaagac aaagttcgaa ttgatgacaa ggaagaaaaga	540
ataagtatcc gtggtgaaa actgatgatc tccaatacca ggaaaagtga tgcagggatg	600
tatacttgtt tggtagcaa tatggtgaa gaaaggaca gtgaccgc agagctgact	660
gtcttgaac gaccacatt tctcaggagg ccaattaacc aggtggtaact ggaggaagaa	720
gctgttagat ttctgtca agtccaagga gatcctcaac caactgttag gtggaaaaag	780
gatgatgcag acttgccaa aggaaggtat gacatcaaag acgattacac actaagaatt	840
aaaaagacca tgagtacaga tgaaggcacc tatatgtta ttgctgagaa tcgggttggaa	900
aaaatggaaag cctctgctac actcacccgtc cgagctgcc ctgttgcctcc cccacagttt	960
gtggttcgcc caagagatca gattgttgcgaa cagtgacatt tccctgtgaa	1020
actaaaggaa acccacagcc agctgtttt tggcagaaag aggcagccaa gaacctactt	1080
ttcccaaacc aacccagca gcccacactg agatgctcag tgtcaccaac tggagacctc	1140
acaatcacca acattcaacg ttccgacgca ggttactaca tctgccaggc tttactgtg	1200
gcaggaagca ttttagcaaa agctcaactg gaggttactg atgtttgac agatagacct	1260
ccacctataa ttctacaagg cccagccaaac caaacgctgg cagtgatgg tacagcgta	1320
ctgaaatgtt aagccactgg tgatccttt cctgttaattt gctggtaaaa ggagggtttt	1380
actttccgg gtagagatcc aagagcaaca attcaagagc aaggcacact gcagattaag	1440
aatttacgga ttctgtatac tggacttat acttgtgtgg ctacaagttt aagtggagag	1500
acttcctgg gtcagtgct ggtatgtaca gagtctggag caacaatcag taaaaactat	1560
gatttaagt acctgccagg gccaccatcc aaacccgagg tcactgtatg tactaagaac	1620
agtgtcacct tgcctggca gccaggtacc cctggaaacc ttccagcaag tgcataatc	1680
attgaggctt tcagccaaatc agtgagcaac agctggcaga ccgtggcaaa ccatgtaaag	1740
accaccctct atactgttaa aggactgcgg cccaaataaa tctacttatt catgtcaga	1800
gcgcataacc cccaaaggctt cagtgaccca agtccccatgt cagatcctgt ggcacacaa	1860
gatatacgcc caccagcaca aggagtggac cacaggcaag tgcagaaaga gctaggagat	1920
gtccttgcc gtccttataa tccagttgtt ctgactccca ccacggttca ggtcacatgg	1980
acgggttgcac gccaacccca gtttatccaa ggctaccgag tgcgtatcg tcagacttca	2040
ggtctgcagg cgacatcttgc gttggcagaat ttagatgcca aagtccgcac tgaacgaagt	2100
gctgtcttag tcaacctgaa aaaggggtt acttatgaaa ttaaagtacg gccatatttt	2160
aatgagttcc aaggaatgga tagtgaatct aaaacggttc gtactactga agaagccca	2220
agtgcacccac cacagtctgt cactgtactg acagttggaa gctacaatag cacaagtatt	2280

agtgttccctggatcctcc	tcctccagat	caccagaatg	gaatttatcca	agaatacaag	2340	
atctgggtgc	taggaaatga	aacgcgattc	catatcaaca	aaactgtgga	tgcagccatt	2400
cggccgttaa	taattggtgg	attattccca	ggtattcaat	accgggtaga	ggttgcagct	2460
agtaccagtg	caggggttgg	agtaaagagt	gagccacagc	caataataat	cgggagacgc	2520

aatgaagtgcattactgaaacaataacagcataactgagcaaatcac	tgatgtggtg	2580
aagcaaccaggctttatagctggtattgggtggcctgctggtaattct	gatgggttt	2640
agcatatggtgttattggcgaaagaagaaggaaaggac	tcaattatgtctgtttacg	2700
tttcaaagaggagatggaggactaatgagcaatggaaagcc	gtccaggctctctcaatgt	2760
ggtgatccgcctatccatgcttgcgtatcttggccagccacgagctt	gccagtaat	2820
aatagcaacaatggccaaaatgagattggaaattttggccgtggagatgt	gtgccacca	2880
gttcaggcccggggataaacagcaacgtgcgttcagatggagccatttatagtagc		2940

attgacttca ctacccaaac cagttacaac agttccagcc aaataacaca ggctaccca	3000
tatgccacga cacagatctt gcattccaaac agcatacatg aattggctgt cgatctgcct	3060
gatccacaat gaaaaagctc aattcagcaa aaaacagatc tgatggatt tggttattct	3120
ctacctgtatc agaacaaagg taacaatggt gggaaagggtg gaaaaaagaa gaaaataaaa	3180
aactcttcta aaccacagaa aaacaatgga tccacttggg ccaatgtccc tctacctccc	3240
cccccagtcc agccccttcc tggcacggag ctggaacact atgcagtggaa acaacaagaa	3300
aaatggctatg acagtgtatag ctggtgccca ccattgcccag tacaaaactta cttacaccaa	3360

gttaaatggat ggggctctgc atctgatgag gatcgtaact tttctagtca tagatctagt	3840
gttaggtagct cctcagatgg ctctatctt gccagcggca gtttgacaca agcactggtg	3900
gcagcagcag ataaagctgg tttaggctg gatggaacca gccttacaag aacaggaaaa	3960
gcctttacct cctctcaaag acctcgacct accagcccat tttctactga cagtaacacc	4020
agtgcagccc tgagtcaaag tcagaggcct cgccccacta aaaaacacaa gggagggcgg	4080
atggaccaac aaccagcatt gcctcatcga aggaaaggaa tgacagatga tcttccacca	4140

ccaccagatc cccggccagg tcagggtta aggcagcaaa taggcccag ccagcaggct 4200

ggtaacgtgg aaaactcagc agagagaaaa ggaagcttc tagagagaca acatgcattcc  
agcttagaag acacaaagag ctcatggat tgtccagcta gaacccctt agagtggcag  
cgacaaaccc aggaatggat aagctccaca gaacgacaag aagatatacg gaaagcccc  
cacaacaag gtgtcgatc agaggaggcc ttgggtccct atagcaagcc cagttccca  
tctccaggtg gccacagctc atcaggaaca gcttcttcta agggatccac tggacctagg  
aaaaccgagg tggtagagc aggccaccag cgcaatgcc ggcacccct tgacatagga  
tatatggct ccaacagtca aggacagttt acaggtgaat tata 4605

<210> 26

<211> 1534

<212> PRT

<213> Homo sapiens

<400> 26

Met Ser Leu Leu Met Phe Thr Gln Leu Leu Leu Cys Gly Phe Leu Tyr

1 5 10 15

Val Arg Val Asp Gly Ser Arg Leu Arg Gln Glu Asp Phe Pro Pro Arg

20 25 30

Ile Val Glu His Pro Ser Asp Val Ile Val Ser Lys Gly Glu Pro Thr

35 40 45

Thr Leu Asn Cys Lys Ala Glu Gly Arg Pro Thr Pro Thr Ile Glu Trp

50 55 60

Tyr Lys Asp Gly Glu Arg Val Glu Thr Asp Lys Asp Asp Pro Arg Ser

65 70 75 80

His Arg Met Leu Leu Pro Ser Gly Ser Leu Phe Phe Leu Arg Ile Val

85 90 95

His Gly Arg Arg Ser Lys Pro Asp Glu Gly Ser Tyr Val Cys Val Ala

100 105 110

Arg Asn Tyr Leu Gly Glu Ala Val Ser Arg Asn Ala Ser Leu Glu Val

115 120 125

Ala Leu Leu Arg Asp Asp Phe Arg Gln Asn Pro Thr Asp Val Val Val

130 135 140

Ala Ala Gly Glu Pro Ala Ile Leu Glu Cys Gln Pro Pro Arg Gly His  
 145 150 155 160  
 Pro Glu Pro Thr Ile Tyr Trp Lys Lys Asp Lys Val Arg Ile Asp Asp  
 165 170 175  
 Lys Glu Glu Arg Ile Ser Ile Arg Gly Gly Lys Leu Met Ile Ser Asn  
 180 185 190  
 Thr Arg Lys Ser Asp Ala Gly Met Tyr Thr Cys Val Gly Thr Asn Met  
 195 200 205  
 Val Gly Glu Arg Asp Ser Asp Pro Ala Glu Leu Thr Val Phe Glu Arg  
 210 215 220  
 Pro Thr Phe Leu Arg Arg Pro Ile Asn Gln Val Val Leu Glu Glu  
 225 230 235 240  
 Ala Val Glu Phe Arg Cys Gln Val Gln Gly Asp Pro Gln Pro Thr Val  
 245 250 255  
 Arg Trp Lys Asp Asp Ala Asp Leu Pro Arg Gly Arg Tyr Asp Ile  
 260 265 270  
 Lys Asp Asp Tyr Thr Leu Arg Ile Lys Lys Thr Met Ser Thr Asp Glu  
 275 280 285  
 Gly Thr Tyr Met Cys Ile Ala Glu Asn Arg Val Gly Lys Met Glu Ala  
 290 295 300  
 Ser Ala Thr Leu Thr Val Arg Ala Arg Pro Val Ala Pro Pro Gln Phe  
 305 310 315 320  
 Val Val Arg Pro Arg Asp Gln Ile Val Ala Gln Gly Arg Thr Val Thr  
 325 330 335  
 Phe Pro Cys Glu Thr Lys Gly Asn Pro Gln Pro Ala Val Phe Trp Gln  
 340 345 350  
 Lys Glu Gly Ser Gln Asn Leu Leu Phe Pro Asn Gln Pro Gln Pro  
 355 360 365  
 Asn Ser Arg Cys Ser Val Ser Pro Thr Gly Asp Leu Thr Ile Thr Asn  
 370 375 380  
 Ile Gln Arg Ser Asp Ala Gly Tyr Tyr Ile Cys Gln Ala Leu Thr Val

385	390	395	400
Ala Gly Ser Ile Leu Ala Lys Ala Gln Leu Glu Val Thr Asp Val Leu			
405	410	415	
Thr Asp Arg Pro Pro Ile Ile Leu Gln Gly Pro Ala Asn Gln Thr			
420	425	430	
Leu Ala Val Asp Gly Thr Ala Leu Leu Lys Cys Lys Ala Thr Gly Asp			
435	440	445	
Pro Leu Pro Val Ile Ser Trp Leu Lys Glu Gly Phe Thr Phe Pro Gly			
450	455	460	
Arg Asp Pro Arg Ala Thr Ile Gln Glu Gln Gly Thr Leu Gln Ile Lys			
465	470	475	480
Asn Leu Arg Ile Ser Asp Thr Gly Thr Tyr Thr Cys Val Ala Thr Ser			
485	490	495	
Ser Ser Gly Glu Thr Ser Trp Ser Ala Val Leu Asp Val Thr Glu Ser			
500	505	510	
Gly Ala Thr Ile Ser Lys Asn Tyr Asp Leu Ser Asp Leu Pro Gly Pro			
515	520	525	
Pro Ser Lys Pro Gln Val Thr Asp Val Thr Lys Asn Ser Val Thr Leu			
530	535	540	
Ser Trp Gln Pro Gly Thr Pro Gly Thr Leu Pro Ala Ser Ala Tyr Ile			
545	550	555	560
Ile Glu Ala Phe Ser Gln Ser Val Ser Asn Ser Trp Gln Thr Val Ala			
565	570	575	
Asn His Val Lys Thr Thr Leu Tyr Thr Val Arg Gly Leu Arg Pro Asn			
580	585	590	
Thr Ile Tyr Leu Phe Met Val Arg Ala Ile Asn Pro Gln Gly Leu Ser			
595	600	605	
Asp Pro Ser Pro Met Ser Asp Pro Val Arg Thr Gln Asp Ile Ser Pro			
610	615	620	
Pro Ala Gln Gly Val Asp His Arg Gln Val Gln Lys Glu Leu Gly Asp			
625	630	635	640

Val Leu Val Arg Leu His Asn Pro Val Val Leu Thr Pro Thr Thr Val  
 645 650 655  
 Gln Val Thr Trp Thr Val Asp Arg Gln Pro Gln Phe Ile Gln Gly Tyr  
 660 665 670  
 Arg Val Met Tyr Arg Gln Thr Ser Gly Leu Gln Ala Thr Ser Ser Trp  
 675 680 685  
 Gln Asn Leu Asp Ala Lys Val Pro Thr Glu Arg Ser Ala Val Leu Val  
 690 695 700  
 Asn Leu Lys Lys Gly Val Thr Tyr Glu Ile Lys Val Arg Pro Tyr Phe  
 705 710 715 720  
 Asn Glu Phe Gln Gly Met Asp Ser Glu Ser Lys Thr Val Arg Thr Thr  
 725 730 735  
 Glu Glu Ala Pro Ser Ala Pro Pro Gln Ser Val Thr Val Leu Thr Val  
 740 745 750  
 Gly Ser Tyr Asn Ser Thr Ser Ile Ser Val Ser Trp Asp Pro Pro Pro  
 755 760 765  
 Pro Asp His Gln Asn Gly Ile Ile Gln Glu Tyr Lys Ile Trp Cys Leu  
 770 775 780  
 Gly Asn Glu Thr Arg Phe His Ile Asn Lys Thr Val Asp Ala Ala Ile  
 785 790 795 800  
 Arg Ser Val Ile Ile Gly Gly Leu Phe Pro Gly Ile Gln Tyr Arg Val  
 805 810 815  
 Glu Val Ala Ala Ser Thr Ser Ala Gly Val Gly Val Lys Ser Glu Pro  
 820 825 830  
 Gln Pro Ile Ile Ile Gly Arg Arg Asn Glu Val Val Ile Thr Glu Asn  
 835 840 845  
 Asn Asn Ser Ile Thr Glu Gln Ile Thr Asp Val Val Lys Gln Pro Ala  
 850 855 860  
 Phe Ile Ala Gly Ile Gly Gly Ala Cys Trp Val Ile Leu Met Gly Phe  
 865 870 875 880  
 Ser Ile Trp Leu Tyr Trp Arg Arg Lys Lys Arg Lys Gly Leu Ser Asn

885	890	895
Tyr Ala Val Thr Phe Gln Arg Gly Asp Gly Gly Leu Met Ser Asn Gly		
900	905	910
Ser Arg Pro Gly Leu Leu Asn Ala Gly Asp Pro Ser Tyr Pro Trp Leu		
915	920	925
Ala Asp Ser Trp Pro Ala Thr Ser Leu Pro Val Asn Asn Ser Asn Ser		
930	935	940
Gly Pro Asn Glu Ile Gly Asn Phe Gly Arg Gly Asp Val Leu Pro Pro		
945	950	955
Val Pro Gly Gln Gly Asp Lys Thr Ala Thr Met Leu Ser Asp Gly Ala		
965	970	975
Ile Tyr Ser Ser Ile Asp Phe Thr Thr Lys Thr Ser Tyr Asn Ser Ser		
980	985	990
Ser Gln Ile Thr Gln Ala Thr Pro Tyr Ala Thr Thr Gln Ile Leu His		
995	1000	1005
Ser Asn Ser Ile His Glu Leu Ala Val Asp Leu Pro Asp Pro Gln		
1010	1015	1020
Trp Lys Ser Ser Ile Gln Gln Lys Thr Asp Leu Met Gly Phe Gly		
1025	1030	1035
Tyr Ser Leu Pro Asp Gln Asn Lys Gly Asn Asn Gly Gly Lys Gly		
1040	1045	1050
Gly Lys Lys Lys Asn Lys Asn Ser Ser Lys Pro Gln Lys Asn		
1055	1060	1065
Asn Gly Ser Thr Trp Ala Asn Val Pro Leu Pro Pro Pro Pro Val		
1070	1075	1080
Gln Pro Leu Pro Gly Thr Glu Leu Glu His Tyr Ala Val Glu Gln		
1085	1090	1095
Gln Glu Asn Gly Tyr Asp Ser Asp Ser Trp Cys Pro Pro Leu Pro		
1100	1105	1110
Val Gln Thr Tyr Leu His Gln Gly Leu Glu Asp Glu Leu Glu Glu		
1115	1120	1125

Asp Asp Asp Arg Val Pro Thr Pro Pro Val Arg Gly Val Ala Ser  
 1130 1135 1140  
 Ser Pro Ala Ile Ser Phe Gly Gln Gln Ser Thr Ala Thr Leu Thr  
 1145 1150 1155  
 Pro Ser Pro Arg Glu Glu Met Gln Pro Met Leu Gln Ala His Leu  
 1160 1165 1170  
 Asp Glu Leu Thr Arg Ala Tyr Gln Phe Asp Ile Ala Lys Gln Thr  
 1175 1180 1185  
 Trp His Ile Gln Ser Asn Asn Gln Pro Pro Gln Pro Pro Val Pro  
 1190 1195 1200  
 Pro Leu Gly Tyr Val Ser Gly Ala Leu Ile Ser Asp Leu Glu Thr  
 1205 1210 1215  
 Asp Val Ala Asp Asp Asp Ala Asp Asp Glu Glu Glu Ala Leu Glu  
 1220 1225 1230  
 Ile Pro Arg Pro Leu Arg Ala Leu Asp Gln Thr Pro Gly Ser Ser  
 1235 1240 1245  
 Met Asp Asn Leu Asp Ser Ser Val Thr Gly Ser Met Val Asn Gly  
 1250 1255 1260  
 Trp Gly Ser Ala Ser Asp Glu Asp Arg Asn Phe Ser Ser His Arg  
 1265 1270 1275  
 Ser Ser Val Gly Ser Ser Ser Asp Gly Ser Ile Phe Ala Ser Gly  
 1280 1285 1290  
 Ser Phe Ala Gln Ala Leu Val Ala Ala Ala Asp Lys Ala Gly Phe  
 1295 1300 1305  
 Arg Leu Asp Gly Thr Ser Leu Thr Arg Thr Gly Lys Ala Phe Thr  
 1310 1315 1320  
 Ser Ser Gln Arg Pro Arg Pro Thr Ser Pro Phe Ser Thr Asp Ser  
 1325 1330 1335  
 Asn Thr Ser Ala Ala Leu Ser Gln Ser Gln Arg Pro Arg Pro Thr  
 1340 1345 1350  
 Lys Lys His Lys Gly Gly Arg Met Asp Gln Gln Pro Ala Leu Pro

1355	1360	1365
His Arg Arg Glu Gly Met Thr Asp Asp Leu Pro Pro Pro Pro Asp		
1370	1375	1380
Pro Pro Pro Gly Gln Gly Leu Arg Gln Gln Ile Gly Pro Ser Gln		
1385	1390	1395
Gln Ala Gly Asn Val Glu Asn Ser Ala Glu Arg Lys Gly Ser Ser		
1400	1405	1410
Leu Glu Arg Gln His Ala Ser Ser Leu Glu Asp Thr Lys Ser Ser		
1415	1420	1425
Leu Asp Cys Pro Ala Arg Thr Ser Leu Glu Trp Gln Arg Gln Thr		
1430	1435	1440
Gln Glu Trp Ile Ser Ser Thr Glu Arg Gln Glu Asp Ile Arg Lys		
1445	1450	1455
Ala Pro His Lys Gln Gly Val Gly Ser Glu Glu Ala Leu Val Pro		
1460	1465	1470
Tyr Ser Lys Pro Ser Phe Pro Ser Pro Gly Gly His Ser Ser Ser		
1475	1480	1485
Gly Thr Ala Ser Ser Lys Gly Ser Thr Gly Pro Arg Lys Thr Glu		
1490	1495	1500
Val Leu Arg Ala Gly His Gln Arg Asn Ala Ser Asp Leu Leu Asp		
1505	1510	1515
Ile Gly Tyr Met Gly Ser Asn Ser Gln Gly Gln Phe Thr Gly Glu		
1520	1525	1530
Leu		

<210> 27  
<211> 4161  
<212> DNA  
<213> Homo sapiens  
<400> 27

atgctgcgt acctgctgaa aacgctgctg cagatgaact tggatcgccgaa ctctctggcc 60

ggggacatct ccaactccag cgagctgctc ttgggcttca actcctcgct ggcggcgctc	120
aaccacaccc tgctgcctcc cggcgatccc tctctcaacg ggtcaagggt aggaccggag	180
gacgctatgc cccgcattgt ggagcagccg ccagatctgc tggctcccg aggcgagccc	240
gccacgttgc cctgcccgc tgaaggccga ccccgaccac acatttagtg gtacaagaac	300
ggggcgcgtg tggccactgt gcgggaggat ccgcgtgcgc accgcctgct gctgcccagc	360
ggcgcctct tcttcccgcg catcgac gggcgcgcg cgccgcggc cgaagggtgtc	420
tacacttgcg tggctcgaa ctacctgggg gcagcagcga gcagaaacgc ctcgctggaa	480
gtggcagtcc tccgtatga tttccggcag tctctggaa acgtggtggt ggcagtgggg	540
gagccagcag tactggaatg cgtcccccc cgccgcacc cggagccctc cgtgtcctgg	600
aggaaggacg gtgcaagact caaggaagag gaaggaagga tcacgatccg tggagggaaag	660
ctgatgtatgt cacatacact caagagcgat gcaggcatgt atgtgtgcgt agcctccaac	720
atggcgggag aacgggagag tgcggcagct gaagtcatgg tactggagcg tccctcatc	780
ctgcgcagac cagtgaatca ggtggtcccg gctgatgccc ctgtgacttt cctatgtgag	840
gtgaaggggg atccccacc tcgtctacgc tggcgaagg aggtgggaa actgcccaca	900
ggcaggtatg agatccggag tgaccacagc ctttgattt ggcatgtgag tgccgaagat	960
gagggAACGT acacctgtgt ggccggagaac agtgtggcc ggcgtgaagc atctggctcc	1020
ctcagtttc acgtccacc ccagttggtg acccagcccc aggaccagat ggcagctcct	1080
ggagagagcg tggcttcca gtgcgagacc aaaggaaacc ccccacctgc catttctgg	1140
cagaaggagg ggagtcaggt cctgctttc cccagtcagt cacttcagcc gacggggcgc	1200
ttctcagtgt ctccaagagg ccaacttaac atcaccgcgg tgcagcgtgg ggatgctggg	1260
tactacgtgt gccaggctgt cagtgtggct ggcagcatcc tggccaaggc cctgctggag	1320
ataaaaaggag cctcttgga tggctgcct cctgtcatcc tccaggacc agccaatcag	1380
acgctggtgc ttggctcctc cgtgtggctg ccctgcagag tgactggaa ccctcaaccc	1440
agtgtccgat ggaagaagga tggcagtggtt ctgcagggggg atgacccatca gttcaagaca	1500
atggccaacg gtaccctgta catcgccat gtgcaggaga tggacatggg cttctacagc	1560
tgcgtggcca agagttccac aggggaagcc acatggagcg gctggctaa gatgcggaa	1620
gactggggag tatcaccaga cccccctaca gaacccagtt cccctccggg ggctccctct	1680
cagccagtggtt tcactgagat caccaagaac agcattaccc tgacctggaa gcccaccca	1740
caaactgggg ctgcagtcac gtcttatgtg atagaggcct tcagcccgac agctggcaac	1800

acatggcgta ctgtggcaga tggcgtgcag ctggagacac acacagtca cggctgcag	1860
ccaaatacca tctacctgtt tctggttcga gcagtggag cctgggcct cagtgagccc	1920
agccccgtct ctgagcctgt ccgtacacag gatagcagcc cctctaggcc agtggaggac	1980
ccatggagag gccagcaggg actggcggaa gtggctgtc gcctgcagga gcccatagtc	2040
ctgggacccc ggaccctgca ggtgtcctgg actgtggatg gcccagtcca gctggtgaa	2100
ggttccggg tgtcttgag gtagcaggg cctgagggag gaagctggac aatgttggac	2160
ctacagtccc caagccagca aagtactgtg ctaagaggac tccctccagg gacccaaatc	2220
cagatcaagg tgcaagccca aggccaggag gggctgggg ctgaaagcct ctctgtgacc	2280
aggagcattc ctgaggaggc ccccaagtggc ccccacagg gagtggcggt ggcctgggg	2340
ggtgatggca acagcagttt cactgtgtcc tggAACCTC cactccctc ccagcaaaat	2400
ggggcatca cgaaatacca gatctggtgc ctggcaatg agagccgctt tcacctcaat	2460
cgtatgcag caggctggc acgctccgca atgctccgag gactggtgcc cggtctcc	2520
tatcgaaccc tggtcgcggc ggccaccaggc gcaggcgtgg gcgtgccag tgcccaagt	2580
ctggtgccgc tgccgtcccc gccggacctg gagccgggc tggaggtggg cgcggggctg	2640
gcgggtgcggc tggcgagggt gctgcggag cccgccttcc tcgcggcag cggcgcagcc	2700
tgcggggcgc tgcttcctgg gctctgcgcc gcccctact ggccggaa acagcgaaa	2760
gagctcagcc actacacggc ctctttgcc tacacacgg cagtgtcctt cccgactca	2820
gagggcctct ctggagccag ttccaggcca cccatggcc ttggccccc cccctactca	2880
tggctggcag attctggcc ccacccatct cgaagccct cggcccgag acccaggaa	2940
agctgctgcc cttagaatcc tgacccggac gacagatatt acaacgaagc gggatctcc	3000
ctgtatctag cttagacggc caggggcacg gcccggctg gcgagggtcc tgtctatagc	3060
accattgacc cagcggggga ggagctgcag accttccatg gggcttccc ccaacatccc	3120
tcaggagatc tgggtccctg gagccagttac gctccctccag agtggagcca gggggacagt	3180
ggagccaagg gaggcaaaatg gaagcttctg gggaaacctg tgcagatgcc ctctctgaac	3240
tggccagaag ccctggcccc acctccctct tcttgtaac tgagctgcct agaagggccg	3300
gaggaggagc tggagggcag ctcagagcca gaggagtggt gcccgc当地 gcctgagaga	3360
agtccatgtc cggagccca ctcagatggc gggtgcctgg tcacccatc ccgaaggaa	3420
acccctctc ccacacccatc ctatggacag cagtccacag ccactttac accctcacct	3480
cctgaccctc cccagcccc aactgacatg ccccatctcc atcagatgcc caggagggt	3540
cccttggc ctagttcccc tctcagatgtt tcccaagccca tgctggcat ccgtgaagcg	3600
aggcctgctg gcttgggtgc tggccctgca gcctcaccac acctcagccc cagtccgtcc	3660

cctagcacag ccagcagtgc cccaggcaga acctggcagg ggaatgggaa gatgactccc	3720
ccacttcaag gaccccggtgc tcgattccgg aagaaaccctt aggctttcc ctacaggagg	3780
gagaacagtc ctggggactt gccccacca cccttgccac cgccagagga agaggcgagc	3840
tggcccttag agctgaggc agcaggcagc atgtctccc tggagcgggaa gcgcagtggg	3900

gagagggaaag cgggccaggc cgtgcccctg gcagcccagc gggtgctcca cccagatgaa	3960
gaggcctggc tcccatacag cagaccaagc ttccctgtccc gggccaggg caccagcaca	4020
tgttccacgg ccggcagcaa ctcttccagg ggctccagca gctctagggg ctcccgggc	4080
cctggccgga gccggagtgc gagtcagagc cggagccaga gccaaaggcc aggacagaaa	4140
cgccgagagg aaccaagatg a	4161

&lt;210&gt; 28

&lt;211&gt; 1386

&lt;212&gt; PRT

&lt;213&gt; Homo sapiens

&lt;400&gt; 28

Met Leu Arg Tyr Leu Leu Lys Thr Leu Leu Gln Met Asn Leu Phe Ala

1	5	10	15
Asp Ser Leu Ala Gly Asp Ile Ser Asn Ser Ser Glu Leu Leu Leu Gly			

20	25	30
----	----	----

Phe Asn Ser Ser Leu Ala Ala Leu Asn His Thr Leu Leu Pro Pro Gly

35	40	45
----	----	----

Asp Pro Ser Leu Asn Gly Ser Arg Val Gly Pro Glu Asp Ala Met Pro

50	55	60
----	----	----

Arg Ile Val Glu Gln Pro Pro Asp Leu Leu Val Ser Arg Gly Glu Pro

65	70	75	80
----	----	----	----

Ala Thr Leu Pro Cys Arg Ala Glu Gly Arg Pro Arg Pro Asn Ile Glu

85	90	95
----	----	----

Trp Tyr Lys Asn Gly Ala Arg Val Ala Thr Val Arg Glu Asp Pro Arg

100	105	110
-----	-----	-----

Ala His Arg Leu Leu Pro Ser Gly Ala Leu Phe Phe Pro Arg Ile

115	120	125
-----	-----	-----

Val His Gly Arg Arg Ala Arg Pro Asp Glu Gly Val Tyr Thr Cys Val

130	135	140
Ala Arg Asn Tyr Leu Gly Ala Ala Ser Arg Asn Ala Ser Leu Glu		
145	150	155
Val Ala Val Leu Arg Asp Asp Phe Arg Gln Ser Pro Gly Asn Val Val		
165	170	175
Val Ala Val Gly Glu Pro Ala Val Leu Glu Cys Val Pro Pro Arg Gly		
180	185	190
His Pro Glu Pro Ser Val Ser Trp Arg Lys Asp Gly Ala Arg Leu Lys		
195	200	205
Glu Glu Glu Gly Arg Ile Thr Ile Arg Gly Gly Lys Leu Met Met Ser		
210	215	220
His Thr Leu Lys Ser Asp Ala Gly Met Tyr Val Cys Val Ala Ser Asn		
225	230	235
Met Ala Gly Glu Arg Glu Ser Ala Ala Ala Glu Val Met Val Leu Glu		
245	250	255
Arg Pro Ser Phe Leu Arg Arg Pro Val Asn Gln Val Val Leu Ala Asp		
260	265	270
Ala Pro Val Thr Phe Leu Cys Glu Val Lys Gly Asp Pro Pro Pro Arg		
275	280	285
Leu Arg Trp Arg Lys Glu Asp Gly Glu Leu Pro Thr Gly Arg Tyr Glu		
290	295	300
Ile Arg Ser Asp His Ser Leu Trp Ile Gly His Val Ser Ala Glu Asp		
305	310	315
Glu Gly Thr Tyr Thr Cys Val Ala Glu Asn Ser Val Gly Arg Ala Glu		
325	330	335
Ala Ser Gly Ser Leu Ser Val His Val Pro Pro Gln Leu Val Thr Gln		
340	345	350
Pro Gln Asp Gln Met Ala Ala Pro Gly Glu Ser Val Ala Phe Gln Cys		
355	360	365
Glu Thr Lys Gly Asn Pro Pro Pro Ala Ile Phe Trp Gln Lys Glu Gly		
370	375	380

Ser Gln Val Leu Leu Phe Pro Ser Gln Ser Leu Gln Pro Thr Gly Arg

385                    390                    395                    400

Phe Ser Val Ser Pro Arg Gly Gln Leu Asn Ile Thr Ala Val Gln Arg

405                    410                    415

Gly Asp Ala Gly Tyr Tyr Val Cys Gln Ala Val Ser Val Ala Gly Ser

420                    425                    430

Ile Leu Ala Lys Ala Leu Leu Glu Ile Lys Gly Ala Ser Leu Asp Gly

435                    440                    445

Leu Pro Pro Val Ile Leu Gln Gly Pro Ala Asn Gln Thr Leu Val Leu

450                    455                    460

Gly Ser Ser Val Trp Leu Pro Cys Arg Val Thr Gly Asn Pro Gln Pro

465                    470                    475                    480

Ser Val Arg Trp Lys Lys Asp Gly Gln Trp Leu Gln Gly Asp Asp Leu

485                    490                    495

Gln Phe Lys Thr Met Ala Asn Gly Thr Leu Tyr Ile Ala Asn Val Gln

500                    505                    510

Glu Met Asp Met Gly Phe Tyr Ser Cys Val Ala Lys Ser Ser Thr Gly

515                    520                    525

Glu Ala Thr Trp Ser Gly Trp Leu Lys Met Arg Glu Asp Trp Gly Val

530                    535                    540

Ser Pro Asp Pro Pro Thr Glu Pro Ser Ser Pro Pro Gly Ala Pro Ser

545                    550                    555                    560

Gln Pro Val Val Thr Glu Ile Thr Lys Asn Ser Ile Thr Leu Thr Trp

565                    570                    575

Lys Pro Asn Pro Gln Thr Gly Ala Ala Val Thr Ser Tyr Val Ile Glu

580                    585                    590

Ala Phe Ser Pro Ala Ala Gly Asn Thr Trp Arg Thr Val Ala Asp Gly

595                    600                    605

Val Gln Leu Glu Thr His Thr Val Ser Gly Leu Gln Pro Asn Thr Ile

610                    615                    620

Tyr Leu Phe Leu Val Arg Ala Val Gly Ala Trp Gly Leu Ser Glu Pro

625	630	635	640
Ser Pro Val Ser Glu Pro Val Arg Thr Gln Asp Ser Ser Pro Ser Arg			
645	650	655	
Pro Val Glu Asp Pro Trp Arg Gly Gln Gln Gly Leu Ala Glu Val Ala			
660	665	670	
Val Arg Leu Gln Glu Pro Ile Val Leu Gly Pro Arg Thr Leu Gln Val			
675	680	685	
Ser Trp Thr Val Asp Gly Pro Val Gln Leu Val Gln Gly Phe Arg Val			
690	695	700	
Ser Trp Arg Val Ala Gly Pro Glu Gly Ser Trp Thr Met Leu Asp			
705	710	715	720
Leu Gln Ser Pro Ser Gln Gln Ser Thr Val Leu Arg Gly Leu Pro Pro			
725	730	735	
Gly Thr Gln Ile Gln Ile Lys Val Gln Ala Gln Gly Gln Glu Gly Leu			
740	745	750	
Gly Ala Glu Ser Leu Ser Val Thr Arg Ser Ile Pro Glu Glu Ala Pro			
755	760	765	
Ser Gly Pro Pro Gln Gly Val Ala Val Ala Leu Gly Gly Asp Gly Asn			
770	775	780	
Ser Ser Ile Thr Val Ser Trp Glu Pro Pro Leu Pro Ser Gln Gln Asn			
785	790	795	800
Gly Val Ile Thr Glu Tyr Gln Ile Trp Cys Leu Gly Asn Glu Ser Arg			
805	810	815	
Phe His Leu Asn Arg Ser Ala Ala Gly Trp Ala Arg Ser Ala Met Leu			
820	825	830	
Arg Gly Leu Val Pro Gly Leu Leu Tyr Arg Thr Leu Val Ala Ala Ala			
835	840	845	
Thr Ser Ala Gly Val Gly Val Pro Ser Ala Pro Val Leu Val Gln Leu			
850	855	860	
Pro Ser Pro Pro Asp Leu Glu Pro Gly Leu Glu Val Gly Ala Gly Leu			
865	870	875	880

Ala Val Arg Leu Ala Arg Val Leu Arg Glu Pro Ala Phe Leu Ala Gly

885 890 895

Ser Gly Ala Ala Cys Gly Ala Leu Leu Leu Gly Leu Cys Ala Ala Leu

900 905 910

Tyr Trp Arg Arg Lys Gln Arg Lys Glu Leu Ser His Tyr Thr Ala Ser

915 920 925

Phe Ala Tyr Thr Pro Ala Val Ser Phe Pro His Ser Glu Gly Leu Ser

930 935 940

Gly Ala Ser Ser Arg Pro Pro Met Gly Leu Gly Pro Ala Pro Tyr Ser

945 950 955 960

Trp Leu Ala Asp Ser Trp Pro His Pro Ser Arg Ser Pro Ser Ala Gln

965 970 975

Glu Pro Arg Gly Ser Cys Cys Pro Ser Asn Pro Asp Pro Asp Asp Arg

980 985 990

Tyr Tyr Asn Glu Ala Gly Ile Ser Leu Tyr Leu Ala Gln Thr Ala Arg

995 1000 1005

Gly Thr Ala Ala Pro Gly Glu Gly Pro Val Tyr Ser Thr Ile Asp

1010 1015 1020

Pro Ala Gly Glu Glu Leu Gln Thr Phe His Gly Gly Phe Pro Gln

1025 1030 1035

His Pro Ser Gly Asp Leu Gly Pro Trp Ser Gln Tyr Ala Pro Pro

1040 1045 1050

Glu Trp Ser Gln Gly Asp Ser Gly Ala Lys Gly Gly Lys Val Lys

1055 1060 1065

Leu Leu Gly Lys Pro Val Gln Met Pro Ser Leu Asn Trp Pro Glu

1070 1075 1080

Ala Leu Pro Pro Pro Pro Ser Cys Glu Leu Ser Cys Leu Glu

1085 1090 1095

Gly Pro Glu Glu Glu Leu Glu Gly Ser Ser Glu Pro Glu Glu Trp

1100 1105 1110

Cys Pro Pro Met Pro Glu Arg Ser His Leu Thr Glu Pro Ser Ser

1115	1120	1125
Ser	Gly	Gly Cys Leu Val Thr Pro Ser Arg Arg Glu Thr Pro Ser
1130	1135	1140
Pro	Thr	Pro Ser Tyr Gly Gln Gln Ser Thr Ala Thr Leu Thr Pro
1145	1150	1155
Ser	Pro	Pro Asp Pro Pro Gln Pro Pro Thr Asp Met Pro His Leu
1160	1165	1170
His	Gln	Met Pro Arg Arg Val Pro Leu Gly Pro Ser Ser Pro Leu
1175	1180	1185
Ser	Val	Ser Gln Pro Met Leu Gly Ile Arg Glu Ala Arg Pro Ala
1190	1195	1200
Gly	Leu	Gly Ala Gly Pro Ala Ala Ser Pro His Leu Ser Pro Ser
1205	1210	1215
Pro	Ala	Pro Ser Thr Ala Ser Ser Ala Pro Gly Arg Thr Trp Gln
1220	1225	1230
Gly	Asn	Gly Glu Met Thr Pro Pro Leu Gln Gly Pro Arg Ala Arg
1235	1240	1245
Phe	Arg	Lys Lys Pro Lys Ala Leu Pro Tyr Arg Arg Glu Asn Ser
1250	1255	1260
Pro	Gly	Asp Leu Pro Pro Pro Pro Leu Pro Pro Pro Glu Glu Glu
1265	1270	1275
Ala	Ser	Trp Ala Leu Glu Leu Arg Ala Ala Gly Ser Met Ser Ser
1280	1285	1290
Leu	Glu	Arg Glu Arg Ser Gly Glu Arg Lys Ala Val Gln Ala Val
1295	1300	1305
Pro	Leu	Ala Ala Gln Arg Val Leu His Pro Asp Glu Glu Ala Trp
1310	1315	1320
Leu	Pro	Tyr Ser Arg Pro Ser Phe Leu Ser Arg Gly Gln Gly Thr
1325	1330	1335
Ser	Thr	Cys Ser Thr Ala Gly Ser Asn Ser Ser Arg Gly Ser Ser
1340	1345	1350

Ser Ser Arg Gly Ser Arg Gly Pro Gly Arg Ser Arg Ser Arg Ser

1355 1360 1365

Gln Ser Arg Ser Gln Ser Gln Arg Pro Gly Gln Lys Arg Arg Glu

1370 1375 1380

Glu Pro Arg

1385

<210> 29

<211> 195

<212> DNA

<213> Artificial Sequence

<220><223> IL-8 promoter region

<400> 29

gataaggaac aaataggaag tgtgatgact cagggttgcc ctgagggat gggccatcag	60
ttgcaaatcg tggaaattcc tctgacataa tgaaaagatg agggtcata agttctctag	120
taggttgcgt atataaaaag ccaccggcgc actccataag gcacaaactt tcagagacag	180
cagagcacac aagct	195

<210> 30

<211> 354

<212> DNA

<213> Mus musculus

<400> 30

gaagtgcagc tggtgagtc tgggggaggc ttagtgaagc ctggagggtc cctgaaactc	60
--	----

tcctgtgcag cctctggatt cacttcagt acctatgccca tgtcttgggt tcgccagact	120
ccggagaaga ggctggagtg ggtcgcaacc attagtaatg gtggtaactt cacctactat	180
ccagacagtg tgaagggtcg attcaccatc tccagagaca atgccgagaa caccctgtac	240
ctgcaaatga gcagtctgag gtctgaggac acggccatgt atttctgtgc aagactaattc	300
tactatgatt accttgacta ctggggccac ggcaccactc tcacagtctc ctca	354

<210> 31

<211> 118

<212> PRT

<213> Mus musculus

<400> 31

Glu Val Gln Leu Val Glu Ser Gly Gly Gly Leu Val Lys Pro Gly Gly

1 5 10 15

Ser Leu Lys Leu Ser Cys Ala Ala Ser Gly Phe Thr Phe Ser Thr Tyr

20 25 30

Ala Met Ser Trp Val Arg Gln Thr Pro Glu Lys Arg Leu Glu Trp Val

35 40 45

Ala Thr Ile Ser Asn Gly Gly Thr Tyr Thr Tyr Tyr Pro Asp Ser Val

50 55 60

Lys Gly Arg Phe Thr Ile Ser Arg Asp Asn Ala Glu Asn Thr Leu Tyr

65 70 75 80

Leu Gln Met Ser Ser Leu Arg Ser Glu Asp Thr Ala Met Tyr Phe Cys

85 90 95

Ala Arg Leu Ile Tyr Tyr Asp Tyr Leu Asp Tyr Trp Gly His Gly Thr

100 105 110

Thr Leu Thr Val Ser Ser

115

<210> 32

<211> 342

<212> DNA

<213> Mus musculus

<400> 32

gatgtgtga tgacccaaac tccactctcc ctgcctgtca gtcttgaga tcaaggctcc 60

atctcttgca ggtctagtca gagccttggaa aacagtaatg gaaacaccta tttgaactgg 120

tacttccaga aaccaggcca gtctccacag ctccgtatct acagggtttc caaccgattt 180

tctgggttcc tagacagggtt cagtggttagt ggatcaggga cagattcac actgaaaatc 240

agcagagtgg aggctgaaga ttccggagtt tatttctgcc tccaagttac tcatgtcccg 300

tggacgttcg gtggaggcac caagctggaa atcaaacggg ct 342

<210> 33

<211> 114

<212> PRT

<213> Mus musculus

<400> 33

Asp Ala Val Met Thr Gln Thr Pro Leu Ser Leu Pro Val Ser Leu Gly

1	5	10	15
Asp Gln Ala Ser Ile Ser Cys Arg Ser Ser Gln Ser Leu Glu Asn Ser			
20	25	30	
Asn Gly Asn Thr Tyr Leu Asn Trp Tyr Phe Gln Lys Pro Gly Gln Ser			
35	40	45	
Pro Gln Leu Leu Ile Tyr Arg Val Ser Asn Arg Phe Ser Gly Val Leu			
50	55	60	
Asp Arg Phe Ser Gly Ser Gly Ser Gly Thr Asp Phe Thr Leu Lys Ile			
65	70	75	80
Ser Arg Val Glu Ala Glu Asp Phe Gly Val Tyr Phe Cys Leu Gln Val			
85	90	95	
Thr His Val Pro Trp Thr Phe Gly Gly Thr Lys Leu Glu Ile Lys			
100	105	110	
Arg Ala			

<210> 34

<211> 449

<212> DNA

<213> Homo sapiens

<400> 34

gcctccggac tctagagcca ccatggtgc gcagaccagg gtgttcatct ccctgctgct	60
gtggatctcc ggccgtacg gcgatatcgt gatgattaaa cgtacggtgg ccgcggcc	120

cgtttcatc ttccccccct ccgacgagca gctgaagtcc ggcaccgcct ccgtgggttg	180
cctgctgaat aacttctacc ccagagaggc caaggtgcag tgaaagggtgg acaacgcct	240
gcagtcggg aactcccagg agagcgtgac cgagcaggac agcaaggaca gcacctacag	300
cctgagcgc accctgaccc tgagcaaagc cgactacgag aagcacaagg tgtacgcctg	360
cgaggtgacc caccagggcc tgagctcccc cgtcaccaag agcttcaaca ggggggagtg	420
ttagggccct gtttaaacgg gggaggcta	449

<210> 35

<211> 1132

<212> DNA

&lt;213&gt; Artificial Sequence

&lt;220&gt;&lt;223&gt; human H-chain signal and IgG1 constant DNA

&lt;400&gt; 35

gcctccggac tctagagcca ccatgaaaca cctgtggtc ttccctcgc tggggcagc	60
tcccagatgg gtgctgagcc aggtgcaatt gtgcaggcggttagctcagc ctccaccaag	120
ggcccaagcg tcttccccct ggcaccctcc tccaagagca cctctggcg cacagccgc	180
ctgggctgcc tggtaagga ctacttcccc gaacccgtga ccgtgagctg gaactcaggc	240
gccctgacca gcggcgtgca caccttcccc gctgtcgc agtcctcagg actctactcc	300
ctcagcagcg tggtgaccgt gccctccagc agcttggca cccagaccta catctgcaac	360

gtgaatcaca agccagcaa caccaagggtg gacaagagag ttgagccaa atcttgtac	420
aaaactcaca catgcccacc ctgcccagca cctgaactcc tgggggacc ctcagtctc	480
ctcttcccc caaaacccaa ggacaccctc atgatctcc ggaccttga ggtcacatgc	540
gtgggtgtgg acgtgagcca cgaagaccct gaggtcaagt tcaactggta cgtggacggc	600
gtggagggtgc ataatgcca gacaaagccc cgggaggagc agtacaacag cacgtaccgg	660
gtggtcagcg tcctcaccgt cctgcaccag gactggctga atggcaagga gtacaagtgc	720
aaggcttcca acaaagccct cccagccccc atcgagaaaa ccatctccaa agccaaaggc	780

cagccccggg aaccacaggt gtacaccctg ccccatccc gggaggagat gaccaagaac	840
caggtcagcc tgacctgcct ggtcaaaggc ttctatccca ggcacatcgc cgtggagtgg	900
gagagcaatg gccagcccgaa acacaactac aagaccaccc ctccgtct ggactccgac	960
ggctccttct tcctctacag caagctcacc gtggacaaga gcaggtggca gcagggcaac	1020
gtcttctcat gtcctgtat gcatgaggct ctgcacaacc actacacccca gaagagcctc	1080
tccctgtctc cggcaaatg agatatcggtt cccgtttaaa cggggaggc ta	1132

&lt;210&gt; 36

&lt;211&gt; 1118

&lt;212&gt; DNA

&lt;213&gt; Homo sapiens

&lt;400&gt; 36

gcctccggac tctagagcca ccatgaaaca cctgtggtc ttccctcgc tggggcagc	60
tcccagatgg gtgctgagcc aggtgcaatt gtgcaggcggttagctcagc cagcaccaag	120
ggcccttccg tttccctct ggcccttgc agccgttcca ccagcgatc caccggccgc	180
cttggctgtc tggtaagga ctacttccct gacgtgtga ccgtgagctg gaactccgga	240

gcccttacca	gccccgtgca	caccccttgc	ggcgtgtgc	agtccagcgg	cctttactcc	300
ctgagctcg	tggtgaccgt	gcctagctcc	aacttcggca	cccaaaccta	cacctgtaac	360
gtggaccaca	agcctagcaa	caccaagggtg	gacaagaccg	tggagcgtaa	gtgttgtgtg	420
gagtgtectc	cttgtcctgc	ccctcctgtg	gccggaccc	ccgtgttcct	tttccctcct	480
aagcctaagg	acaccctgat	gatcagccgt	accctgagg	tgacctgtgt	ggtggtggac	540
gtgtccacg	aggaccctga	ggtgcagttc	aactggtagc	tggacggcgt	ggaggtgcac	600
aacccaaga	ccaaggctcg	tgaggagcaa	ttcaacagca	ccttcgtgt	ggtgtccgt	660
cttaccgtgg	tgaccaaga	ctggctgaac	ggcaaggagt	acaagtgtaa	ggtgagcaac	720
aggagacttc	ctgcccstat	cgagaagacc	atctccaaga	ccaagggcca	acctcgtgag	780
cctcaagtgt	acacccttcc	tcctagccgt	gaggagatga	ccaagaacca	agtgtccctt	840
acctgtctgg	tgaaggcctt	ctacccttagc	gacatcgccg	tggagtggga	gtccaaacgga	900
caacctgaga	acaactacaa	gaccacccct	cctatgttg	acagcgcacgg	ctccttcttc	960
ctgtacagca	agctgaccgt	ggacaagtcc	cgttggcaac	aaggcaacgt	gttcagctgt	1020
tccgtgtatgc	acgaggccct	gcacaaccac	tacacccaaa	agagccttcc	cctgagccct	1080
ggaaagtgtat	atcgcccccg	tttaaacggg	ggaggcta			1118
<210>	37					
<211>	717					
<212>	DNA					
<213>	Artificial Sequence					
<220><223>	cMAb1 L chain na					
<400>	37					
atggtgctgc	agacccaggt	gttcatctcc	ctgctgtgt	ggatctccgg	cgcgtacggc	60
gatgcgtgtga	tgacccaaac	tccactctcc	ctgcctgtca	gtcttggaga	tcaagcctcc	120
atctcttgca	ggtctagtca	gagccttggaa	aacagtaatg	gaaacaccta	tttgaactgg	180
tacttccaga	aaccaggcca	gtctccacag	ctcctgtatct	acagggtttc	caaccgattt	240
tctgggtcc	tagacagggtt	cagtggttagt	ggatcaggga	cagatttcac	actgaaaatc	300
agcagagtgg	aggctgaaga	tttcggagtt	tatttctgcc	tccaagttac	tcatgtcccg	360
tggacgttcg	gtggaggcac	caagctggaa	atcaaacggg	ctgtggccgc	ccccctccgt	420
ttcatcttcc	ccccctccga	cgagcagctg	aagtccggca	ccgcctccgt	ggtgtgcctg	480
ctgaataact	tctaccccaag	agaggccaag	gtgcagtggaa	aggtggacaa	cgcctgcag	540
tccggaaact	cccaggagag	cgtgaccgag	caggacagca	aggacagcac	ctacagcctg	600

agcagcaccc tgaccctgag caaagccgac tacgagaagc acaagggtgta cgcctgcgag 660  
 gtgaccacc accaagagct tcaacagggg ggagtgt 717  
 <210> 38  
 <211> 239  
 <212> PRT  
 <213> Artificial Sequence  
 <220><223> cMAb1 L chain aa  
 <400> 38

Met	Val	Leu	Gln	Thr	Gln	Val	Phe	Ile	Ser	Leu	Leu	Leu	Trp	Ile	Ser
1															
	5					10								15	

Gly Ala Tyr Gly Asp Ala Val Met Thr Gln Thr Pro Leu Ser Leu Pro  
 20 25 30

Val	Ser	Leu	Gly	Asp	Gln	Ala	Ser	Ile	Ser	Cys	Arg	Ser	Ser	Gln	Ser
35															
	40						45								

Leu Glu Asn Ser Asn Gly Asn Thr Tyr Leu Asn Trp Tyr Phe Gln Lys  
 50 55 60

Pro	Gly	Gln	Ser	Pro	Gln	Leu	Leu	Ile	Tyr	Arg	Val	Ser	Asn	Arg	Phe
65															
	70					75					80				

Ser Gly Val Leu Asp Arg Phe Ser Gly Ser Gly Ser Gly Thr Asp Phe  
 85 90 95

Thr	Leu	Lys	Ile	Ser	Arg	Val	Glu	Ala	Glu	Asp	Phe	Gly	Val	Tyr	Phe
100															
	105					110									

Cys Leu Gln Val Thr His Val Pro Trp Thr Phe Gly Gly Thr Lys  
 115 120 125

Leu	Glu	Ile	Lys	Arg	Ala	Val	Ala	Ala	Pro	Ser	Val	Phe	Ile	Phe	Pro
130															
	135					140									

Pro Ser Asp Glu Gln Leu Lys Ser Gly Thr Ala Ser Val Val Cys Leu  
 145 150 155 160

Leu	Asn	Asn	Phe	Tyr	Pro	Arg	Glu	Ala	Lys	Val	Gln	Trp	Lys	Val	Asp
165															
	170					175									

Asn Ala Leu Gln Ser Gly Asn Ser Gln Glu Ser Val Thr Glu Gln Asp  
 180 185 190

Ser Lys Asp Ser Thr Tyr Ser Leu Ser Ser Thr Leu Thr Leu Ser Lys

195 200 205

Ala Asp Tyr Glu Lys His Lys Val Tyr Ala Cys Glu Val Thr His Gln

210 215 220

Gly Leu Ser Ser Pro Val Thr Lys Ser Phe Asn Arg Gly Glu Cys

225 230 235

<210> 39

<211> 1401

<212> DNA

<213> Artificial Sequence

<220><223> cMAb1-1 H chain na

<400> 39

atgaaacacc tgggttctt ctcctgctg gtggcagctc ccagatgggt gctgagcgaa	60
gtgcagctgg tggagtctgg gggaggctta gtgaagcctg gagggtccct gaaactctcc	120

tgtcagccct ctggattcac ttcatgtacc tatgccatgt ctgggttcg ccagactccg	180
gagaagaggc tggagtgggt cgcaaccatt agtaatggtg gtacttacac ctactatcca	240
gacagtgtga aggtcgatt caccatctcc agagacaatg ccgagaacac cctgtacctg	300
caaattgagca gtctgaggc tgaggacacg gccatgtatt tctgtgcaag actaatctac	360
tatgattacc ttgactactg gggcacggc accactctca cagtcagctc agcctccacc	420
aaggcccaa gcttcccc cctggcaccc tcctccaaga gcacctctgg cggcacagcc	480
gccctggct gcctggtaa ggactactc cccgaacccg tgaccgttag ctggactca	540

ggcgcctga ccagcggcgt gcacacccctc cccgctgtcc tgcagtcctc aggactctac	600
tccctcagca gctgggtgac cgtccctcc agcagcttgg gcacccagac ctacatctgc	660
aacgtgaatc acaagcccg caacaccaag gtggacaaga gagttgagcc caaatcttgt	720
gacaaaactc acacatgccc accctgccc gcacctgaac tcctgggggg accctcagtc	780
ttcccttcc cccaaaacc caaggacacc ctcatgatct cccggacccc tgaggtcaca	840
tgcgtggtag tggacgttag ccacgaagac cctgaggta agtcaactg gtacgtggac	900
ggcgtggagg tgcataatgc caagacaaag cccggggagg agcagtacaa cagcacgtac	960

cgggtggtaa gcttcctcac cgtccgtcac caggactggc tgaatggcaa ggagtacaag	1020
tgcaaggctt ccaacaaagg cctcccgagcc cccatcgaga aaaccatctc caaagccaa	1080
ggccagcccc gggaccaca ggtgtacacc ctgccccat cccggggagga gatgaccaag	1140

aaccaggta gcctgacctg cctggtaaaa ggcttctatc ccagcgacat cgccgtggag	1200
tgggagagca atggccagcc cgagaacaac tacaagacca cccctccgt gctggactcc	1260
gacggctcct ttttcctcta cagcaagctc accgtggaca agagcaggtg gcagcaggc	1320
aacgtttct caigctccgt gatgcata gatgcata gatacatacc accactacac ccagaagagc	1380

ctctccctgt ctcccgcaa a	1401
------------------------	------

&lt;210&gt; 40

&lt;211&gt; 467

&lt;212&gt; PRT

&lt;213&gt; Artificial Sequence

&lt;220&gt;&lt;223&gt; cMAb1-1 H chain aa

&lt;400&gt; 40

Met Lys His Leu Trp Phe Phe Leu Leu Leu Val Ala Ala Pro Arg Trp

1 5 10 15

Val Leu Ser Glu Val Gln Leu Val Glu Ser Gly Gly Gly Leu Val Lys

20 25 30

Pro Gly Gly Ser Leu Ser Cys Ala Ala Ser Gly Phe Thr Phe

35 40 45

Ser Thr Tyr Ala Met Ser Trp Val Arg Gln Thr Pro Glu Lys Arg Leu

50 55 60

Glu Trp Val Ala Thr Ile Ser Asn Gly Gly Thr Tyr Thr Tyr Tyr Pro

65 70 75 80

Asp Ser Val Lys Gly Arg Phe Thr Ile Ser Arg Asp Asn Ala Glu Asn

85 90 95

Thr Leu Tyr Leu Gln Met Ser Ser Leu Arg Ser Glu Asp Thr Ala Met

100 105 110

Tyr Phe Cys Ala Arg Leu Ile Tyr Tyr Asp Tyr Leu Asp Tyr Trp Gly

115 120 125

His Gly Thr Thr Leu Thr Val Ser Ser Ala Ser Thr Lys Gly Pro Ser

130 135 140

Val Phe Pro Leu Ala Pro Ser Ser Lys Ser Thr Ser Gly Gly Thr Ala

145 150 155 160

Ala Leu Gly Cys Leu Val Lys Asp Tyr Phe Pro Glu Pro Val Thr Val

165 170 175

Ser Trp Asn Ser Gly Ala Leu Thr Ser Gly Val His Thr Phe Pro Ala

180 185 190

Val Leu Gln Ser Ser Gly Leu Tyr Ser Leu Ser Ser Val Val Thr Val

195 200 205

Pro Ser Ser Ser Leu Gly Thr Gln Thr Tyr Ile Cys Asn Val Asn His

210 215 220

Lys Pro Ser Asn Thr Lys Val Asp Lys Arg Val Glu Pro Lys Ser Cys

225 230 235 240

Asp Lys Thr His Thr Cys Pro Pro Cys Pro Ala Pro Glu Leu Leu Gly

245 250 255

Gly Pro Ser Val Phe Leu Phe Pro Pro Lys Pro Lys Asp Thr Leu Met

260 265 270

Ile Ser Arg Thr Pro Glu Val Thr Cys Val Val Val Asp Val Ser His

275 280 285

Glu Asp Pro Glu Val Lys Phe Asn Trp Tyr Val Asp Gly Val Glu Val

290 295 300

His Asn Ala Lys Thr Lys Pro Arg Glu Glu Gln Tyr Asn Ser Thr Tyr

305 310 315 320

Arg Val Val Ser Val Leu Thr Val Leu His Gln Asp Trp Leu Asn Gly

325 330 335

Lys Glu Tyr Lys Cys Lys Val Ser Asn Lys Ala Leu Pro Ala Pro Ile

340 345 350

Glu Lys Thr Ile Ser Lys Ala Lys Gly Gln Pro Arg Glu Pro Gln Val

355 360 365

Tyr Thr Leu Pro Pro Ser Arg Glu Glu Met Thr Lys Asn Gln Val Ser

370 375 380

Leu Thr Cys Leu Val Lys Gly Phe Tyr Pro Ser Asp Ile Ala Val Glu

385 390 395 400

Trp Glu Ser Asn Gly Gln Pro Glu Asn Asn Tyr Lys Thr Thr Pro Pro

405	410	415	
Val Leu Asp Ser Asp Gly Ser Phe Phe Leu Tyr Ser Lys Leu Thr Val			
420	425	430	
Asp Lys Ser Arg Trp Gln Gln Gly Asn Val Phe Ser Cys Ser Val Met			
435	440	445	
His Glu Ala Leu His Asn His Tyr Thr Gln Lys Ser Leu Ser Leu Ser			
450	455	460	
Pro Gly Lys			
465			
<210> 41			
<211> 1389			
<212> DNA			
<213> Artificial Sequence			
<220><223> cMAb1-2 H chain na			
<400> 41			
atgaaacacc tgtggttctt ctcctgctg gtggcagctc ccagatgggt gctgagcgaa			60
gtgcagctgg tggagtctgg gggaggctta gtgaagcctg gagggtccct gaaactctcc			120
tgtgcagccct ctggattcac ttcatgtacc tatgccatgt ctgggttcg ccagactccg			180
gagaagaggc tggagtgggt cgcaaccatt agtaatggtg gtacttacac ctactatcca			240
gacagtgtga agggtcgatt caccatctcc agagacaatg ccgagaacac cctgtacctg			300
caaatacgca gctcgaggc tgaggacacg gccatgtatt tctgtcaag actaatctac			360
tatgattacc ttgactactg gggccacggc accactctca cagtcagctc agccagcacc			420
aaggcccctt ccgtgttccc tctggccct ttagccgtt ccaccagcga gtccaccgcc			480
gcccttgct gctgggtgaa ggactacttc cctgagcctg tgaccgtgag ctggactcc			540
ggagccctta ccagccgcgt gcacaccttc cctgcccgtc tgcatgtccag cggcccttac			600
tccctgagct ccgtggtgac cgtgccttagc tccaaacttcg gcacccaaac ctacacctgt			660
aacgtggacc acaaggctag caacaccaag gtggacaaga ccgtggagcg taagtgttg			720
gtggagtgtc ctccctgtcc tgccccctt gtggccggac ctccgtgtt cctttccct			780
cctaaggctt aggacaccct gatgatcagc cgtaccctg aggtgaccctg tgtggtggt			840
gacgtgtccc acgaggaccc tgaggtgcag ttcaactggt acgtggacgg cgtggaggtg			900
cacaacgcca agaccaagcc tcgtgaggag caattcaaca gcacccctcg tgtggtgcc			960

tgcttaccg tggcacca agactggctg aacggcaagg agtacaagtg taaggtgac	1020
aacaaggac ttccgtcccc tatcgagaag accatctcca agaccaaggg ccaacctcg	1080
gagcctcaag tgtacaccct tcctccttagc cgtgaggaga tgaccaagaa ccaagtgtcc	1140
cattacctgtc tggtaaggg ctcttacccct agcgacatcg ccgtggagtggagtccaa	1200
ggacaacctg agaacaacta caagaccacc ctcctatgc ttgacagcga cggctccttc	1260
tccctgtaca gcaagctgac cgtggacaag tcccgttgc aacaaggcaa cgtttcagc	1320

tgtccgtga tgcacgaggc cctgcacaac cactacaccc aaaagagcct ttccctgagc	1380
cctggaaag	1389

&lt;210&gt; 42

&lt;211&gt; 463

&lt;212&gt; PRT

&lt;213&gt; Artificial Sequence

&lt;220&gt;&lt;223&gt; cMAb1-2 H chain aa

&lt;400&gt; 42

Met Lys His Leu Trp Phe Phe Leu Leu Leu Val Ala Ala Pro Arg Trp

1 5 10 15

Val Leu Ser Glu Val Gln Leu Val Glu Ser Gly Gly Gly Leu Val Lys

20 25 30

Pro Gly Gly Ser Leu Lys Leu Ser Cys Ala Ala Ser Gly Phe Thr Phe

35 40 45

Ser Thr Tyr Ala Met Ser Trp Val Arg Gln Thr Pro Glu Lys Arg Leu

50 55 60

Glu Trp Val Ala Thr Ile Ser Asn Gly Gly Thr Tyr Thr Tyr Tyr Pro

65 70 75 80

Asp Ser Val Lys Gly Arg Phe Thr Ile Ser Arg Asp Asn Ala Glu Asn

85 90 95

Thr Leu Tyr Leu Gln Met Ser Ser Leu Arg Ser Glu Asp Thr Ala Met

100 105 110

Tyr Phe Cys Ala Arg Leu Ile Tyr Tyr Asp Tyr Leu Asp Tyr Trp Gly

115 120 125

His Gly Thr Thr Leu Thr Val Ser Ser Ala Ser Thr Lys Gly Pro Ser

130 135 140

Val Phe Pro Leu Ala Pro Cys Ser Arg Ser Thr Ser Glu Ser Thr Ala  
 145 150 155 160

Ala Leu Gly Cys Leu Val Lys Asp Tyr Phe Pro Glu Pro Val Thr Val  
 165 170 175

Ser Trp Asn Ser Gly Ala Leu Thr Ser Gly Val His Thr Phe Pro Ala  
 180 185 190

Val Leu Gln Ser Ser Gly Leu Tyr Ser Leu Ser Ser Val Val Thr Val  
 195 200 205

Pro Ser Ser Asn Phe Gly Thr Gln Thr Tyr Thr Cys Asn Val Asp His  
 210 215 220

Lys Pro Ser Asn Thr Lys Val Asp Lys Thr Val Glu Arg Lys Cys Cys  
 225 230 235 240

Val Glu Cys Pro Pro Cys Pro Ala Pro Pro Val Ala Gly Pro Ser Val  
 245 250 255

Phe Leu Phe Pro Pro Lys Pro Lys Asp Thr Leu Met Ile Ser Arg Thr  
 260 265 270

Pro Glu Val Thr Cys Val Val Asp Val Ser His Glu Asp Pro Glu  
 275 280 285

Val Gln Phe Asn Trp Tyr Val Asp Gly Val Glu Val His Asn Ala Lys  
 290 295 300

Thr Lys Pro Arg Glu Glu Gln Phe Asn Ser Thr Phe Arg Val Val Ser  
 305 310 315 320

Val Leu Thr Val Val His Gln Asp Trp Leu Asn Gly Lys Glu Tyr Lys  
 325 330 335

Cys Lys Val Ser Asn Lys Gly Leu Pro Ala Pro Ile Glu Lys Thr Ile  
 340 345 350

Ser Lys Thr Lys Gly Gln Pro Arg Glu Pro Gln Val Tyr Thr Leu Pro  
 355 360 365

Pro Ser Arg Glu Glu Met Thr Lys Asn Gln Val Ser Leu Thr Cys Leu  
 370 375 380

Val Lys Gly Phe Tyr Pro Ser Asp Ile Ala Val Glu Trp Glu Ser Asn

385                    390                    395                    400

Gly Gln Pro Glu Asn Asn Tyr Lys Thr Thr Pro Pro Met Leu Asp Ser

405                    410                    415

Asp Gly Ser Phe Phe Leu Tyr Ser Lys Leu Thr Val Asp Lys Ser Arg

420                    425                    430

Trp Gln Gln Gly Asn Val Phe Ser Cys Ser Val Met His Glu Ala Leu

435                    440                    445

His Asn His Tyr Thr Gln Lys Ser Leu Ser Leu Ser Pro Gly Lys

450                    455                    460

<210> 43

<211> 15

<212> DNA

<213> Mus musculus

<400> 43

acctatgccatgtct 15

<210> 44

<211> 5

<212> PRT

<213> Mus musculus

<400> 44

Thr Tyr Ala Met Ser

1                    5

<210> 45

<211> 51

<212> DNA

<213> Mus musculus

<400> 45

accatttagta atgggtgtac ttacacctac tatccagaca gtgtgaaggg t 51

<210> 46

<211> 17

<212> PRT

<213> Mus musculus

<400> 46

Thr Ile Ser Asn Gly Gly Thr Tyr Thr Tyr Tyr Pro Asp Ser Val Lys

1 5 10 15

Gly

<210> 47

<211> 27

<212> DNA

<213> Mus musculus

<400> 47

ctaattctact atgattacct tgactac 27

<210> 48

<211> 9

<212> PRT

<213> Mus musculus

<400> 48

Leu Ile Tyr Tyr Asp Tyr Leu Asp Tyr

1 5

<210> 49

<211> 48

<212> DNA

<213> Mus musculus

<400> 49

aggctctagtc agagccttga aaacagtaat ggaaacacct atttgaac 48

<210> 50

<211> 16

<212> PRT

<213> Mus musculus

<400> 50

Arg Ser Ser Gln Ser Leu Glu Asn Ser Asn Gly Asn Thr Tyr Leu Asn

1 5 10 15

<210> 51

<211> 21

<212> DNA

&lt;213&gt; Mus musculus

&lt;400&gt; 51

agggttcca accgatttc t 21

&lt;210&gt; 52

&lt;211&gt; 7

&lt;212&gt; PRT

&lt;213&gt; Mus musculus

&lt;400&gt; 52

Arg Val Ser Asn Arg Phe Ser

1 5

&lt;210&gt; 53

&lt;211&gt; 27

&lt;212&gt; DNA

&lt;213&gt; Mus musculus

&lt;400&gt; 53

ctccaaagtta ctcatgtccc gtggacg 27

&lt;210&gt; 54

&lt;211&gt; 9

&lt;212&gt; PRT

&lt;213&gt; Mus musculus

&lt;400&gt; 54

Leu Gln Val Thr His Val Pro Trp Thr

1 5

&lt;210&gt; 55

&lt;211&gt; 1389

&lt;212&gt; DNA

&lt;213&gt; Artificial Sequence

&lt;220&gt;&lt;223&gt; hMAb1-T1H

&lt;400&gt; 55

atgaaacacc tgtggttctt ctcctgctg gtggcagctc ccagatgggt gctgagcgag 60

gtgcagctgg tgaaaagcgg cggaggcctg gtgcagcctg gcccgtctct gagactgagc 120

tgtggccca gcggcttcac cttcagcacc tacggcatga gctgggtccg acaggccc 180

ggcaaggac tgaaatgggt ggcaaccatc agcaacggcg gcacctacac ctactaccc 240

gacagcgtga	aggccgggtt	caccatcago	cgggacaacg	ccaagaacac	cctgtactg	300
cagatgaaca	gcctcgggc	cgaggacacc	gccgtgtact	actgcgccag	actgatctac	360
tacgactacc	tggactactg	ggccagggc	accctggta	ccgtcagctc	agccagcacc	420
aaggcccctt	ccgttgtccc	tctggccctt	tgttagccgtt	ccaccagcga	gtccaccgcc	480
gcccttggct	gtctggtaa	ggactacttc	cctgagcctg	tgaccgtgag	ctgaaactcc	540
ggagccctta	ccagcggcgt	gcacaccttc	cctgccgtgc	tgcaagtccag	cggccttac	600
tccctgagct	ccgtggtgac	cgtgcctagc	tccaaacttcg	gcacccaaac	ctacacctgt	660

aacgtggacc	acaaggctag	caacaccaag	gtggacaaga	ccgtggagcg	taagtgttgt	720
gtggagtgtc	ctccttgc	tgccccctct	gtggccggac	cttccgtgtt	cctttccct	780
cctaaggcta	aggacaccct	gatgatcago	cgtaccctg	aggtgacctg	tgtggtggtg	840
gacgtgtccc	acgaggaccc	tgaggtgeag	ttcaactggt	acgtggacgg	cgtggaggtg	900
cacaacgcca	agaccaagcc	tcgtgaggag	caattcaaca	gcaccttccg	tgtggtgcc	960
gtgcttaccg	tggtgaccca	agactggctg	aacggcaagg	agtacaagtg	taaggtgagc	1020
aacaaggac	ttccctgcccc	tatcgagaag	accatctcca	agaccaaggg	ccaacctcgt	1080

gagcctcaag	tgtacaccct	tcctcctagc	cgtgaggaga	tgaccaagaa	ccaagtgtcc	1140
cttacctgtc	tggtaaggg	cttctaccct	agcgacatcg	ccgtggagtg	ggagtccaac	1200
ggacaacctg	agaacaacta	caagaccacc	cctcctatgc	ttgacagcga	cggctccttc	1260
ttccctgtaca	gcaagctgac	cgtggacaag	tcccgttgc	aacaaggcaa	cgtttcagc	1320
tgttccgtga	tgcacgaggc	cctgcacaac	cactacaccc	aaaagagcct	ttccctgagc	1380
cctggaaag						1389

&lt;210&gt; 56

&lt;211&gt; 463

&lt;212&gt; PRT

&lt;213&gt; Artificial Sequence

&lt;220&gt;&lt;223&gt; hMAb1-T1H aa

&lt;400&gt; 56

Met Lys His Leu Trp Phe Phe Leu Leu Leu Val Ala Ala Pro Arg Trp

1 5 10 15

Val Leu Ser Glu Val Gln Leu Val Glu Ser Gly Gly Gly Leu Val Gln

20 25 30

Pro Gly Gly Ser Leu Arg Leu Ser Cys Ala Ala Ser Gly Phe Thr Phe

35 40 45

Ser Thr Tyr Ala Met Ser Trp Val Arg Gln Ala Pro Gly Lys Gly Leu

50 55 60

Glu Trp Val Ala Thr Ile Ser Asn Gly Gly Thr Tyr Thr Tyr Tyr Pro

65 70 75 80

Asp Ser Val Lys Gly Arg Phe Thr Ile Ser Arg Asp Asn Ala Lys Asn

85 90 95

Thr Leu Tyr Leu Gln Met Asn Ser Leu Arg Ala Glu Asp Thr Ala Val

100 105 110

Tyr Tyr Cys Ala Arg Leu Ile Tyr Tyr Asp Tyr Leu Asp Tyr Trp Gly

115 120 125

Gln Gly Thr Leu Val Thr Val Ser Ser Ala Ser Thr Lys Gly Pro Ser

130 135 140

Val Phe Pro Leu Ala Pro Cys Ser Arg Ser Thr Ser Glu Ser Thr Ala

145 150 155 160

Ala Leu Gly Cys Leu Val Lys Asp Tyr Phe Pro Glu Pro Val Thr Val

165 170 175

Ser Trp Asn Ser Gly Ala Leu Thr Ser Gly Val His Thr Phe Pro Ala

180 185 190

Val Leu Gln Ser Ser Gly Leu Tyr Ser Leu Ser Ser Val Val Thr Val

195 200 205

Pro Ser Ser Asn Phe Gly Thr Gln Thr Tyr Thr Cys Asn Val Asp His

210 215 220

Lys Pro Ser Asn Thr Lys Val Asp Lys Thr Val Glu Arg Lys Cys Cys

225 230 235 240

Val Glu Cys Pro Pro Cys Pro Ala Pro Pro Val Ala Gly Pro Ser Val

245 250 255

Phe Leu Phe Pro Pro Lys Pro Lys Asp Thr Leu Met Ile Ser Arg Thr

260 265 270

Pro Glu Val Thr Cys Val Val Val Asp Val Ser His Glu Asp Pro Glu

275 280 285

Val Gln Phe Asn Trp Tyr Val Asp Gly Val Glu Val His Asn Ala Lys

290	295	300
Thr Lys Pro Arg Glu Glu Gln Phe Asn Ser Thr Phe Arg Val Val Ser		
305	310	315
Val Leu Thr Val Val His Gln Asp Trp Leu Asn Gly Lys Glu Tyr Lys		
325	330	335
Cys Lys Val Ser Asn Lys Gly Leu Pro Ala Pro Ile Glu Lys Thr Ile		
340	345	350
Ser Lys Thr Lys Gly Gln Pro Arg Glu Pro Gln Val Tyr Thr Leu Pro		
355	360	365
Pro Ser Arg Glu Glu Met Thr Lys Asn Gln Val Ser Leu Thr Cys Leu		
370	375	380
Val Lys Gly Phe Tyr Pro Ser Asp Ile Ala Val Glu Trp Glu Ser Asn		
385	390	395
Gly Gln Pro Glu Asn Asn Tyr Lys Thr Thr Pro Pro Met Leu Asp Ser		
405	410	415
Asp Gly Ser Phe Phe Leu Tyr Ser Lys Leu Thr Val Asp Lys Ser Arg		
420	425	430
Trp Gln Gln Gly Asn Val Phe Ser Cys Ser Val Met His Glu Ala Leu		
435	440	445
His Asn His Tyr Thr Gln Lys Ser Leu Ser Leu Ser Pro Gly Lys		
450	455	460
<210> 57		
<211> 1389		
<212> DNA		
<213> Artificial Sequence		
<220><223> hMAb1-T2H na		
<400> 57		
atgaaaacacc tgtggttctt ctcctgtcg gtggcagctc ccagatgggt gctgagcgg 60		
gtgcagctgg tggaaagcgg cggaggcccg gtgcagcccg gcggctctct gagactgagc 120		
tgtgccgcca gcggcttcac cttcagcacc tacgcccata gctgggtccg acaggcccc 180		
ggcaaggggac tggaaatgggt ggcaaccatc agccaaaggcg gcacacctacac ctactacccc 240		

gacagcgtga	aggccgggtt	caccatcago	cgggacaacg	ccaagaacac	cctgtactg	300
cagatgaaca	gcctcgggc	cgaggacacc	gccgtgtact	actgcgccag	actgatctac	360
tacgactacc	tggactactg	ggccagggc	accctggta	ccgtcagctc	agccagcacc	420
aaggccctt	ccgttgtccc	tctggccctt	tgttagccgtt	ccaccagcga	gtccaccgcc	480
gcccttggct	gtctggtaa	ggactacttc	cctgagcctg	tgaccgtgag	ctgaaactcc	540
ggagcccta	ccagcggcgt	gcacaccttc	cctgccgtgc	tgcaagtccag	cggccttac	600
tccctgagct	ccgtggtgac	cgtgcctagc	tccaaacttcg	gcacccaaac	ctacacctgt	660

aacgtggacc	acaaggctag	caacaccaag	gtggacaaga	ccgtggagcg	taagtgttgt	720
gtggagtgtc	ctccttgc	tgccccctct	gtggccggac	cttccgtgtt	cctttccct	780
cctaaggcta	aggacaccct	gatgatcago	cgtaccctg	aggtgacctg	tgtggtggtg	840
gacgtgtccc	acgaggaccc	tgaggtgeag	ttcaactggt	acgtggacgg	cgtggaggtg	900
cacaacgcca	agaccaagcc	tcgtgaggag	caattcaaca	gcaccttccg	tgtggtgcc	960
gtgcttaccg	tggtgaccca	agactggctg	aacggcaagg	agtacaagtg	taaggtgagc	1020
aacaaggac	ttccctgcccc	tatcgagaag	accatctcca	agaccaaggg	ccaacctcgt	1080

gagcctcaag	tgtacaccct	tcctcctagc	cgtgaggaga	tgaccaagaa	ccaagtgtcc	1140
cttacctgtc	tggtaaggg	cttctaccct	agcgacatcg	ccgtggagtg	ggagtccaac	1200
ggacaacctg	agaacaacta	caagaccacc	cctcctatgc	ttgacagcga	cggctccttc	1260
ttccctgtaca	gcaagctgac	cgtggacaag	tcccgttgc	aacaaggcaa	cgtttcagc	1320
tgttccgtga	tgcacgaggc	cctgcacaac	cactacaccc	aaaagagcct	ttccctgagc	1380
cctggaaag						1389

&lt;210&gt; 58

&lt;211&gt; 463

&lt;212&gt; PRT

&lt;213&gt; Artificial Sequence

&lt;220&gt;&lt;223&gt; hMAb1-T2H aa

&lt;400&gt; 58

Met Lys His Leu Trp Phe Phe Leu Leu Leu Val Ala Ala Pro Arg Trp

1 5 10 15

Val Leu Ser Glu Val Gln Leu Val Glu Ser Gly Gly Gly Leu Val Gln

20 25 30

Pro Gly Gly Ser Leu Arg Leu Ser Cys Ala Ala Ser Gly Phe Thr Phe

35 40 45

Ser Thr Tyr Ala Met Ser Trp Val Arg Gln Ala Pro Gly Lys Gly Leu

50 55 60

Glu Trp Val Ala Thr Ile Ser Gln Gly Gly Thr Tyr Thr Tyr Tyr Pro

65 70 75 80

Asp Ser Val Lys Gly Arg Phe Thr Ile Ser Arg Asp Asn Ala Lys Asn

85 90 95

Thr Leu Tyr Leu Gln Met Asn Ser Leu Arg Ala Glu Asp Thr Ala Val

100 105 110

Tyr Tyr Cys Ala Arg Leu Ile Tyr Tyr Asp Tyr Leu Asp Tyr Trp Gly

115 120 125

Gln Gly Thr Leu Val Thr Val Ser Ser Ala Ser Thr Lys Gly Pro Ser

130 135 140

Val Phe Pro Leu Ala Pro Cys Ser Arg Ser Thr Ser Glu Ser Thr Ala

145 150 155 160

Ala Leu Gly Cys Leu Val Lys Asp Tyr Phe Pro Glu Pro Val Thr Val

165 170 175

Ser Trp Asn Ser Gly Ala Leu Thr Ser Gly Val His Thr Phe Pro Ala

180 185 190

Val Leu Gln Ser Ser Gly Leu Tyr Ser Leu Ser Ser Val Val Thr Val

195 200 205

Pro Ser Ser Asn Phe Gly Thr Gln Thr Tyr Thr Cys Asn Val Asp His

210 215 220

Lys Pro Ser Asn Thr Lys Val Asp Lys Thr Val Glu Arg Lys Cys Cys

225 230 235 240

Val Glu Cys Pro Pro Cys Pro Ala Pro Pro Val Ala Gly Pro Ser Val

245 250 255

Phe Leu Phe Pro Pro Lys Pro Lys Asp Thr Leu Met Ile Ser Arg Thr

260 265 270

Pro Glu Val Thr Cys Val Val Val Asp Val Ser His Glu Asp Pro Glu

275 280 285

Val Gln Phe Asn Trp Tyr Val Asp Gly Val Glu Val His Asn Ala Lys

290	295	300
Thr Lys Pro Arg Glu Glu Gln Phe Asn Ser Thr Phe Arg Val Val Ser		
305	310	315
Val Leu Thr Val Val His Gln Asp Trp Leu Asn Gly Lys Glu Tyr Lys		
325	330	335
Cys Lys Val Ser Asn Lys Gly Leu Pro Ala Pro Ile Glu Lys Thr Ile		
340	345	350
Ser Lys Thr Lys Gly Gln Pro Arg Glu Pro Gln Val Tyr Thr Leu Pro		
355	360	365
Pro Ser Arg Glu Glu Met Thr Lys Asn Gln Val Ser Leu Thr Cys Leu		
370	375	380
Val Lys Gly Phe Tyr Pro Ser Asp Ile Ala Val Glu Trp Glu Ser Asn		
385	390	395
Gly Gln Pro Glu Asn Asn Tyr Lys Thr Thr Pro Pro Met Leu Asp Ser		
405	410	415
Asp Gly Ser Phe Phe Leu Tyr Ser Lys Leu Thr Val Asp Lys Ser Arg		
420	425	430
Trp Gln Gln Gly Asn Val Phe Ser Cys Ser Val Met His Glu Ala Leu		
435	440	445
His Asn His Tyr Thr Gln Lys Ser Leu Ser Leu Ser Pro Gly Lys		
450	455	460
<210> 59		
<211> 1389		
<212> DNA		
<213> Artificial Sequence		
<220><223> hMAb1-T3H na		
<400> 59		
atgaaaacacc tgtggttctt ctcctgtcg gtggcagctc ccagatgggt gctgagcgg 60		
gtgcagctgg tggaaagcgg cggaggcccg gtgcagcccg gcggctctct gagactgagc 120		
tgtgccgcca gcggcttcac cttcagcacc tacgcccata gctgggtccg acaggcccc 180		
ggcaagcggc tggaaatgggt ggcaaccatc agcaacggcg gcacacctacac ctactacccc 240		

gacagcgtga	aggccgggtt	caccatcago	cgggacaacg	ccaagaacac	cctgtactg	300
cagatgaaca	gcctcgggc	cgaggacacc	gccgtgtact	actgcgccag	actgatctac	360
tacgactacc	tggactactg	ggccagggc	accctggta	ccgtcagctc	agccagcacc	420
aaggccctt	ccgttgtccc	tctggccctt	tgttagccgtt	ccaccagcga	gtccaccgcc	480
gcccttggct	gtctggtaa	ggactacttc	cctgagcctg	tgaccgtgag	ctgaaactcc	540
ggagcccta	ccagcggcgt	gcacaccttc	cctgccgtgc	tgcaagtccag	cggccttac	600
tccctgagct	ccgtggtgac	cgtgcctagc	tccaaacttcg	gcacccaaac	ctacacctgt	660

aacgtggacc	acaaggctag	caacaccaag	gtggacaaga	ccgtggagcg	taagtgttgt	720
gtggagtgtc	ctccttgc	tgccccctct	gtggccggac	cttccgtgtt	cctttccct	780
cctaaggcta	aggacaccct	gatgatcago	cgtaccctg	aggtgacctg	tgtggtggtg	840
gacgtgtccc	acgaggaccc	tgaggtgeag	ttcaactggt	acgtggacgg	cgtggaggtg	900
cacaacgcca	agaccaagcc	tcgtgaggag	caattcaaca	gcaccttccg	tgtggtgcc	960
gtgcttaccg	tggtgaccca	agactggctg	aacggcaagg	agtacaagtg	taaggtgagc	1020
aacaaggac	ttccctgcccc	tatcgagaag	accatctcca	agaccaaggg	ccaacctcgt	1080

gagcctcaag	tgtacaccct	tcctcctagc	cgtgaggaga	tgaccaagaa	ccaagtgtcc	1140
cttacctgtc	tggtaaggg	cttctaccct	agcgacatcg	ccgtggagtg	ggagtccaac	1200
ggacaacctg	agaacaacta	caagaccacc	cctcctatgc	ttgacagcga	cggctccttc	1260
ttccctgtaca	gcaagctgac	cgtggacaag	tcccgttgc	aacaaggcaa	cgtttcagc	1320
tgttccgtga	tgcacgaggc	cctgcacaac	cactacaccc	aaaagagcct	ttccctgagc	1380
cctggaaag						1389

&lt;210&gt; 60

&lt;211&gt; 463

&lt;212&gt; PRT

&lt;213&gt; Artificial Sequence

&lt;220&gt;&lt;223&gt; hMAb1-T3H aa

&lt;400&gt; 60

Met Lys His Leu Trp Phe Phe Leu Leu Leu Val Ala Ala Pro Arg Trp

1 5 10 15

Val Leu Ser Glu Val Gln Leu Val Glu Ser Gly Gly Gly Leu Val Gln

20 25 30

Pro Gly Gly Ser Leu Arg Leu Ser Cys Ala Ala Ser Gly Phe Thr Phe

35 40 45

Ser Thr Tyr Ala Met Ser Trp Val Arg Gln Ala Pro Gly Lys Arg Leu

50 55 60

Glu Trp Val Ala Thr Ile Ser Asn Gly Gly Thr Tyr Thr Tyr Tyr Pro

65 70 75 80

Asp Ser Val Lys Gly Arg Phe Thr Ile Ser Arg Asp Asn Ala Lys Asn

85 90 95

Thr Leu Tyr Leu Gln Met Asn Ser Leu Arg Ala Glu Asp Thr Ala Val

100 105 110

Tyr Tyr Cys Ala Arg Leu Ile Tyr Tyr Asp Tyr Leu Asp Tyr Trp Gly

115 120 125

Gln Gly Thr Leu Val Thr Val Ser Ser Ala Ser Thr Lys Gly Pro Ser

130 135 140

Val Phe Pro Leu Ala Pro Cys Ser Arg Ser Thr Ser Glu Ser Thr Ala

145 150 155 160

Ala Leu Gly Cys Leu Val Lys Asp Tyr Phe Pro Glu Pro Val Thr Val

165 170 175

Ser Trp Asn Ser Gly Ala Leu Thr Ser Gly Val His Thr Phe Pro Ala

180 185 190

Val Leu Gln Ser Ser Gly Leu Tyr Ser Leu Ser Ser Val Val Thr Val

195 200 205

Pro Ser Ser Asn Phe Gly Thr Gln Thr Tyr Thr Cys Asn Val Asp His

210 215 220

Lys Pro Ser Asn Thr Lys Val Asp Lys Thr Val Glu Arg Lys Cys Cys

225 230 235 240

Val Glu Cys Pro Pro Cys Pro Ala Pro Pro Val Ala Gly Pro Ser Val

245 250 255

Phe Leu Phe Pro Pro Lys Pro Lys Asp Thr Leu Met Ile Ser Arg Thr

260 265 270

Pro Glu Val Thr Cys Val Val Val Asp Val Ser His Glu Asp Pro Glu

275 280 285

Val Gln Phe Asn Trp Tyr Val Asp Gly Val Glu Val His Asn Ala Lys

290	295	300
Thr Lys Pro Arg Glu Glu Gln Phe Asn Ser Thr Phe Arg Val Val Ser		
305	310	315
Val Leu Thr Val Val His Gln Asp Trp Leu Asn Gly Lys Glu Tyr Lys		
325	330	335
Cys Lys Val Ser Asn Lys Gly Leu Pro Ala Pro Ile Glu Lys Thr Ile		
340	345	350
Ser Lys Thr Lys Gly Gln Pro Arg Glu Pro Gln Val Tyr Thr Leu Pro		
355	360	365
Pro Ser Arg Glu Glu Met Thr Lys Asn Gln Val Ser Leu Thr Cys Leu		
370	375	380
Val Lys Gly Phe Tyr Pro Ser Asp Ile Ala Val Glu Trp Glu Ser Asn		
385	390	395
Gly Gln Pro Glu Asn Asn Tyr Lys Thr Thr Pro Pro Met Leu Asp Ser		
405	410	415
Asp Gly Ser Phe Phe Leu Tyr Ser Lys Leu Thr Val Asp Lys Ser Arg		
420	425	430
Trp Gln Gln Gly Asn Val Phe Ser Cys Ser Val Met His Glu Ala Leu		
435	440	445
His Asn His Tyr Thr Gln Lys Ser Leu Ser Leu Ser Pro Gly Lys		
450	455	460
<210> 61		
<211> 1389		
<212> DNA		
<213> Artificial Sequence		
<220><223> hMAb1-T4H na		
<400> 61		
atgaaaacacc tgtggttctt ctcctgtcg gtggcagctc ccagatgggt gctgagcgg 60		
gtgcagctgg tggaaagcgg cggaggcccg gtgcagcccg gcggctctct gagactgagc 120		
tgtgccgcca gcggcttcac cttcagcacc tacgcccata gctgggtccg acaggcccc 180		
ggcaagcggc tggaaatgggt ggcaaccatc agccaaggcg gcacacctacac ctactacccc 240		

gacagcgtga	aggccgggtt	caccatcago	cgggacaacg	ccaagaacac	cctgtactg	300
cagatgaaca	gcctcgggc	cgaggacacc	gccgtgtact	actgcgccag	actgatctac	360
tacgactacc	tggactactg	ggccagggc	accctggta	ccgtcagctc	agccagcacc	420
aaggcccctt	ccgttgtccc	tctggccctt	tgttagccgtt	ccaccagcga	gtccaccgcc	480
gcccttggct	gtctggtaa	ggactacttc	cctgagcctg	tgaccgtgag	ctgaaactcc	540
ggagccctta	ccagcggcgt	gcacaccttc	cctgccgtgc	tgcaagtccag	cggccttac	600
tccctgagct	ccgtggtgac	cgtgcctagc	tccaaacttcg	gcacccaaac	ctacacctgt	660

aacgtggacc	acaaggctag	caacaccaag	gtggacaaga	ccgtggagcg	taagtgttgt	720
gtggagtgtc	ctccttgc	tgccccctct	gtggccggac	cttccgtgtt	cctttccct	780
cctaaggcta	aggacaccct	gatgatcago	cgtaccctg	aggtgacctg	tgtggtggtg	840
gacgtgtccc	acgaggaccc	tgaggtgeag	ttcaactggt	acgtggacgg	cgtggaggtg	900
cacaacgcca	agaccaagcc	tcgtgaggag	caattcaaca	gcaccttccg	tgtggtgcc	960
gtgcttaccg	tggtgaccca	agactggctg	aacggcaagg	agtacaagtg	taaggtgagc	1020
aacaaggac	ttccctgcccc	tatcgagaag	accatctcca	agaccaaggg	ccaacctcgt	1080

gagcctcaag	tgtacaccct	tcctcctagc	cgtgaggaga	tgaccaagaa	ccaagtgtcc	1140
cttacctgtc	tggtaaggg	cttctaccct	agcgacatcg	ccgtggagtg	ggagtccaac	1200
ggacaacctg	agaacaacta	caagaccacc	cctcctatgc	ttgacagcga	cggctccttc	1260
ttccctgtaca	gcaagctgac	cgtggacaag	tcccgttgc	aacaaggcaa	cgtttcagc	1320
tgttccgtga	tgcacgaggc	cctgcacaac	cactacaccc	aaaagagcct	ttccctgagc	1380
cctggaaag						1389

&lt;210&gt; 62

&lt;211&gt; 463

&lt;212&gt; PRT

&lt;213&gt; Artificial Sequence

&lt;220&gt;&lt;223&gt; hMAb1-T4H aa

&lt;400&gt; 62

Met Lys His Leu Trp Phe Phe Leu Leu Leu Val Ala Ala Pro Arg Trp

1 5 10 15

Val Leu Ser Glu Val Gln Leu Val Glu Ser Gly Gly Gly Leu Val Gln

20 25 30

Pro Gly Gly Ser Leu Arg Leu Ser Cys Ala Ala Ser Gly Phe Thr Phe

35 40 45

Ser Thr Tyr Ala Met Ser Trp Val Arg Gln Ala Pro Gly Lys Arg Leu

50 55 60

Glu Trp Val Ala Thr Ile Ser Gln Gly Gly Thr Tyr Thr Tyr Tyr Pro

65 70 75 80

Asp Ser Val Lys Gly Arg Phe Thr Ile Ser Arg Asp Asn Ala Lys Asn

85 90 95

Thr Leu Tyr Leu Gln Met Asn Ser Leu Arg Ala Glu Asp Thr Ala Val

100 105 110

Tyr Tyr Cys Ala Arg Leu Ile Tyr Tyr Asp Tyr Leu Asp Tyr Trp Gly

115 120 125

Gln Gly Thr Leu Val Thr Val Ser Ser Ala Ser Thr Lys Gly Pro Ser

130 135 140

Val Phe Pro Leu Ala Pro Cys Ser Arg Ser Thr Ser Glu Ser Thr Ala

145 150 155 160

Ala Leu Gly Cys Leu Val Lys Asp Tyr Phe Pro Glu Pro Val Thr Val

165 170 175

Ser Trp Asn Ser Gly Ala Leu Thr Ser Gly Val His Thr Phe Pro Ala

180 185 190

Val Leu Gln Ser Ser Gly Leu Tyr Ser Leu Ser Ser Val Val Thr Val

195 200 205

Pro Ser Ser Asn Phe Gly Thr Gln Thr Tyr Thr Cys Asn Val Asp His

210 215 220

Lys Pro Ser Asn Thr Lys Val Asp Lys Thr Val Glu Arg Lys Cys Cys

225 230 235 240

Val Glu Cys Pro Pro Cys Pro Ala Pro Pro Val Ala Gly Pro Ser Val

245 250 255

Phe Leu Phe Pro Pro Lys Pro Lys Asp Thr Leu Met Ile Ser Arg Thr

260 265 270

Pro Glu Val Thr Cys Val Val Val Asp Val Ser His Glu Asp Pro Glu

275 280 285

Val Gln Phe Asn Trp Tyr Val Asp Gly Val Glu Val His Asn Ala Lys

290	295	300
Thr Lys Pro Arg Glu Glu Gln Phe Asn Ser Thr Phe Arg Val Val Ser		
305	310	315
		320
Val Leu Thr Val Val His Gln Asp Trp Leu Asn Gly Lys Glu Tyr Lys		
325	330	335
Cys Lys Val Ser Asn Lys Gly Leu Pro Ala Pro Ile Glu Lys Thr Ile		
340	345	350
Ser Lys Thr Lys Gly Gln Pro Arg Glu Pro Gln Val Tyr Thr Leu Pro		
355	360	365
Pro Ser Arg Glu Glu Met Thr Lys Asn Gln Val Ser Leu Thr Cys Leu		
370	375	380

Val Lys Gly Phe Tyr Pro Ser Asp Ile Ala Val Glu Trp Glu Ser Asn		
385	390	395
Gly Gln Pro Glu Asn Asn Tyr Lys Thr Thr Pro Pro Met Leu Asp Ser		
405	410	415
Asp Gly Ser Phe Phe Leu Tyr Ser Lys Leu Thr Val Asp Lys Ser Arg		
420	425	430
Trp Gln Gln Gly Asn Val Phe Ser Cys Ser Val Met His Glu Ala Leu		
435	440	445

His Asn His Tyr Thr Gln Lys Ser Leu Ser Leu Ser Pro Gly Lys

450	455	460
<210> 63		
<211> 717		
<212> DNA		
<213> Artificial Sequence		
<220><223> hMAb1-T1L na		
<400> 63		
atggtgctgc agacccaggt gttcatctcc ctgctgctgt ggatctccgg cgcgtacggc	60	
gacatcgta tgacccagag cccccctgagc ctgcccgtga cactggcgaa gcctgccagc	120	
atcagctgca gaaggcagcca gagcctggaa aacagcaacg gcaacaccta cctgaactgg	180	
tatctgcaga agccggccca gtccccccag ctgctgatct accgggtgtc caaccgggttc	240	

agcggcgtgc ccgacagatt cagcggcagc ggctccggca ccgacttcac cctgaagatc 300  
 agccgggtgg aagccgagga cgtggcggt tactactgtc tgcaggtcac acacgtgcc 360  
 tggaccttcg gccctggcac caaggtggac atcaagcgta cggtggccgc cccctccgt 420  
 ttcatcttcc cccccctccga cgagcagctg aagtccggca ccgcctccgt ggtgtgcctg 480  
 ctgaataact tctacccag agaggccaag gtgcagtgga aggtggacaa cgcctgcag 540  
 tccggaaact cccaggagag cgtgaccgag caggacagca aggacagcac ctacagcctg 600  
 agcagcaccc tgacccttag caaagccgac tacgagaagc acaagggtgt a cgcctgcgag 660

gtgacccacc agggccttag ctcccccgtc accaagagct tcaacagggg ggagtgt 717

<210> 64

<211> 239

<212> PRT

<213> Artificial Sequence

<220><223> hMAb1-T1L aa

<400> 64

Met Val Leu Gln Thr Gln Val Phe Ile Ser Leu Leu Leu Trp Ile Ser

1	5	10	15
---	---	----	----

Gly Ala Tyr Gly Asp Ile Val Met Thr Gln Ser Pro Leu Ser Leu Pro

20	25	30
----	----	----

Val Thr Leu Gly Glu Pro Ala Ser Ile Ser Cys Arg Ser Ser Gln Ser

35	40	45
----	----	----

Leu Glu Asn Ser Asn Gly Asn Thr Tyr Leu Asn Trp Tyr Leu Gln Lys

50	55	60
----	----	----

Pro Gly Gln Ser Pro Gln Leu Leu Ile Tyr Arg Val Ser Asn Arg Phe

65	70	75	80
----	----	----	----

Ser Gly Val Pro Asp Arg Phe Ser Gly Ser Gly Ser Gly Thr Asp Phe

85	90	95
----	----	----

Thr Leu Lys Ile Ser Arg Val Glu Ala Glu Asp Val Gly Val Tyr Tyr

100	105	110
-----	-----	-----

Cys Leu Gln Val Thr His Val Pro Trp Thr Phe Gly Pro Gly Thr Lys

115	120	125
-----	-----	-----

Val Asp Ile Lys Arg Thr Val Ala Ala Pro Ser Val Phe Ile Phe Pro

130	135	140
-----	-----	-----

Pro Ser Asp Glu Gln Leu Lys Ser Gly Thr Ala Ser Val Val Cys Leu  
 145 150 155 160  
 Leu Asn Asn Phe Tyr Pro Arg Glu Ala Lys Val Gln Trp Lys Val Asp  
 165 170 175  
 Asn Ala Leu Gln Ser Gly Asn Ser Gln Glu Ser Val Thr Glu Gln Asp  
 180 185 190  
 Ser Lys Asp Ser Thr Tyr Ser Leu Ser Ser Thr Leu Thr Leu Ser Lys  
 195 200 205  
 Ala Asp Tyr Glu Lys His Lys Val Tyr Ala Cys Glu Val Thr His Gln  
 210 215 220  
 Gly Leu Ser Ser Pro Val Thr Lys Ser Phe Asn Arg Gly Glu Cys

225 230 235  
<210> 65  
<211> 717  
<212> DNA  
<213> Artificial Sequence  
<220><223> hMAb1-T2L na  
<400> 65  
atggtgtc agacccaggt gttcatctcc ctgctgctgt ggatctccgg cgcgtacggc 60  
gacatcgta tgacccagag cccccctgaga ctgcccgtga cactggcgaa gcctgccagc 120  
atcagctgca gaagcagcca gagcctggaa aacgagaaca agaacctgtt cctgaactgg 180  
tatctgcaga agccggccca gtccccccag ctgctgatct accgggtgtc caaccggttc 240  
agcggcgtgc ccgacagatt cagcggcagc ggctccggca ccgacttcac cctgaagatc 300  
  
agccgggtgg aagccgagga cgtggcggtg tactactgtc tgcagggtcac acacgtgcc 360  
tggaccttcg gccctggcac caaggtggac atcaagcgta cggtgccgc cccctccgt 420  
ttcatcttcc cccccctccga cgagcagctg aagtccggca ccgcctccgt ggtgtgcctg 480  
ctgaataact tctacccag agaggccaag gtgcagtggaa aggtggacaa cgcctgcag 540  
tccgggaact cccaggagag cgtgaccgag caggacagca aggacagcac ctacagcctg 600  
agcagcaccc tgaccctgag caaagccgac tacgagaagc acaagggtgtc cgcctgcgag 660  
gtgacccacc agggcctgag ctccccgtc accaagagct tcaacagggg ggagtgt 717

&lt;210&gt; 66

&lt;211&gt; 239

&lt;212&gt; PRT

&lt;213&gt; Artificial Sequence

&lt;220&gt;&lt;223&gt; hMab1-T2L aa

&lt;400&gt; 66

Met Val Leu Gln Thr Gln Val Phe Ile Ser Leu Leu Leu Trp Ile Ser

1 5 10 15

Gly Ala Tyr Gly Asp Ile Val Met Thr Gln Ser Pro Leu Ser Leu Pro

20 25 30

Val Thr Leu Gly Glu Pro Ala Ser Ile Ser Cys Arg Ser Ser Gln Ser

35 40 45

Leu Glu Asn Glu Asn Lys Asn Leu Tyr Leu Asn Trp Tyr Leu Gln Lys

50 55 60

Pro Gly Gln Ser Pro Gln Leu Leu Ile Tyr Arg Val Ser Asn Arg Phe

65 70 75 80

Ser Gly Val Pro Asp Arg Phe Ser Gly Ser Gly Ser Gly Thr Asp Phe

85 90 95

Thr Leu Lys Ile Ser Arg Val Glu Ala Glu Asp Val Gly Val Tyr Tyr

100 105 110

Cys Leu Gln Val Thr His Val Pro Trp Thr Phe Gly Pro Gly Thr Lys

115 120 125

Val Asp Ile Lys Arg Thr Val Ala Ala Pro Ser Val Phe Ile Phe Pro

130 135 140

Pro Ser Asp Glu Gln Leu Lys Ser Gly Thr Ala Ser Val Val Cys Leu

145 150 155 160

Leu Asn Asn Phe Tyr Pro Arg Glu Ala Lys Val Gln Trp Lys Val Asp

165 170 175

Asn Ala Leu Gln Ser Gly Asn Ser Gln Glu Ser Val Thr Glu Gln Asp

180 185 190

Ser Lys Asp Ser Thr Tyr Ser Leu Ser Ser Thr Leu Thr Leu Ser Lys

195 200 205

Ala Asp Tyr Glu Lys His Lys Val Tyr Ala Cys Glu Val Thr His Gln

210	215	220
Gly Leu Ser Ser Pro Val Thr Lys Ser Phe Asn Arg Gly Glu Cys		
225	230	235
<210> 67		
<211> 5		
<212> PRT		
<213> Mus musculus		

<400> 67			
Thr Tyr Ala Met Ser			
1	5		
<210> 68			
<211> 17			
<212> PRT			
<213> Artificial Sequence			

<220><223> CDRH2-2			
<400> 68			
Thr Ile Ser Gln Gly Gly Thr Tyr Thr Tyr Tyr Pro Asp Ser Val Lys			
1	5	10	15
Gly			

<210> 69			
<211> 9			
<212> PRT			
<213> Mus musculus			
<400> 69			

Leu Ile Tyr Tyr Asp Tyr Leu Asp Tyr

1	5		
<210> 70			
<211> 16			
<212> PRT			
<213> Artificial Sequence			

<220><223> CDRL1-2			
<400> 70			

Arg Ser Ser Gln Ser Leu Glu Asn Glu Asn Lys Asn Leu Tyr Leu Asn

1 5 10 15

<210> 71

<211> 7

<212> PRT

<213> Mus musculus

<400> 71

Arg Val Ser Asn Arg Phe Ser

1 5

<210> 72

<211> 9

<212> PRT

<213> Mus musculus

<400> 72

Leu Gln Val Thr His Val Pro Trp Thr

1 5

<210> 73

<211> 39

<212> DNA

<213> Artificial Sequence

<220>

><223> primer 1F

<400> 73

aaaggtacca ccatgggctc tggaggagac agcctcctg 39

<210> 74

<211> 39

<212> DNA

<213> Artificial Sequence

<220><223> primer 1R

<400> 74

aaagatatcc tgctccaggg tccaggacc atgctact 39

<210> 75

<211> 144

<212> DNA

<213> Artificial Sequence

&lt;220&gt;&lt;223&gt; primer2F

&lt;400&gt; 75

ggtaccgcca tgggctctgg aggagacagc ctcctcgccgc gcagagggttc cctgcctctg	60
ctgctccctgc tcatcatggg aggcattggct gattacaagg atgacgacga taaggcaggac	120

tccccggccc agatcctagt ccac	144
----------------------------	-----

&lt;210&gt; 76

&lt;211&gt; 37

&lt;212&gt; DNA

&lt;213&gt; Artificial Sequence

&lt;220&gt;&lt;223&gt; primer 2R

&lt;400&gt; 76

gcttagcggag taatctacag gagaaggcacc agccttg	37
--	----

&lt;210&gt; 77

&lt;211&gt; 142

&lt;212&gt; DNA

&lt;213&gt; Artificial Sequence

&lt;220&gt;&lt;223&gt; primer 3F

&lt;400&gt; 77

ggtaccgcca tgggctctgg aggagacagc ctcctcgccgc gcagagggttc cctgcctctg	60
ctgctccctgc tcatcatggg aggcattggct gattacaagg atgacgacga taaggcaggac	120

cctgccagga tgagctgcca ag	142
--------------------------	-----

&lt;210&gt; 78

&lt;211&gt; 144

&lt;212&gt; DNA

&lt;213&gt; Artificial Sequence

&lt;220&gt;&lt;223&gt; primer 4F

&lt;400&gt; 78

ggtaccgcca tgggctctgg aggagacagc ctcctcgccgc gcagagggttc cctgcctctg	60
ctgctccctgc tcatcatggg aggcattggct gattacaagg atgacgacga taaggcaggac	120

gtcctccggg aggatttcca gatc	144
----------------------------	-----

&lt;210&gt; 79

&lt;211&gt; 142

&lt;212&gt; DNA

<213> Artificial Sequence

<220><223> primer 5F

<400> 79

ggtaccgcca tgggctctgg aggagacaga ctcctcgccgc gcagagggttc cctgcctctg	60
ctgctcctgc tcatcatggg aggcattggct gattacaagg atgacgacga taagaccaac	120
agcgcaggac atagggagag cc	142

<210> 80

<211> 143

<212> DNA

<213> Artificial Sequence

<220><223> primer 6F

<400> 80

ggtaccgcca tgggctctgg aggagacaga ctcctcgccgc gcagagggttc cctgcctctg	60
ctgctcctgc tcatcatggg aggcattggct gattacaagg atgacgacga taagatccag	120
gagccccagg actacacgga gcc	143

<210> 81

<211> 144

<212> DNA

<213> Artificial Sequence

<220><223> primer 7F

<400> 81

ggtaccgcca tgggctctgg aggagacaga ctcctcgccgc gcagagggttc cctgcctctg	60
ctgctcctgc tcatcatggg aggcattggct gattacaagg atgacgacga taaggaggctg	120
ccggaaaaag tgcccagtgc cccaa	144

<210> 82

<211> 47

<212> DNA

<213> Artificial Sequence

<220><223> primer 8F

<400> 82

cagatatacc agtgaggatg cctgaatcct aaaacacagg atggatc	47
---	----

<210> 83

<211>	47	
<212>	DNA	
<213>	Artificial Sequence	
<220><223>	primer 8R	
<400>	83	
gatccatcct gtgttttagg attcaggcat cctcaactggt atatctg		47
<210>	84	
<211>	42	
<212>	DNA	
<213>	Artificial Sequence	
<220><223>	primer 9F	
<400>	84	
ggtaccgcca tgggacaagg agaggagccg agagcagcca tg		42
<210>	85	
<211>	40	
<212>	DNA	
<213>	Artificial Sequence	
<220><223>	primer 9R	
<400>	85	
gcggccgcgg aggaatcacc agccttgggc acagcaccag		40
<210>	86	
<211>	39	
<212>	DNA	
<213>	Artificial Sequence	
<220><223>	primer 10F	
<400>	86	
ggtaccgcca tgggacaagg agaggagctg agagcagcc		39
<210>	87	
<211>	38	
<212>	DNA	
<213>	Artificial Sequence	
<220><223>	primer 10R	
<400>	87	
gcggccgcgg aggaatcacc agccttgggc acaacacc		38

<210> 88	
<211> 37	
<212> DNA	
<213> Artificial Sequence	
<220><223> primer 11F	
<400> 88	
ggtaccgcca tgggctctgg aggagaaagc ctccggg	37
<210> 89	
<211> 31	
<212> DNA	
<213> Artificial Sequence	
<220><223> primer 11R	
<400> 89	
ggagtaatct acaggagaag caccagcatt g	31
<210> 90	
<211> 35	
<212> DNA	
<213> Artificial Sequence	
<220><223> primer 12F	
<400> 90	
ggatccgcca tgggctctgg aggagaaagc ctccg	35
<210> 91	
<211> 42	
<212> DNA	
<213> Artificial Sequence	
<220><223> primer 12R	
<400> 91	
gcggccgctc aggagtaatc tacaggagaa gcaccagcct tg	42
<210> 92	
<211> 144	
<212> DNA	
<213> Artificial Sequence	
<220><223> primer 18F	

<400> 92

ggtaccgcca tggctctgg aggagaaagc ctccgaggct cccgggcttc ccggcctctg 60  
 ctgcctctgc tcatcatggg aggcattggct gattacaagg atgacgacga taagcaggac 120  
 tcccccccccc agatcctagt ccac 144

<210> 93

<211> 64

<212> DNA

<213> Artificial Sequence

<220><223> primer 13F

<400> 93

ggggacaagt ttgtacaaaa aaggaggctt caccatgatt gcggagcccg ctcacttta 60

cctg 64

<210> 94

<211> 54

<212> DNA

<213> Artificial Sequence

<220><223> primer 13R

<400> 94

ggggaccact ttgtacaaga aagctgggtc gcttcagtt tcctctaatt cttc 54

<210> 95

<211> 129

<212> DNA

<213> Artificial Sequence

<220><223> primer 14F

<400> 95

gcggccgcat gattgcggag cccgctcaact tttacctgtt tggattaata tgtctctgtt 60  
 caggctcccg tcttgattac aaggatgacg acgataagcg tcaggaagat tttccacctc 120

gcatgttg 129

<210> 96

<211> 33

<212> DNA

<213> Artificial Sequence

<220><223> primer 14R

<400> 96	
gctagcttagttt cctctaattc ttc	33
<210> 97	
<211> 38	
<212> DNA	
<213> Artificial Sequence	
<220><223> primer 15F	
<400> 97	
gcggccgcat gagtctgctg atgttacac aactactg	38
<210> 98	
<211> 40	
<212> DNA	
<213> Artificial Sequence	
<220><223>	
primer 15R	
<400> 98	
gctagcctat aattcacctg taaactgtcc ttgactgttg	40
<210> 99	
<211> 38	
<212> DNA	
<213> Artificial Sequence	
<220><223> primer 16F	
<400> 99	
gcggccgcat gctgcgctac ctgctaaaa cgctgctg	38
<210> 100	
<211> 36	
<212> DNA	
<213> Artificial Sequence	
<220><223> primer 16R	
<400> 100	
gctagctcat ctgggtcct ctggcggtt ctgtcc	36
<210> 101	
<211> 26	
<212> DNA	

<213> Artificial Sequence

<220><223> primer 17F

<400> 101

ggtaccgata aggaacaaat aggaag	26
------------------------------	----

<210> 102

<211> 26

<212> DNA

<213> Artificial Sequence

<220><223> primer 17R

<400> 102

gagctcagct tgcgtgctct gctgtc	26
------------------------------	----

<210> 103

<211> 20

<212> PRT

<213> Mus musculus

<400> 103

Glu Val Gln Leu Val Glu Ser Gly Gly Leu Val Lys Pro Gly Gly

1	5	10	15
---	---	----	----

Ser Leu Lys Leu

20

<210> 104

<211> 15

<212> PRT

<213> Mus musculus

<400> 104

Asp Ala Val Met Thr Gln Thr Pro Leu Ser Leu Pro Val Ser Leu

1	5	10	15
---	---	----	----

<210> 105

<211> 18

<212> DNA

<213> Artificial Sequence

<220><223> primer LYHF6

<400> 105

cctcaccatg aactttgg	18
<210> 106	
<211> 32	
<212> DNA	
<213> Artificial Sequence	
<220><223> primer G1EVR1	
<400> 106	
aagatatctt atttaccagg agagtgccgg ag	32
<210> 107	
<211> 26	
<212> DNA	
<213> Artificial Sequence	
<220><223> primer MK19EIF1	
<400> 107	
aagaattcat gaagttgcct gttagg	26
<210> 108	
<211> 32	
<212> DNA	
<213> Artificial Sequence	
<220><223> primer KEVR1	
<400> 108	
aagatatctt aacactcatt cctgttgaag ct	32
<210> 109	
<211> 30	
<212> DNA	
<213> Artificial Sequence	
<220><223> primer 3. 3-F1	
<400> 109	
tataccgtcg acctcttagct agagcttggc	30
<210> 110	
<211> 30	
<212> DNA	
<213> Artificial Sequence	

<220><223> primer 3. 3-R1  
<400> 110

gctatggcag ggcgtccgc cccgacgttg	30
---------------------------------	----

<210> 111  
<211> 47  
<212> DNA  
<213> primer MAb1 LF  
<400> 111

tctccggcgc gtacggcgat gctgtatga cccaaactcc actctcc	47
--	----

<210> 112  
<211> 45  
<212> DNA  
<213> Artificial Sequence  
<220><223> primer MAb1 LR  
<400> 112

ggagggggcg gccacagccc gtttatttc cagttggtg cctcc	45
---	----

<210> 113  
<211> 44  
<212> DNA  
<213> Artificial Sequence  
<220><223> primer MAb1 HF  
<400> 113

cagatgggtg ctgagcgaag tgcagctggt ggagtctggg ggag	44
--	----

<210> 114  
<211> 45  
<212> DNA  
<213> Artificial Sequence  
<220><223> primer MAb1 H1R  
<400> 114

tttgtggagg ctgagctgac tgtgagatgt gtgccgtggc cccag	45
---	----

<210> 115  
<211> 45  
<212> DNA  
<213> Artificial Sequence

<220><223> primer MAb1 2R  
<400> 115  
ttggtgctgg ctgagctgac tgtgagagtg gtgccgtggc cccag 45

<210> 116  
<211> 38  
<212> DNA  
<213> Artificial Sequence

<220><223> primer H-N53Q-F  
<400> 116  
gggtggcaac catcagccaa ggccgcacct acacctac 38  
<210> 117  
<211> 38  
<212> DNA  
<213> Artificial Sequence

<220><223> primer H-N53Q-R  
<400> 117  
gttagtgttag gtgccgcctt ggctgatggt tgccaccc 38  
<210> 118  
<211> 46  
<212> DNA  
<213> Artificial Sequence

<220><223> primer L inf-F  
<400> 118  
gcctccggac tctagagcca ccatggtgc gcagacccag gtgttc 46  
<210> 119  
<211> 50  
<212> DNA  
<213> Artificial Sequence

<220><223> primer L-EKL-R  
<400> 119  
caggcacagg ttcttgttct cgtttccag gctctggctg cttctgcagc 50  
<210> 120  
<211> 49

<212> DNA

<213> Artificial Sequence

<220><223> primer L-EKL-F

<400> 120

gaaaacgaga acaagaacct gtacctgaac tggtatctgc agaagcccg 49

<210> 121

<211> 41

<212> DNA

<213> Artificial Sequence

<220><223> primer L inf-R

<400> 121

tagcctcccc cgttaaacg ggcccctaac actccccct g 41